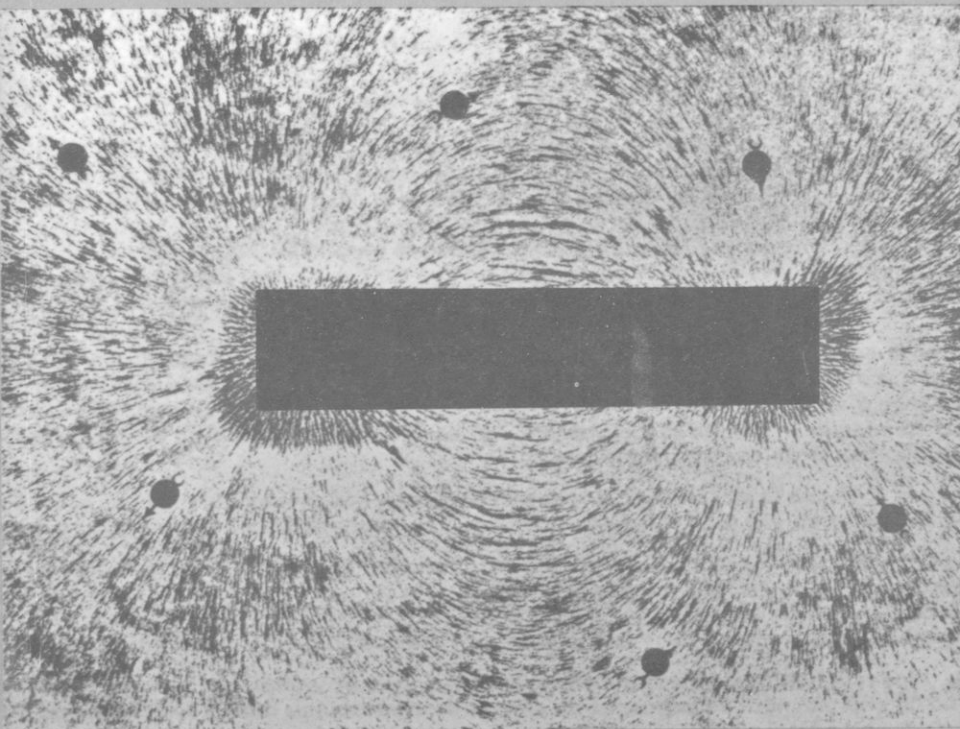


ΑΛΚΙΝΟΟΥ Ε. ΜΑΖΗ

ΦΥΣΙΚΗ

Β' ΛΥΚΕΙΟΥ



ΟΡΓΑΝΙΣΜΟΣ ΕΚΔΟΣΕΩΣ ΔΙΔΑΚΤΙΚΩΝ ΒΙΒΛΙΩΝ ΑΘΗΝΑ 1979

Ψηφιοποιήθηκε από το Ινστιτούτο Εκπαιδευτικής Πολιτικής

19669

ΑΛΚΙΝΟΥ Ε. ΜΑΖΗ

ΦΥΣΙΚΗ

Β' ΛΥΚΕΙΟΥ

Με απόφαση τῆς Ἑλληνικῆς Κυβερνήσεως τὰ διδακτικά βιβλία τοῦ Δημοτικοῦ, Γυμνασίου καὶ Λυκείου τυπώνονται ἀπὸ τὸν Ὀργανισμό Ἐκδόσεως Διδακτικῶν Βιβλίων καὶ μοιράζονται ΔΩΡΕΑΝ.

1998

ΦΥΣΙΚΗ

Με απόφαση της Ελληνικής Κυβερνήσεως τα διδακτικά βιβλία του Δημοτικού, Γυμνασίου και Λυκείου τυπώνονται από τον Οργανισμό Εκδόσεως Διδακτικών Βιβλίων και κυκλοφορούν ΔΩΡΕΑΝ.

ΑΛΚΙΝΟΟΥ Ε. ΜΑΖΗ

ΜΑΓΝΗΤΙΣΜΟΣ

Ιδιότητες των μαγνητών

1. Μαγνήτις, Μαγνητισμός

Φ Υ Σ Ι Κ Η

Από τα πρώτα μαθηματικά που αναπτύχθηκαν (π.χ. 600 π.Χ.) έχει την ιδιότητα να έλκει μικρά κομμάτια σιδήρου ή γαλβάνη. Αυτή η ιδιότητα του φυσικού μαγνήτη ονομάζεται μαγνητισμός.

Αν με ένα φυσικό μαγνήτη τρίψουμε κολλήματα από κατά την ίδια φορά με αυτόν από

Β' ΛΥΚΕΙΟΥ

αυτή η διαδικασία ονομάζεται μαγνητισμός. Σήμερα κατασκευάζονται εύκολα τεχνητοί μαγνήτες με τη βοήθεια του ηλεκτρικού ρεύματος και δίπολα σ' αυτούς διάφορα υλικά (σχ. 1). Τους τεχνητούς μαγνήτες τους κατασκευάζουν με από γαλβάνη ή από όμοια υλικά.



Σχ. 1. Τεχνητός μαγνήτης.

2. Πόλοι του μαγνήτη

Μέσα σε ποικιλία υλικών διακρίνουμε ένα μαγνήτη. Όταν σπάζουμε το μαγνήτη διακρίνουμε ότι τα κομμάτια έχουν κροσσολληθεί στις δύο άκρες του μαγνήτη, και ονομαζόμενοι πόλοι του μαγνήτη.

Με τους πόλους ένα μαγνήτη έλκει, όπως να μπορούσε να κινηθεί προς το νότιο και ο βόρειος πόλος αντίστοιχα να απωθώνεται από αυτά αντίστοιχα.



Σχ. 2. Οι πόλοι του μαγνήτη.

ΟΡΓΑΝΙΣΜΟΣ ΕΚΔΟΣΕΩΣ ΔΙΔΑΚΤΙΚΩΝ ΒΙΒΛΙΩΝ
ΑΘΗΝΑ 1979

ΑΛΚΙΝΟΥ Ε ΜΑΣΗ

ΦΥΣΙΚΗ

Β' ΛΥΚΕΙΟΥ

Τό βιβλίο μεταγλωττίστηκε από τό συγγραφέα σέ συνεργασία
μέ τόν κ. Κ. Μικρούδη, Γεν. Επιθεωρητή Μ. Ε.

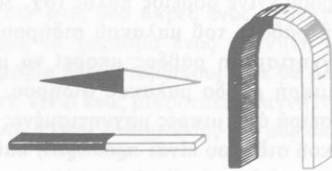
ΜΑΓΝΗΤΙΣΜΟΣ

Ίδιότητες τῶν μαγνητῶν

1. Μαγνήτες. Μαγνητισμός

Ἀπό τήν ἀρχαιότητα ἦταν γνωστό ὅτι ὁ φυσικός μαγνήτης (Fe_3O_4) ἔχει τήν ιδιότητα νά ἔλκει μικρά κομμάτια σιδήρου ἢ χάλυβα. Αὐτή ἡ ιδιότητα τοῦ φυσικοῦ μαγνήτη ὀνομάζεται **μαγνητισμός**.

Ἄν μέ ἓνα φυσικό μαγνήτη τρίψουμε πολλές φορές καί κατά τήν ἴδια φορά μιά ράβδο χάλυβα, παρατηροῦμε ὅτι ὁ χάλυβας γίνεται **μόνιμος μαγνήτης** καί λέγεται **τεχνητός μαγνήτης**. Σήμερα κατασκευάζουμε εὐκολά τεχνητούς μαγνήτες μέ τή βοήθεια τοῦ ἠλεκτρικοῦ ρεύματος καί δίνουμε σ' αὐτούς διάφορα σχήματα (σχ. 1). Τούς τεχνητούς μαγνήτες τούς κατασκευάζουμε ἀπό χάλυβα ἢ ἀπό ὀρισμένα κράματα.

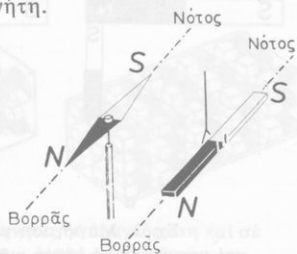


Σχ. 1. Τεχνητοί μαγνήτες.

2. Πόλοι τοῦ μαγνήτη

Μέσα σέ ρινίσματα σιδήρου βυθίζουμε ἓνα μαγνήτη. Ὄταν σηκώσουμε τό μαγνήτη, βλέπουμε ὅτι τά ρινίσματα ἔχουν προσκολληθεῖ στίς δύο ἄκρες τοῦ μαγνήτη, πού ὀνομάζονται **πόλοι** τοῦ μαγνήτη.

Μέ νῆμα κρεμάμε ἓνα μαγνήτη ἔτσι, ὥστε νά μπορεῖ νά στρέφεται γύρω ἀπό κατακόρυφο ἄξονα (σχ. 2). Ὁ μαγνήτης ἰσορροπεῖ πάντοτε σέ τέτοια θέση, ὥστε ὁ ἓνας πόλος του νά στρέφεται πρὸς τό Βορρά καί ὁ ἄλλος πόλος του πρὸς τό Νότο. Γι' αὐτό οἱ δύο πόλοι τοῦ μαγνήτη ὀνομάζονται ἀντίστοιχα **βόρειος πόλος** (N, North = Βορράς) καί **νότιος πόλος** (S, South = Νότος).



Σχ. 2. Οἱ δύο πόλοι τοῦ μαγνήτη.

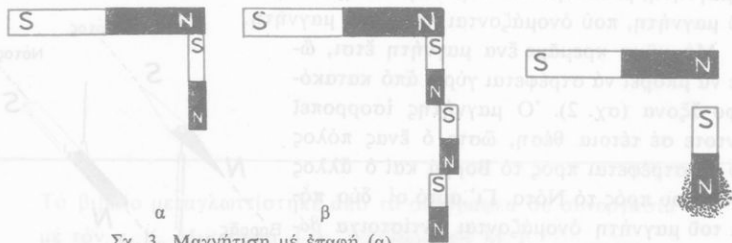
Ἀμοιβαία ἐπίδραση τῶν πόλων. Στόν ἓνα πόλο μιᾶς μαγνητικῆς βελόνης, πού μπορεί νά στρέφεται ἐλεύθερα γύρω ἀπό κατακόρυφο ἄξονα, πλησιάζουμε διαδοχικά τούς δύο πόλους ἑνός μαγνήτη. Τότε εὐκολά διαπιστώνουμε ὅτι μεταξύ δύο *ὁμώνυμων* πόλων ἀναπτύσσεται ἀμοιβαία ἀπωση, ἐνῶ μεταξύ δύο *ἐτερόνυμων* πόλων ἀναπτύσσεται ἀμοιβαία ἔλξη. Ἡ δύναμη πού ἀναπτύσσεται μεταξύ δύο μαγνητικῶν πόλων καθώς καί ἄλλα μαγνητικά φαινόμενα ἐρμηνεύονται εὐκολά, ἂν ὑποθέσουμε ὅτι σέ κάθε μαγνητικό πόλο ὑπάρχει ἓνα ἰδιαίτερο φυσικό μέγεθος, πού ὀνομάζεται **ποσότητα μαγνητισμοῦ** (m) καί θεωρεῖται ὡς θετική ($+m$) ἢ ἀρνητική ($-m$), ἀντίστοιχα γιά ἓνα βόρειο ἢ νότιο μαγνητικό πόλο.

3. Μαγνήτιση μέ ἐπαφή καί μέ ἐπαγωγή

Ἄν ἡ μιᾶ ἄκρη μικρῆς ράβδου ἀπό μαλακό σίδηρο ἔρθει *σέ ἐπαφή* μέ τό βόρειο πόλο ἑνός μαγνήτη, εὐκολά διαπιστώνουμε ὅτι ἡ ἄλλη ἄκρη τῆς ράβδου ἔγινε βόρειος πόλος (σχ. 3α). Ὁ τρόπος μέ τόν ὁποῖο ἔγινε μαγνήτιση ἡ ράβδος τοῦ μαλακοῦ σιδήρου, ὀνομάζεται *μαγνήτιση μέ ἐπαφή*. Ἡ μαγνητισμένη ράβδος μπορεί νά μαγνητίσει μέ τόν ἴδιο τρόπο μιᾶ δευτέρη μικρή ράβδο μαλακοῦ σιδήρου, αὐτή μιᾶ ἄλλη καί ἔτσι σχηματίζεται μιᾶ σειρά ἀπό μικρές μαγνητισμένες ράβδους (σχ. 3β). Ἡ μαγνήτιση τοῦ μαλακοῦ σιδήρου εἶναι *προσωρινή* καί διαρκεῖ, ὅσο ὁ μαλακός σίδηρος βρίσκεται σέ ἐπαφή μέ τό μαγνήτη.

Ἡ μικρή ράβδος τοῦ μαλακοῦ σιδήρου μαγνητίζεται ἀκόμη καί ὅταν βρεθεῖ σέ μικρή ἀπόσταση ἀπό τό βόρειο πόλο τοῦ μαγνήτη (σχ. 4). Αὐτός ὁ τρόπος μαγνητίσεως τοῦ μαλακοῦ σιδήρου ὀνομάζεται *μαγνήτιση μέ ἐπαγωγή*. Καί σ' αὐτή τήν περίπτωση ἡ μαγνήτιση τοῦ μαλακοῦ σιδήρου εἶναι *προσωρινή* καί διαρκεῖ, ὅσο ὁ μαλακός σίδηρος βρίσκεται κοντά στό μαγνήτη.

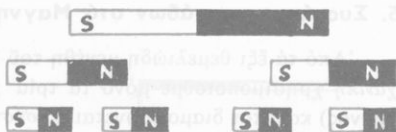
Ἄν ἀντί γιά μαλακό σίδηρο χρησιμοποιήσουμε σιά παραπάνω πειρά-



Σχ. 3. Μαγνήτιση μέ ἐπαφή (α)
καί μαγνήτιση μέ ἐπαφή μιᾶς σειράς ράβδων
μαλακοῦ σιδήρου (β).

Σχ. 4. Μαγνήτιση μέ ἐπαγωγή.

ματα μιά ράβδο από χάλυβα, παρατηρούμε ότι και ό χάλυβας μαγνητίζεται μέ έπαφή και μέ έπαγωγή, αλλά ή μαγνήτισή του είναι *μόνιμη*.



4. Στοιχειώδεις μαγνήτες

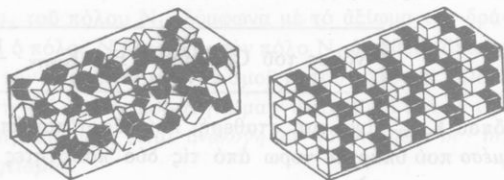
Αν έναν ευθύγραμμο μαγνήτη τόν κόψουμε σέ δύο κομμάτια,

παρατηρούμε ότι κάθε κομμάτι έχει δύο *έτερόνυμους πόλους* (βόρειο και νότιο πόλο). Στο σημείο πού χωρίστηκε ό αρχικός μαγνήτης εμφανίστηκαν δύο έτερόνυμοι πόλοι (σχ. 5). Αν καθένα από τούς δύο νέους μαγνήτες τόν κόψουμε σέ δύο κομμάτια, παρατηρούμε ότι κάθε κομμάτι έχει πάλι δύο έτερόνυμους πόλους. Από τό πείραμα αυτό συμπεραίνουμε ότι είναι *αδύνατο νά απομονώσουμε* ένα μαγνητικό πόλο, γιατί οί δύο μαγνητικοί πόλοι, ό βόρειος και ό νότιος, εμφανίζονται πάντοτε στίς δύο άκρες ενός μαγνήτη.

Σχ. 5. Αδύνατη ή απομόνωση ενός μαγνητικού πόλου.

Αν μπορούσαμε νά εξακολουθήσουμε τό χώρισμα ενός μαγνήτη ως τά ελάχιστα τμήματά του, δηλαδή ως τά μόρια ή τά άτομά του, τότε θά βλέπαμε ότι κάθε μόριο ή άτομο τού μαγνήτη είναι ένας μικρότατος μαγνήτης, πού έχει δύο έτερόνυμους πόλους και ονομάζεται *στοιχειώδης ή μοριακός μαγνήτης*.

Μέσα σέ μιά ράβδο από μαλακό σίδηρο ή χάλυβα πού *δέν είναι μαγνητισμένη*, οί στοιχειώδεις μαγνήτες διατάσσονται άτακτα (σχ. 6). Όταν όμως αυτή ή ράβδος έρθει σέ έπαφή μέ ένα μαγνητικό πόλο ή βρεθεί σέ μικρή απόσταση από αυτόν, τότε οί στοιχειώδεις μαγνήτες διατάσσονται μέσα στή ράβδο έτσι, ώστε στίς δύο άκρες της εμφανίζονται δύο έτερόνυμοι πόλοι. Μέσα στή ράβδο οί στοιχειώδεις μαγνήτες σχηματίζουν παράλληλα νήματα. Όταν απομακρυνθεί ό πόλος, πού προκάλεσε τή μαγνήτιση τής ράβδου, τότε στό μαλακό σίδηρο ή διάταξη τών στοιχειωδών μαγνητών άμέσως καταστρέφεται και ό μαλακός σίδηρος *απομαγνητίζεται*, δηλαδή ή μαγνήτισή του ήταν *προσωρινή*, ενώ αντίθετα στό χάλυβα ή διάταξη τών στοιχειωδών μαγνητών διατηρείται και ό χάλυβας εξακολουθεί νά είναι *μαγνήτης*, δηλαδή ή μαγνήτισή του είναι *μόνιμη*.



Σχ. 6. Στοιχειώδεις μαγνήτες σέ άμαγνήτιστη και σέ μαγνητισμένη ράβδο σιδήρου.

5. Συστήματα μονάδων στο Μαγνητισμό

Από τα έξι θεμελιώδη μεγέθη του διεθνούς συστήματος (SI) στη Μηχανική χρησιμοποιούμε μόνο τα τρία μηχανικά μεγέθη του (μήκος, μάζα, χρόνος) και έτσι διαμορφώνεται το σύστημα MKS, που αποτελεί ένα τμήμα του διεθνούς συστήματος. Στο Μαγνητισμό και τον Ηλεκτρισμό, εκτός από τα τρία μηχανικά μεγέθη (μήκος, μάζα, χρόνος), χρησιμοποιούμε και ένα τέταρτο θεμελιώδες μέγεθος, την ένταση ηλεκτρικού ρεύματος, που ως θεμελιώδη μονάδα έχει το Ampère (1 A). Έτσι διαμορφώνεται το σύστημα MKSA, που είναι πάλι ένα τμήμα του διεθνούς συστήματος μονάδων (SI).

Το σύστημα CGS επεκτείνεται και στο Μαγνητισμό και σ' αυτή την περίπτωση αποτελεί το ηλεκτρομαγνητικό σύστημα μονάδων (σύστημα HMM). Αλλά σήμερα γενικά χρησιμοποιούμε το σύστημα MKSA, γιατί οι μονάδες του είναι κατάλληλες για τις πάρα πολλές εφαρμογές στην τεχνική. Για να μη προκληθεί καμιά σύγχυση, θα εξετάσουμε τα μαγνητικά φαινόμενα χρησιμοποιώντας το γενικά παραδεκτό σύστημα MKSA. Το σύστημα μονάδων MKSA επεκτείνεται σε όλόκληρο το Μαγνητισμό και τον Ηλεκτρισμό και μās δίνει χρήσιμες μονάδες (άμπέρ, βόλτ, ωμ κ.ά.).

6. Νόμος του Coulomb

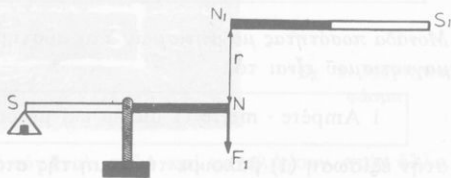
Δύο μαγνητικοί πόλοι, που τούς θεωρούμε ως σημεία, βρίσκονται στο κενό (ή στον αέρα), έχουν ποσότητες μαγνητισμού m_1 και m_2 και ή μεταξύ τους απόσταση είναι r . Πειραματικά βρίσκουμε ότι για τή μαγνητική δύναμη \vec{F} (έλξη ή άπωση) που αναπτύσσεται μεταξύ αυτών των δύο πόλων, ισχύει ο νόμος του Coulomb:

Η έλξη ή η άπωση (\vec{F}) που αναπτύσσεται μεταξύ δύο ποσοτήτων μαγνητισμού (m_1 και m_2) είναι ανάλογη με το γινόμενο των ποσοτήτων μαγνητισμού και αντιστρόφως ανάλογη με το τετράγωνο τής απόστασώς τους (r).

$$\text{νόμος του Coulomb} \quad F = K_{\text{μαγν}} \cdot \frac{m_1 \cdot m_2}{r^2} \quad (1)$$

όπου $K_{\text{μαγν}}$ είναι μία σταθερή, που εξαρτάται από τις μονάδες και από το μέσο που υπάρχει γύρω από τις δύο ποσότητες μαγνητισμού. Η μαγνητική δύναμη \vec{F} είναι θετική (άπωση), αν οι δύο ποσότητες μαγνητισμού είναι ομόνυμες και αρνητική (έλξη), αν οι δύο ποσότητες μαγνητισμού είναι ετερόνυμες.

Πειραματική ἀπόδειξη. Ὁ νόμος τοῦ Coulomb ἀποδεικνύεται πειραματικά μέ τή διάταξη πού δείχνει τό σχήμα 7. Ἐνας μακρὺς καί λεπτὸς μαγνήτης NS ἀποτελεῖ τή φάλαγγα ζυγοῦ. Ἐστῶ m ἡ ποσότητα μαγνητισμοῦ τοῦ βό-



Σχ. 7. Σχηματική παράσταση τῆς διατάξεως γιά τήν ἀπόδειξη τοῦ νόμου τοῦ Coulomb.

ρειου πόλου του N. Σέ ἀπόσταση r ἀπό τόν πόλο N φέρνουμε ἄλλο βόρειο πόλο N_1 ἐνός δευτέρου μαγνήτη N_1S_1 . Ἡ ἄπωση F_1 , πού ἐξασκεῖται τότε στόν πόλο N, μετριέται εὐκόλα μέ τά στάθμά πού βάζουμε στό δίσκο τοῦ ζυγοῦ. Ἄν ἡ ἀπόσταση μεταξύ τῶν δύο πόλων γίνεῖ $2r, 3r, 4r$, ἡ ἄπωση πού ἐξασκεῖται στόν πόλο N γίνεταί ἀντίστοιχα $F_1/4, F_1/9, F_1/16$, δηλαδή ἐλαττώνεταί ἀντιστρόφως ἀνάλογα μέ τό τετράγωνο τῆς ἀποστάσεως (r).

Ὁ βόρειος πόλος N_1 ἔχει ποσότητα μαγνητισμοῦ m_1 καί ὁ βόρειος πόλος N_2 ἐνός ἄλλου μαγνήτη N_2S_2 ἔχει ποσότητα μαγνητισμοῦ m_2 . Ἄν ὁ πόλος N_2 ἀπό τήν ἴδια ἀπόσταση r ἐξασκεῖ στόν πόλο N διπλάσια ἄπωση ($2F_1$), τότε πρέπει νά δεχτοῦμε ὅτι ἡ ποσότητα μαγνητισμοῦ m_2 τοῦ πόλου N_2 εἶναι διπλάσια ἀπό τήν ποσότητα μαγνητισμοῦ m_1 τοῦ πόλου N_1 . Ἄρα οἱ ποσότητες μαγνητισμοῦ m_1 καί m_2 εἶναι ἀνάλογες μέ τίς δυνάμεις F_1 καί F_2 , τίς ὁποῖες ἐξασκοῦν αὐτές οἱ δύο ποσότητες μαγνητισμοῦ ἀπό τήν ἴδια ἀπόσταση r σέ μιά τρίτη ποσότητα μαγνητισμοῦ m , δηλαδή ἔχουμε :

$$\frac{m_1}{m_2} = \frac{F_1}{F_2}$$

Ὁ πόλος N_1 ἐξασκεῖ στόν πόλο N μιά ἄπωση F_1 , πού εἶναι ἀνάλογη μέ τήν ποσότητα μαγνητισμοῦ m_1 τοῦ πόλου N_1 . Σύμφωνα μέ τό ἀξίωμα τῆς δράσεως καί ἀντιδράσεως καί ὁ πόλος N ἐξασκεῖ στόν πόλο N_1 ἀντίθετη ἄπωση F_1 , πού εἶναι ἀνάλογη μέ τήν ποσότητα μαγνητισμοῦ m τοῦ πόλου N. Ὡστε ἡ ἄπωση F_1 εἶναι ἀνάλογη καί μέ τήν ποσότητα μαγνητισμοῦ m καί μέ τήν ποσότητα μαγνητισμοῦ m_1 , δηλαδή εἶναι ἀνάλογη μέ τό γινόμενο $m \cdot m_1$ τῶν δύο ποσοτήτων μαγνητισμοῦ.

α. Ὁ νόμος τοῦ Coulomb στό σύστημα μονάδων MKSA. Ὄταν οἱ δύο μαγνητικοί πόλοι m_1 καί m_2 βρίσκονται στό κενό (ἢ στόν ἀέρα), τότε ὀρίστηκε (1960) ὅτι ἡ μαγνητική σταθερὴ $K_{\text{μαγν}}$ ἔχει τήν τιμὴ :

$$\text{μαγνητική σταθερή του Coulomb} \quad K_{\text{μαγν}} = 10^{-7} \frac{\text{N}}{\text{A}^2}$$

Μονάδα ποσότητας μαγνητισμού. Στο σύστημα MKSA μονάδα ποσότητας μαγνητισμού είναι τό :

$$1 \text{ Ampère} \cdot \text{mètre} \text{ (1 άμπέρ επί μέτρο)} \quad \eta \quad 1 \text{ A} \cdot \text{m}$$

Αν στην εξίσωση (1) βάλουμε την τιμή της σταθερής $K_{\text{μαγν}}$, $m_1 = m_2 = 1 \text{ A} \cdot \text{m}$ και $r = 1 \text{ m}$, βρίσκουμε :

$$F = 10^{-7} \frac{\text{N}}{\text{A}^2} \cdot \frac{(1 \text{ A} \cdot \text{m})^2}{(1 \text{ m}^2)} \quad \text{καί} \quad F = 10^{-7} \text{ N}$$

Έτσι έχουμε τον ακόλουθο ορισμό :

Μονάδα ποσότητας μαγνητισμού (1 A · m) είναι η ποσότητα μαγνητισμού ή όποια, όταν βρίσκεται μέσα στο κενό σε απόσταση ενός μέτρου (1 m) από ίση ποσότητα μαγνητισμού, εξασκεί σ' αυτή δύναμη (F) ίση με 10⁻⁷ Newton.

Ωστε στο σύστημα MKSA ο νόμος του Coulomb για τό κενό (ή τόν αέρα) δίνεται από τήν εξίσωση :

$$\text{νόμος του Coulomb} \quad F = 10^{-7} \cdot \frac{m_1 \cdot m_2}{r^2}$$

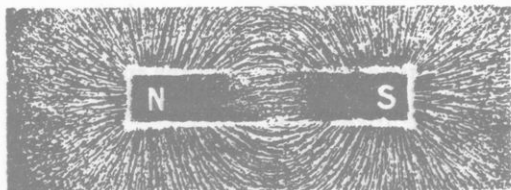
$$\left\{ \begin{array}{l} 10^{-7} \text{ σε N/A}^2 \\ m_1, m_2 \text{ σε A} \cdot \text{m} \\ r \text{ σε m} \\ F \text{ σε N} \end{array} \right. \quad (2)$$

β. Μαγνητικό δίπολο. Από τίς μετρήσεις βρήκαμε ότι οι δύο ετερόνυμοι πόλοι ενός μαγνήτη (δηλαδή ό βόρειος καί ό νότιος) έχουν κατ' απόλυτη τιμή τήν ίδια ποσότητα μαγνητισμού ($\pm m$), πού τή θεωρούμε συγκεντρωμένη σε δύο όρισμένα σημεία κοντά στις άκρες του μαγνήτη. Δύο ίσοι (κατ' απόλυτη τιμή) ετερώνυμοι πόλοι, πού βρίσκονται σε σταθερή μεταξύ τους απόσταση, αποτελούν ένα μαγνητικό δίπολο.

Μαγνητικό πεδίο

7. Μαγνητικό φάσμα. Όρισμός του μαγνητικού πεδίου

Κάτω από μία όριζόντια γυάλινη πλάκα τοποθετούμε έναν εϋθύγραμμο μαγνήτη. Πάνω στην πλάκα ρίχνουμε ρινίσματα σιδήρου καί χτυπάμε ελαφρά τήν πλάκα. Τά ρινίσματα άναπηδούν καί διατάσσονται σε κανονικές



Σχ. 8. Μαγνητικό φάσμα.

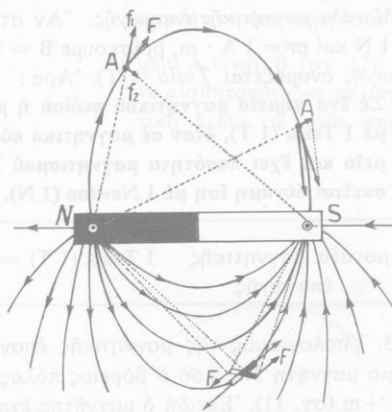
γραμμές, που αρχίζουν από τον έναν πόλο και καταλήγουν στον άλλο (σχ. 8). Αυτές οι γραμμές ονομάζονται *μαγνητικές δυναμικές γραμμές* και το σύστημα των γραμμών που σχηματίζεται πάνω στην πλάκα ονομάζεται *μαγνητικό φάσμα*. Αν πάνω στην πλάκα βάλουμε μικρές μαγνητικές βελόνες, παρατηρούμε ότι κάθε βελόνη, όταν ηρεμήσει, έχει τη διεύθυνση της εφαιπτομένης μιάς δυναμικής γραμμής (σχ. 9). Αυτή η θέση της μαγνητικής βελόνης οφείλεται στις μαγνητικές δυνάμεις, που εξασκούν στους δύο πόλους της οι δύο πόλοι του μαγνήτη. Ωστε το μαγνητικό φάσμα σχηματίζεται, γιατί τα ρινίσματα του σιδήρου *μαγνητίζονται* με επαγωγή και γίνονται μικροί μαγνήτες, οι όποιοι διατάσσονται κατά τη διεύθυνση της εφαιπτομένης σε κάθε σημείο της δυναμικής γραμμής.

Τό μαγνητικό φάσμα αισθητοποιεί μιά ιδιότητα που άποκτά ό χώρος γύρω άπό τό μαγνήτη. Δηλαδή σε κάθε ποσότητα μαγνητισμού, που έρχεται μέσα σ' αυτόν τό χώρο, εξασκούνται μαγνητικές δυνάμεις οι όποιες όφείλονται στό μαγνήτη. Τότε λέμε ότι γύρω άπό τό μαγνήτη ύπάρχει *μαγνητικό πεδίο*. Ωστε :

Μαγνητικό πεδίο ονομάζεται ένας χώρος, όταν σε κάθε ποσότητα μαγνητισμού που ύπάρχει μέσα σ' αυτόν εξασκούνται μαγνητικές δυνάμεις (έλλξεις ή άπώσεις).

8. Στοιχεία του μαγνητικού πεδίου

α. Μαγνητική έπαγωγή του μαγνητικού πεδίου. Ένα μαγνητικό πεδίο σχηματίζεται στό κενό (ή στόν άέρα). Σε ένα σημείο Α του μαγνητι-



Σχ. 9. Έξήγηση του μαγνητικού φάσματος.



Σχ. 10. Η μαγνητική επαγωγή \vec{B} στο σημείο A του μαγνητικού πεδίου.

κού πεδίου υπάρχει μία ποσότητα μαγνητισμού $+m$ (σχ. 10). Τότε το μαγνητικό πεδίο εξασκεί σ' αυτή την ποσότητα μαγνητισμού μία δύναμη \vec{F} . Στο σύστημα MKSA ισχύει ο ακόλουθος ορισμός :

Μαγνητική επαγωγή (\vec{B}) του μαγνητικού πεδίου σε ένα σημείο του ονομάζεται το πηλίκο της δύναμεις \vec{F}

πού ενεργεί στην ποσότητα μαγνητισμού m , (ή όποια βρίσκεται σ' αυτό το σημείο), διά της ποσότητας μαγνητισμού m .

$$\text{μαγνητική επαγωγή} \quad \vec{B} = \frac{\vec{F}}{m} \quad (1)$$

Η μαγνητική επαγωγή είναι *άνυσμα* (\vec{B}), πού έχει *φορέα* το φορέα της δύναμεις, *μέτρο* ίσο με το πηλίκο $B = F/m$ και *φορά* κατά σύμβαση τή φορά της δύναμεις \vec{F} , όταν αυτή ενεργεί σε θετική ποσότητα μαγνητισμού $+m$.

Από την εξίσωση $B = F/m$ συνάγεται ότι ή μαγνητική επαγωγή σε ένα σημείο του μαγνητικού πεδίου αριθμητικά είναι ίση με τή δύναμη πού εξασκεί τό πεδίο *στή μονάδα θετικής ποσότητας μαγνητισμού*, όταν αυτή βρίσκεται στο θεωρούμενο σημείο του μαγνητικού πεδίου.

Μονάδα μαγνητικής επαγωγής. Άν στην εξίσωση $B = F/m$ βάλουμε $F = 1 \text{ N}$ και $m = 1 \text{ A} \cdot \text{m}$, βρίσκουμε $B = 1 \text{ MKSA}$. Η μονάδα μαγνητικής επαγωγής ονομάζεται *Tesla* (1 T). Άρα :

Σέ ένα σημείο μαγνητικού πεδίου ή μαγνητική επαγωγή B είναι ίση με 1 Tesla (1 T), όταν σε μαγνητικό πόλο, πού βρίσκεται σ' αυτό τό σημείο και έχει ποσότητα μαγνητισμού 1 μονάδα MKSA ($1 \text{ A} \cdot \text{m}$), εξασκείται δύναμη ίση με 1 Newton (1 N).

$$\text{μονάδα μαγνητικής} \quad 1 \text{ Tesla (1 T)} = \frac{1 \text{ N}}{1 \text{ A} \cdot \text{m}} \quad \eta \quad 1 \text{ T} = 1 \frac{\text{N}}{\text{A} \cdot \text{m}}$$

επαγωγής

β. Υπολογισμός της μαγνητικής επαγωγής. Έχουμε ένα μακρύ εϋθύγραμμο μαγνήτη NS, πού ό βόρειος πόλος του N έχει ποσότητα μαγνητισμού $+m$ (σχ. 11). Έπειδή ό μαγνήτης έχει μεγάλο μήκος, μπορούμε κατά προσέγγιση νά θεωρήσουμε ότι ό πόλος N είναι μονωμένος και δημιουργεί γύρω του ένα μαγνητικό πεδίο. Σέ ένα σημείο A του μαγνητικού πεδίου

φέρνουμε τό βόρειο πόλο N_1 ενός άλλου μαγνήτη N_1S_1 . Ο πόλος N_1 έχει ποσότητα μαγνητισμού $+m_1$ και επομένως ό πόλος N εξασκεί στον πόλο N_1 δύναμη F ίση μέ :

$$F = K_{μαγν} \cdot \frac{m \cdot m_1}{r^2}$$

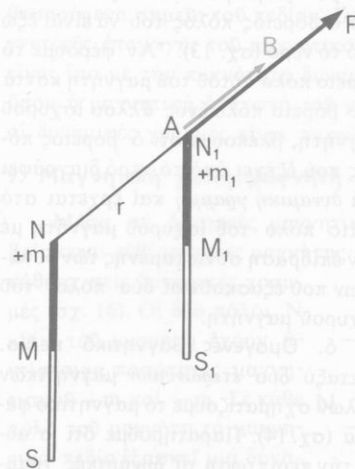
Άρα ή μαγνητική έπαγωγή B στό σημείο A του μαγνητικού πεδίου είναι :

$$B = \frac{F}{m_1} = K_{μαγν} \cdot \frac{m}{r^2} \quad \text{ή} \quad B = 10^{-7} \cdot \frac{m}{r^2} \quad \left\{ \begin{array}{l} 10^{-7} \text{ σε } N/A^2 \\ m \text{ σε } A \cdot m \\ r \text{ σε } m \\ B \text{ σε } T \end{array} \right.$$

όπου m είναι ή ποσότητα μαγνητισμού που δημιουργεί τό μαγνητικό πεδίο.

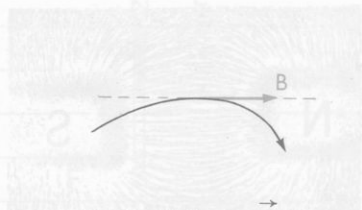
Παράδειγμα. Ένας βόρειος μαγνητικός πόλος έχει ποσότητα μαγνητισμού $m = 5 A \cdot m$. Σε απόσταση $r = 50 \text{ cm}$ από αυτό τον πόλο ή μαγνητική έπαγωγή έχει μέτρο ίσο μέ :

$$B = 10^{-7} \cdot \frac{m}{r^2} = 10^{-7} \frac{N}{A^2} \cdot \frac{5 A \cdot m}{(0,5 m)^2} \quad \text{καί} \quad B = 20 \cdot 10^{-7} \frac{N}{A \cdot m} \quad \text{ή} \quad T$$



Σχ. 11. Η δύναμη F που ενεργεί στον πόλο N_1 και ή μαγνητική έπαγωγή B στό σημείο A του πεδίου.

γ. Δυναμική γραμμή του μαγνητικού πεδίου. Σε ένα σημείο A του μαγνητικού πεδίου βρίσκεται ένας σημειακός βόρειος πόλος N και ή μαγνητική έπαγωγή στό σημείο A είναι \vec{B} (σχ. 12). Γιά να αισθητοποιοϋμε τό μαγνητικό πεδίο σε κάθε σημείο



Σχ. 12. Τό άνυσμα B είναι έφαπτόμενο της δυναμικής γραμμής.

του, έχουμε τις *δυναμικές γραμμές* του μαγνητικού πεδίου, για τις οποίες ισχύει ο *έξής όρισμός* :

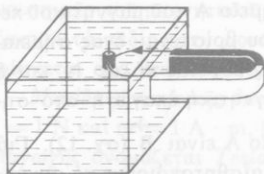
Δυναμική γραμμή του μαγνητικού πεδίου ονομάζεται ή γραμμή που σε κάθε σημείο της τό άνυσμα της μαγνητικής επαγωγής \vec{B} είναι εφαπτόμενο αυτής της γραμμής.

Επειδή σε κάθε σημείο του μαγνητικού πεδίου ή μαγνητική επαγωγή είναι ένα όρισμένο άνυσμα \vec{B} , συνάγεται ότι από ένα σημείο του μαγνητικού πεδίου περνάει *μόνο μία* δυναμική γραμμή. Αυτή έχει φορά τή φορά του άνυσματος της μαγνητικής επαγωγής. Από τή φορά, που κατά συνθήκη δεχόμαστε για τό άνυσμα της μαγνητικής επαγωγής, προκύπτει ότι ή δυναμική γραμμή έχει φορά από τό βόρειο προς τό νότιο πόλο του μαγνήτη (σχ. 9).

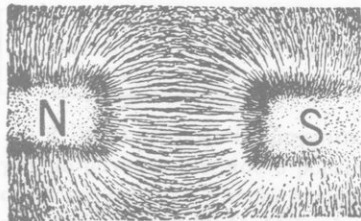
Από τά παραπάνω μπορούμε νά δώσουμε για τή δυναμική γραμμή τόν *έξής έμπειρικό όρισμό* :

Δυναμική γραμμή του μαγνητικού πεδίου είναι ή τροχιά που διαγράφει ένας βόρειος μαγνητικός πόλος (+m) μέ τήν επίδραση του μαγνητικού πεδίου.

Αυτή ή κίνηση ενός βόρειου μαγνητικού πόλου άποδεικνύεται μέ τό *έξής* πείραμα. Στερεώνουμε ένα λεπτό καί μακρύ μαγνήτη σε ένα φελλό καί τόν βυθίζουμε μέσα σε νερό έτσι, ώστε ο βόρειος πόλος του νά είναι έξω από τό νερό (σχ. 13). Αν φέρουμε τό βόρειο πόλο αυτού του μαγνήτη κοντά στό βόρειο πόλο ενός άλλου ισχυρού μαγνήτη, βλέπουμε ότι ο βόρειος πόλος που *έξέχει* από τό νερό διαγράφει μία *δυναμική γραμμή* καί έρχεται στό νότιο πόλο του ισχυρού μαγνήτη μέ τήν επίδραση συνισταμένης των δυνάμεων που *έξασκούν* οί δύο πόλοι του ισχυρού μαγνήτη.



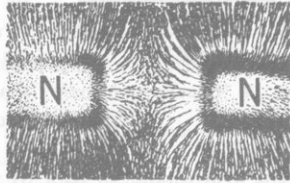
Σχ. 13. Κίνηση ενός βόρειου μαγνητικού πόλου.



Σχ. 14. Όμογενές μαγνητικό πεδίο μεταξύ δύο ετερόνων μαγνητικών πόλων.

δ. Όμογενές μαγνητικό πεδίο. Μεταξύ δύο *ετερόνων* μαγνητικών πόλων σχηματίζουμε τό μαγνητικό φάσμα (σχ. 14). Παρατηρούμε ότι σ' αυτή τήν περίπτωση οί δυναμικές γραμμές είναι *παράλληλες*. Αυτό τό μαγνητικό πεδίο λέγεται *όμογενές*. Γενικά άποδεικνύεται ότι στό όμογενές μαγνητικό πεδίο τό άνυσμα της μαγνη-

τικτής επαγωγής (B) \rightarrow σε όλα τα σημεία του πεδίου έχει την ίδια διεύθυνση, την ίδια φορά και τό ίδιο μέτρο, δηλαδή ή μαγνητική επαγωγή είναι σταθερή σε όλα τα σημεία του πεδίου. Ένας πεταλοειδής μαγνήτης ανάμεσα στους δύο βραχίονες του σχηματίζει ομογενές μαγνητικό πεδίο. Τό σχήμα 15 δείχνει τό μαγνητικό φάσμα πού σχηματίζεται μεταξύ δύο ομόνυμων μαγνητικών πόλων (άνομοιογενές πεδίο). Ένα ομογενές μαγνητικό πεδίο τό παριστάνουμε μέ ίσαπέχουσες παράλληλες γραμμές.



Σχ. 15. Μαγνητικό πεδίο μεταξύ δύο ομόνυμων μαγνητικών πόλων.

ε. Πυκνότητα δυναμικών γραμμών. Στο μαγνητικό φάσμα κοντά σε κάθε πόλο, όπου ή μαγνητική επαγωγή είναι μεγάλη, παρατηρούμε *πύκνωση* των δυναμικών γραμμών και αντίθετα σε μεγαλύτερη απόσταση από τούς πόλους, όπου ή μαγνητική επαγωγή είναι μικρότερη, παρατηρούμε *αραίωση* των δυναμικών γραμμών. Ονομάζουμε *πυκνότητα δυναμικών γραμμών* σε ένα σημείο του μαγνητικού πεδίου τόν αριθμό των δυναμικών γραμμών οι οποίες περνούν *κάθετα από τή μονάδα επιφάνειας*, πού ως κέντρο έχει τό θεωρούμενο σημείο του πεδίου. Συμβατικά δεχόμαστε ότι τό μέτρο τής μαγνητικής επαγωγής του μαγνητικού πεδίου σε ένα σημείο του αριθμητικά είναι ίσο μέ τήν πυκνότητα δυναμικών γραμμών σ' αυτό τό σημείο. Έτσι, όπου ή μαγνητική επαγωγή του μαγνητικού πεδίου είναι *μεγαλύτερη*, εκεί οι δυναμικές γραμμές είναι *πυκνότερες*.

9. Μαγνητική ροπή, μαγνήτη

Μέσα σε ομογενές μαγνητικό πεδίο πού έχει μαγνητική επαγωγή B , \rightarrow βρίσκεται εὐθύγραμμος μαγνήτης πού μπορεί νά στρέφεται γύρω από άξονα κάθετο στις δυναμικές γραμμές (σχ. 16). Οι δύο πόλοι N και S του μαγνήτη έχουν αντίστοιχα ποσότητες μαγνητισμού $+m$ και $-m$. Σε κάθε πόλο του μαγνήτη τό μαγνητικό πεδίο εξασκεί μία δύναμη, πού έχει μέτρο $F = B \cdot m$ και είναι παράλληλη μέ τις δυναμικές γραμμές. Όταν ό μαγνήτης σχηματίζει γωνία



Σχ. 16. Στο μαγνητικό δίπολο NS ενεργεί ζεύγος δυνάμεων.



Σχ. 17. Ἡ μαγνητική ροπή είναι τὸ ἄνυσμα \vec{M}^* .

μέ τή διεύθυνση τῶν δυναμικῶν γραμμῶν, τότε στό μαγνήτη ἐνεργεῖ ζεῦγος δυνάμεων, πού τείνει νά περιστρέψει τὸ μαγνήτη καί νά κάνει τὸν ἄξονά του παράλληλο μέ τίς δυναμικές γραμμές τοῦ μαγνητικοῦ πεδίου.

α. Μαγνητική ροπή μαγνήτη. Ἐάν ὁ μαγνήτης ἔχει μήκος l , τότε τὸ γινόμενο τῆς ποσότητας μαγνητισμοῦ (m) τοῦ ἑνὸς πόλου τοῦ μαγνήτη ἐπὶ τὴν ἀπόσταση (l) τῶν δύο πόλων του, εἶναι μέγεθος σταθερὸ καί χαρακτηριστικὸ γι' αὐτὸν τὸ μαγνήτη καί ὀνομάζεται *μαγνητικὴ ροπή* (M)* τοῦ μαγνήτη.

$$\text{μαγνητικὴ ροπή μαγνήτη} \quad M^* = m \cdot l \quad (1)$$

Ἡ μαγνητικὴ ροπή ἑνὸς μαγνήτη εἶναι ἄνυσμα \vec{M}^* πού ἔχει φορέα τὸν κατὰ μήκος ἄξονα τοῦ μαγνήτη, *φορᾷ* ἀπὸ τὸ νότιο πόλο S πρὸς τὸ βόρειο πόλο N καί μέτρο ἴσο μέ τὸ γινόμενο $m \cdot l$ (σχ. 17).

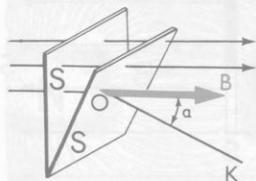
Μονάδα μαγνητικῆς ροπῆς. Ἐάν στήν ἐξίσωση (1) βάλουμε $m = 1 \text{ A} \cdot \text{m}$ καί $l = 1 \text{ m}$, βρίσκουμε $M^* = 1 \text{ MKSA}$ μαγνητικῆς ροπῆς. Ὡστε :

Στό σύστημα MKSA μονάδα μαγνητικῆς ροπῆς εἶναι ἡ *μαγνητικὴ ροπή* ἑνὸς μαγνητικοῦ διπόλου πού οἱ πόλοι του ἀπέχουν 1 m καί καθένας ἀπὸ αὐτοὺς ἔχει μιά μονάδα ποσότητας μαγνητισμοῦ ($1 \text{ A} \cdot \text{m}$).

$$\text{μονάδα μαγνητικῆς ροπῆς} \quad 1 \text{ A} \cdot \text{m} \cdot 1 \text{ m} \quad \text{ἢ} \quad 1 \text{ A} \cdot \text{m}^2 \quad (\text{MKSA})$$

10. Μαγνητικὴ ροή

Μέσα σέ ὁμογενές μαγνητικὸ πεδίο, πού ἔχει μαγνητικὴ ἐπαγωγή \vec{B} , ἔχουμε μιά ἐπιφάνεια, ἡ ὁποία ἔχει ἐμβαδὸ S καί ἡ κάθετος στήν ἐπιφάνεια σχηματίζει γωνία α μέ τίς δυναμικές γραμμές τοῦ πεδίου (σχ. 18). Τότε ἰσχύει ὁ ἐξῆς ὁρισμός :



Σχ. 18. Ἀπὸ τὴν ἐπιφάνεια S περνάει μαγνητικὴ ροή Φ .

Ὄνομάζεται *μαγνητικὴ ροή* (Φ) τὸ γινόμενο τῆς μαγνητικῆς ἐπαγωγῆς (B) τοῦ μαγνητικοῦ πεδίου ἐπὶ τὸ ἐμβαδὸ (S) τῆς ἐπιφάνειας καί ἐπὶ τὸ συνημίτονο τῆς γωνίας α (συν α).

$$\text{μαγνητική ροή } \Phi = B \cdot S \cdot \text{ συν } \alpha \quad (1)$$

Αν η επιφάνεια S είναι κάθετη στις δυναμικές γραμμές του πεδίου ($\alpha=0^\circ$), τότε η μαγνητική ροή έχει τη μέγιστη τιμή της :

$$\Phi = B \cdot S \quad (2)$$

Μονάδα μαγνητικής ροής. Αν στην εξίσωση (2) βάλουμε $B = 1$ Tesla (1 T) και $S = 1 \text{ m}^2$, βρίσκουμε $\Phi = 1$ MKSA. Η μονάδα μαγνητικής ροής ονομάζεται Weber (1 Wb). Άρα :

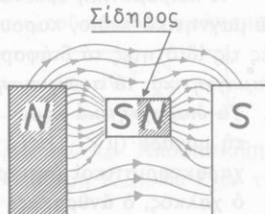
Ένα Weber (1 Wb) είναι η μαγνητική ροή που περνάει από μία επιφάνεια, η οποία έχει εμβαδό 1 m^2 και είναι κάθετη στις δυναμικές γραμμές ομογενούς μαγνητικού πεδίου με μαγνητική επαγωγή 1 Tesla (1 T).

$$\text{μονάδα μαγνητικής ροής } 1 \text{ Weber (1 Wb)} = 1 \text{ Tesla} \cdot 1 \text{ m}^2 \text{ ή } 1 \text{ Wb} = 1 \text{ T} \cdot \text{m}^2$$

II. Μαγνητική διαπερατότητα του σιδήρου

Σχηματίζουμε τό μαγνητικό φάσμα ενός ισχυρού πεταλοειδή μαγνήτη. Ανάμεσα στους δύο βραχίονές του τό μαγνητικό πεδίο είναι ομογενές, σχηματίζεται μέσα στον αέρα και έχει σταθερή μαγνητική επαγωγή B_0 . Στο διάκενο που υπάρχει ανάμεσα στους δύο βραχίονες του μαγνήτη, τοποθετούμε μία μικρή κυλινδρική ράβδο από μαλακό σίδηρο έτσι, ώστε η βάση του κυλίνδρου, που έχει εμβαδό S , να είναι κάθετη στις δυναμικές γραμμές του πεδίου. Σχηματίζουμε πάλι τό μαγνητικό φάσμα (σχ. 19). Βλέπουμε ότι τώρα τό μαγνητικό πεδίο δέν είναι ομογενές. Οί δυναμικές γραμμές λυγίζουν και προσπαθούν να περάσουν όσο είναι δυνατό περισσότερες μέσα από τό σίδηρο. Σύγχρονα η ράβδος μαγνητίζεται με επαγωγή και στις δύο άκρες της ράβδου σχηματίζονται νότιος και βόρειος πόλος.

Όταν δέν υπήρχε ό σίδηρος μέσα στο μαγνητικό πεδίο, τότε στον αέρα από μία επιφάνεια με εμβαδό S περνούσε μαγνητική ροή $\Phi_0 = B_0 \cdot S$. Όταν μέσα στο μαγνητικό πεδίο υπάρχει ό σίδηρος, τότε από τήν επιφάνεια με τό ίδιο εμβαδό S περνούν πολύ περισσότερες δυναμικές γραμμές και επομένως η μαγνητική επαγωγή αυξάνει και γίνεται B (§ 8ε). Σ' αυτή τήν περίπτωση από τήν επιφάνεια S περνάει μαγνητική ροή $\Phi = B \cdot S$. Ό λόγος Φ/Φ_0 ονο-



Σχ. 19. Οί δυναμικές γραμμές προσπαθούν να περάσουν μέσα από τό σίδηρο.

μάζεται *μαγνητική διαπερατότητα* μ (*σχετική μαγνητική διαπερατότητα*) του σιδήρου. Ώστε είναι :

$$\mu = \frac{\Phi}{\Phi_0} = \frac{B \cdot S}{B_0 \cdot S} \quad \text{\AA} \text{ρα} \quad \boxed{\begin{array}{l} \text{μαγνητική} \\ \text{διαπερατότητα} \end{array}} \quad \mu = \frac{B}{B_0} \quad (1)$$

Ἡ μαγνητική διαπερατότητα μ δέν ἔχει διαστάσεις. Ἀπό τά παραπάνω καταλήγουμε στά ἐξῆς συμπεράσματα :

I. Ὁ σίδηρος, ὅταν εἰσάγεται μέσα σέ μαγνητικό πεδίο, μαγνητίζεται καί προκαλεῖ μεγάλη συγκέντρωση τῶν δυναμικῶν γραμμῶν τοῦ πεδίου.

II. Μαγνητική διαπερατότητα (μ) τοῦ σιδήρου ὀνομάζεται ὁ λόγος τῆς μαγνητικῆς ροῆς (Φ), πού περνάει κάθετα ἀπό μιά ἐπιφάνεια τοῦ σιδήρου μέ ἐμβαδὸ S , πρὸς τὴ μαγνητικὴ ροὴ Φ_0 , πού περνάει ἀπὸ τὴν ἴδια ἐπιφάνεια στὸν ἀέρα.

III. Ὅταν μέσα σέ μαγνητικό πεδίο, πού στὸν ἀέρα ἔχει μαγνητικὴ ἐπαγωγὴ B_0 , εἰσάγεται σίδηρος, τότε ἡ μαγνητικὴ ἐπαγωγὴ τοῦ πεδίου γίνεται ἴση μέ $B = \mu \cdot B_0$.

Ἡ μαγνητικὴ διαπερατότητα (μ) τοῦ σιδήρου ἐξαρτᾶται ἀπὸ τὴν τιμὴ τῆς μαγνητικῆς ἐπαγωγῆς B_0 τοῦ πεδίου καί μπορεῖ νά λάβει μεγάλες τιμές (ὡς 15 000).

Σημείωση. Ἡ μαγνητικὴ διαπερατότητα μ πού ὀρίσαμε ἀπὸ τὴν ἐξίσωση (1) ὀνομάζεται *σχετικὴ μαγνητικὴ διαπερατότητα*, δηλαδή σχετικὰ μέ τὴ μαγνητικὴ διαπερατότητα τοῦ κενοῦ ἢ τοῦ ἀέρα.

12. Μαγνητικὴ κατάταξη τῶν ὑλικῶν

Ἡ πειραματικὴ ἔρευνα ἀπέδειξε ὅτι ὅλα τὰ ὑλικά, ὅταν βρεθοῦν μέσα σέ μαγνητικό πεδίο, παρουσιάζουν *μαγνητικὲς ιδιότητες*. Ἀνάλογα μέ αὐτὲς τίς ιδιότητες τὰ διάφορα ὑλικά κατατάσσονται σέ τρεῖς κατηγορίες, τὰ *διαμαγνητικά*, τὰ *παραμαγνητικά* καί τὰ *σιδηρομαγνητικά* ὑλικά.

α. Τὰ *διαμαγνητικά* ἔχουν μαγνητικὴ διαπερατότητα *λίγο μικρότερη* ἀπὸ τὴ μονάδα ($\mu < 1$). Τὰ περισσότερα ὑλικά εἶναι διαμαγνητικά. Οἱ πῖο χαρακτηριστικοὶ ἀντιπρόσωποι αὐτῶν τῶν ὑλικῶν εἶναι τὸ βισμούθιο, ὁ χαλκός, ὁ ἄνθρακας.

β. Τὰ *παραμαγνητικά* ἔχουν μαγνητικὴ διαπερατότητα *λίγο μεγαλύτερη* ἀπὸ τὴ μονάδα ($\mu > 1$). Τέτοια ὑλικά εἶναι τὸ ἀργίλιο, τὸ χρῶμιο, τὸ ὑγρὸ ὀξυγόνο.

- γ. Τά σιδηρομαγνητικά είναι λίγα καί ἔχουν μαγνητική διαπερατότητα, πολύ μεγαλύτερη ἀπό τή μονάδα ($\mu \gg 1$). Τέτοια ὑλικά είναι ὁ σίδηρος τό νικέλιο, τό κοβάλτιο καί μερικά κράματα. Τά σιδηρομαγνητικά ὑλικά ἔχουν τά ἑξῆς ιδιαίτερα χαρακτηριστικά: 1) Ἀποκτοῦν ἰσχυρή μαγνήτιση μέ τήν ἐπίδραση ἀσθενῶν μαγνητικῶν πεδίων. 2) Ἡ μαγνητική διαπερατότητά τους ἐξαρτᾶται ἀπό τή μαγνητική ἐπαγωγή τοῦ πεδίου πού προκαλεῖ τή μαγνήτισή τους. 3) Μποροῦν νά διατηρήσουν τή μαγνήτισή τους καί ὅταν βρίσκονται ἔξω ἀπό τό μαγνητικό πεδίο (π.χ. οἱ μόνιμοι μαγνήτες). 4) Εἶναι σιδηρομαγνητικά, ἐφόσον ἡ θερμοκρασία τους εἶναι μικρότερη ἀπό ἕνα ὄριο (θερμοκρασία Curie), πού εἶναι χαρακτηριστικό γιά κάθε ὑλικό (π.χ. γιά τό σίδηρο εἶναι 770°C). 5) Ἐχουν πολύ μεγάλες ἐφαρμογές στήν τεχνική.

Ἀπό τά παραπάνω συνάγονται τά ἑξῆς συμπεράσματα :

I. Ἡ ὕλη ἔχει γενικά μαγνητικές ιδιότητες.

II. Τά διάφορα ὑλικά ἀνάλογα μέ τή συμπεριφορά τους ὅταν βρεθοῦν μέσα σέ μαγνητικό πεδίο, διακρίνονται σέ διαμαγνητικά ($\mu < 1$), παραμαγνητικά ($\mu > 1$) καί σιδηρομαγνητικά ($\mu \gg 1$). Τά περισσότερα ὑλικά εἶναι διαμαγνητικά.

III. Ὁ διαμαγνητισμός καί ὁ παραμαγνητισμός ἐμφανίζονται μόνο ὅταν τό ὑλικό βρίσκεται μέσα σέ μαγνητικό πεδίο, ἐνῶ ὁ σιδηρομαγνητισμός ἐμφανίζεται καί ὅταν ὀρισμένα ὑλικά βρίσκονται ἔξω ἀπό μαγνητικό πεδίο.

Παρατήρηση. Σέ ἄλλο κεφάλαιο θά δοῦμε πῶς ἐρμηνεύονται οἱ μαγνητικές ιδιότητες τῆς ὕλης.

13. Μαγνητική διαπερατότητα τοῦ κενοῦ

Στό σύστημα MKSA τό κενό ἔχει ὀρισμένη μαγνητική διαπερατότητα μ_0 . Ἡ θεωρητική καί ἡ πειραματική ἔρευνα ἀπέδειξαν ὅτι: στό σύστημα MKSA ἡ μαγνητική διαπερατότητα μ_0 τοῦ κενοῦ ἔχει τήν τιμή :

$$\text{μαγνητική διαπερατότητα τοῦ κενοῦ } \mu_0 = 4\pi \cdot 10^{-7} \frac{\text{N}}{\text{A}^2} \quad (1)$$

Σχέση μεταξύ τῶν μαγνητικῶν σταθερῶν $K_{\text{μαγν}}$ καί μ_0 . Ἀποφασίσθηκε (1960) ὅτι στό σύστημα MKSA ἡ μαγνητική σταθερή $K_{\text{μαγν}}$ θά ἔχει τήν ἑξῆς τιμή :

$$K_{\text{μαγν}} = 10^{-7} \frac{\text{N}}{\text{A}^2} \quad (2)$$

Από τις σχέσεις (1) και (2) βρίσκουμε ότι οι δύο μαγνητικές σταθερές $K_{\text{μαγν}}$ και μ_0 συνδέονται μεταξύ τους με τη σχέση :

$$\text{μαγνητικές σταθερές} \quad K_{\text{μαγν}} = \frac{\mu_0}{4\pi} = 10^{-7} \frac{\text{N}}{\text{A}^2} \quad (3)$$

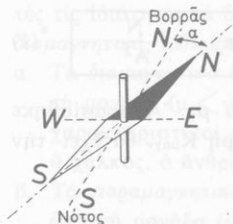
Παρατήρηση. Έπομένως ο νόμος του Coulomb σε συνάρτηση με τη μαγνητική διαπερατότητα του κενού μ_0 δίνεται από την εξίσωση :

$$\text{νόμος του Coulomb (για το κενό)} \quad F = \frac{\mu_0}{4\pi} \cdot \frac{m_1 \cdot m_2}{r^2} \quad \left\{ \begin{array}{l} \mu_0/4\pi \text{ σε } \text{N/A}^2 \\ m_1, m_2 \text{ σε } \text{A} \cdot \text{m} \\ r \text{ σε } \text{m} \\ F \text{ σε } \text{N} \end{array} \right.$$

Μαγνητικό πεδίο της Γης

14. Μαγνητική απόκλιση

Έλαφριά μαγνητική βελόνη μπορεί να στρέφεται πάνω σε οριζόντιο επίπεδο γύρω από κατακόρυφο άξονα. Η βελόνη ισορροπεί σε τέτοια θέση, ώστε ο κατά μήκος άξονάς της έχει διεύθυνση σχεδόν από Βορρά προς Νότο. Το κατακόρυφο επίπεδο που περνάει από τον κατά μήκος άξονα της βελόνης λέγεται *μαγνητικός μεσημβρινός*. Αυτός σχηματίζει με το γεωγραφικό μεσημβρινό του τόπου μία γωνία (α) που λέγεται *μαγνητική απόκλιση* (σχ. 20). Αυτή χαρακτηρίζεται ως *ανατολική* ή *δυτική*, όταν αντίστοιχα ο βόρειος πόλος της βελόνης βρίσκεται ανατολικά ή δυτικά του γεωγραφικού μεσημβρινοῦ. Ώστε :



Σχ. 20. Μαγνητική απόκλιση (α).

Μαγνητική απόκλιση ενός τόπου ονομάζεται η γωνία που σχηματίζει σ' αυτό τον τόπο ο μαγνητικός μεσημβρινός με το γεωγραφικό μεσημβρινό.

15. Μαγνητική έγκλιση

Έλαφριά μαγνητική βελόνη μπορεί να στρέφεται πάνω σε κατακόρυφο επίπεδο γύρω από κατακόρυφο άξονα που περνάει από το κέντρο βάρους

της (σχ. 21). Η βελόνη ισορροπεί σε τέτοια θέση, ώστε ο κατά μήκος άξονάς της βρίσκεται πάνω στο επίπεδο του μαγνητικού μεσημβρινοῦ καί σχηματίζει με τὸ ὀριζόντιο επίπεδο γωνία (ϵ), πού λέγεται *μαγνητική ἔγκλιση*. Αὐτή χαρακτηρίζεται ὡς *θετική* ἢ *ἀρνητική*, ὅταν ἀντίστοιχα ὁ βόρειος πόλος τῆς βελόνης βρίσκεται κάτω ἢ πάνω ἀπὸ τὸ ὀριζόντιο επίπεδο. Σ' ὀλόκληρο τὸ βόρειο ἡμισφαίριο τῆς Γῆς ἡ ἔγκλιση εἶναι θετική, ἐνῶ στὸ νότιο ἡμισφαίριο εἶναι ἀρνητική. Ὡστε :

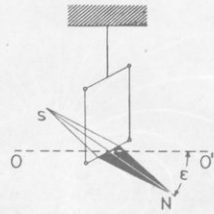
Μαγνητικὴ ἔγκλιση ἑνὸς τόπου ὀνομάζεται ἡ γωνία πού σχηματίζει σ' αὐτὸ τὸν τόπο ὁ κατά μήκος ἄξονας τῆς μαγνητικῆς βελόνης με τὸ ὀριζόντιο επίπεδο, ὅταν ἡ βελόνη στρέφεται πάνω στὸ επίπεδο τοῦ μαγνητικοῦ μεσημβρινοῦ γύρω ἀπὸ ὀριζόντιο ἄξονα.

Μέ τὴ συσκευή πού δείχνει τὸ σχῆμα 22 βρίσκουμε εὐκόλα τὴν ἀπόκλιση καί τὴν ἔγκλιση σ' ἓναν τόπο, ὅταν ὁ γωνιομετρικὸς κύκλος εἶναι ἀντίστοιχα ὀριζόντιος ἢ κατακόρυφος.

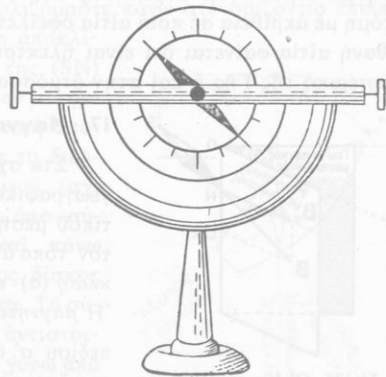
16. Γήινο μαγνητικὸ πεδίο

Σέ κάθε τόπο ἡ μαγνητικὴ βελόνη ἀποκλίσεως ἰσορροπεί ἔτσι, ὥστε ὁ κατά μήκος ἄξονάς της νά ἔχει ὀρισμένη διεύθυνση. Αὐτὸ τὸ φαινόμενο δείχνει ὅτι γύρω ἀπὸ τὴ Γῆ ὑπάρχει μαγνητικὸ πεδίο, πού ὀνομάζεται **γήινο μαγνητικὸ πεδίο**. Ἡ διεύθυνση τῆς μαγνητικῆς βελόνης ἔγκλισεως εἶναι ἡ διεύθυνση μιᾶς δυναμικῆς γραμμῆς τοῦ γήινου μαγνητικοῦ πεδίου. Σέ ἓναν τόπο οἱ δυναμικὲς γραμμὲς τοῦ μαγνητικοῦ πεδίου τῆς Γῆς εἶναι σχεδόν εὐθεῖες παράλληλες, δηλαδή τὸ μαγνητικὸ πεδίο εἶναι ὁμογενές.

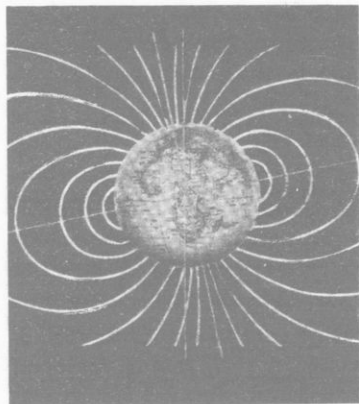
Στόν ἰσημερινὸ ἡ ἔγκλιση εἶναι σχεδόν ἴση με μηδέν ($\epsilon = 0^\circ$), καί ἡ μαγνητικὴ βελόνη ἔγκλισεως εἶναι σχεδόν ὀριζόντια. Ὅσο



Σχ. 21. Μαγνητικὴ ἔγκλιση (ϵ).



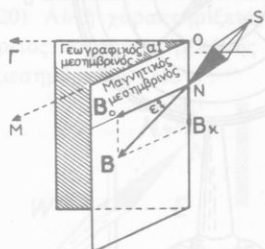
Σχ. 22. Διάταξη γιὰ τὴ μέτρηση τῆς μαγνητικῆς ἔγκλισεως καί ἀποκλίσεως (ὁ γωνιομετρικὸς κύκλος ὀριζόντιος).



Σχ. 23. Σχηματική παράσταση του γήι-
νου μαγνητικού πεδίου.

μαγνητική άποψη είναι βόρειος μαγνητικός πόλος. Οι δυναμικές γραμμές διαγράφουν στο χώρο μεγάλες καμπύλες γραμμές και καταλήγουν στο γήινο μαγνητικό πόλο που βρίσκεται στο βόρειο ημισφαίριο (σχ. 23). Έτσι ο πλανήτης μας συμπεριφέρεται ως *μαγνητικό δίπολο*, που ο άξονάς του (*γεωμαγνητικός άξονας*) σχηματίζει με το γεωγραφικό άξονα της Γης γωνία περίπου ίση με 12° .

Τά τελευταία χρόνια μελετάμε το γήινο μαγνητικό πεδίο σε μεγάλα ύψη με αεροπλάνα, πυραύλους και τεχνητούς δορυφόρους. Δέν ξέρουμε ακόμη με ακρίβεια σε ποιά αίτια οφείλεται το γήινο μαγνητικό πεδίο. Η πιο πιθανή αίτια φαίνεται ότι είναι ηλεκτρικά ρεύματα, που κυκλοφορούν στο έσωτερικό της Γης ή και στην ατμόσφαιρα.



Σχ. 24. Οι δύο συνιστώσες B_0 και B_k της μαγνητικής επαγωγής B του γήινου μαγνητικού πεδίου.

17. Μαγνητικά στοιχεία ενός τόπου

Στο σχήμα 24 φαίνονται τά επίπεδα του γεωγραφικού μεσημβρινού (Γ) και του μαγνητικού μεσημβρινού (M) ενός τόπου. Σ' αυτό τον τόπο αντιστοιχεί όρισμένη *μαγνητική απόκλιση* (α) και όρισμένη *μαγνητική έγκλιση* (ϵ). Η *μαγνητική επαγωγή* του γήινου μαγνητικού πεδίου \vec{B} αυτό τον τόπο είναι τό άνυσμα \vec{B} , που έχει τή διεύθυνση τής μαγνητικής βελόνης έγκλίσεως και αναλύεται σε δύο συνιστώσες, τήν *οριζόντια συνιστώσα* \vec{B}_0 και τήν *κατακό-*

όμως προχωρούμε προς βορρά ή έγκλιση συνεχώς αυξάνει και σε μία περιοχή κοντά στο βόρειο πόλο τής Γης ή έγκλιση γίνεται ίση με 90° ($\epsilon = 90^\circ$), δηλαδή εκεί ή μαγνητική βελόνη έγκλίσεως είναι κατακόρυφη έχοντας τό βόρειο πόλο της προς τά κάτω. Τό ίδιο συμβαίνει και σε μία περιοχή κοντά στο νότιο πόλο τής Γης, αλλά εκεί ή κατακόρυφη βελόνη έχει προς τά κάτω τό νότιο πόλο της. Αυτές οί δύο περιοχές τής Γης είναι οί δύο *μαγνητικοί πόλοι* τής Γης. Οί δυναμικές γραμμές του γήινου μαγνητικού πεδίου βγαίνουν από τό γήινο μαγνητικό πόλο, που βρίσκεται στο νότιο ημισφαίριο και ό όποιος από

ρουφη συνιστώσα B_{κ} . Από τό σχηματιζόμενο ὀρθογώνιο τρίγωνο βρίσκου-
με ὅτι ἡ συνιστώσα B_0 ἔχει μέτρο :

ὀριζόντια συνιστώσα τῆς μαγνητικῆς ἐπαγωγῆς	$B_0 = B \cdot \text{συν } \epsilon$
--	--------------------------------------

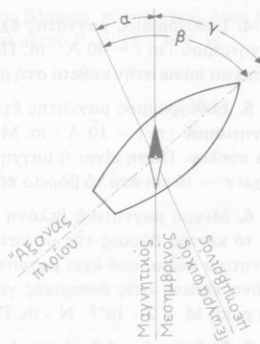
Τά μεγέθη B_0 καί ϵ προσδιορίζονται πειραματικά καί ἔτσι βρίσκουμε τήν τιμή τῆς μαγνητικῆς ἐπαγωγῆς B σέ ἕναν τόπο. Ἡ ὀριζόντια συνιστώσα B_0 εἶναι περίπου ἴση μέ $B_0 = 2 \cdot 10^{-5}$ T. Ἀπό τή μελέτη τοῦ γήινου μαγνη-
τικοῦ πεδίου συνάγεται ὅτι :

**Τά στοιχεῖα τοῦ γήινου μαγνητικοῦ πεδίου σέ ἕναν τόπο εἶναι ἡ μαγνη-
τικῆ ἀπόκλιση (α), ἡ μαγνητικῆ ἔγκλιση (ϵ) καί ἡ μαγνητικῆ ἐπαγω-
γή (B).**

Μεταβολές τῶν μαγνητικῶν στοιχείων ἑνός τόπου. Τά μαγνητικά στοι-
χεῖα ἑνός τόπου παρουσιάζουν κανονικές ἡμερήσιες καί ἐτήσιες μεταβολές.
Ἀλλά πολλές φορές τά μαγνητικά στοιχεῖα παρουσιάζουν ἀπότομες μετα-
βολές, πού ὀνομάζονται *μαγνητικές θύελλες* καί συνοδεύουν ὀρισμένα φαι-
νόμενα, ὅπως εἶναι οἱ σεισμοί, τό πολικό σέλας, οἱ κηλίδες τοῦ Ἡλίου.

17α. Μαγνητικῆ πυξίδα

Ἐφαρμογή τοῦ γήινου μαγνητικοῦ πεδίου ἔχουμε στήν *πυξίδα*, πού τή
χρησιμοποιοῦμε γιά νά προσανατολιζόμεσθε πάνω στό ὀριζόντιό ἐπίπεδο.
Ἡ πυξίδα εἶναι μαγνητικῆ βελόνη ἀποκλί-
σεως καί ὁ κατά μήκος ἄξονάς τῆς (SN)
δείχνει τή διεύθυνση τοῦ *μαγνητικοῦ μεσημ-
βρινοῦ*. Ἄν εἶναι γνωστή ἡ μαγνητικῆ ἀπό-
κλιση (α), τότε εὐκόλα βρίσκουμε τή διεύ-
θυνση τοῦ *γεωγραφικοῦ μεσημβρινοῦ* (σχ.
25). Ἡ ναυτικῆ πυξίδα ἀποτελεῖται ἀπό σύ-
στημα εὐθύγραμμων μαγνητῶν καί πάνω
τους εἶναι στερεωμένος ὀριζόντιος δίσκος
πού δείχνει τά σημεῖα τοῦ ὀρίζοντα. Τό σύ-
στημα τῶν εὐθύγραμμων μαγνητῶν ἀντιστοι-
χεῖ μέ ἕνα μαγνήτη, πού στρέφεται γύρω ἀπό
κατακόρυφο ἄξονα στερεωμένο σέ δοχεῖο.
Αὐτό εἶναι στερεωμένο ἔτσι, ὥστε ὁ ἄξονας
περιστροφῆς τοῦ μαγνήτη νά εἶναι ἀντο-



Σχ. 25. Ἡ χρήση τῆς πυξίδας
στή ναυσιπλοῖα.

τε κατακόρυφος και να μή επηρεάζεται από τους κλυδωνισμούς του σκάφους. Στο έσωτερικό του δοχείου είναι χαραγμένη μικρή ευθεία (γραμμή πίστεως) που δείχνει τη διεύθυνση του κατά μήκος άξονα του πλοίου. Όταν ο πλοίαρχος ξέρει τη μαγνητική απόκλιση α και τη γωνία β που πρέπει να σχηματίζει ο άξονας του πλοίου με το γεωγραφικό μεσημβρινό, βρίσκει άμεσα τη γωνία γ που πρέπει να σχηματίζει ο άξονας του πλοίου με το μαγνητικό μεσημβρινό (σχ. 25).

ΠΡΟΒΛΗΜΑΤΑ

1. Ο βόρειος πόλος N ενός μαγνήτη έχει ποσότητα μαγνητισμού $m = 10 \text{ A} \cdot \text{m}$ και έλκει το νότιο πόλο S, μιάς μαγνητικής βελόνης με δύναμη $F = 0,01 \text{ N}$, όταν η απόσταση αυτών των δύο πόλων είναι $r = 1,5 \text{ cm}$. Πόση ποσότητα μαγνητισμού m_1 έχει κάθε πόλος της μαγνητικής βελόνης;

2. Δύο βόρειοι μαγνητικοί πόλοι A και B βρίσκονται μέσα στον αέρα σε απόσταση $r = 10 \text{ cm}$ και άπωθονται με δύναμη $F = 0,204 \text{ N}$. Αν καθένας από αυτούς τους πόλους βρεθεί στην ίδια απόσταση r από έναν τρίτο βόρειο πόλο Γ, τον άπωθει με δύναμη που αντίστοιχα είναι F_A και F_B και ισχύει η σχέση $F_A = 2F_B$. Πόση είναι η ποσότητα μαγνητισμού m_A και m_B του βόρειου πόλου των δύο μαγνητών A και B;

3. Ευθύγραμμος μαγνήτης έχει στο βόρειο πόλο του N ποσότητα μαγνητισμού $m = 10 \text{ A} \cdot \text{m}$. α) Πόση είναι η μαγνητική επαγωγή B σε ένα σημείο Γ, που βρίσκεται σε απόσταση $r = 5 \text{ cm}$ από τον πόλο N και κατά την προέκταση του άξονα SN του μαγνήτη; β) Στο σημείο Γ φέρνουμε το νότιο πόλο S' μιάς μαγνητικής βελόνης. Πόση πρέπει να είναι η ποσότητα μαγνητισμού m' του πόλου S', αν θέλουμε να ενεργεί σ' αυτό τον πόλο έλξη εξαιτίας του πόλου N του μαγνήτη ίση με $F = 10^{-4} \text{ N}$;

4. Ευθύγραμμος μαγνήτης έχει μήκος $l = 8 \text{ cm}$ και κάθε πόλος του έχει ποσότητα μαγνητισμού $|m| = 40 \text{ A} \cdot \text{m}$. Πόση είναι η μαγνητική επαγωγή B σε ένα σημείο A, που βρίσκεται πάνω στην κάθετο στη μέση O του μαγνήτη και σε απόσταση $r = 3 \text{ cm}$ από το O;

5. Ευθύγραμμος μαγνήτης έχει μήκος $l = 20 \text{ cm}$ και κάθε πόλος του έχει ποσότητα μαγνητισμού $|m| = 10 \text{ A} \cdot \text{m}$. Με διάμετρο τό μήκος l του μαγνήτη γράφουμε ήμικυκλική περιφέρεια κύκλου. Πόση είναι η μαγνητική επαγωγή B σε ένα σημείο M της περιφέρειας, που απέχει $r = 10 \text{ cm}$ από το βόρειο πόλο N του μαγνήτη;

6. Μικρή μαγνητική βελόνη έχει μαγνητική ροπή $M^* = 0,005 \text{ A} \cdot \text{m}^2$ και κρέμεται από το κέντρο βάρους της με κατακόρυφο νήμα. Η βελόνη βρίσκεται μέσα σε ομογενές μαγνητικό πεδίο, που έχει μαγνητική επαγωγή B και για να διατηρήσουμε τη μαγνητική βελόνη κάθετη στις δυναμικές γραμμές του πεδίου, εφαρμόζουμε ζεύγος δυνάμεων, που έχει ροπή $M = 2 \cdot 10^{-5} \text{ N} \cdot \text{m}$. Πόση είναι η μαγνητική επαγωγή B του πεδίου;

7. Σε έναν τόπο η έγκλιση είναι $\epsilon = +60^\circ$ και η όριζόντια συνιστώσα της μαγνητικής επαγωγής του γήινου μαγνητικού πεδίου είναι $B_0 = 2 \cdot 10^{-5} \text{ T}$. Πόση είναι η κατακόρυφη συνιστώσα B_k και η μαγνητική επαγωγή B του γήινου μαγνητικού πεδίου σ' αυτό τον τόπο;

8. Μαγνητική βελόνη έχει μαγνητική ροπή $M^* = 0,1 \text{ A} \cdot \text{m}^2$ και κρέμεται από το κέντρο βάρους της με κατακόρυφο νήμα. Η Έγκλιση σ αυτό τόν τόπο είναι $\epsilon = + 60^\circ$. Πόσο αντίβαρο F πρέπει να εφαρμόσουμε σε απόσταση $a = 2 \text{ cm}$ από το κέντρο βάρους της βελόνης, για να διατηρείται οριζόντια; Οριζόντια συνιστώσα $B_0 = 2 \cdot 10^{-5} \text{ T}$.

9. Κυκλικό πλαίσιο έχει ακτίνα $r = 10 \text{ cm}$, έχει $N = 100$ σπειρές και είναι κάθετο στο επίπεδο του μαγνητικού μεσημβρινοῦ. Πόση είναι η μαγνητική ροή που περνάει από το πλαίσιο, αν η οριζόντια συνιστώσα της μαγνητικής επαγωγής του γήινου μαγνητικού πεδίου είναι $B_0 = 2 \cdot 10^{-5} \text{ T}$;

10. Ο κάθε πόλος μιάς μικρής μαγνητικής βελόνης αποκλίσεως έχει ποσότητα μαγνητισμοῦ $|m| = 5 \text{ A} \cdot \text{m}$. Η βελόνη έχει μήκος $l = 10 \text{ cm}$ και η οριζόντια συνιστώσα της μαγνητικής επαγωγής του γήινου μαγνητικού πεδίου είναι $B_0 = 2 \cdot 10^{-5} \text{ T}$. Πόσο έργο ξοδεύουμε, όταν απομακρύνουμε τη βελόνη κατά 60° από τη θέση της ισορροπίας της;

11. Εὐθύγραμμος μαγνήτης NS έχει μήκος $l = 20 \text{ cm}$ και στηρίζεται κατακόρυφα πάνω σε οριζόντιο επίπεδο με το βόρειο πόλο του N. Μέ μιά μικρή μαγνητική βελόνη αποκλίσεως βρίσκουμε ότι σε ένα σημείο A του οριζόντιου επιπέδου δέν υπάρχει οριζόντια συνιστώσα του μαγνητικού πεδίου. Τό σημείο A απέχει 15 cm από τό σημείο στηρίξεως N. Η οριζόντια συνιστώσα της μαγνητικής επαγωγής του γήινου μαγνητικού πεδίου είναι $B_0 = 2 \cdot 10^{-5} \text{ T}$. Πόση είναι η μαγνητική ροπή του μαγνήτη;

12. Σε ένα σημείο A που απέχει $r = 10 \text{ cm}$ από ένα βόρειο πόλο N η μαγνητική επαγωγή έχει μέτρο $B = 0,14 \text{ T}$. 1) Πόση είναι η ποσότητα μαγνητισμοῦ m του πόλου N; 2) Πόση πρέπει να είναι η ποσότητα μαγνητισμοῦ m_1 του πόλου N, αν θέλουμε στο σημείο A η μαγνητική επαγωγή να έχει μέτρο ἴσο με $B_1 = 0,28 \text{ T}$;

13. Η μαγνητική επαγωγή ενός ὁμογενοῦς μαγνητικού πεδίου έχει μέτρο $B = 0,5 \text{ T}$. Μέσα στο μαγνητικό πεδίο υπάρχει μιά ἐπιφάνεια που έχει ἐμβαδό $S = 20 \text{ cm}^2$. Πόση είναι η μαγνητική ροή Φ που περνάει από αὐτή τήν ἐπιφάνεια, όταν η κάθετος στήν ἐπιφάνεια σχηματίζει μέ τη διεύθυνση τῶν δυναμικῶν γραμμῶν γωνία α ἴση μέ $0^\circ, 60^\circ, 90^\circ$;

14. Ένας εὐθύγραμμος μαγνήτης NS έχει μήκος $l = 15 \text{ cm}$ και κάθε πόλος του έχει ποσότητα μαγνητισμοῦ $m = 6 \text{ A} \cdot \text{m}$. Ένα σημείο A απέχει $r = 10 \text{ cm}$ από κάθε πόλο του μαγνήτη. Νά προσδιοριστεί η μαγνητική επαγωγή του μαγνητικού πεδίου στο σημείο A και πόση πρέπει να είναι η ποσότητα μαγνητισμοῦ m_1 ἑνός βόρειου πόλου, που, όταν βρισκεται στο σημείο A, νά ἐνεργεί πάνω του δύναμη που έχει μέτρο $F = 18 \cdot 10^{-4} \text{ N}$.

ΗΛΕΚΤΡΙΣΜΟΣ

Στατικός ηλεκτρισμός

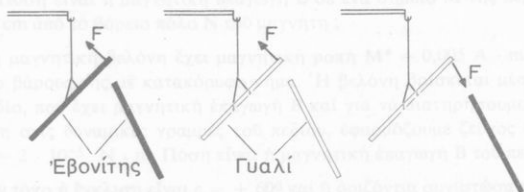
ΗΛΕΚΤΡΙΚΟ ΦΟΡΤΙΟ

18. Θεμελιώδη φαινόμενα

“Εξι αιώνες π.Χ. ο Θαλής ο Μιλήσιος ανακάλυψε ότι τό ηλεκτρο (κεχριμπάρι), όταν τρίβεται με μάλλινο υφασμα, αποκτά την ιδιότητα να έλκει έλαφρά σώματα (π.χ. τρίχες, κομματάκια χαρτί, μικρά φτερά). Αυτή η ιδιότητα που έχει τό ηλεκτρο ονομάστηκε **ηλεκτρισμός**. Πειραματικά βρέθηκε ότι αυτή την ιδιότητα την έχουν καί πολλά άλλα σώματα (γυαλί, έβονίτης, θεο κ.ά.).

“Ηλεκτρίζουμε με τριβή δύο γυάλινες ράβδους καί κρεμάμε τή μιά με νήμα από μεταξύ (σχ. 26). “Αν στή ράβδο που κρέμεται πλησιάσουμε τήν άλλη ράβδο, παρατηρούμε ότι μεταξύ τών δύο ράβδων αναπτύσσεται άμοιβαία άπωση. Τό ίδιο παρατηρούμε καί με δύο ηλεκτρισμένες ράβδους έβονίτη. “Αν όμως στήν ηλεκτρισμένη γυάλινη ράβδο πλησιάσουμε τήν ηλεκτρισμένη ράβδο έβονίτη, παρατηρούμε ότι μεταξύ τών δύο ράβδων αναπτύσσεται άμοιβαία έλξη. “Οταν ένα σωμα είναι ηλεκτρισμένο, λέμε ότι έχει πάνω του **ηλεκτρικό φορτίο**.

“Από τά παραπάνω άπλά πειράματα διαπιστώνουμε ότι υπάρχουν δύο

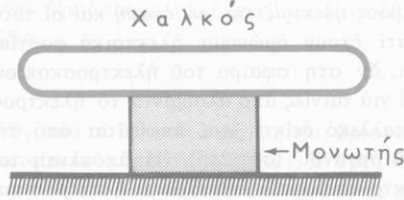


Σχ. 26. Δύναμη μεταξύ ηλεκτρικών φορτίων.

είδη ηλεκτρικού φορτίου, έκεινο πού άναπτύσσεται στό γυαλί καί λέγεται θετικό ηλεκτρικό φορτίο καί έκεινο πού άναπτύσσεται στόν έβονίτη καί λέγεται άρνητικό ηλεκτρικό φορτίο.

Έπίσης από τά παραπάνω άπλά πειράματα καταλήγουμε στό έξής συμπέρασμα :

Τά όμώνυμα ηλεκτρικά φορτία άπωθούνται, ένώ τά έτερόνυμα έλκονται.



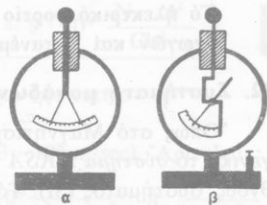
Σχ. 27. Ήλεκτρίση μέ τριβή μιās ράβδου από χαλκό.

19. Μονωτές, άγωγοί, ήμιαγωγοί

Όταν ήλεκτρίσουμε μέ τριβή μιιά ράβδο από γυαλί ή έβονίτη, παρατηρούμε ότι τά έλαφρά σώματα κολλάνε μόνο στό μέρος τής ράβδου πού τρίψαμε. Έπομένως μόνο σ' αυτό τό μέρος τής ράβδου ύπάρχει ήλεκτρικό φορτίο, πού δέν μετακινείται πρós τά υπόλοιπα τμήματα τής ράβδου. Τά ύλικά, όπως τό γυαλί καί ό έβονίτης, πού δέν έπιτρέπουν στά ήλεκτρικά φορτία νά κινούνται μέσα στή μάζα τους, όνομάζονται *μονωτές*. Μιιά ράβδο από χαλκό τή στηρίζουμε πάνω σέ μονωτή (σχ. 27). Άν μέ ξηρό ύφασμα τρίψουμε ένα τμήμα τής χάλκινης ράβδου, παρατηρούμε ότι ήλεκτρίζεται όλη ή ράβδος τοϋ χαλκοϋ. Αυτό φανεράνει ότι τά ήλεκτρικά φορτία εύκολα κινούνται μέσα στή μάζα τοϋ χαλκοϋ. Τά ύλικά, όπως ό χαλκός, πού έπιτρέπουν στά ήλεκτρικά φορτία νά κινούνται μέσα στή μάζα τους, όνομάζονται *άγωγοί*. Τέτοια ύλικά είναι τά μέταλλα, τά ύδατικά διαλύματα τών όξέων, τών βάσεων, τών άλάτων, τό σώμα τών ζώων, τό υγρό έδαφος. Σέ μερικά ύλικά, όπως π.χ. τό πυρίτιο καί τό γερμάνιο, ή ήλεκτρική συμπεριφορά τους είναι ένδιάμεση μεταξύ τών άγωγών καί τών μονωτών καί γι' αυτό τά ύλικά αυτά όνομάζονται *ήμιαγωγοί*.

20. Ήλεκτροσκόπιο

Τό ήλεκτροσκόπιο είναι ένα άπλό, αλλά πολύ χρήσιμο όργανο. Άποτελείται από μεταλλική ράβδο πού στή μιιά άκρη τής έχει μεταλλική σφαίρα ή δίσκο καί στήν άλλη άκρη τής είναι κολλημένες δύο στενόμακρες ταινίες από άλουμίνιο (σχ. 28α). Ή ράβδος είναι στερεωμένη σέ γυάλινο ή μεταλλικό δοχείο μέ λαιμό



Σχ. 28. Ήλεκτροσκόπιο.

ἀπό ἓνα μονωτικό ὑλικό. Ἐάν στή σφαίρα τοῦ ἠλεκτροσκοπίου ἀκουμπήσουμε ἓνα ἠλεκτρισμένο σῶμα (π.χ. γυάλινη ράβδος), παρατηροῦμε ὅτι ἡ ράβδος *ἠλεκτριζέται μέ ἐπαφή* καί οἱ ταινίες τοῦ ἀλουμινίου ἀπωθοῦνται, γιατί ἔχουν ὁμώνυμα ἠλεκτρικά φορτία. Τό ἠλεκτροσκόπιο ἐκφορτίζεται, ἂν στή σφαίρα τοῦ ἠλεκτροσκοπίου ἀκουμπήσουμε τό χέρι μας. Ἄντί γιά ταινίες ἀπό ἀλουμίνιο τό ἠλεκτροσκόπιο μπορεῖ νά ἔχει ἓνα λεπτό μεταλλικό δείκτη πού ἀπωθεῖται ἀπό τήν ὁμώνυμη ἠλεκτρισμένη ράβδο τοῦ ὄργάνου (σχ. 28β). Ἡ ἀπόκλιση τοῦ δείκτη εἶναι ἀνάλογη μέ τό ἠλεκτρικό φορτίο πού ἔχει τό ἠλεκτροσκόπιο.

21. Κατανόμῃ τοῦ ἠλεκτρικοῦ φορτίου

Ἄς θεωρήσουμε μία μονωμένη μεταλλική σφαίρα πού ἔχει ἀρνητικό ἠλεκτρικό φορτίο. Ἐπειδή τά ὁμώνυμα ἠλεκτρικά φορτία ἀπωθοῦνται μεταξύ τους, γι' αὐτό τά φορτία αὐτά κινοῦνται μέσα στή μάζα τῆς σφαίρας καί ἔρχονται *στήν ἐξωτερική ἐπιφάνειά* τῆς. Στό ἐσωτερικό τῶν ἠλεκτρισμένων ἀγωγῶν *δέν ὑπάρχουν* ἠλεκτρικά φορτία. Αὐτό τό διαπιστώνουμε



Σχ. 29. Κατανόμῃ τοῦ φορτίου σέ ἀγωγό.

πειραματικά μέ ἓναν κοῖλο ἠλεκτρισμένο ἀγωγό, πού εἶναι μονωμένος (σχ. 29). Στήν ἄκρη γυάλινης ράβδου εἶναι στερεωμένο ἓνα μεταλλικό σφαιρίδιο (τό λέμε δοκιμαστικό σφαιρίδιο). Ὄταν τό οὐδέτερο σφαιρίδιο ἔρθει σέ ἐπαφή μέ τήν ἐξωτερική ἐπιφάνεια τοῦ ἀγωγοῦ, τό σφαιρίδιο παίρνει ἀπό τόν ἀγωγό λίγο ἠλεκτρικό φορτίο (*ἠλέκτριση μέ ἐπαφή*). Μέ τό ἠλεκτροσκόπιο βλέπουμε ὅτι τό σφαιρίδιο εἶναι ἠλεκτρισμένο. Ἄντίθετα τό σφαιρίδιο δέν παίρνει καθόλου ἠλεκτρικό φορτίο, ὅταν ἔρχεται σέ ἐπαφή μέ τήν ἐσωτερική ἐπιφάνεια τοῦ κοίλου ἀγωγοῦ.

Σέ ἓνα σφαιρικό ἀγωγό τό ἠλεκτρικό φορτίο κατανέμεται *ὁμοιόμορφα* στήν ἐξωτερική ἐπιφάνειά του. Ἐάν ὁ ἀγωγός ἔχει ἄκμές, τότε μεγάλο μέρος τοῦ ἠλεκτρικοῦ φορτίου του συγκεντρώνεται σ' αὐτά τά σημεῖα, γιατί ἐξαιτίας τῆς ἀπόσεως τῶν ὁμώνυμων ἠλεκτρικῶν φορτίων, αὐτά καταφεύγουν στά πιο μακρινά σημεῖα τοῦ ἀγωγοῦ. Ὡστε :

Τό ἠλεκτρικό φορτίο ὑπάρχει πάντοτε στήν ἐξωτερική ἐπιφάνεια τῶν ἀγωγῶν καί κατανέμεται ὁμοιόμορφα μόνο στοὺς σφαιρικούς ἀγωγούς.

22. Συστήματα μονάδων στόν Ἡλεκτρισμό

Ὅπως στό Μαγνητισμό ἔτσι καί στόν Ἡλεκτρισμό χρησιμοποιοῦμε γενικά τό *σύστημα MKSA* πού, ὅπως εἶδαμε, (§ 5) εἶναι ἓνα τμήμα τοῦ διεθνοῦς συστήματος (SI). Τό σύστημα CGS ἐπεκτείνεται καί στόν Ἡλεκτρισμό καί σ' αὐτή τήν περίπτωση ἀποτελεῖ τό *ἠλεκτροστατικό σύστημα* μο-

νάδων (σύστημα ΗΣΜ). Τά δύο συστήματα μονάδων, τό ηλεκτρομαγνητικό σύστημα (ΗΜΜ) καί τό ηλεκτροστατικό σύστημα (ΗΣΜ) ανήκουν στό απόλυτο σύστημα μονάδων CGS. Θά εξετάσουμε τά ηλεκτρικά φαινόμενα χρησιμοποιώντας τό σύστημα MKSA.

23. Νόμος τού Coulomb

Δύο ηλεκτρικά φορτία Q_1 καί Q_2 , πού τά θεωρούμε ως σημεία, βρίσκονται στό κενό (ή στόν αέρα) καί ή μεταξύ τους απόσταση είναι r . Σ' αυτή τήν περίπτωση βρίσκουμε ότι ή δύναμη (έλξη ή άπωση) πού αναπτύσσεται μεταξύ αυτών των δύο ηλεκτρικών φορτίων δίνεται από τόν ακόλουθο νόμο τού *Coulomb* :

Ή έλξη ή ή άπωση (F) πού αναπτύσσεται μεταξύ δύο σημειακών ηλεκτρικών φορτίων (Q_1 καί Q_2) είναι ανάλογη μέ τό γινόμενο των ηλεκτρικών φορτίων καί αντίστροφως ανάλογη μέ τό τετράγωνο τής απόστάσεώς τους (r).

$$\text{νόμος τού Coulomb} \quad F = K_{\eta\lambda} \cdot \frac{Q_1 \cdot Q_2}{r^2} \quad (1)$$

όπου $K_{\eta\lambda}$ είναι μία σταθερή, πού εξαρτάται από τίς μονάδες καί τό μέσο πού ύπάρχει γύρω από τά δύο ηλεκτρικά φορτία. Ή ηλεκτρική δύναμη F είναι θετική (άπωση), άν τά δύο ηλεκτρικά φορτία είναι όμώνυμα, καί άρνητική (έλξη), άν τά δύο ηλεκτρικά φορτία είναι έτερόνυμα.

α. Ή νόμος τού Coulomb στό σύστημα μονάδων MKSA. Ή μονάδα ηλεκτρικού φορτίου στό σύστημα MKSA όνομάζεται *Coulomb* (1 Cb) καί, όπως θά δοϋμε σέ άλλο κεφάλαιο, ή μονάδα αυτή σέ συνάρτηση μέ τίς θεμελιώδεις μονάδες είναι :

$$1 \text{ Coulomb (1 Cb)} = 1 \text{ Ampère} \cdot 1 \text{ sec} \quad \eta \quad 1 \text{ Cb} = 1 \text{ A} \cdot \text{sec}$$

Όταν τά δύο ηλεκτρικά φορτία Q_1 καί Q_2 βρίσκονται στό κενό (ή στόν αέρα), τότε όρίστηκε(*), ότι ή ηλεκτρική σταθερή $K_{\eta\lambda}$ έχει τήν τιμή :

$$\text{ηλεκτρική σταθερή τού Coulomb} \quad K_{\eta\lambda} = 9 \cdot 10^9 \frac{\text{N} \cdot \text{m}^2}{\text{Cb}^2}$$

(*). Όρίστηκε ότι ή ηλεκτρική σταθερή $K_{\eta\lambda}$ θά έχει τήν τιμή :

$$\text{ηλεκτρική σταθερή} \quad K_{\eta\lambda} = K_{\mu\alpha\gamma\nu} \cdot c^2$$

όπου c είναι ή ταχύτητα τού φωτός στό κενό ($c = 3 \cdot 10^8 \text{ m/sec}$). Άρα είναι :

$$K_{\eta\lambda} = 10^{-7} \frac{\text{N}}{\text{A}^2} \cdot 9 \cdot 10^{16} \frac{\text{m}^2}{\text{sec}^2} \quad \eta \quad K_{\eta\lambda} = 9 \cdot 10^9 \frac{\text{N} \cdot \text{m}^2}{\text{A}^2 \cdot \text{sec}^2} \quad \eta \quad \frac{\text{N} \cdot \text{m}^2}{\text{Cb}^2}$$

“Ωστε στο σύστημα MKSA ο νόμος του Coulomb για το κενό (ή τον άερα) δίνεται από την εξίσωση :

$$\text{νόμος του Coulomb } F = 9 \cdot 10^9 \cdot \frac{Q_1 \cdot Q_2}{r^2}$$

$$\left\{ \begin{array}{l} 9 \cdot 10^9 \text{ N} \cdot \text{m}^2/\text{Cb}^2 \\ Q_1, Q_2 \text{ σε Cb} \\ r \text{ σε m} \\ F \text{ σε N} \end{array} \right.$$

“Ηλεκτροστατικός ορισμός της μονάδας ηλεκτρικού φορτίου.” Αν στην τελευταία εξίσωση βάλουμε $Q_1 = Q_2 = 1$ Coulomb και $r = 1$ m, βρίσκουμε:

$$F = 9 \cdot 10^9 \frac{\text{N} \cdot \text{m}^2}{\text{Cb}^2} \cdot \frac{(1 \text{ Cb})^2}{(1 \text{ m})^2} \quad \text{άρα} \quad F = 9 \cdot 10^9 \text{ N}$$

Έτσι έχουμε τον ακόλουθο ορισμό :

1 Coulomb (1 Cb) είναι το ηλεκτρικό φορτίο το οποίο, όταν βρίσκεται μέσα στο κενό σε απόσταση ενός μέτρου (1 m) από ίσο ηλεκτρικό φορτίο, εξασκεί σ' αυτό δύναμη (F) ίση με $9 \cdot 10^9$ N.

ΠΡΟΒΛΗΜΑΤΑ

15. Δύο σημειακά θετικά φορτία ίσα βρίσκονται μέσα στον άερα σε απόσταση $r=10$ cm το ένα από το άλλο και εξασκούν αμοιβαία άπωση $F = 400$ N. Πόσο είναι κάθε φορτίο;

16. Δύο σημειακά θετικά φορτία $Q_1 = 3$ mCb και $Q_2 = 0,4$ mCb βρίσκονται μέσα στον άερα σε απόσταση r το ένα από το άλλο και άπωθούνται με δύναμη $F = 3 \cdot 10^4$ N. Πόση είναι η απόσταση r ;

17. Δύο όμοιες πολύ μικρές σφαίρες, που καθεμιά έχει μάζα $m = 0,25$ gr, κρέμονται από το ίδιο σημείο με δύο μονωτικά νήματα μήκους $l = 50$ cm και αρχικά βρίσκονται σε έπαφή μεταξύ τους. Σε κάθε σφαίρα δίνουμε το ίδιο φορτίο $+q$ και τότε οι δύο σφαίρες απομακρύνονται και ισορροπούν σε τέτοια θέση, ώστε τα δύο νήματα σχηματίζουν γωνία 90° . Πόσο είναι το φορτίο q κάθε σφαίρας; $g = 9,8$ m/sec².

18. Δύο ίσες μικρές μεταλλικές σφαίρες, που καθεμιά θεωρείται ως σημείο με άσημαντη μάζα, έχουν αντίστοιχα φορτία $q_1 = 16 \cdot 10^{-14}$ Cb και $q_2 = -6,4 \cdot 10^{-14}$ Cb και η μεταξύ τους απόσταση είναι $r_1 = 20$ cm. Έπειτα οι δύο σφαίρες απομακρύνονται και η απόστασή τους γίνεται $r_2 = 50$ cm. Νά συγκριθούν οι δυνάμεις που αναπτύσσονται μεταξύ των σφαιρών στις δύο θέσεις.

19. Στις άκρες A και B μιάς ευθείας, που έχει μήκος 15 cm, υπάρχουν δύο θετικά ηλεκτρικά φορτία, που αντίστοιχα είναι Q_A και $Q_B = 2Q_A$. Σε ποίο σημείο της ευθείας AB πρέπει να βρίσκεται το ηλεκτρικό φορτίο $q = +1$ Cb, ώστε οι δύο δυνάμεις που ενεργούν σ' αυτό εξαιτίας των δύο φορτίων να έχουν συνισταμένη ίση με μηδέν;

ΗΛΕΚΤΡΙΚΟ ΠΕΔΙΟ

24. Όρισμός του ηλεκτρικού πεδίου

Όταν ένα σώμα είναι ηλεκτρισμένο, το ηλεκτρικό φορτίο του εξασκεί έλξη ή άπωση σε κάθε άλλο ηλεκτρικό φορτίο που υπάρχει μέσα στο χώρο γύρω από το ηλεκτρισμένο σώμα. Τότε λέμε ότι γύρω από το ηλεκτρισμένο σώμα δημιουργείται *ηλεκτρικό πεδίο*. Ωστε :

Ήλεκτρικό πεδίο ονομάζεται ένας χώρος, όταν σε κάθε ηλεκτρικό φορτίο που υπάρχει μέσα σ' αυτόν εξασκούνται ηλεκτρικές δυνάμεις (έλξεις ή άπώσεις).

25. Στοιχεία του ηλεκτρικού πεδίου

α. Ένταση του ηλεκτρικού πεδίου. Ένα ηλεκτρικό πεδίο σχηματίζεται στο κενό (ή στον αέρα). Σε ένα σημείο Α του ηλεκτρικού πεδίου υπάρχει *ηλεκτρικό φορτίο* q (σχ. 30). Τότε το ηλεκτρικό πεδίο εξασκεί σ' αυτό το ηλεκτρικό φορτίο μία *δύναμη* \vec{F} . Στο σύστημα *MKSA* ισχύει ο ακόλουθος *όρισμός* :

Ένταση (\vec{E}) του ηλεκτρικού πεδίου σε ένα σημείο του ονομάζεται το *πηλίκο* της δύναμης \vec{F} που ενεργεί στο ηλεκτρικό φορτίο q (που βρίσκεται σ' αυτό το σημείο) *διά* του ηλεκτρικού φορτίου q .

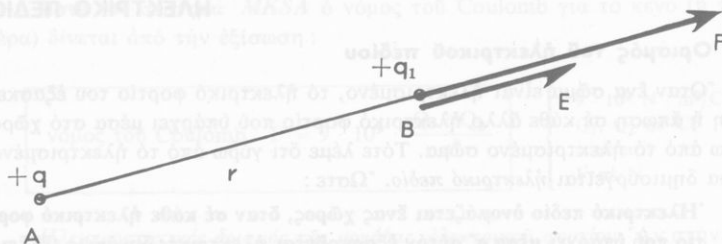
ένταση ηλεκτρικού πεδίου $\vec{E} = \frac{\vec{F}}{q}$

Η ένταση ηλεκτρικού πεδίου είναι *άνσμμα* \vec{E} , που έχει *φορέα* το φορέα της δύναμης \vec{F} , *μέτρο* ίσο με το πηλίκο $E = F/q$ και *φορά* κατά σύμβαση τη φορά της δύναμης \vec{F} , όταν αυτή ενεργεί σε θετικό ηλεκτρικό φορτίο $+q$.

Από την εξίσωση $E = F/q$ συνάγεται ότι η ένταση του ηλεκτρικού πεδίου σε ένα σημείο του αριθμητικά είναι ίση με τη δύναμη που εξασκεί το πεδίο *στη*



Σχ. 30. Ένταση του ηλεκτρικού πεδίου στο σημείο Α.



Σχ. 31. Τό φορτίο $+q$ δημιουργεί ηλεκτρικό πεδίο.

μονάδα θετικού ηλεκτρικού φορτίου ($+ 1 \text{ Cb}$), όταν αυτή βρίσκεται στο θεωρούμενο σημείο του ηλεκτρικού πεδίου.

Μονάδα έντασης ηλεκτρικού πεδίου. Ἐν στήν ἐξίσωση $E = F/q$ βάλουμε $F = 1 \text{ N}$ καί $q = 1 \text{ Cb}$, βρίσκουμε $E = 1 \text{ MKSA}$. Ἔρα :

Μονάδα έντασης ηλεκτρικού πεδίου είναι ἡ ένταση ηλεκτρικού πεδίου πού σέ ηλεκτρικό φορτίο ἴσο μέ 1 Coulomb (1 Cb) ἐξασκεῖ δύναμη ἴση μέ 1 Newton (1 N) .

μονάδα έντασης ηλεκτρικού πεδίου	$\frac{1 \cdot \text{Newton}}{1 \text{ Coulomb}} \quad \text{ἢ} \quad 1 \frac{\text{N}}{\text{Cb}}$
-------------------------------------	---

Ἐπολογισμός τῆς έντασης ηλεκτρικού πεδίου. Ἐνα σημειακό ηλεκτρικό φορτίο $+q$ (σχ. 31) δημιουργεῖ γύρω του ηλεκτρικό πεδίο. Σέ ἀπόσταση r βρίσκεται ηλεκτρικό φορτίο $+q_1$ καί ἐξασκεῖται σ' αὐτό δύναμη ἴση μέ :

$$F = K_{\eta\lambda} \cdot \frac{q \cdot q_1}{r^2}$$

Ἔρα στό σημείο B ἡ ένταση E τοῦ ηλεκτρικού πεδίου εἶναι :

$$E = \frac{F}{q_1} = K_{\eta\lambda} \cdot \frac{q}{r^2} \quad \text{ἢ} \quad E = 9 \cdot 10^9 \cdot \frac{q}{r^2} \quad \left\{ \begin{array}{l} 9 \cdot 10^9 \text{ N} \cdot \text{m}^2/\text{Cb}^2 \\ q \text{ σέ Cb} \\ r \text{ σέ m} \\ E \text{ σέ N/Cb} \end{array} \right.$$

ὅπου q εἶναι τό ηλεκτρικό φορτίο πού δημιουργεῖ τό ηλεκτρικό πεδίο.

Παράδειγμα. Ἐν εἶναι $q = +0,05 \text{ Cb}$ καί $r = 10 \text{ cm}$, τότε ἡ ένταση τοῦ ηλεκτρικού πεδίου εἶναι :

$$E = 9 \cdot 10^9 \frac{\text{N} \cdot \text{m}^2}{\text{Cb}^2} \cdot \frac{0,05 \text{ Cb}}{0,01 \text{ m}^2} \quad \text{καί} \quad E = 45 \cdot 10^9 \frac{\text{N}}{\text{Cb}}$$

β. Δυναμική γραμμή του ηλεκτρικού πεδίου. Ή ένταση του ηλεκτρικού πεδίου διαφέρει από τό ένα σημείο στό άλλο. Ή μορφή του ηλεκτρικού πεδίου αισθητοποιείται μέ τή βοήθεια των δυναμικών γραμμών.



Σχ. 32. Δυναμική γραμμή.

Δυναμική γραμμή του ηλεκτρικού πεδίου ονομάζεται ή γραμμή που σέ κάθε σημείο της τό άνυσμα τής έντάσεως (\vec{E}) του ηλεκτρικού πεδίου είναι εφαπτόμενο αὐτῆς τῆς γραμμῆς (σχ. 32).

Ήπό κάθε σημείο του ηλεκτρικού πεδίου περνάει μόνο μιά δυναμική γραμμή, που έχει φορά τή φορά του άνύσματος τής έντάσεως του πεδίου. Για τή δυναμική γραμμή μπορούμε νά δώσουμε τόν ἐξῆς ἐμπειρικό ὄρισμό :

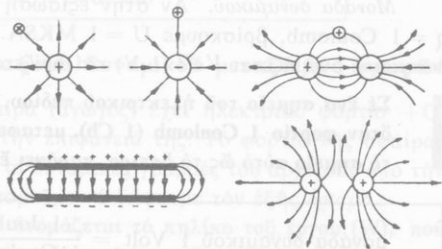
Δυναμική γραμμή του ηλεκτρικού πεδίου είναι ή τροχιά που διαγράφει ένα θετικό ηλεκτρικό φορτίο (+q) μέ τήν επίδραση του ηλεκτρικού πεδίου.

Στό σχῆμα 33 φαίνονται διάφορες μορφές ηλεκτρικών πεδίων. Μεταξύ δύο μεταλλικών πλακών, που είναι παράλληλες καί ἔχουν ἴσα ἀλλά ἀντίθετα ηλεκτρικά φορτία (+q καί -q), σχηματίζεται ὁμογενές ηλεκτρικό πεδίο, που οἱ δυναμικές γραμμές του είναι παράλληλες καί ή έντασή του είναι σταθερή σέ ὅλα τά σημεία.

γ. Δυναμικό σέ ένα σημείο του ηλεκτρικού πεδίου. Ήνα σημειακό ηλεκτρικό φορτίο +Q παράγει γύρω του ηλεκτρικό πεδίο (σχ. 34). Στό σημείο A, που βρίσκεται σέ ἀπόσταση r, ὑπάρχει θετικό ηλεκτρικό φορτίο +q καί ἐνεργεῖ σ' αὐτό ή ηλεκτροστατική δύναμη :

$$F = K_{\eta\lambda} \cdot \frac{Q \cdot q}{r^2}$$

Ήν τό φορτίο +q είναι ἐλεύθερο, τότε μέ τήν επίδραση τῆς δυνάμεως \vec{F} τό φορτίο +q θά κινήθει κατά μήκος μιᾶς εὐθείας δυναμικῆς γραμμῆς ἀπό τό σημείο A ὡς τό ἄπειρο ($r = \infty$), ὅπου ή δύναμη F γίνεται ἴση μέ μηδέν ($F = 0$). Ἄλλά κατά τή μετα-



Σχ. 33. Διάφορες μορφές ηλεκτρικών πεδίων.



Σχ. 34. Για τον όρισμό του δυναμικού στο σημείο A.

φορά του φορτίου $+q$ από το σημείο A ως το άπειρο, το ηλεκτρικό πεδίο παράγει έργο W . Τότε έχουμε τον εξής όρισμό :

Δυναμικό (U) του ηλεκτρικού πεδίου σε ένα σημείο του ονομάζεται το πηλίκο του έργου (W), που παράγεται από το πεδίο κατά τη μεταφορά του φορτίου $+q$ από το θεωρούμενο σημείο ως το άπειρο, διά του φορτίου q .

$$\text{δυναμικό σε σημείο του ηλεκτρικού πεδίου} \quad U = \frac{W}{+q} \quad (1)$$

Το δυναμικό είναι μονόμετρο μέγεθος και είναι θετικό ή αρνητικό, ανάλογα με το φορτίο Q που είναι η αιτία του πεδίου. Αν είναι $-Q$, τότε το δυναμικό στο σημείο A είναι αρνητικό, γιατί για τη μεταφορά του φορτίου $+q$ από το σημείο A ως το άπειρο πρέπει να δαπανηθεί έργο W .

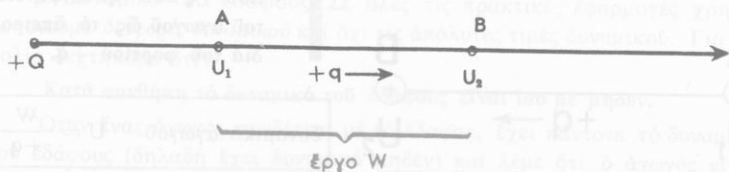
Αποδεικνύεται ότι το δυναμικό σε απόσταση r από σημειακό φορτίο Q είναι :

$$\text{δυναμικό σε απόσταση } r \quad U = 9 \cdot 10^9 \cdot \frac{Q}{r}$$

Μονάδα δυναμικού. Αν στην εξίσωση (1) βάλουμε $W = 1$ Joule και $q = 1$ Coulomb, βρίσκουμε $U = 1$ MKSA. Στο σύστημα MKSA η μονάδα δυναμικού ονομάζεται Volt (1 V) και ορίζεται ως εξής :

Σε ένα σημείο του ηλεκτρικού πεδίου, το δυναμικό είναι 1 Volt (1 V), όταν φορτίο 1 Coulomb (1 Cb), μεταφερόμενο εξαιτίας του πεδίου από το σημείο αυτό ως το άπειρο, παράγει έργο ίσο με 1 Joule.

$$\text{μονάδα δυναμικού 1 Volt} = \frac{1 \text{ Joule}}{1 \text{ Coulomb}} \quad \eta \quad 1 \text{ V} = 1 \frac{\text{Joule}}{\text{Cb}}$$



Σχ. 35. Διαφορά δυναμικού μεταξύ των σημείων A και B του ηλεκτρικού πεδίου.

δ. Διαφορά δυναμικού μεταξύ δύο σημείων του ηλεκτρικού πεδίου. Σέ δύο σημεία A και B (σχ. 35) του ηλεκτρικού πεδίου τό δυναμικό αντίστοιχα είναι U_1 και U_2 . Έπειδή είναι $U_1 > U_2$, μεταξύ των δύο σημείων υπάρχει *διαφορά δυναμικού* $U_1 - U_2$. Τό φορτίο $+q$ μεταφερόμενο εξαιτίας του πεδίου από τό σημείο A στό σημείο B παράγει έργο W και τότε ίσχύει ό ακόλουθος *όρισμός* :

Διαφορά δυναμικού ($U_1 - U_2$) μεταξύ δύο σημείων του ηλεκτρικού πεδίου ονομάζεται τό *πηλίκο* του έργου (W), πού παράγεται από τό πεδίο κατά τή μεταφορά του φορτίου $+q$ από τό ένα σημείο ως τό άλλο, διά του φορτίου $+q$.

$$\text{διαφορά δυναμικού} \quad U_1 - U_2 = \frac{W}{+q} \quad (2)$$

Άν στην εξίσωση (2) είναι $W = 1$ Joule και $q = 1$ Cb, τότε είναι $U_1 - U_2 = 1$ Volt. Ωστε :

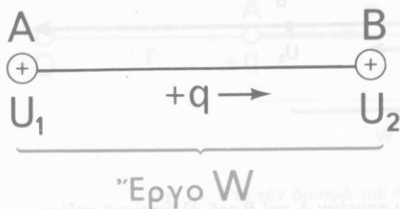
Ή *διαφορά δυναμικού* μεταξύ δύο σημείων του ηλεκτρικού πεδίου είναι ίση μέ 1 Volt, όταν κατά τή μεταφορά φορτίου 1 Coulomb από τό ένα σημείο ως τό άλλο τό πεδίο παράγει έργο ίσο μέ 1 Joule.

$$U_1 - U_2 = 1 \text{ Volt} = \frac{1 \text{ Joule}}{1 \text{ Coulomb}} = 1 \frac{\text{Joule}}{\text{Cb}}$$

26. Δυναμικό άγωγού και διαφορά δυναμικού μεταξύ δύο άγωγών

Μιά μικρή μεταλλική σφαίρα (άγωγός) έχει ηλεκτρικό φορτίο $+Q$, πού κατανέμεται ομοιόμορφα στην επιφάνειά της. Τό φορτίο τής σφαίρας δημιουργεί ηλεκτρικό πεδίο και οι δυναμικές γραμμές του αρχίζουν από τή επιφάνεια τής σφαίρας. Τότε μπορούμε νά δώσουμε τόν εξής *όρισμό* :

Δυναμικό (U) ενός άγωγού ονομάζεται τό *πηλίκο* του έργου (W), πού παράγεται από τό ηλεκτρικό πεδίο του άγωγού κατά τή μεταφορά φορ-



Σχ. 36. Διαφορά δυναμικού μεταξύ δύο άγωγών Α και Β.

δημιουργούν ηλεκτρικό πεδίο, τό όποιο κατά τή μεταφορά τοῦ φορτίου $+q$ από τόν άγωγό Α στόν άγωγό Β παράγει έργο W . Τότε ίσχύει ή γνωστή (§ 25δ) εξίσωση :

$$\text{διαφορά δυναμικού μεταξύ δύο άγωγών} \quad U_1 - U_2 = \frac{W}{+q} \quad (1)$$

Ή διαφορά δυναμικού μετριέται σέ Volt. Είναι φανερό ότι ή εξίσωση (1) εκφράζει τό έργο πού παράγεται, όταν φορτίο 1 Coulomb μεταφέρεται εξαιτίας τοῦ πεδίου από τόν άγωγό Α στόν άγωγό Β. Γενικά τό ηλεκτρικό φορτίο *πηγαίνει πάντοτε από τόν άγωγό μέ τό μεγαλύτερο δυναμικό πρós τόν άγωγό μέ τό μικρότερο δυναμικό*. Ή διαφορά δυναμικού μεταξύ δύο άγωγών όνομάζεται και *τάση*. Όταν λέμε π.χ. ότι μεταξύ δύο άγωγών υπάρχει τάση $U_1 - U_2 = 220$ Volt, έννοοῦμε ότι κατά τή μεταφορά φορτίου 1 Coulomb από τόν ένα άγωγό στόν άλλο παράγεται έργο ίσο μέ 220 Joule.

α. Έργο παραγόμενο από ηλεκτρικό φορτίο. Από τήν εξίσωση (1) συμπεραίνουμε ότι, αν μεταξύ δύο άγωγών Α και Β υπάρχει *διαφορά δυναμικού* $U_1 - U_2$, τότε μπορούμε *νά λάβουμε έργο*, αν φορτίο q μεταβεί από τόν άγωγό Α στόν άγωγό Β. Τότε τό έργο πού θά λάβουμε δίνεται από τήν εξίσωση :

$$\text{έργο από τήν κίνηση ηλεκτρικού φορτίου} \quad W = q \cdot (U_1 - U_2) \quad (2)$$

Ή κίνηση τοῦ ηλεκτρικού φορτίου q από τόν ένα άγωγό στόν άλλο είναι εύκολη, αν συνδέσουμε τούς δύο άγωγούς μέ σύρμα. Ή εξίσωση (2), όπως θά δοῦμε σέ άλλα κεφάλαια, έχει πάρα πολλές εφαρμογές.

τίου $+q$ από τήν επιφάνεια τοῦ άγωγού ὡς τό άπειρο, διά τοῦ φορτίου $+q$.

$$\text{δυναμικό άγωγού} \quad U = \frac{W}{+q}$$

Δύο μικρές μεταλλικές σφαίρες Α και Β (σχ. 36) έχουν αντίστοιχα δυναμικό U_1 και U_2 και είναι $U_1 > U_2$. Τότε μεταξύ τών δύο άγωγών υπάρχει *διαφορά δυναμικού* $U_1 - U_2$. Οί δύο άγωγοί

β. Δυναμικό του εδάφους. Σέ όλες τίς πρακτικές εφαρμογές χρησιμοποιούμε διαφορές δυναμικοῦ καί ὄχι τίς ἀπόλυτες τιμές δυναμικοῦ. Γιά εὐκολία δεχτήκαμε ὅτι :

Κατά συνθήκη τό δυναμικό τοῦ εδάφους εἶναι ἴσο μέ μηδέν.

Όταν ἕνας ἄγωγός συνδέεται μέ τό ἔδαφος, ἔχει πάντοτε τό δυναμικό τοῦ εδάφους (δηλαδή ἔχει δυναμικό μηδέν) καί λέμε ὅτι ὁ ἄγωγός εἶναι προσγειωμένος.

Ἄν ἕνας ἄγωγός ἔχει π.χ. δυναμικό $U = 60 \text{ V}$, τότε ἡ διαφορά δυναμικοῦ μεταξύ τοῦ ἄγωγοῦ καί τοῦ εδάφους εἶναι ἴση μέ $U - 0 = U = 60 \text{ V}$. Αὐτό σημαίνει ὅτι, ἂν φορτίο 1 Cb μεταφερθεῖ ἀπό τόν ἄγωγό στό ἔδαφος, τότε παράγεται ἔργο ἴσο μέ 60 Joule .

γ. Δυναμικό σφαιρικοῦ ἄγωγοῦ. Σφαιρικός ἄγωγός ἔχει ἀκτίνα R καί ἠλεκτρικό φορτίο q . Ἀποδεικνύεται ὅτι τό δυναμικό (U) τοῦ σφαιρικοῦ ἄγωγοῦ εἶναι ἀνάλογο μέ τό ἠλεκτρικό φορτίο (q) καί ἀντιστρόφως ἀνάλογο μέ τήν ἀκτίνα του (R). Στό σύστημα MKSA τό δυναμικό τοῦ σφαιρικοῦ ἄγωγοῦ δίνεται ἀπό τήν ἐξίσωση :

δυναμικό σφαιρικοῦ ἄγωγοῦ	$U = 9 \cdot 10^9 \cdot \frac{Q}{R}$	$\left\{ \begin{array}{l} 9 \cdot 10^9 \text{ N} \cdot \text{m}^2/\text{Cb}^2 \\ Q \text{ σε Cb} \\ R \text{ σε m} \\ U \text{ σε V} \end{array} \right.$
------------------------------	--------------------------------------	---

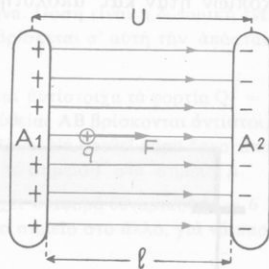
27. Σχέση μεταξύ διαφορᾶς δυναμικοῦ καί ἐντάσεως ἠλεκτρικοῦ πεδίου

Δύο ἐπίπεδες παράλληλες μεταλλικές πλάκες ἔχουν ἴσα ἀλλά ἐτερόνυμα ἠλεκτρικά φορτία καί ἡ ἀπόστασή τους εἶναι l (σχ. 37). Μεταξύ τῶν δύο πλακῶν σχηματίζεται ὁμογενές ἠλεκτρικό πεδίο, πού ἔ-

χει σταθερή ἐνταση \vec{E} καί ἡ διαφορά δυναμικοῦ μεταξύ τῶν δύο πλακῶν εἶναι U . Στή μία ἄκρη A_1 μιᾶς δυναμικῆς γραμμῆς A_1A_2 φέρνουμε ἠλεκτρικό φορτίο q . Τότε στό φορτίο αὐτό ἐνεργεῖ ἡ δύναμη $\vec{F} = \vec{E} \cdot q$, ἡ ὁποία μετακινεῖ τό φορτίο q κατά διάστημα $A_1A_2 = l$ καί παράγει ἔργο :

$$W = F \cdot l \quad \text{ἢ} \quad W = E \cdot q \cdot l$$

Όπως ξέρουμε (§ 26α) τό ἔργο αὐτό εἶναι



Σχ. 37. Σχέση μεταξύ τῆς ἐντάσεως E τοῦ ἠλεκτρικοῦ πεδίου καί τῆς τάσεως U .

Ίσο με $W = q \cdot U$. Άρα έχουμε την εξίσωση:

$$E \cdot q \cdot l = q \cdot U \quad \text{ή} \quad E \cdot l = U \quad \text{καί} \quad E = \frac{U}{l} \quad (1)$$

Η εξίσωση (1) φανερώνει ότι η ένταση (E) ομογενοῦς ηλεκτρικοῦ πεδίου είναι ἴση με τὴ μεταβολὴ τοῦ δυναμικοῦ κατὰ μονάδα μήκους τῆς δυναμικῆς γραμμῆς. Ἄν στὴν εξίσωση (1) βάλουμε $U = 1$ Volt καὶ $l = 1$ m, βρίσκουμε $E = 1$ MKSA. Ὡστε στὸ σύστημα MKSA μονάδα ἐντάσεως ηλεκτρικοῦ πεδίου εἶναι:

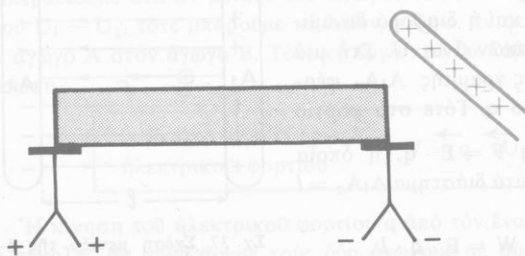
$$\begin{array}{l} \text{μονάδα ἐντάσεως} \\ \text{ηλεκτρικοῦ πεδίου} \end{array} \quad \frac{1 \text{ Volt}}{1 \text{ m}} \quad \text{ή} \quad 1 \frac{\text{V}}{\text{m}}$$

Παρατήρηση. Οἱ μονάδες ἐντάσεως ηλεκτρικοῦ πεδίου 1 N/Cb καὶ 1 V/m εἶναι ἰσοδύναμες, γιατί εἶναι:

$$1 \frac{\text{V}}{\text{m}} = 1 \frac{\text{Joule/Cb}}{\text{m}} = 1 \frac{\text{N} \cdot \text{m}}{\text{m} \cdot \text{Cb}} = 1 \frac{\text{N}}{\text{Cb}}$$

28. Ἡλέκτριση ἀγωγοῦ με ἐπαγωγή

Πάνω στους δίσκους δύο ὁμοίων ηλεκτροσκοπιῶν στηρίζουμε τὶς δύο ἄκρες μιᾶς μεταλλικῆς ράβδου πού ἔχει ἀρκετὸ μήκος (σχ. 38). Στὴ μιὰ ἄκρη τῆς μεταλλικῆς ράβδου πλησιάζουμε μιὰ ηλεκτρισμένη γυάλινη ράβδο, χωρὶς ὅμως νὰ ἔρθουν σὲ ἐπαφὴ οἱ δύο ράβδοι. Παρατηροῦμε ὅτι καὶ τὰ δύο ηλεκτροσκόπια ἀποκτοῦν *ηλεκτρικά φορτία*. Εὐκόλα διαπιστώνουμε ὅτι τὰ δύο ηλεκτροσκόπια ἔχουν *ἐτερόνυμα* ηλεκτρικά φορτία. Μόλις ἀπομακρύνουμε τὴ γυάλινη ράβδο, ἀμέσως τὰ ηλεκτρικά φορτία τῶν δύο ηλεκτροσκοπιῶν εξαφανίζονται. Αὐτὸ δείχνει ὅτι τὰ ἐτερόνυμα φορτία τῶν δύο ηλεκτροσκοπιῶν ἦταν κατ' ἀπόλυτη τιμὴ ἴσα.



Σχ. 38. Ἡλέκτριση ἀγωγοῦ με ἐπαγωγή.

Ἡ μεταλλικὴ ράβδος καὶ τὰ στελέχη τῶν δύο ηλεκτροσκοπιῶν, στὰ ὁποῖα στηρίζεται ἡ ράβδος, ἀποτελοῦν ἓνα συνεχὴ μεταλλικὸ ἀγωγό. Ὄταν ὁ ἀγωγὸς βρεθεῖ μέσα στὸ ηλεκτρικὸ πεδίο πού δημι-

ουργεί το φορτίο της γυάλινης ράβδου, τότε ο άγωγός *ηλεκτρίζεται* και στις δύο άκρες του *εμφανίζονται* ίσα ετερόνυμα ηλεκτρικά φορτία. Αυτός ο τρόπος ηλεκτρίσεως του άγωγού ονομάζεται *ηλεκτρίση με επαγωγή*. "Ωστε :

"Όταν άγωγός βρεθεί μέσα σε ηλεκτρικό πεδίο, αναπτύσσονται με επαγωγή πάνω στον άγωγό ίσα ετερόνυμα ηλεκτρικά φορτία, που προϋπάρχουν μέσα στη μάζα του άγωγού.

Παρατήρηση. "Όταν η γυάλινη ράβδος βρίσκεται κοντά στον άγωγό, συνδέουμε τον άγωγό με το έδαφος. Το άπωθούμενο θετικό φορτίο ξεφεύγει στο έδαφος. "Αν διακόψουμε τη συγκοινωνία με το έδαφος και απομακρύνουμε τη γυάλινη ράβδο, απομένει στον άγωγό το άρνητικό φορτίο, που δέν εξουδετερώνεται. Μέ αυτό τον τρόπο μπορεί ένας άγωγός να διατηρήσει μόνο το ένα είδος φορτίου.

ΠΡΟΒΛΗΜΑΤΑ

20. Σε ένα σημείο βρίσκεται ηλεκτρικό φορτίο $Q = +0,5 \text{ Cb}$. Πόση είναι η ένταση του ηλεκτρικού πεδίου σε απόσταση 5 cm και 10 cm από το φορτίο Q ;

21. Στις άκρες εϋθείας AB μήκους 15 cm βρίσκονται δύο ηλεκτρικά φορτία +Q και +4Q. Σε ποιο σημείο της εϋθείας AB ή ένταση του ηλεκτρικού πεδίου είναι ίση με μηδέν;

22. Στις τέσσερις κορυφές A, B, Γ, Δ ενός τετραγώνου, που έχει πλευρά 4 cm, βρίσκονται αντίστοιχα τά ηλεκτρικά φορτία +0,1, +0,1, -0,1 και -0,1 Cb. Πόση είναι η ένταση του ηλεκτρικού πεδίου στο κέντρο του τετραγώνου ;

23. Στις κορυφές ισόπλευρου τριγώνου ABΓ βρίσκονται τρία ίσα θετικά ηλεκτρικά φορτία, που τό καθένα είναι ίσο με $Q = +250 \mu\text{Cb}$. Ένα σημείο Δ βρίσκεται μέσα στο τρίγωνο και απέχει $r = 10 \text{ cm}$ από κάθε κορυφή του τριγώνου. Πόση είναι η ένταση του ηλεκτρικού πεδίου στο σημείο Δ ;

24. Ένας ατομικός πυρήνας έχει φορτίο $Q = +80 \cdot 10^{-19} \text{ Cb}$. Νά βρεθεί τό δυναμικό U σε απόσταση $r = 10^{-12} \text{ m}$ από αυτό τον πυρήνα. Πόση είναι η δυναμική ενέργεια $E_{\text{δυν}}$ που έχει φορτίο $q = +1,6 \cdot 10^{-19} \text{ Cb}$, όταν βρίσκεται σ' αυτή την απόσταση από τον πυρήνα ;

25. Στις άκρες μιάς εϋθείας AB = 100 cm βρίσκονται αντίστοιχα τά φορτία $Q_1 = +200 \mu\text{Cb}$ και $Q_2 = -100 \mu\text{Cb}$. Δύο σημεία Γ και Δ της εϋθείας AB βρίσκονται αντίστοιχα σε απόσταση AG = 80 cm και AD = 20 cm από τό σημείο A. Νά βρεθεί πόσο έργο απαιτείται για τή μεταφορά φορτίου $Q = +5 \cdot 10^{-4} \text{ Cb}$ από τό σημείο Γ στο σημείο Δ.

26. Μεταξύ δύο σημείων ηλεκτρικού πεδίου ύπάρχει διαφορά δυναμικού $U = 6 \text{ V}$. Πόσο ηλεκτρικό φορτίο πρέπει να μεταφερθεί από τό ένα σημείο στο άλλο, για να παραχθεί έργο ίσο με 120 Joule ;

27. Δύο παράλληλες μεταλλικές πλάκες έχουν ίσα ετερόνυμα φορτία. "Αν ή απόστασή τους είναι $l = 5,25 \text{ mm}$ και ή διαφορά δυναμικού μεταξύ των δύο πλακών είναι $U = 1500 \text{ V}$, πόση είναι ή ένταση του ηλεκτρικού πεδίου ; Πόση δύναμη ενεργεί σε ηλεκτρικό φορτίο $q = +2 \cdot 10^{-4} \text{ Cb}$, που έρχεται μέσα σ' αυτό τό ηλεκτρικό πεδίο ;

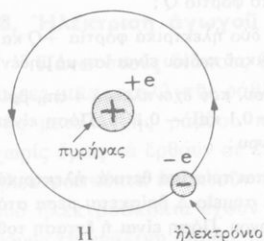
28. Μεταξύ δύο παράλληλων μεταλλικών πλακών που απέχουν μεταξύ τους $l = 5 \text{ cm}$ υπάρχει τάση $U = 20000 \text{ V}$. Πόσο έργο παράγεται, όταν ένα φορτίο $q = 5 \cdot 10^{-8} \text{ Cb}$ μεταφέρεται από το ηλεκτρικό πεδίο από τη θετική ως την αρνητική πλάκα;

29. Σφαιρικός άγωγός έχει ακτίνα $R = 50 \text{ cm}$. Πόσο είναι το δυναμικό του, αν το φορτίο του είναι $Q = 10^{-3} \text{ Cb}$; Πόσο φορτίο πρέπει να έχει αυτός ο άγωγός, ώστε το δυναμικό του να είναι ίσο με 10^5 V ;

ΦΥΣΗ ΤΟΥ ΗΛΕΚΤΡΙΣΜΟΥ

29. Στοιχειώδες ηλεκτρικό φορτίο

Τά ηλεκτρικά φορτία (θετικά και αρνητικά) αναπτύσσονται πάνω στα σώματα με τριβή ή αναπτύσσονται πάνω στους άγωγούς, όταν αυτοί βρεθούν μέσα σε ηλεκτρικό πεδίο. Άρα μέσα στα άτομα της ύλης υπάρχουν ηλεκτρικά φορτία, που εκδηλώνονται, μόνο όταν δημιουργηθούν κατάλληλες συνθήκες. Το απλούστερο άτομο είναι το άτομο υδρογόνου. Η θεωρητική και η πειραματική έρευνα απέδειξαν ότι το άτομο υδρογόνου αποτελείται από δύο μικρά σωματίδια, τον πυρήνα και το ηλεκτρόνιο.



Σχ. 39. Σχηματική παράσταση του ατόμου υδρογόνου.

Ο πυρήνας βρίσκεται στο κέντρο του ατόμου, ονομάζεται ειδικότερα πρωτόνιο και έχει θετικό ηλεκτρικό φορτίο (σχ. 39). Γύρω από τον πυρήνα περιφέρεται πολύ γρήγορα το ηλεκτρόνιο, που έχει αρνητικό ηλεκτρικό φορτίο και η μάζα του είναι περίπου ίση με το $1/1840$ της μάζας του ατόμου υδρογόνου. Το αρνητικό φορτίο του ηλεκτρονίου είναι κατ' απόλυτη τιμή ίσο με το θετικό φορτίο του πρωτονίου, ονομάζεται **στοιχειώδες ηλεκτρικό φορτίο (e)** και είναι το μικρότερο ως σήμερα γνωστό ηλεκτρικό φορτίο που βρίσκουμε στη Φύση. Η έλξη που ο πυρήνας εξασκεί στο ηλεκτρόνιο είναι η κεντρομόλος δύναμη, η οποία συγκρατεί το ηλεκτρόνιο πάνω στην κυκλική τροχιά του. Με τις μετρήσεις βρήκαμε ότι:

Τό στοιχειώδες ηλεκτρικό φορτίο (e) κατ' απόλυτη τιμή είναι ίσο με $1,6 \cdot 10^{-19} \text{ Cb}$.

στοιχειώδες ηλεκτρικό φορτίο $|e| = 1,6 \cdot 10^{-19} \text{ Cb}$

Δομή των ατόμων. Κάθε άτομο αποτελείται από τον πυρήνα, που έχει ορισμένο θετικό φορτίο, και από τα ηλεκτρόνια, που περιφέρονται γύρω από τον πυρήνα και έχουν ολικό αρνητικό φορτίο ίσο με το θετικό φορτίο του πυρήνα. Όλοι οι πυρήνες, εκτός από τον πυρήνα του ατόμου

υδρογόνου, περιέχουν όρισμένα πρωτόνια και όρισμένα νετρόνια(*). Τό νετρόνιο είναι ουδέτερο σωματίδιο, πού ή μάζα του είναι σχεδόν ίση με τή μάζα του πρωτονίου. Κάθε είδος ατόμου έχει μέσα στον πυρήνα του όρισμένο ά-



Σχ. 40. *Ατομο ήλιου, όξυγόνου και νατρίου.

ριθμό πρωτονίων, π.χ. ό πυρήνας του ατόμου ήλιου έχει δύο πρωτόνια και έπομένως έχει θετικό φορτίο $+2e$, ενώ ό πυρήνας του ατόμου όξυγόνου έχει όκτώ πρωτόνια και γι' αυτό έχει θετικό φορτίο $+8e$. Στο ουδέτερο άτομο τό θετικό φορτίο του πυρήνα είναι ίσο και αντίθετο με τό όλικό άρνητικό φορτίο των ηλεκτρονίων πού περιφέρονται γύρω από τόν πυρήνα. "Ωστε σε κάθε είδος ατόμου γύρω από τόν πυρήνα περιφέρονται τόσα ηλεκτρόνια, όσα είναι τά πρωτόνια του πυρήνα, π.χ. στό άτομο ήλιου υπάρχουν δύο ήλεκτρονια πού έχουν άρνητικό φορτίο $-2e$, ενώ στό άτομο όξυγόνου υπάρχουν όκτώ ήλεκτρονια πού έχουν όλικό άρνητικό φορτίο $-8e$ (σχ. 40).

Τά ήλεκτρονια διατάσσονται γύρω από τόν πυρήνα πάνω σε όμόκεντρους φλοιούς σύμφωνα με όρισμένο νόμο τής Άτομικής Φυσικής. Ειδικότερα τά ήλεκτρονια του έξωτερικού φλοιού όνομάζονται ήλεκτρονια σθένους. Από τήν πειραματική και τή θεωρητική έρευνα καταλήξαμε στά ακόλουθα γενικά συμπεράσματα :

- I. Κάθε άτομο αποτελείται από τόν πυρήνα, πού έχει θετικό φορτίο, και από τά ήλεκτρονια, πού περιφέρονται γύρω από τόν πυρήνα και έχουν άρνητικό ήλεκτρικό φορτίο.
- II. Τά θετικά φορτία υπάρχουν πάντοτε στους πυρήνες των ατόμων, ενώ τά άρνητικά φορτία μεταφέρονται πάντοτε από τά ήλεκτρονια. Αλλά είναι ίδια σε όλα τά άτομα τής ύλης.
- III. Τά θετικά και τά άρνητικά ήλεκτρικά φορτία είναι πάντοτε άκέραια πολλαπλάσια του στοιχειώδους ήλεκτρικού φορτίου (e).

30. Έμφάνιση ήλεκτρικών φορτίων

Τά φαινόμενα του ηλεκτρισμού όφείλονται στην ικανότητα πού έχουν τά ήλεκτρονια νά φεύγουν από ένα άτομο και νά πηγαίνουν σε ένα άλλο άτομο. Όταν όμως από ένα ουδέτερο άτομο φύγουν ένα ή περισσότερα ήλεκτρονια, καταστρέφεται ή ίσορροπία μεταξύ των έτεράνυμων φορτίων του

(*) Έδώ άναφέρονται λίγα στοιχεία γιά τή δομή του ατόμου, άπαραίτητα γιά τήν έρμηνεία των φαινομένων πού θά εξετάσουμε. Πιο λεπτομερή περιγραφή του ατόμου θά γίνει στην Άτομική και Πυρηνική Φυσική.

ατόμου καί τό ὑπόλοιπο τοῦ ατόμου εἶναι ἓνα *θετικό ἰόν* πού ἔχει θετικό φορτίο (+e, +2e, +3e). Ἀντίθετα ἂν σέ ἓνα οὐδέτερο ἄτομο προστεθοῦν ἓνα ἢ περισσότερα ἠλεκτρόνια, τότε σχηματίζεται *ἀρνητικό ἰόν*, πού ἔχει ἀρνητικό φορτίο (-e, -2e, -3e). Ὡστε ἓνα σῶμα εἶναι *οὐδέτερο*, ὅταν τά ἄτομά του εἶναι οὐδέτερα. Ἄν τά ἄτομα ἑνός σώματος χάσουν ἠλεκτρόνια, τό σῶμα ἐμφανίζεται ἠλεκτρισμένο μέ *θετικό* φορτίο. Ἀντίθετα, ἂν τά ἄτομα ἑνός σώματος προσλάβουν ἠλεκτρόνια, τό σῶμα ἐμφανίζεται ἠλεκτρισμένο μέ *ἀρνητικό* φορτίο. Γενικά λοιπόν μποροῦμε νά ποῦμε ὅτι :

Ἐνα σῶμα ἔχει θετικό φορτίο, ὅταν ἔχει χάσει ἠλεκτρόνια καί ἀντίθετα, ἔχει ἀρνητικό φορτίο, ὅταν ἔχει ἀποκτήσει πλεονάζοντα ἠλεκτρόνια.

31. Τά ἐλεύθερα ἠλεκτρόνια τῶν μετάλλων

Στά ἄτομα τῶν μετάλλων τά *ἠλεκτρόνια σθένους* εἶναι ἓνα, δύο ἢ τρία καί συνδέονται πολύ χαλαρά μέ τόν πυρήνα. Ἐτσι αὐτά τά ἠλεκτρόνια εὐκολα ξεφεύγουν ἀπό τήν ἔλξη τοῦ πυρήνα καί κινοῦνται διαρκῶς καί ἄτακτα μέσα στή μάζα τοῦ μετάλλου, ὅπως ἀκριβῶς κινοῦνται τά μόρια ἑνός αἰρίου πού εἶναι κλεισμένο μέσα σέ δοχεῖο. Τά ἠλεκτρόνια πού κινοῦνται ἄτακτα μέσα στή μάζα τοῦ μετάλλου τά ὀνομάζουμε *ἐλεύθερα ἠλεκτρόνια*, καί ἀποτελοῦν ἓνα τεράστιο πλῆθος (σέ 1 cm^3 χαλκοῦ ὑπάρχουν πάνω ἀπό $8 \cdot 10^{22}$ ἐλεύθερα ἠλεκτρόνια). Ἡ χαρακτηριστική ἠλεκτρική συμπεριφορά τῶν μετάλλων ὀφείλεται στά ἐλεύθερα ἠλεκτρόνιά τους. Ὡστε :

Στά μέταλλα τά ἠλεκτρόνια σθένους ξεφεύγουν ἀπό τά ἄτομα καί σχηματίζουν τά ἐλεύθερα ἠλεκτρόνια, πού διαρκῶς κινοῦνται ἄτακτα μέσα στή μάζα τοῦ μετάλλου.

32. Ἐξήγηση τῆς ἠλεκτρίσεως τῶν σωμάτων

α. Ἡλέκτριση μέ τριβή. Ὅταν τρίβουμε δύο διαφορετικά σώματα τό ἓνα πάνω στό ἄλλο (π.χ. γυαλί καί ὕφασμα), τότε τά σώματα ἔρχονται σέ πολύ στενή ἐπαφή μεταξύ τους. Εὐκολά διαπιστώνουμε ὅτι αὐτά τά δύο σώματα ἀποκοτοῦν ἴσα ἐτερόνυμα ἠλεκτρικά φορτία. Αὐτό συμβαίνει, γιατί τά ἠλεκτρόνια ἔφυγαν ἀπό τό ἓνα σῶμα καί πῆγαν στό ἄλλο. Ἐτσι τά δύο σώματα ἐμφανίζονται ἠλεκτρισμένα ἀλλά τό ἓνα σῶμα ἔχει *θετικό* φορτίο, ἐνῶ τό ἄλλο σῶμα ἔχει *ἀρνητικό* φορτίο. Ὡστε :

Ὅταν δύο διαφορετικά σώματα μέ τήν τριβή ἔρχονται σέ στενή ἐπαφή μεταξύ τους, τότε ἠλεκτρόνια πηγαίνουν ἀπό τό ἓνα σῶμα στό ἄλλο καί ἔτσι στά δύο σώματα ἐμφανίζονται ἴσα ἐτερόνυμα ἠλεκτρικά φορτία.

β. Ἡλέκτριση μέ ἐπαφή. Ἐνα σῶμα Α, πού ἔχει *ἀρνητικό* φορτίο,

έρχεται σε επαφή με ένα μονωμένο ουδέτερο άγωγο Β. Τότε ένα μέρος από τα ηλεκτρόνια που πλεονάζουν στο σώμα Α πηγαίνει στον άγωγο Β. Έτσι και ο άγωγός Β αποκτά αρνητικό φορτίο. Αντίθετα, αν το σώμα Α έχει θετικό φορτίο και έρθει σε επαφή με τον ουδέτερο άγωγο Β, τότε ένα μέρος από τα ελεύθερα ηλεκτρόνια του άγωγού Β πηγαίνει στο σώμα Α. Έτσι και ο άγωγός Β αποκτά θετικό φορτίο. Και στίς δύο περιπτώσεις λέμε ότι ο άγωγός Β ηλεκτρίστηκε με επαφή. Ωστε :

Όταν ένα σώμα, που έχει ηλεκτρικό φορτίο (θετικό ή αρνητικό), έρχεται σε επαφή με μονωμένο ουδέτερο άγωγο, τότε ή φεύγουν από τον άγωγο ή έρχονται σ' αυτόν ηλεκτρόνια και έτσι εμφανίζεται στον άγωγο ηλεκτρικό φορτίο (θετικό ή αρνητικό).

γ. *Ηλέκτριση με επαγωγή.* Όταν μονωμένος ουδέτερος άγωγός βρεθεί μέσα σε ηλεκτρικό πεδίο, τότε εξαιτίας του ηλεκτρικού πεδίου πολλά ελεύθερα ηλεκτρόνια του άγωγού μετακινούνται και σε δύο περιοχές του άγωγού εμφανίζονται ίσα ετερόνυμα ηλεκτρικά φορτία. Ωστε :

Η ήλεκτριση με επαγωγή ενός άγωγού οφείλεται στη μετακίνηση των ελεύθερων ηλεκτρονίων του άγωγού εξαιτίας του ηλεκτρικού πεδίου.

δ. *Ηλέκτριση των μονωτών.* Αντίθετα με τους άγωγούς οι μονωτές δεν έχουν ελεύθερα ηλεκτρόνια. Στο μονωτή, αν από μία περιοχή του αφαιρεθούν ηλεκτρόνια ή σε μία περιοχή του προστεθούν ηλεκτρόνια, τα ηλεκτρικά φορτία παραμένουν εντοπισμένα σ' αυτή την περιοχή. Ωστε :

Οι μονωτές, επειδή δεν έχουν ελεύθερα ηλεκτρόνια, διατηρούν εντοπισμένα τα ηλεκτρικά φορτία που αναπτύσσονται σε μία περιοχή τους.

ΠΡΟΒΛΗΜΑΤΑ

30. Πόσα ηλεκτρόνια πλεονάζουν σε έναν άγωγο Α που έχει φορτίο $Q_A = -6,4 \text{ Cb}$; Πόσα ηλεκτρόνια έχει χάσει ένας άγωγός Β που έχει φορτίο $Q_B = +3,2 \text{ Cb}$;

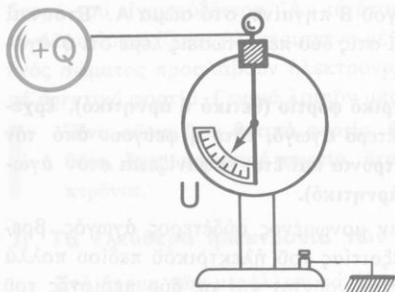
31. Δύο ετερόνυμα στοιχειώδη ηλεκτρικά φορτία $+e$ και $-e$ βρίσκονται σε απόσταση $r = 1 \text{ mm}$ τό ένα από τό άλλο. Με πόση δύναμη έλκονται αυτά τό δύο φορτία;

32. Μεταξύ δύο άγωγών υπάρχει διαφορά δυναμικού $U = 1 \text{ V}$. Ένα ηλεκτρόνιο εξαιτίας του ηλεκτρικού πεδίου πηγαίνει από τον έναν άγωγο στον άλλο. Πόσο έργο παράγει, όταν γίνεται αυτή ή μετακίνηση του ηλεκτρονίου;

33. Ο άτομικός πυρήνας νατρίου έχει φορτίο $q = +11e$. Με πόση δυναμη αυτός ό πυρήνας άπωθει ένα πρωτόνιο, όταν ή μεταξύ τους άπόσταση είναι $r = 10^{-7} \text{ cm}$;

34. Μεταξύ δύο όριζόντιων μεταλλικών πλακών, που ή άπόστασή τους είναι $l = 2 \text{ cm}$, θέλουμε νά διατηρηθεί αιωρούμενη μία μικρή σταγόνα λαδιού, που έχει μάζα $m = 10^{-12} \text{ gr}$ και φορτίο $q = +2e$. Πόση τάση πρέπει νά υπάρχει μεταξύ των δύο πλακών; $g = 9,8 \text{ m/sec}^2$.

ΧΩΡΗΤΙΚΟΤΗΤΑ ΑΓΩΓΟΥ — ΠΥΚΝΩΤΕΣ



Σχ. 41. Μέτρηση του δυναμικού ενός άγωγου.

ορισμό ενός νέου φυσικού μεγέθους, που ονομάζεται *χωρητικότητα* του άγωγου.

Χωρητικότητα (C) ενός άγωγου ονομάζεται τó σταθερό πηλίκο τού φορτίου (Q) διά τού δυναμικού (U) τού άγωγου.

$$\text{χωρητικότητα άγωγού} \quad C = \frac{Q}{U} \quad (1)$$

Μονάδα χωρητικότητας. Άν στην εξίσωση (1) βάλουμε $Q = 1 \text{ Coulomb}$ και $U = 1 \text{ Volt}$, βρίσκουμε $C = 1 \text{ MKSA}$. Στο σύστημα MKSA ή μονάδα χωρητικότητας ονομάζεται *Farad* (1 F) και ορίζεται ως εξής :

1 Farad (1 F) είναι ή χωρητικότητα άγωγού, ó όποιος, όταν έχει φορτίο **1 Coulomb**, έχει δυναμικό ίσο μέ **1 Volt**.

$$\begin{array}{l} \text{μονάδα} \\ \text{χωρητικότητας} \end{array} \quad 1 \text{ Farad} = \frac{1 \text{ Coulomb}}{1 \text{ Volt}} \quad \eta \quad 1 \text{ F} = 1 \frac{\text{Cb}}{\text{V}}$$

Στήν πράξη χρησιμοποιούμε συνήθως δύο πολύ μικρότερες μονάδες, τó *μικροφαράντ* (1 μF) και τó *πικοφαράντ* (1 pF), που είναι :

$$1 \mu\text{F} = 10^{-6} \text{ F} \quad \text{και} \quad 1 \text{ pF} = 10^{-6} \mu\text{F} = 10^{-12} \text{ F}$$

Χωρητικότητα σφαιρικού άγωγού. Σφαιρικός άγωγός έχει ακτίνα R,

33. Χωρητικότητα άγωγού

Τó δυναμικό ενός άγωγού τó μετράμε μέ ειδικό όργανο, που όνομάζεται *ήλεκτροόμετρο* και είναι βαθμολογημένο σε Volt (σχ. 41). Ένας μονωμένος άγωγός έχει φορτίο Q και μέ τó ήλεκτροόμετρο βρίσκουμε ότι έχει δυναμικό U. Άν τó φορτίο τού άγωγού γίνει 2Q, 3Q..., βρίσκουμε ότι τó δυναμικό τού άγωγού γίνεται αντίστοιχα 2U, 3U... Παρατηρούμε ότι τó πηλίκο τού φορτίου διά τού δυναμικού τού άγωγού διατηρείται *σταθερό*. Άπό αυτό τó πείραμα καταλήγουμε στόν

φορτίο Q και δυναμικό (§ 25γ) ίσο με $U = K_{\eta\lambda} \cdot Q/R$. Ο άγωγός αυτός έχει χωρητικότητα :

$$C = \frac{Q}{U} = \frac{Q \cdot R}{K_{\eta\lambda} \cdot Q} \quad \text{άρα} \quad C = \frac{R}{K_{\eta\lambda}} \quad \left\{ \begin{array}{l} R \text{ σε } m \\ K_{\eta\lambda} \text{ σε } N \cdot m^2/Cb^2 \\ C \text{ σε } F \end{array} \right.$$

Παράδειγμα. Αν θεωρήσουμε τη $\Gamma\eta$ ως σφαιρικό άγωγό που έχει ακτίνα $R = 6300$ km, τότε η χωρητικότητα της $\Gamma\eta$ ς είναι :

$$C = \frac{63 \cdot 10^5 m}{9 \cdot 10^9 N \cdot m^2/Cb^2} = 7 \cdot 10^{-4} F \quad \eta \quad C = 700 \mu F$$

34. Ένέργεια φορτισμένου άγωγού

Άγωγός έχει ηλεκτρικό φορτίο Q , δυναμικό U και χωρητικότητα :

$$C = \frac{Q}{U} \quad \text{άρα είναι} \quad Q = C \cdot U \quad (1)$$

Για να φορτισθεί αυτός ο άγωγός, δαπανήθηκε ενέργεια, η οποία μένει αποταμιευμένη πάνω στον άγωγό. Αποδεικνύεται ότι η *ένέργεια* ($E_{\eta\lambda}$) που έχει τότε ο άγωγός δίνεται από την εξίσωση :

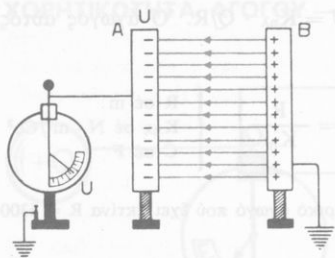
$$\begin{array}{l} \text{ένέργεια φορτισμένου} \\ \text{άγωγού} \end{array} \quad E_{\eta\lambda} = \frac{1}{2} Q \cdot U \quad \left\{ \begin{array}{l} Q \text{ σε } Cb \\ U \text{ σε } V \\ E_{\eta\lambda} \text{ σε } \text{Joule} \end{array} \right.$$

Η τελευταία εξίσωση μπορεί να λάβει και την εξής μορφή :

$$E_{\eta\lambda} = \frac{1}{2} C \cdot U^2 \quad \eta \quad E_{\eta\lambda} = \frac{1}{2} \cdot \frac{Q^2}{C}$$

35. Πυκνωτής

Είναι γνωστό (§ 33) ότι ένας μονωμένος άγωγός, που έχει ηλεκτρικό φορτίο Q , έχει σταθερή χωρητικότητα $C = Q/U$. Έκτελούμε τό εξής πείραμα : Μιά μεταλλική πλάκα A (σχ. 42) είναι μονωμένη, έχει άρνητικό φορτίο $-Q$ και δυναμικό κατ' απόλυτη τιμή ίσο με U . Στην πλάκα A πλησιάζουμε μία άλλη όμοια πλάκα B , που είναι προσγειωμένη. Παρατηρούμε ότι τό δυναμικό της πλάκας A *ελαττώνεται* και έπομένως η χωρητικότητά της *αυξάνει*. Τό πείραμα αυτό δείχνει ότι η χωρητικότητα ενός φορτισμένου άγωγού *αυξάνει*, όταν σ' αυτό τόν άγωγό *πλησιάζει* άλλος προσγειωμένος άγωγός.



Σχ. 42. Ήπιπεδος πυκνωτής.

Τό σύστημα τών δύο άγωγών A και B ονομάζεται *πυκνωτής* και οί δύο άγωγοί ονομάζονται *όπλισμοί* τού πυκνωτή. Όταν κοντά στην πλάκα A φέρουμε τήν πλάκα B, αυτή ήλεκτρίζεται μέ έπαγωγή, τά άρνητικά φορτία φεύγουν στό έδαφος και πάνω στην πλάκα B μένουν τά θετικά φορτία. Τότε οί δύο όπλισμοί έχουν ίσα έτερόνυμα φορτία + Q και - Q. Μεταξύ τών δύο όπλισμών σχηματίζεται *όμογενές ήλεκτρικό πεδίο*.

Χωρητικότητα πυκνωτή. Ο προσγειωμένος όπλισμός B έχει δυναμικό μηδέν, ενώ ο άλλος όπλισμός A έχει ένα δυναμικό U. Ωστε μεταξύ τών δύο όπλισμών υπάρχει διαφορά δυναμικού (ή τάση) ίση μέ U. Αν συνδέσουμε μέ σύρμα τούς δύο όπλισμούς, τά φορτία τών δύο όπλισμών εξαφανίζονται και λέμε ότι έγινε *έκφόρτιση* τού πυκνωτή. Αυτό συμβαίνει, γιατί τά ήλεκτρονία πού πλεονάζουν στόν όπλισμό A και πού έχουν όλικό φορτίο -Q, έρχονται στόν όπλισμό B και εξουδετερώνουν τό θετικό φορτίο του +Q. Ωστε κατά τήν έκφόρτιση μετακινείται από τόν έναν όπλισμό στόν άλλο ήλεκτρικό φορτίο πού, κατ' άπόλυτη τιμή, είναι ίσο μέ Q. Αυτό τό φορτίο τό ονομάζουμε *ήλεκτρικό φορτίο τού πυκνωτή*. Κατ' άναλογία μέ τόν όρισμό πού δώσαμε γιά τή χωρητικότητα άγωγού, έχουμε τόν άκόλουθο *όρισμό*:

Χωρητικότητα (C) πυκνωτή ονομάζεται τό σταθερό πηλίκο τού ήλεκτρικού φορτίου (Q) τού πυκνωτή διά τής διαφοράς δυναμικού (U) πού υπάρχει μεταξύ τών δύο όπλισμών του.

$$\text{χωρητικότητα πυκνωτή} \quad C = \frac{Q}{U}$$

Η χωρητικότητα τού πυκνωτή μετριέται μέ τίς γνωστές μονάδες χωρητικότητας. Η χωρητικότητα (C) τού πυκνωτή εκφράζει τό ήλεκτρικό φορτίο πού πρέπει νά δώσουμε στόν πυκνωτή, γιά νά αύξηθει κατά μιά μονάδα δυναμικού ή διαφορά δυναμικού μεταξύ τών όπλισμών του (γιά $U = 1$ είναι $C = Q$).

36. Ήνέργεια φορτισμένου πυκνωτή

Όπως ένας φορτισμένος άγωγός, έτσι και ένας φορτισμένος πυκνωτής έχει αποταμιευμένη ενέργεια. Αν ό πυκνωτής έχει ήλεκτρικό φορτίο Q και μεταξύ τών όπλισμών του υπάρχει διαφορά δυναμικού U (ή τάση), τότε

ή ενέργεια του πυκνωτή είναι :

$$\boxed{\text{ενέργεια πυκνωτή} \quad E_{\eta\lambda} = \frac{1}{2} Q \cdot U} \quad \left\{ \begin{array}{l} Q \text{ σε Cb} \\ U \text{ σε V} \\ E_{\eta\lambda} \text{ σε Joule} \end{array} \right.$$

Έπειδή η χωρητικότητα του πυκνωτή είναι $C = Q/U$, η παραπάνω εξίσωση γράφεται και ως εξής :

$$\boxed{E_{\eta\lambda} = \frac{1}{2} C \cdot U^2 \quad \text{καί} \quad E_{\eta\lambda} = \frac{1}{2} \cdot \frac{Q^2}{C}}$$

37. Επίπεδος πυκνωτής

Ο επίπεδος πυκνωτής αποτελείται από δύο επίπεδους παράλληλους όπλισμούς και η απόσταση του ενός όπλισμού από τον άλλο είναι l . Η επιφάνεια κάθε όπλισμού έχει έμβαδό S και μεταξύ των δύο όπλισμών υπάρχει κενό (ή αέρας). Αποδεικνύεται ότι στο σύστημα MKSA η χωρητικότητα (C_0) επιπέδου πυκνωτή δίνεται από την εξίσωση :

$$\boxed{\text{χωρητικότητα επιπέδου πυκνωτή} \quad C_0 = \epsilon_0 \cdot \frac{S}{l}} \quad \left\{ \begin{array}{l} \epsilon_0 \text{ σε Cb}^2/(\text{N} \cdot \text{m}^2) \\ S \text{ σε m}^2, l \text{ σε m} \\ C \text{ σε F} \end{array} \right.$$

όπου ϵ_0 είναι μιά σταθερή, που ονομάζεται *διηλεκτρική σταθερή του κενού* και είναι ίση με :

$$\boxed{\text{διηλεκτρική σταθερή του κενού} \quad \epsilon_0 = 8,85 \cdot 10^{-12} \frac{\text{Cb}^2}{\text{N} \cdot \text{m}^2}}$$

Παράδειγμα. Επίπεδος πυκνωτής βρίσκεται στο κενό, η απόσταση των όπλισμών του είναι $l = 5 \text{ mm}$, τό έμβαδό κάθε όπλισμού είναι $S = 2 \text{ m}^2$ και η τάση μεταξύ των όπλισμών του είναι $U = 10^4 \text{ V}$. Θά υπολογίσουμε τή χωρητικότητα (C_0) του πυκνωτή και τή ένταση (E) του όμογενοϋς ήλεκτρικοϋ πεδίου που σχηματίζεται μεταξύ των όπλισμών του. Η χωρητικότητα είναι :

$$C_0 = \epsilon_0 \cdot \frac{S}{l} = 8,85 \cdot 10^{-12} \frac{\text{Cb}^2}{\text{N} \cdot \text{m}^2} \cdot \frac{2 \text{ m}^2}{5 \cdot 10^{-3} \text{ m}}$$

καί $C_0 = 3,54 \cdot 10^{-9} \text{ F} (*)$

Η ένταση του ήλεκτρικοϋ πεδίου είναι :

$$(*) \text{ Έχουμε: } \frac{\text{Cb}^2}{\text{N} \cdot \text{m}} = \frac{\text{Cb}^2}{\text{Joule}} = \frac{\text{Cb}}{\text{Joule/Cb}} = \frac{\text{Cb}}{\text{V}} = \text{F}$$

$$E = \frac{U}{l} = \frac{10^4 \text{ V}}{5 \cdot 10^{-3} \text{ m}} \quad \text{καί} \quad E = 2 \cdot 10^6 \text{ V/m} \quad (\text{ή N/Cb})$$

Σχέση μεταξύ των ηλεκτρικῶν σταθερῶν $K_{\eta\lambda}$ καί ϵ_0 . Στό σύστημα MKSA τό κενό ἔχει ὀρισμένη *διηλεκτρική σταθερή* ϵ_0 . Ἡ θεωρητική καί ἡ πειραματική ἔρευνα ἀπέδειξαν ὅτι ἡ *ἡλεκτρική σταθερή* $K_{\eta\lambda}$ καί ἡ *διηλεκτρική σταθερή τοῦ κενοῦ* ϵ_0 συνδέονται μεταξύ τους μέ τή σχέση :

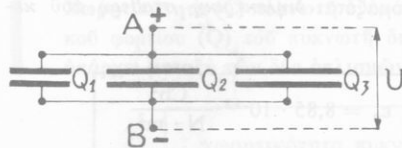
$$\text{οἱ δύο ἡλεκτρικές σταθερές} \quad K_{\eta\lambda} = \frac{1}{4\pi\epsilon_0} = 9 \cdot 10^9 \frac{\text{N} \cdot \text{m}^2}{\text{Cb}^2}$$

Παρατήρηση. Σύμφωνα μέ τήν παραπάνω σχέση στό σύστημα MKSA ὁ νόμος τοῦ Coulomb γιά τό κενό (ἢ τόν ἀέρα) σέ συνάρτηση μέ τή διηλεκτρική σταθερή τοῦ κενοῦ ϵ_0 δίνεται ἀπό τήν ἐξίσωση :

$$F_0 = K_{\eta\lambda} \cdot \frac{Q_1 \cdot Q_2}{r^2} \quad \text{ἢ} \quad F_0 = \frac{1}{4\pi\epsilon_0} \cdot \frac{Q_1 \cdot Q_2}{r^2} \quad \left\{ \begin{array}{l} \epsilon_0 \text{ σέ Cb}^2/(\text{N} \cdot \text{m}^2) \\ Q_1, Q_2 \text{ σέ Cb} \\ r \text{ σέ m, } F_0 \text{ σέ N} \end{array} \right. \quad (1)$$

38. Σύνδεση πυκνωτῶν

Ἄν συνδέσουμε κατάλληλα πολλούς πυκνωτές, σχηματίζουμε μία *συστοιχία πυκνωτῶν*. Οἱ πλιό ἀπλοί τρόποι συνδέσεως τῶν πυκνωτῶν εἶναι ἡ *παράλληλη σύνδεση* καί ἡ *σύνδεση κατά σειρά*.



Σχ. 43. Παράλληλη σύνδεση πυκνωτῶν.

α. Παράλληλη σύνδεση. Στήν *παράλληλη σύνδεση* οἱ πυκνωτές συνδέονται ὅπως φαίνεται στό σχῆμα 43 (δηλαδή συνδέονται ὅλοι μαζί οἱ θετικοί καί ὅλοι μαζί οἱ ἀρνητικοί ὀπλισμοί). Ἄν οἱ πυκνωτές ἔχουν χωρητικότητα C_1, C_2, C_3 , τότε ἀποδεικνύεται ὅτι ἡ ὀλική χωρητικότητα $C_{ολ}$ τῆς συστοιχίας δίνεται ἀπό τήν ἐξίσωση :

$$\text{παράλληλη σύνδεση} \quad C_{ολ} = C_1 + C_2 + C_3$$

Ἄπόδειξη. Στούς δύο ὀπλισμούς κάθε πυκνωτῆ ἐφαρμόζεται ἡ ἴδια τάση U . Ὡστε οἱ πυκνωτές ἔχουν ἡλεκτρικά φορτία :

$$Q_1 = C_1 \cdot U \quad Q_2 = C_2 \cdot U \quad Q_3 = C_3 \cdot U$$

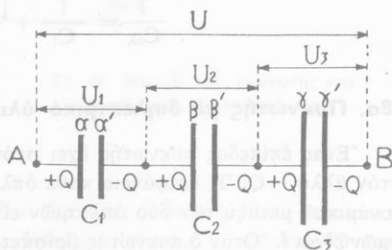
Τό *όλικό φορτίο* $Q_{ολ}$ της συστοιχίας είναι :

$$Q_{ολ} = Q_1 + Q_2 + Q_3 \quad \text{ή} \quad Q_{ολ} = (C_1 + C_2 + C_3) \cdot U$$

Η *όλική χωρητικότητα* $C_{ολ}$ της συστοιχίας είναι :

$$C_{ολ} = \frac{Q_{ολ}}{U} \quad \text{άρα} \quad C_{ολ} = C_1 + C_2 + C_3$$

β. *Σύνδεση κατά σειρά.* Στη *σύνδεση κατά σειρά* οι πυκνωτές συνδέονται όπως φαίνεται στο σχήμα 44 (δηλαδή ο αρνητικός όπλισμός του πρώτου πυκνωτή συνδέεται με το θετικό όπλισμό του δεύτερου πυκνωτή κ.ο.κ.). Αν οι πυκνωτές έχουν χωρητικότητα C_1, C_2, C_3 , τότε αποδεικνύεται ότι η *όλική χωρητικότητα* $C_{ολ}$ της συστοιχίας δίνεται από την εξίσωση :



Σχ. 44. Σύνδεση πυκνωτών κατά σειρά.

$$\text{σύνδεση κατά σειρά} \quad \frac{1}{C_{ολ}} = \frac{1}{C_1} + \frac{1}{C_2} + \frac{1}{C_3}$$

Απόδειξη. Στόν όπλισμό α του πρώτου πυκνωτή δίνουμε φορτίο $+Q$. Τότε ο άλλος όπλισμός α' ήλεκτρίζεται με επαγωγή και στόν όπλισμό α' παραμένει τό φορτίο $-Q$, ενώ τό δμώνυμο φορτίο $+Q$ πηγαίνει στόν όπλισμό β του δεύτερου πυκνωτή. Για τόν ίδιο λόγο ο όπλισμός γ του τρίτου πυκνωτή έχει φορτίο $+Q$. Όστε κάθε πυκνωτής έχει τό ίδιο ηλεκτρικό φορτίο Q . Η τάση πού εφαρμόζεται σέ κάθε πυκνωτή είναι :

$$U_1 = \frac{Q}{C_1} \quad U_2 = \frac{Q}{C_2} \quad U_3 = \frac{Q}{C_3}$$

Η *όλική τάση* U πού εφαρμόζεται στή συστοιχία είναι ίση με τό άθροισμα τών μερικών τάσεων, δηλαδή είναι :

$$U = U_1 + U_2 + U_3 = Q \cdot \left(\frac{1}{C_1} + \frac{1}{C_2} + \frac{1}{C_3} \right)$$

$$\text{καί} \quad \frac{U}{Q} = \frac{1}{C_1} + \frac{1}{C_2} + \frac{1}{C_3} \quad (1)$$

Ἡ ὅλική χωρητικότητα $C_{ολ}$ τῆς συστοιχίας εἶναι :

$$C_{ολ} = \frac{Q}{U} \quad \text{ἄρα} \quad \frac{1}{C_{ολ}} = \frac{U}{Q} \quad (2)$$

Ἀπό τῆς ἐξισώσεις (1) καί (2) βρίσκουμε :

$$\frac{1}{C_{ολ}} = \frac{1}{C_1} + \frac{1}{C_2} + \frac{1}{C_3}$$

38α. Πυκνωτής μέ διηλεκτρικό ὕλικό

Ἐνας ἐπίπεδος πυκνωτής ἔχει στὸν ἕνα ὄπλισμό του φορτίο $+Q$ καί στὸν ἄλλο $-Q$. Ἡ ἐπιφάνεια κάθε ὄπλισμοῦ ἔχει ἐμβαδό S καί ἡ διαφορά δυναμικοῦ μεταξύ τῶν δύο ὄπλισμῶν εἶναι U_0 . Ἡ ἀπόσταση τῶν δύο ὄπλισμῶν εἶναι l . Ὄταν ὁ πυκνωτής βρίσκεται στό κενό (ἢ τὸν ἀέρα), τότε ἡ χωρητικότητα (C_0) τοῦ πυκνωτῆ εἶναι :

$$C_0 = \epsilon_0 \cdot \frac{S}{l} \quad \text{καί ἰσχύει ἡ ἐξίσωση} \quad Q = C_0 \cdot U_0 \quad (1)$$

Μεταξὺ τῶν ὄπλισμῶν αὐτοῦ τοῦ πυκνωτῆ τοποθετοῦμε μιά πλάκα ἀπό μονωτή, π.χ. γυαλί, πού ἔχει πάχος l , ὅσο ἦταν προηγουμένως τὸ πάχος τοῦ στρώματος τοῦ ἀέρα. Τότε ἡ χωρητικότητα αὐξάνει καί ἀπὸ C_0 γίνεται $C > C_0$. Ὁ λόγος C/C_0 ὀνομάζεται *διηλεκτρικὴ σταθερὴ* (ϵ) τοῦ γυαλιοῦ, δέν ἔχει διαστάσεις καί εἶναι διαφορετικὴ γιὰ κάθε μονωτικὸ ὕλικό. Γενικά οἱ μονωτές ὀνομάζονται καί *διηλεκτρικά ὕλικά*. Ἀπὸ τὰ παραπάνω συνάγεται ὅτι ἡ *χωρητικότητα* (C) τοῦ ἐπίπεδου πυκνωτῆ, ὅταν μεταξὺ τῶν ὄπλισμῶν του ὑπάρχει ὕλικό μέ *διηλεκτρικὴ σταθερὴ* ϵ , εἶναι :

χωρητικότητα
πυκνωτῆ μέ
διηλεκτρικό

$$C = \epsilon \cdot C_0 \quad \text{ἢ} \quad C = \epsilon \epsilon_0 \cdot \frac{S}{l}$$

$$\left\{ \begin{array}{l} \epsilon_0 \text{ σέ } \text{Cb}^2/(\text{N} \cdot \text{m}^2) \\ S \text{ σέ } \text{m}^2, l \text{ σέ } \text{m} \\ C \text{ σέ } \text{F} \end{array} \right.$$

Παρατήρηση. Ἡ διηλεκτρικὴ σταθερὴ ϵ ὀνομάζεται *σχετικὴ διηλεκτρικὴ σταθερὴ* τοῦ ὕλικου, δηλαδή σχετικὰ μέ τὸ κενό ἢ τὸν ἀέρα.

Διηλεκτρικὴ σταθερὴ (ϵ) *μερικῶν διηλεκτρικῶν*

Παραφίνη 2.

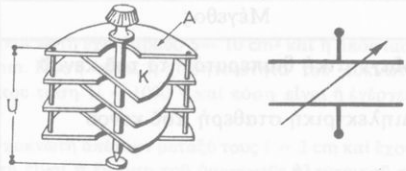
Χαρτί 2,4.

Γυαλί 2-16.

Μαρμαρυγίας 5-7.



Σχ. 45. Φυλλωτός πυκνωτής.



Σχ. 46. Μεταβλητός πυκνωτής και συμβολική παράστασή του.

38 β. Μορφές πυκνωτών

Ο πυκνωτής που εξετάσαμε είναι *επίπεδος πυκνωτής*. Στις πρακτικές εφαρμογές χρησιμοποιούμε σήμερα διάφορες μορφές πυκνωτών. Ο *φυλλωτός πυκνωτής* αποτελείται από δύο στενόμακρα φύλλα αργιλίου και μεταξύ τους υπάρχει ως διηλεκτρικό μία ταινία από παραφινωμένο χαρτί (σχ. 45). Οί όπλισμοί και τό διηλεκτρικό τυλίγονται, ώστε ο πυκνωτής νά έχει μικρό όγκο. Ο *μεταβλητός πυκνωτής* έχει ως διηλεκτρικό τόν άέρα (σχ. 46). Ο ένας όπλισμός του αποτελείται από άκίνητες ήμικυκλικές πλάκες, που συνδέονται μεταξύ τους μέ μεταλλικές ράβδους. Ο άλλος όπλισμός του αποτελείται από όμοιες ήμικυκλικές πλάκες, που είναι στερεωμένες πάνω σέ άξονα και μπορούν νά μπαίνουν περισσότερο ή λιγότερο ανάμεσα στις μόνιμες πλάκες. Μέ τή μετακίνηση του κινητού όπλισμού μεταβάλλεται ή επιφάνεια (S) των όπλισμών και έτσι μεταβάλλεται ή χωρητικότητα του πυκνωτή. Οί μεταβλητοί πυκνωτές χρησιμοποιούνται στή ραδιοφωνία και τήν τηλεόραση. Σέ μερικές περιπτώσεις χρησιμοποιούνται πυκνωτές μέ *ύγρα διηλεκτρικά* (π χ. όρυκτέλαιο).

39. Γενική παρατήρηση γιά τίς σταθερές του συστήματος μονάδων MKSA

Όπως είδαμε, στίς εξισώσεις του Μαγνητισμού και του Ήλεκτρισμού υπάρχουν όρισμένες σταθερές που οί τιμές τους αναφέρονται άνακεφαλαιωτικά στόν παρακάτω πίνακα.

Μαγνητικές και ηλεκτρικές σταθερές

Μέγεθος	Σταθερή
Μαγνητική διαπερατότητα του κενού	$\mu_0 = 4\pi \cdot 10^{-7} \frac{\text{N}}{\text{A}^2}$
Διηλεκτρική σταθερή του κενού	$\epsilon_0 = 8,85 \cdot 10^{-12} \frac{\text{Cb}^2}{\text{N} \cdot \text{m}^2}$
Μαγνητική σταθερή του Coulomb	$K_{\text{μαγν}} = \frac{\mu_0}{4\pi} = 10^{-7} \frac{\text{N}}{\text{A}^2}$
Ήλεκτρική σταθερή του Coulomb	$K_{\eta\lambda} = \frac{1}{4\pi\epsilon_0} = 9 \cdot 10^9 \frac{\text{N} \cdot \text{m}^2}{\text{Cb}^2}$
Σχέση των σταθερών $K_{\text{μαγν}}$ και $K_{\eta\lambda}$	$K_{\eta\lambda} = K_{\text{μαγν}} \cdot c^2$

Παρατήρηση. Αν στην τελευταία εξίσωση βάλουμε τις τιμές των σταθερών $K_{\eta\lambda}$ και $K_{\text{μαγν}}$, βρίσκουμε :

$$\frac{1}{4\pi\epsilon_0} = \frac{\mu_0}{4\pi} \cdot c^2 \quad \text{Άρα}$$

$$\frac{1}{\mu_0 \cdot \epsilon_0} = c^2$$

Η εξίσωση που βρήκαμε συνδέει στο σύστημα MKSA τις τρεις σταθερές του κενού μ_0 , ϵ_0 και c .

ΠΡΟΒΛΗΜΑΤΑ

35. Άγωγός έχει χωρητικότητα $C = 10 \mu\text{F}$ και δυναμικό $U = 4 \text{ V}$. Πόσο είναι τό φορτίο του άγωγού ;

36. Σφαιρικός άγωγός έχει ακτίνα $R = 6 \text{ cm}$ και δυναμικό $U = 33 \cdot 10^3 \text{ V}$. Πόση είναι ή χωρητικότητα και πόσο τό φορτίο του άγωγού ;

37. Δύο μεταλλικές σφαίρες έχουν ακτίνες $R_1 = 2 \text{ cm}$ και $R_2 = 1 \text{ cm}$ και έχουν αντίστοιχα φορτία $q_1 = 40 \cdot 10^{-9} \text{ Cb}$ και $q_2 = -30 \cdot 10^{-9} \text{ Cb}$. Αρχικά οι δύο σφαίρες είναι μονωμένες, έπειτα τις συνδέουμε με σύρμα που έχει άσημάντη χωρητικότητα. Πόσο είναι τό δυναμικό των σφαιρών μετά τή σύνδεσή τους ;

38. Σφαιρικός άγωγός έχει ακτίνα $R = 9 \text{ cm}$. Πόσο φορτίο πρέπει νά λάβει ό άγωγός, γιά νά έχει ενέργεια ίση μέ $E_{\eta\lambda} = 5 \text{ Joule}$; Πόσο είναι τότε τό δυναμικό του άγωγού ;

39. Δύο μεταλλικές σφαίρες A και B έχουν ακτίνες $R_A = 5 \text{ cm}$, $R_B = 20 \text{ cm}$ και αντίστοιχα δυναμικό $U_A = 30 \cdot 10^3 \text{ V}$ και $U_B = 18 \cdot 10^3 \text{ V}$. Γιά μία στιγμή φέρνουμε σέ έπαφή τις δύο σφαίρες και έπειτα τις άπομακρύνουμε. α) Πόσο είναι τό φορτίο κάθε σφαίρας πριν από τήν έπαφή της και μετά τήν έπαφή της μέ τήν άλλη σφαίρα; β) Πόσο είναι τό άθροισμα των ενεργειών των δύο σφαιρών πριν από τήν έπαφή τους και μετά τήν έπαφή τους ;

40. Ό κάθε όπλισμός ενός επίπεδου πυκνωτή έχει έμβαδό $S = 1 \text{ m}$ και μεταξύ των όπλισμών του υπάρχει στρώμα άέρα, που έχει πάχος $l = 1 \text{ mm}$. Ό ένας όπλισμός συνδέεται μέ τή γη, ενώ ό άλλος όπλισμός συνδέεται μέ πηγή που έχει σταθερό δυναμικό $U = 600 \text{ V}$. Νά βρεθεί ή χωρητικότητα, τό φορτίο και ή ενέργεια του πυκνωτή.

41. Πυκνωτής έχει χωρητικότητα $C = 25 \mu\text{F}$. Πόση τάση U υπάρχει μεταξύ των δύο όπλισμών του, όταν τό φορτίο του είναι $q = 10^{-3} \text{ Cb}$; Πόση ενέργεια έχει τότε ο πυκνωτής;

42. Ο κάθε όπλισμός ενός επίπεδου πυκνωτή έχει έμβαδό $S = 10 \text{ cm}^2$ και ή απόσταση μεταξύ των όπλισμών του είναι $l = 1 \text{ mm}$. Πόση είναι ή χωρητικότητα του πυκνωτή, όταν εφαρμόζεται στους δύο όπλισμούς του τάση $U = 1000 \text{ V}$ και πόση είναι ή ενέργεια του πυκνωτή;

43. Οί δύο όριζόντιοι όπλισμοί ενός πυκνωτή απέχουν μεταξύ τους $l = 2 \text{ cm}$ και έχουν διαφορά δυναμικού $U = 3000 \text{ V}$. α) Πόση είναι ή ένταση του όμογενους ήλεκτρικού πεδίου; β) Μεταξύ των δύο όπλισμών διατηρείται αιώρουμένη μιά ήλεκτρισμένη σταγόνα λαδιού, πού έχει μάζα $m = 12 \cdot 10^{-12} \text{ gr}$. Πόσο είναι τό φορτίο q τής σταγόνας; $g = 10 \text{ m/sec}^2$.

44. Δύο πυκνωτές έχουν χωρητικότητα $C_1 = 5 \mu\text{F}$ και $C_2 = 15 \mu\text{F}$. α) Πόση είναι ή χωρητικότητα τής συστοιχίας, όταν συνδεθούν παράλληλα ή κατά σειρά; β) Όταν συνδεθούν παράλληλα, πόση τάση U πρέπει νά εφαρμόζεται στις άκρες τής συστοιχίας, ώστε τό όλικό φορτίο τής νά είναι $Q_{ολ} = 1 \text{ Cb}$; Πόσο είναι τότε τό φορτίο κάθε πυκνωτή;

45. Πέντε όμοιοι πυκνωτές ($n = 5$), πού ό καθένας έχει χωρητικότητα $C = 20 \mu\text{F}$, συνδέονται κατά σειρά και στις άκρες τής συστοιχίας εφαρμόζεται τάση $U = 1200 \text{ V}$. Νά βρεθεί: α) ή όλική χωρητικότητα $C_{ολ}$ τής συστοιχίας· β) τό φορτίο Q κάθε πυκνωτή και τό όλικό φορτίο $Q_{ολ}$ τής συστοιχίας και γ) ή ενέργεια E κάθε πυκνωτή και ή όλική ενέργεια $E_{ολ}$ τής συστοιχίας.

46. Μεταβλητός πυκνωτής αποτελείται από 16 σταθερά και από 15 στρεπτά ήμικύκλια, πού έχουν άκτινα $r = 4 \text{ cm}$. Η απόσταση μεταξύ δύο διαδοχικών ήμικύκλιων είναι $l = 1,25 \text{ mm}$. Πόση είναι ή μεγαλύτερη χωρητικότητα C του πυκνωτή;

47. Η απόσταση των δύο όριζόντιων όπλισμών ενός πυκνωτή είναι $l = 2 \text{ cm}$ και μεταξύ των δύο όπλισμών του υπάρχει τάση $U = 120 \text{ V}$. 1) Νά βρεθεί ή ένταση E του ήλεκτρικού πεδίου. 2) Τό μέτρο τής δυνάμεως F πού ενεργεί πάνω σέ ένα ήλεκτρόνιο, όταν αυτό βρίσκεται μέσα στό ήλεκτρικό πεδίο. $|e| = 1,6 \cdot 10^{-19} \text{ Cb}$.

48. Στο προηγούμενο πρόβλημα (47) τό ήλεκτρόνιο ξεκινάει από τόν άρνητικό όπλισμό του πυκνωτή χωρίς άρχική ταχύτητα. Νά βρεθεί ή επιτάχυνση τής κίνησης του ήλεκτρονίου και ό λόγος τής κατακόρυφης ήλεκτροστατικής δυνάμεως F πού ενεργεί πάνω στό ήλεκτρόνιο πός τή δύναμη $F_{βαρ}$ πού όφείλεται στή βαρύτητα. $m_e = 9,1 \cdot 10^{-31} \text{ kg}$. $g = 9,8 \text{ m/sec}^2$.

49. Μεταξύ των δύο όριζόντιων όπλισμών ενός πυκνωτή, πού ή απόστασή τους είναι $l = 2 \text{ cm}$ διατηρείται αιώρουμένη μιά φορτισμένη σταγόνα λαδιού πού έχει μάζα $m = 4 \cdot 10^{-13} \text{ kg}$ και φορτίο $q = 2,4 \cdot 10^{-18} \text{ Cb}$. Νά βρεθεί ή τάση U μεταξύ των δύο όπλισμών του πυκνωτή και ή ένταση E του ήλεκτρικού πεδίου. $g = 9,8 \text{ m/sec}^2$.

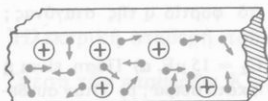
50. Στους δύο όπλισμούς ενός πυκνωτή εφαρμόζεται τάση $U = 4000 \text{ V}$ και ή απόστασή τους είναι $l = 2 \text{ cm}$. Ένα ήλεκτρόνιο κινείται μέ σταθερή ταχύτητα πού έχει μέτρο $v_0 = 10^4 \text{ m/sec}$ και μπαίνει μέσα στό ήλεκτρικό πεδίο έτσι, ώστε ή ταχύτητά του νά έχει τή διεύθυνση των δυναμικών γραμμών του ήλεκτρικού πεδίου. 1) Νά προσδιοριστεί ή δύναμη πού ενεργεί πάνω στό ήλεκτρόνιο. 2) Η κινητική ενέργεια $E_{κιν}$ του ήλεκτρονίου πριν μπει μέσα στό ήλεκτρικό πεδίο. 3) Η μεταβολή $\Delta E_{κιν}$ τής κινητικής ενέργειας του ήλεκτρονίου κατά τήν κίνησή του μέσα στό ήλεκτρικό πεδίο. $m_e = 9 \cdot 10^{-31} \text{ kg}$. $|e| = 1,6 \cdot 10^{-19} \text{ Cb}$.

Συνεχές ηλεκτρικό ρεύμα

ΝΟΜΟΣ ΤΟΥ ΟΗΜ

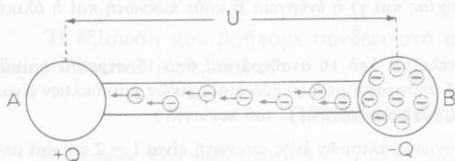
40. Τό ηλεκτρικό ρεύμα ως ροή ηλεκτρονίων

Μέσα σέ ένα σύρμα πού δέν διαρρέεται από ρεύμα τά έλευθερα ηλεκτρόνια κινούνται άτακτα (σχ. 47).

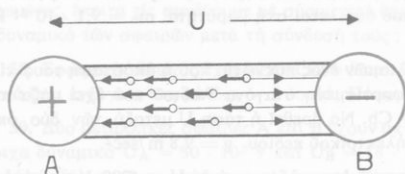


Σχ. 47. Τά έλευθερα ηλεκτρόνια κινούνται άτακτα.

Δύο ίσοι σφαιρικοί άγωγοί Α και Β έχουν ηλεκτρικά φορτία $+Q$ και $-Q$ και έπομένως μεταξύ αυτών των δύο άγωγών υπάρχει διαφορά δυναμικού U . Αν συνδέσουμε τούς δύο άγωγούς, τότε μέ τήν επίδραση του ηλεκτρικού πεδίου τά ηλεκτρόνια πού πλεονάζουν στον άγωγό Β έρχονται μέσω του σύρματος στον άγωγό Α και εξουδετερώνουν τό θετικό φορτίο του (σχ. 48). Έτσι οί δύο άγωγοί γίνονται ούδέτεροι. Αυτή ή ροή ηλεκτρονίων μέσα στό σύρμα είναι ένα **ηλεκτρικό ρεύμα**. Σ' αυτή τήν περίπτωση ή διάρκεια του ηλεκτρικού ρεύματος είναι ελάχιστη. Τά ηλεκτρόνια κινούνται μέ φορά αντίθετη μέ τή φορά του ηλεκτρικού πεδίου (σχ. 49)



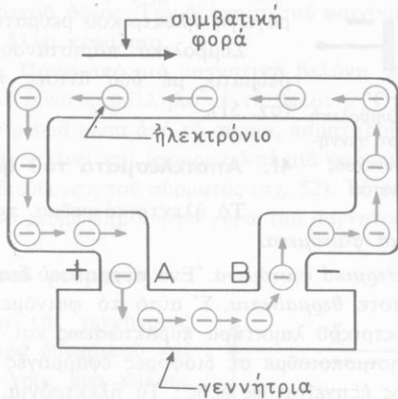
Σχ. 48. Ροή ηλεκτρονίων από τον άγωγό Β πρós τον άγωγό Α.



Σχ. 49. Τό ηλεκτρικό πεδίο έχει φορά από τον άγωγό Α πρós τον άγωγό Β.

Αν θέλουμε νά είναι **συνεχές ή ροή** των ηλεκτρονίων μέσα στό σύρμα, τότε πρέπει συνεχώς νά αφαιρούνται από τον άγωγό Α τά ηλεκτρόνια πού έρχονται σ' αυτόν και νά ξαναγυρίζουν στον άγωγό Β. Πρέπει δηλαδή νά διατηρείται σταθερή διαφορά δυναμικού U μεταξύ των δύο άγωγών Α και Β. Η συνεχής αφαίρεση των ηλεκτρονίων από τον άγωγό Α και ή επαναφορά τους στον άγωγό Β γίνεται μέ ειδικές μηχανές πού όνομάζονται γεννήτριες ρεύμα-

ος ή πίο άπλά γεννήτριες (σχ. 50). Έτσι μπορούμε νά πούμε ότι κάθε γεννήτρια είναι μιά άντλία ηλεκτρονίων. Οί δύο άγωγοί Α καί Β άποτελούν τούς δύο πόλους τής γεννήτριας (θετικός καί άρνητικός πόλος). Τό ηλεκτρικό ρεύμα πού περνάει μέσα άπό τό σύρμα έχει σταθερή φορά άπό τόν άρνητικό πρός τό θετικό πόλο τής γεννήτριας (συνεχές ηλεκτρικό ρεύμα). Αύτή ή



Σχ. 50. Η γεννήτρια εξασφαλίζει τή ροή των ηλεκτρονίων μέσα στο σύρμα.

φορά του ρεύματος λέγεται *πραγματική φορά*. Όταν δέν ήταν άκόμη γνωστή ή φύση του ηλεκτρικού ρεύματος, δέχτηκαν κατά συνθήκη ότι τό ρεύμα πηγαίνει άπό τό θετικό πρός τόν άρνητικό πόλο τής γεννήτριας. Αύτή ή φορά του ρεύματος λέγεται *συμβατική φορά* καί εξακολουθεί νά εφαρμόζεται στην τεχνική. Άπό τά παραπάνω καταλήγουμε στά έξής συμπεράσματα :

I. Τό ηλεκτρικό ρεύμα είναι ροή ηλεκτρονίων.

II. Η γεννήτρια δημιουργεί μεταξύ των δύο πόλων της σταθερή διαφορά δυναμικού (τάση) καί εξαιτίας της προκαλείται συνεχής ροή ηλεκτρονίων άπό τόν άρνητικό πρός τό θετικό πόλο τής γεννήτριας μέσω του άγωγού πού συνδέει τούς δύο πόλους της.

Παρατήρηση. Θα εξετάσουμε τό ηλεκτρικό ρεύμα χρησιμοποιώντας τή συμβατική φορά του ρεύματος.

Είδη γεννητριών. Στην πράξη χρησιμοποιούμε κυρίως τρία είδη γεννητριών, τά *ηλεκτρικά στοιχεία*, τούς *συσσωρευτές* καί τίς *βιομηχανικές γεννήτριες*.

Τά *ηλεκτρικά στοιχεία* χρησιμοποιούνται μόνο γιά τή λειτουργία μικρών φορητών συσκευών (ηλεκτρικά φανάρια, ραδιόφωνα, μαγνητόφωνα, άκουστικά, ύπολογιστές κ.ά.).

Οί *συσσωρευτές* χρησιμοποιούνται σέ πάρα πολλές εφαρμογές (αυτοκίνητα, ύποβρύχια, εργαστήρια κ.ά.).

Οί *βιομηχανικές γεννήτριες* άποτελούν τό σπουδαιότερο είδος γεννη-



Σχ. 51. Συμβολική παράσταση γεννήτριας συνεχούς ρεύματος.

τριών και χρησιμοποιούνται για τη βιομηχανική παραγωγή ηλεκτρικού ρεύματος.

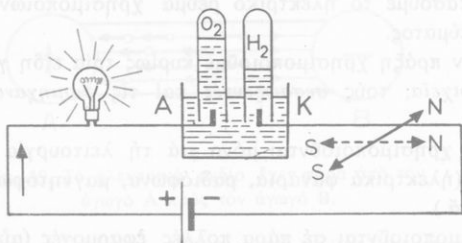
Συμβολικά παριστάνουμε μία γεννήτρια συνεχούς ρεύματος με δύο άνισες παράλληλες μικρές ευθείες (σχ. 51).

41. Αποτελέσματα του ηλεκτρικού ρεύματος

Τό ηλεκτρικό ρεύμα προκαλεί θερμικά, χημικά και μαγνητικά φαινόμενα.

α. *Θερμικά φαινόμενα.* Ένα σύρμα που διαρρέεται από ηλεκτρικό ρεύμα πάντοτε *θερμαίνεται*. Σ' αυτό τό φαινόμενο στηρίζεται ή λειτουργία του ηλεκτρικού λαμπτήρα πυρακτώσεως και πολλών θερμικών συσκευών που χρησιμοποιούμε σε διάφορες εφαρμογές (σχ. 52). Η θέρμανση του σύρματος εξηγείται ως εξής: Τά ηλεκτρόνια, με την επίδραση του ηλεκτρικού πεδίου, κινούνται και έπομένως άποκτούν *κινητική ένέργεια*. Καθώς όμως προχωρούν μέσα στή μάζα του σύρματος συγκρούονται με τά άκίνητα άτομα του μετάλλου και τότε μέρος τής κινητικής ενέργειας των ηλεκτρονίων *μετατρέπεται σε θερμότητα*. Η θέρμανση των άγωγών εξαιτίας του ηλεκτρικού ρεύματος που περνάει μέσα από αυτούς ονομάζεται *φαινόμενο Joule*.

β. *Χημικά φαινόμενα.* Όταν τό ηλεκτρικό ρεύμα περνάει μέσα από ύδατικά διαλύματα οξέων, βάσεων και άλάτων, εμφανίζονται προϊόντα που προέρχονται από τή *χημική άποσύνθεση* αυτών των σωμάτων. Τό φαινόμενο αυτό ονομάζεται *ηλεκτρόλυση* και ή συσκευή που χρησιμοποιείται για τήν ηλεκτρόλυση ονομάζεται *βολτάμετρο* (σχ. 52). Τά δύο ηλεκτρόδια, που συνδέονται με τό θετικό και τόν άρνητικό πόλο τής γεννήτριας, ονομάζονται αντίστοιχα *άνοδος* και *κάθοδος*.



Σχ. 52. Θερμικά, χημικά και μαγνητικά άποτελέσματα του ηλεκτρικού ρεύματος.

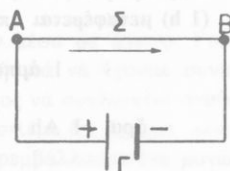
Κατά τήν ηλεκτρόλυση άραιών διαλυμάτων οξέων στήν *κάθοδο* συλλέγεται ύδρογόνο, ενώ κατά τήν ηλεκτρόλυση διαλυμάτων βάσεων και άλάτων συλλέγεται μέταλλο. Στο σχήμα 52 φαίνονται τά προϊόντα που συλλέγονται στά δύο ηλεκτρόδια κατά τήν

ηλεκτρόλυση διαλύματος θειικού οξέος. Τήν εξήγηση του φαινομένου της ηλεκτρολύσεως θά δούμε σε άλλο κεφάλαιο.

γ. *Μαγνητικά φαινόμενα.* Πάνω από μιά μαγνητική βελόνη που ήρμεϊ, φέρνουμε ένα σύρμα που είναι παράλληλο με τή βελόνη. "Όταν αφήσουμε νά περάσει ηλεκτρικό ρεύμα μέσα από τό σύρμα, παρατηρούμε ότι ή μαγνητική βελόνη άμέσως άποκλίνει και ισορροπεί σε μιά καινούρια θέση σχηματίζοντας γωνία με τή διεύθυνση του σύρματος (σχ. 52). Τό φαινόμενο αυτό δείχνει ότι τό ηλεκτρικό ρεύμα δημιουργεί γύρω του *μαγνητικό πεδίο*.

42. Ένταση του ηλεκτρικού ρεύματος

Μεταξύ των δύο πόλων της γεννήτριας διατηρείται σταθερή διαφορά δυναμικού και τότε τό σύρμα που συνδέει τούς δύο πόλους της γεννήτριας διαρρέεται από ηλεκτρικό ρεύμα (σχ. 53). Αυτό τό ρεύμα έχει *σταθερή φορά* από τό θετικό προς τόν άρνητικό πόλο της γεννήτριας (συμβατική φορά) και ονομάζεται *συνεχές ηλεκτρικό ρεύμα*. Στη διάρκεια χρόνου t από μιά τομή του σύρματος περνάει ηλεκτρικό φορτίο Q και ισχύει ό εξής *όρισμός* :



Σχ. 53. Τό σύρμα (Σ) διαρρέεται από συνεχές ηλεκτρικό ρεύμα.

Ένταση (I) ηλεκτρικού ρεύματος ονομάζεται τό ηλίκο του ηλεκτρικού φορτίου (Q) που περνάει από μιά τομή του άγωγού διά του αντίστοιχου χρόνου (t).

$$\text{ένταση ηλεκτρικού ρεύματος} = \frac{\text{φορτίο}}{\text{χρόνος}} \quad I = \frac{Q}{t}$$

Μονάδα έντάσεως ρεύματος. Στο σύστημα MKSA ή ένταση ηλεκτρικού ρεύματος είναι *θεμελιώδες μέγεθος*. Η *μονάδα έντάσεως ρεύματος* ονομάζεται *Ampère* (1 A) και ορίζεται από όρισμένη εξίσωση του ηλεκτρομαγνητισμού, μπορούμε όμως νά τήν όρισουμε από τήν εξίσωση $I = Q/t$, αν βάλουμε σ' αυτή $Q = 1 \text{ Cb}$ και $t = 1 \text{ sec}$. Έτσι βρίσκουμε ότι :

1 Ampère είναι ή ένταση ρεύματος που κατά δευτερόλεπτο (1 sec) μεταφέρει ηλεκτρικό φορτίο ίσο με 1 Coulomb (1 Cb).

$$1 \text{ Ampère} = \frac{1 \text{ Coulomb}}{1 \text{ sec}} \quad 1 \text{ A} = 1 \text{ Cb/sec}$$

Στις πρακτικές εφαρμογές χρησιμοποιούνται και τα υποπολλαπλάσια :

$$1 \text{ milliamperè (1 mA)} = 10^{-3} \text{ A, } 1 \text{ microampèrè (1 } \mu\text{A)} = 10^{-6} \text{ A}$$

Η μονάδα ηλεκτρικού φορτίου άμπερώριο. Από την εξίσωση ορισμού της έντασης ρεύματος $I = Q/t$ βρίσκουμε ότι στη διάρκεια χρόνου t ένα ηλεκτρικό ρεύμα που έχει ένταση I μεταφέρει ηλεκτρικό φορτίο :

$$Q = I \cdot t$$

Από αυτή την εξίσωση ορίζουμε μία νέα πρακτική μονάδα ηλεκτρικού φορτίου, που ονομάζεται *άμπερώριο* (1 Ah) και ορίζεται ως εξής :

1 άμπερώριο (1 Ah) είναι τό ηλεκτρικό φορτίο, που μέσα σε μία ώρα (1 h) μεταφέρεται από ηλεκτρικό ρεύμα έντασης ενός Ampère (1 A).

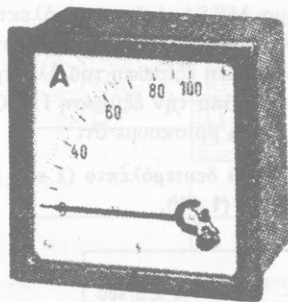
$$1 \text{ άμπερώριο (1 Ah)} = 1 \text{ A} \cdot 1 \text{ h}$$

$$\text{Άρα } 1 \text{ Ah} = 1 \frac{\text{Cb}}{\text{sec}} \cdot 3600 \text{ sec} \text{ και } 1 \text{ Ah} = 3600 \text{ Cb}$$

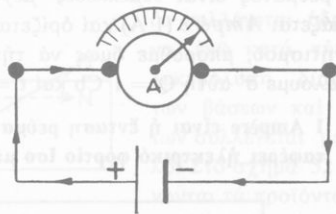
43. Μέτρηση της έντασης του ρεύματος

Γιά τή μέτρηση της έντασης του ρεύματος χρησιμοποιούμε ειδικά όργανα που ονομάζονται *άμπερόμετρα* (σχ. 54). Η λειτουργία τους στηρίζεται στά θερμικά ή τά μαγνητικά αποτελέσματα του ρεύματος. Τό άμπερόμετρο τό συνδέουμε μέ τόν άγωγό έτσι, ώστε τό ρεύμα που θέλουμε νά μετρήσουμε τήν έντασή του νά περνάει μέσα από τό όργανο (σχ. 55). Μέ τό άμπερόμετρο βρίσκουμε ότι :

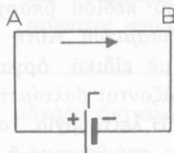
Σέ όλο τό μήκος του άγωγού που συνδέει τούς πόλους της γεννήτριας ή ένταση (I) του ρεύματος είναι σταθερή.



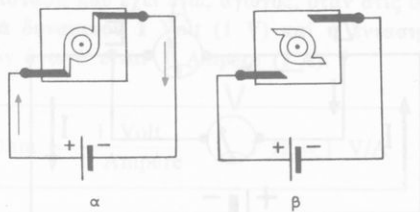
Σχ. 54. Άμπερόμετρο.



Σχ. 55. Μέτρηση της έντασης του ρεύματος.



Σχ. 56. Κλειστό κύκλωμα.



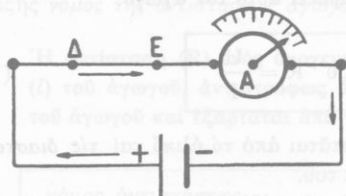
Σχ. 57. Διακόπτης (α κλειστό κύκλωμα, β ανοιχτό κύκλωμα).

44. Κύκλωμα

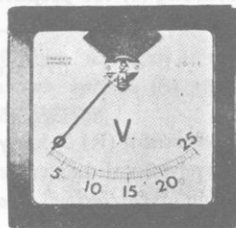
Τό ηλεκτρικό ρεύμα είναι ροή ηλεκτρονίων μέσα σε άγωγο. Για να είναι συνεχής αυτή ή ροή ηλεκτρονίων, δηλαδή για να έχουμε συνεχές ηλεκτρικό ρεύμα, πρέπει οι δύο άκρες του σύρματος να συνδέονται σταθερά με τους δύο πόλους της γεννήτριας (σχ. 56). Τότε λέμε ότι έχουμε *κλειστό κύκλωμα*. "Αν σε ένα σημείο του κυκλώματος παρεμβάλλουμε ένα μονωτή, π.χ. ένα στρώμα αέρα, τότε συμβαίνει διακοπή της ροής των ηλεκτρονίων, δηλαδή *διακοπή* του ρεύματος και λέμε ότι έχουμε *ανοιχτό κύκλωμα*. Για τη διακοπή ή την άποκατάσταση του ρεύματος χρησιμοποιούμε τους *διακόπτες*, που ως μονωτή έχουν συνήθως τόν αέρα (σχ. 57).

45. Διαφορά δυναμικού μεταξύ δύο σημείων του άγωγού

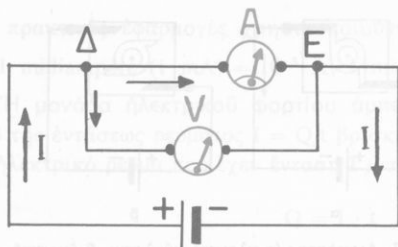
"Όταν οι δύο πόλοι της γεννήτριας συνδέονται με σύρμα, τό κύκλωμα είναι κλειστό και τό σύρμα διαρρέεται από ρεύμα που έχει σταθερή ένταση I . Αυτή τή μετράμε με ένα αμπερόμετρο (σχ. 58). "Η κίνηση των ηλεκτρονίων μέσα στό σύρμα οφείλεται στό *ηλεκτρικό πεδίο* που υπάρχει τότε μέσα στό σύρμα. Οι δυναμικές γραμμές του ηλεκτρικού πεδίου αρχίζουν από τό θετικό πόλο της γεννήτριας και καταλήγουν στόν αρνητικό πόλο της. Μεταξύ δύο σημείων Δ και Ε του σύρματος τά ηλεκτρόνια κινούνται, επειδή μεταξύ



Σχ. 58. Μεταξύ των σημείων Δ και Ε του κυκλώματος υπάρχει διαφορά δυναμικού (τάση).



Σχ. 59. Βολτόμετρο.



Σχ. 60. Μέτρηση της έντασης I του ρεύματος με το άμπερόμετρο (A) και της τάσεως U μεταξύ των σημείων Δ και Ε με το βολτόμετρο (V).

μείων Δ και Ε του άγωγού, σχηματίζουμε μία *διακλάδωση* του ρεύματος συνδέοντας το βολτόμετρο με τα δύο σημεία Δ και Ε του άγωγού (σχ. 60).

Παρατήρηση. Το άμπερόμετρο μπαίνει στο κύκλωμα *κατά σειρά*, ενώ το βολτόμετρο μπαίνει σε ένα τμήμα του κυκλώματος *κατά διακλάδωση*.

46. Νόμος του Ohm για τμήμα άγωγού

α. **Αντίσταση άγωγού.** Ένα τμήμα ΔΕ του άγωγού (σχ. 60) διαρρέεται από ρεύμα έντασης I που τή μετράμε με άμπερόμετρο. Μεταξύ των δύο άκρων Δ και Ε του άγωγού υπάρχει διαφορά δυναμικού U (ή τάση), που τή μετράμε με βολτόμετρο. Πειραματικά βρίσκουμε ότι, αν ή διαφορά δυναμικού μεταξύ των σημείων Δ και Ε γίνει $2U, 3U, 4U \dots$ ή ένταση του ρεύματος γίνεται αντίστοιχα $2I, 3I, 4I \dots$ Άρα για τό τμήμα ΔΕ του άγωγού τό πηλίκο τής διαφοράς δυναμικού που εφαρμόζεται στις άκρες του άγωγού διά τής έντασεως του ρεύματος είναι *σταθερό*, χαρακτηριστικό γι' αυτό τόν άγωγό (ΔΕ) και ονομάζεται *αντίσταση* του άγωγού. Ωστε :

Αντίσταση (R) ενός άγωγού ονομάζεται τό σταθερό πηλίκο τής διαφοράς δυναμικού (U), που εφαρμόζεται στις άκρες του άγωγού, διά τής έντασεως (I) του ρεύματος, που διαρρέει αυτό τόν άγωγό.

$$\text{άντίσταση άγωγού } R = \frac{U}{I} \quad (1)$$

Η αντίσταση (R) ενός άγωγού εξαρτάται από τό υλικό και τίς διαστάσεις του άγωγού και από τή θερμοκρασία του.

Μονάδα αντίστασεως άγωγού. Από τήν εξίσωση (1) βρίσκουμε τή μονάδα αντίστασεως άγωγού, ή όποια στο σύστημα MKSA ονομάζεται *Ohm* (Ω , 1Ω) και όρίζεται ως έξης :

1 Ohm (1 Ω) είναι η αντίσταση που έχει ένας αγωγός, όταν στις άκρες του εφαρμόζεται διαφορά δυναμικού 1 Volt (1 V) και η ένταση του ρεύματος που διαρρέει τον αγωγό είναι 1 Ampère (1 A).

$$\text{μονάδα αντίστασεως } 1 \text{ Ohm} = \frac{1 \text{ Volt}}{1 \text{ Ampère}} \quad 1 \Omega = 1 \text{ V/A}$$

Στις εφαρμογές χρησιμοποιούμε και τά εξής πολλαπλάσια ή υποπολλαπλάσια της μονάδας Ohm :

$$1 \text{ kilohm (1 k}\Omega) = 10^3 \Omega \quad 1 \text{ megaohm (1 M}\Omega) = 10^6 \Omega$$

$$1 \text{ microohm (1 }\mu\Omega) = 10^{-6} \Omega$$

Παρατήρηση. Μιά στήλη ύδραργύρου, που σε θερμοκρασία 0° C έχει μήκος 106,3 cm και τό έμβαδό της διατομής της είναι 1 mm², έχει αντίσταση ίση μέ 1 Ohm και αποτελεί τό πρότυπο της μονάδας αντίστασεως.

β. Νόμος του Ohm για τμήμα αγωγού. Ή εξίσωση (1) που βρήκαμε πειραματικά εκφράζει τόν ακόλουθο νόμο του Ohm :

Ή ένταση (I) του ρεύματος που διαρρέει έναν αγωγό είναι ανάλογη μέ τή διαφορά δυναμικού (U) που εφαρμόζεται στις άκρες του αγωγού και αντίστροφως ανάλογη μέ τήν αντίσταση (R) του αγωγού.

$$\text{νόμος του Ohm } I = \frac{U}{R}$$

$$\left\{ \begin{array}{l} U \text{ σε V} \\ R \text{ σε } \Omega \\ I \text{ σε A} \end{array} \right.$$

47. Νόμος της αντίστασεως αγωγού

Πειραματικά βρίσκουμε ότι για τήν αντίσταση ενός αγωγού ισχύει ό εξής νόμος της αντίστασεως αγωγού :

Ή αντίσταση (R) ενός όμογενους αγωγού είναι ανάλογη μέ τό μήκος (l) του αγωγού, αντίστροφως ανάλογη μέ τό έμβαδό (S) της τομής του αγωγού και εξαρτάται από τό ύλικό του αγωγού.

$$\text{νόμος αντίστασεως} \quad R = \rho \cdot \frac{l}{S}$$

$$\left\{ \begin{array}{l} l \text{ σε m, } S \text{ σε m}^2 \\ \rho \text{ σε } \Omega \cdot \text{m} \\ R \text{ σε } \Omega \end{array} \right. \quad (1)$$

δπου ρ είναι μιά σταθερή, πού εξαρτάται από τό ύλικό του άγωγοú καί όνομάζεται *ειδική αντίσταση* του ύλικού. Από τήν εξίσωση (1) βρίσκουμε :

$$\rho = R \cdot \frac{S}{l}$$

Άρα στό σύστημα MKSA *μονάδα ειδικής αντίστασεως* είναι :

$$1 \Omega \cdot \frac{1 \text{ m}^2}{1 \text{ m}} \quad \eta \quad 1 \Omega \cdot \text{m}$$

Πειραματική απόδειξη. 1. Παίρνουμε σύρματα από τό ίδιο μέταλλο καί μέ τό ίδιο έμβαδό τομής (S), αλλά τά μήκη των συρμάτων είναι $l, 2l, 3l$. Στίς άκρες αυτών των συρμάτων εφαρμόζουμε διαδοχικά τήν ίδια διαφορά δυναμικού U καί μέ άμπερόμετρο μετράμε τήν ένταση του ρεύματος πού διαρρέει κάθε σύρμα. Βρίσκουμε ότι οί αντίστοιχες έντάσεις των ρευμάτων είναι, I, I/2, I/3. Σύμφωνα μέ τό νόμο του Ohm $I = U/R$, οί αντίστοιχες αντιστάσεις των συρμάτων είναι R, 2R, 3R, δηλαδή είναι *ανάλογες μέ τό μήκος των συρμάτων*.

2. Παίρνουμε σύρματα από τό ίδιο μέταλλο καί μέ τό ίδιο μήκος l , αλλά τό έμβαδό τής τομής τους είναι S, 2S, 3S. Εφαρμόζουμε σ' αυτά τά σύρματα διαφορά δυναμικού U καί βρίσκουμε ότι οί αντίστοιχες έντάσεις των ρευμάτων είναι I, 2I, 3I. Σύμφωνα μέ τό νόμο του Ohm $I = U/R$ οί αντίστοιχες αντιστάσεις των συρμάτων είναι R, R/2, R/3, δηλαδή είναι *αντιστροφώς ανάλογες μέ τό έμβαδό τής τομής των συρμάτων*.

3. Παίρνουμε σύρματα από διαφορετικά μέταλλα, αλλά τά σύρματα αυτά έχουν τό ίδιο μήκος (l) καί τό ίδιο έμβαδό τομής (S). Εφαρμόζουμε στά σύρματα τήν ίδια διαφορά δυναμικού (U). Τότε βρίσκουμε ότι οί έντάσεις των ρευμάτων πού διαρρέουν τά σύρματα είναι διαφορετικές, γιατί ή αντίσταση του κάθε σύρματος εξαρτάται από τό ύλικό του.

Μερικές ειδικές αντιστάσεις (σέ $\Omega \cdot \text{m}$)

Άργυρος	$1,5 \cdot 10^{-8}$	Χαλκός	$1,6 \cdot 10^{-8}$	Άργίλιο	$2,5 \cdot 10^{-8}$
Βολφράμιο	$6 \cdot 10^{-8}$	Σίδηρος	$10 \cdot 10^{-8}$	Υδράργυρος	$94 \cdot 10^{-8}$

Σημείωση. Παρατηρούμε ότι *τή μικρότερη* ειδική αντίσταση έχουν κατά σειρά ό άργυρος, ό χαλκός καί τό άργίλιο καί γι' αυτό τά σύρματα πού χρησιμοποιούμε είναι κυρίως από χαλκό ή καί από άργίλιο. Λέμε ότι αυτά τά τρία μέταλλα έχουν *τή μεγαλύτερη ηλεκτρική άγωγιμότητα*.

Μεταβολή τής ειδικής αντιστάσεως μέ τή θερμοκρασία. Πειραματικά βρήκαμε ότι *ή ειδική αντίσταση* των καθαρών μετάλλων *αυξάνει* μέ

τή θερμοκρασία. Άν ένα μέταλλο στη θερμοκρασία 0°C έχει ειδική αντίσταση ρ_0 , τότε στη θερμοκρασία $\theta^{\circ}\text{C}$ έχει ειδική αντίσταση ρ που δίνεται από την εξίσωση:

$$\text{ειδική αντίσταση } \rho = \rho_0 \cdot (1 + \alpha\theta)$$

όπου α είναι ο θερμοκός συντελεστής αντίστασης και ο όποιος για τα καθάρια μέταλλα έχει περίπου την τιμή $\alpha = 0,004 \text{ grad}^{-1}$. Η μεταβολή της ειδικής αντίστασης με τη θερμοκρασία υπολογίζεται πάντοτε στην τεχνική και εφαρμόζεται για τη μέτρηση θερμοκρασιών με ειδικά θερμομέτρα, που ονομάζονται θερμομέτρα αντίστασης.

Υπεραγωγιμότητα. Όταν η θερμοκρασία των μετάλλων πλησιάζει προς τό απόλυτο μηδέν, τότε η ειδική αντίστασή τους γίνεται ίση με μηδέν, δηλαδή οι άγωγοί δέν παρουσιάζουν αντίσταση. Τό φαινόμενο αυτό τό ονομάζουμε *υπεραγωγιμότητα* και είναι πολύ ένδιαφέρον, γιατί στίς θερμοκρασίες κοντά στό απόλυτο μηδέν τά ηλεκτρόνια του ρεύματος κινούνται μέσα στό μέταλλο χωρίς νά προκαλούν θέρμανση του άγωγού. Η θερμοκρασία, πού κάτω από αυτήν, εκδηλώνεται η υπεραγωγιμότητα, είναι χαρακτηριστική για κάθε μέταλλο, π.χ. για τό μόλυβδο είναι $T \leq 7^{\circ}\text{K}$, ενώ για τόν κασίτερο είναι $T \leq 4^{\circ}\text{K}$.

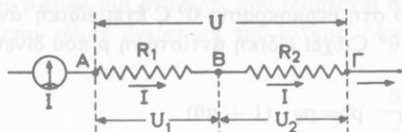
Άγωγοί σταθερής αντίστασης. Όρισμένα κράματα, όπως η *κωνσταντάνη* (Cu, Ni), ή *μαγγανίνη* (Mn, Cu, Ni) κ.ά. έχουν θερμικό συντελεστή αντίστασης σχεδόν ίσο με μηδέν ($\alpha = 0$). Έπομένως η αντίσταση συρμάτων από τέτοια κράματα είναι *ανεξάρτητη* από τη θερμοκρασία. Σέ όργανα ακριβείας και γενικά σέ συσκευές πού θέλουμε νά έχουν σταθερή αντίσταση χρησιμοποιούμε σύρματα από κράματα σταθερής αντίστασης.

Ήμιαγωγοί. Οί *ήμιαγωγοί* σέ χαμηλή θερμοκρασία (κάτω από 0°C) έχουν μεγάλη ειδική αντίσταση. Όταν όμως η θερμοκρασία των ήμιαγωγών *αυξάνει*, η ειδική αντίστασή τους *ελαττώνεται* πολύ γρήγορα. Ωστε, *αντίθετα με τά μέταλλα*, στους ήμιαγωγούς η αύξηση της θερμοκρασίας προκαλεί σημαντική *ελάττωση της αντίστασης*. Έτσι από ήμιαγωγούς κατασκευάζουμε αντίστασεις πού είναι πολύ ευαίσθητες στίς μεταβολές της θερμοκρασίας. Αυτές οί αντίστασεις χρησιμοποιούνται σέ διάφορες διατάξεις (π.χ. στη θερμομετρία).

48. Σύνδεση αντίστασεων

Μεταξύ δύο σημείων ενός κυκλώματος μπορεί νά υπάρχουν πολλές αντίστασεις πού συνδέονται μεταξύ τους με διάφορους τρόπους. Οί άπλούστεροι τρόποι συνδέσεως αντίστασεων είναι η *σύνδεση κατά σειρά* και η *παράλληλη σύνδεση*.

α. Σύνδεση αντίστασεων κατά σειρά. Δύο αντίστασεις R_1 και R_2



Σχ. 61. Σύνδεση δύο αντιστάσεων κατά σειρά.

στή σύνδεση αντιστάσεων κατά σειρά ή *όλική αντίσταση* ($R_{ολ}$) του συστήματος δίνεται από την εξίσωση:

$$R_{ολ} = R_1 + R_2 \text{ και γενικά}$$

$$R_{ολ} = R_1 + R_2 + R_3 + \dots + R_n$$

Απόδειξη. Στις άκρες των αντιστάσεων R_1 και R_2 εφαρμόζονται αντίστοιχα οι τάσεις U_1 και U_2 . Τότε σύμφωνα με το νόμο του Ohm έχουμε τις εξισώσεις:

$$\text{για την αντίσταση } R_1$$

$$U_1 = I \cdot R_1$$

$$\text{για την αντίσταση } R_2$$

$$U_2 = I \cdot R_2$$

Αν προσθέσουμε κατά μέλη τις δύο εξισώσεις, βρίσκουμε:

$$U_1 + U_2 = I \cdot (R_1 + R_2) \quad \text{ή} \quad U = I \cdot (R_1 + R_2) \quad (1)$$

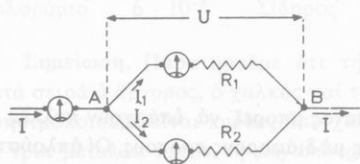
Το σύστημα των δύο αντιστάσεων R_1 και R_2 έχει *όλική αντίσταση* $R_{ολ}$ και ισχύει ο νόμος του Ohm:

$$U = I \cdot R_{ολ} \quad (2)$$

Εξισώνοντας τα δεύτερα μέλη των εξισώσεων (1) και (2) βρίσκουμε:

$$R_{ολ} = R_1 + R_2$$

β. Παράλληλη σύνδεση αντιστάσεων. Μεταξύ δύο σημείων A και B ενός κυκλώματος παρεμβάλλονται δύο αντιστάσεις R_1 και R_2 (σχ. 62).



Σχ. 62. Παράλληλη σύνδεση δύο αντιστάσεων.

συνδέονται κατά σειρά (σχ. 61). Στις άκρες του συστήματος των αντιστάσεων εφαρμόζεται τάση U και οι δύο αντιστάσεις διαρρέονται από ρεύμα που έχει την ίδια ένταση I . Αποδεικνύεται ότι

Σ' αυτή την περίπτωση λέμε ότι έχουμε *παράλληλη σύνδεση* των αντιστάσεων R_1 και R_2 . Στο σημείο A του κυκλώματος το κύριο ρεύμα που έχει ένταση I διακλαδίζεται σε δύο ρεύματα, που έχουν εντάσεις I_1 και I_2 . Με άμπερόμετρα μετράμε τις εντάσεις I , I_1 , I_2 των αντίστοιχων ρευμάτων και βρίσκουμε ότι ισχύει ο ακόλουθος κανόνας του Kirchhoff:

Σε μία διακλάδωση άγωγών ή ένταση (I) του κύριου ρεύματος είναι ίση με το άθροισμα των εντάσεων των ρευμάτων που διαρρέουν τους άγωγούς της διακλάδωσης.

$$\text{κανόνας του Kirchhoff } I = I_1 + I_2$$

Αποδεικνύεται ότι στην παράλληλη σύνδεση αντιστάσεων ή *ολική αντίσταση* ($R_{ολ}$) του συστήματος δίνεται από την εξίσωση :

$$\frac{1}{R_{ολ}} = \frac{1}{R_1} + \frac{1}{R_2} \quad \text{καί γενικά} \quad \frac{1}{R_{ολ}} = \frac{1}{R_1} + \frac{1}{R_2} + \frac{1}{R_3} \dots + \frac{1}{R_v}$$

Απόδειξη. Στις δύο αντιστάσεις R_1 και R_2 εφαρμόζεται η ίδια τάση U και σύμφωνα με το νόμο του Ohm έχουμε τις εξισώσεις :

$$I_1 = \frac{U}{R_1} \quad \text{καί} \quad I_2 = \frac{U}{R_2}$$

Αν προσθέσουμε κατά μέλη τις δύο εξισώσεις, βρίσκουμε ότι είναι :

$$I_1 + I_2 = \frac{U}{R_1} + \frac{U}{R_2} \quad \eta \quad I = U \cdot \left(\frac{1}{R_1} + \frac{1}{R_2} \right) \quad (4)$$

Το σύστημα των δύο αντιστάσεων R_1 και R_2 έχει *ολική αντίσταση* $R_{ολ}$ και ισχύει ο νόμος του Ohm :

$$I = \frac{U}{R_{ολ}} \quad (5)$$

Εξισώνοντας τα δεύτερα μέλη των εξισώσεων (4) και (5) βρίσκουμε :

$$\frac{1}{R_{ολ}} = \frac{1}{R_1} + \frac{1}{R_2}$$

49. Μέτρηση αντιστάσεων

Η μέτρηση της αντιστάσεως ενός άγωγού ΔE (σχ. 60) γίνεται εύκολα, αν με το *άμπερόμετρο* μετρήσουμε την ένταση I του ρεύματος που διαρρέει τον άγωγό και με το *βολτόμετρο* μετρήσουμε την τάση U που εφαρμόζεται στις άκρες του άγωγού. Τότε η αντίσταση του άγωγού είναι $R = U/I$. Στην πράξη για τη μέτρηση των αντιστάσεων χρησιμοποιούμε ειδικά όργανα, που ονομάζονται *ωμόμετρα*.

ΠΡΟΒΛΗΜΑΤΑ

51. Στις άκρες ενός σύρματος που έχει αντίσταση $R = 2,5 \Omega$ εφαρμόζεται διαφορά δυναμικού $U = 75 \text{ V}$. Πόσο ηλεκτρικό φορτίο περνάει από το σύρμα σε χρόνο $t = 20 \text{ min}$;

52. Ένα σύρμα έχει ειδική αντίσταση $\rho = 1,6 \cdot 10^{-8} \Omega \cdot \text{m}$ και διάμετρο $\delta = 1 \text{ mm}$. Πόσο μήκος l από αυτό το σύρμα έχει αντίσταση $R = 16 \Omega$;

53. Ένα σύρμα έχει διάμετρο $\delta_1 = 1 \text{ mm}$ και αντίσταση $R_1 = 0,4 \Omega$ κατά μέτρο μήκους. Ένα σύρμα από το ίδιο μέταλλο και με διάμετρο $\delta_2 = 0,4 \text{ mm}$ θέλουμε να έχει αντίσταση $R_2 = 12,5 \Omega$. Πόσο μήκος l_2 πρέπει να έχει το δεύτερο σύρμα;

54. Το χάλκινο σύρμα μιάς τηλεγραφικής γραμμής έχει μήκος l και διάμετρο $\delta_{\text{Χ}} = 3 \text{ mm}$. Θέλουμε να αντικαταστήσουμε το χάλκινο σύρμα με σύρμα από άργιλλο, που να έχει την ίδια αντίσταση R με το χάλκινο σύρμα. Πόση πρέπει να είναι η διάμετρος $\delta_{\text{Α}}$ του σύρματος από άργιλλο και πόσος είναι ο λόγος του βάρους της νέας γραμμής προς το βάρος της παλιάς γραμμής; Ειδικές αντιστάσεις: χαλκού $\rho_{\text{Χ}} = 1,6 \cdot 10^{-8} \Omega \cdot \text{m}$, άργιλλίου $\rho_{\text{Α}} = 3 \cdot 10^{-8} \Omega \cdot \text{m}$. Ειδικά βάρη: χαλκού: $\epsilon_{\text{Χ}} = 9 \text{ g/cm}^3$, άργιλλίου $\epsilon_{\text{Α}} = 2,7 \text{ g/cm}^3$.

55. Ένα σύρμα έχει αντίσταση $R = 0,5 \Omega$ και στις άκρες του εφαρμόζεται τάση $U = 6,4 \text{ V}$. Πόσα ηλεκτρόνια περνούν κάθε δευτερόλεπτο από μιά τομή του σύρματος; $|e| = 1,6 \cdot 10^{-19} \text{ Cb}$.

56. Ένα κυκλικό πλαίσιο αποτελείται από $N = 2000$ σπειρές, που καθεμιά έχει διάμετρο $\Delta = 10 \text{ cm}$. Το σύρμα έχει διάμετρο $\delta = 0,4 \text{ mm}$ και ειδική αντίσταση $\rho = 10^{-8} \Omega \cdot \text{m}$. Στις άκρες του πλαισίου εφαρμόζεται τάση $U = 100 \text{ V}$. Πόση είναι η ένταση του ρεύματος που διαρρέει το πλαίσιο;

57. Τρεις αντιστάσεις $R_1 = 5 \Omega$, $R_2 = 10 \Omega$, $R_3 = 45 \Omega$ συνδέονται κατά σειρά. Στις άκρες του συστήματος εφαρμόζεται διαφορά δυναμικού $U = 90 \text{ V}$. Πόση είναι η ένταση του ρεύματος που διαρρέει το σύστημα; Πόση είναι η διαφορά δυναμικού U_1 , U_2 , U_3 που εφαρμόζεται αντίστοιχα στις άκρες κάθε αντιστάσεως;

58. Δύο σύρματα, όταν συνδέονται κατά σειρά, έχουν αντίσταση $R = 30 \Omega$, ενώ όταν συνδέονται παράλληλα, έχουν όλική αντίσταση $R' = 3 \Omega$. Πόση είναι η αντίσταση κάθε σύρματος;

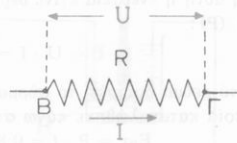
59. Τρεις αντιστάσεις $R_1 = 2 \Omega$, $R_2 = 3 \Omega$, $R_3 = 4 \Omega$ συνδέονται παράλληλα και αυτό το σύστημα συνδέεται κατά σειρά με αντίσταση $R_4 = 1 \Omega$. Στις άκρες όλου του συστήματος εφαρμόζεται διαφορά δυναμικού $U = 20 \text{ V}$. Πόση είναι η ένταση του ρεύματος που διαρρέει καθεμιά από τις τέσσερις αντιστάσεις;

ΕΝΕΡΓΕΙΑ ΤΟΥ ΗΛΕΚΤΡΙΚΟΥ ΡΕΥΜΑΤΟΣ

50. Ένέργεια του ηλεκτρικού ρεύματος

Ένα κύκλωμα διαρρέεται από ρεύμα που έχει ένταση I . Θεωρούμε ένα τμήμα ΒΓ του σύρματος που συνδέει τους πόλους της γεννήτριας (σχ. 63). Το σύρμα ΒΓ έχει αντίσταση R και μεταξύ των δύο άκρων του Β και Γ υπάρχει σταθερή διαφορά δυναμικού (τάση) U . Στή διάρκεια του χρόνου t

τό ρεύμα μεταφέρει από τό σημείο Β στο σημείο Γ ένα ηλεκτρικό φορτίο $Q = I \cdot t$. Άλλά, όπως ξέρουμε, κατά τή μεταφορά αυτού του φορτίου παράγεται έργο ίσο μέ $Q \cdot U$ ή και $U \cdot I \cdot t$. Όλο αυτό τό έργο μετατρέπεται σέ θερμότητα, πού παραμένει στό σύρμα και γι' αυτό τό σύρμα θερμαίνεται. Όστε τό ηλεκτρικό ρεύμα έχει *ένέργεια*, γιατί παράγει έργο. Η *ένέργεια* του ρεύματος είναι ίση μέ τό έργο πού παράγει τό ρεύμα.



Σχ. 63. Τό ρεύμα παράγει έργο πάνω στό σύρμα ΒΓ.

Όταν λοιπόν ένα ρεύμα έντάσεως I διαρρέει επί χρόνο t έναν άγωγό πού έχει αντίσταση R , τότε ή *ένέργεια* ($E_{ηλ}$) του ηλεκτρικού ρεύματος ή όποία καταναλώνεται πάνω σ' αυτό τόν άγωγό, δίνεται από τίς εξισώσεις :

ένέργεια του ρεύματος	$E_{ηλ} = U \cdot I \cdot t$ $E_{ηλ} = I^2 \cdot R \cdot t$	$\left\{ \begin{array}{l} U \text{ σέ } V \\ I \text{ σέ } A, t \text{ σέ } sec \\ R \text{ σέ } \Omega \\ E_{ηλ} \text{ σέ } Joule \end{array} \right. \quad (1)$
-----------------------	---	--

Ίσχύς του ηλεκτρικού ρεύματος. Από τίς εξισώσεις (1) βρίσκουμε ότι, άν ένα ρεύμα έντάσεως I διαρρέει άγωγό πού έχει αντίσταση R , τότε ή *ισχύς* (P) του ηλεκτρικού ρεύματος ή όποία *καταναλώνεται* πάνω σ' αυτό τόν άγωγό, είναι $P = \frac{E_{ηλ}}{t}$ και έπομένως δίνεται από τίς εξισώσεις :

ισχύς του ρεύματος	$P = U \cdot I$ $P = I^2 \cdot R$	$\left\{ \begin{array}{l} U \text{ σέ } V, I \text{ σέ } A \\ R \text{ σέ } \Omega \\ P \text{ σέ } W \end{array} \right.$
--------------------	-----------------------------------	--

Άν στίς εξισώσεις (1) βάλουμε $P = U \cdot I$ ή $P = I^2 \cdot R$, βρίσκουμε ότι ή *ένέργεια* ($E_{ηλ}$) του ρεύματος, ή όποία *καταναλώνεται* πάνω σέ έναν άγωγό, δίνεται από τήν εξίσωση :

ένέργεια του ρεύματος $E_{ηλ} = P \cdot t$

Όταν σ' αυτή τήν εξίσωση ή *ισχύς* P μετριέται σέ κιλοβάτ (kW) και ό χρόνος t σέ ώρες (h), τότε ή *ένέργεια* $E_{ηλ}$ βρίσκεται σέ κιλοβατώρια (kWh).

Παράδειγμα. Στίς άκρες σύρματος εφαρμόζεται τάση $U = 220 \text{ V}$ και επί χρόνο $t = 10 \text{ sec}$ τό σύρμα διαρρέεται από ρεύμα έντάσεως $I = 4 \text{ A}$. Η *ένέργεια* ($E_{ηλ}$) του ρεύματος πού καταναλώθηκε πάνω στό σύρμα είναι :

$$E_{\eta\lambda} = U \cdot I \cdot t = 220 \text{ V} \cdot 4 \text{ A} \cdot 10 \text{ sec} \quad \text{καί} \quad E_{\eta\lambda} = 8800 \text{ Joule}$$

Όλη αυτή η ενέργεια έγινε *θερμότητα* που έμεινε πάνω στο σύρμα. Αυτό το ρεύμα έχει ισχύ (P):

$$P = U \cdot I = 220 \text{ V} \cdot 4 \text{ A} \quad \text{καί} \quad P = 880 \text{ W}$$

Αν το ρεύμα διαρρέει το σύρμα επί χρόνο $t = 3 \text{ h}$, τότε η ενέργεια ($E_{\eta\lambda}$) του ρεύματος ή όποια καταναλώθηκε πάνω στο σύρμα, είναι:

$$E_{\eta\lambda} = P \cdot t = 0,880 \text{ kW} \cdot 3 \text{ h} \quad \text{καί} \quad E_{\eta\lambda} = 2,64 \text{ kWh}$$

51. Νόμος του Joule

Η θέρμανση των αγωγών που διαρρέονται από ηλεκτρικό ρεύμα ονομάζεται *φαινόμενο Joule* και οφείλεται στο ότι η ενέργεια του ρεύματος μετατρέπεται σε θερμότητα. Στις άκρες ενός σύρματος, που έχει αντίσταση R, εφαρμόζεται σταθερή τάση U και το σύρμα διαρρέεται από ρεύμα έντασης $I = U/R$. Στή διάρκεια χρόνου t πάνω στο σύρμα καταναλώνεται ενέργεια ($E_{\eta\lambda}$) του ρεύματος ίση με:

$$E_{\eta\lambda} = I^2 \cdot R \cdot t \quad (1)$$

Όλη αυτή η ενέργεια έγινε *θερμότητα* ($Q_{\theta\epsilon\rho\mu}$) που έμεινε πάνω στον αγωγό. Ξέρουμε ότι ισχύουν οι εξής σχέσεις ισοδυναμίας:

$$J = 4,19 \text{ Joule/cal} \quad \text{ή} \quad J = 0,24 \text{ cal/Joule}$$

Επομένως η θερμότητα ($Q_{\theta\epsilon\rho\mu}$), που αναπτύσσεται πάνω στον αγωγό, είναι:

$$Q_{\theta\epsilon\rho\mu} = 0,24 \cdot E_{\eta\lambda} \text{ cal} \quad \text{ή}$$

νόμος του Joule $Q_{\theta\epsilon\rho\mu} = 0,24 \cdot I^2 \cdot R \cdot t$	$\left\{ \begin{array}{l} 0,24 \text{ cal/Joule} \\ I \text{ σε A, } R \text{ σε } \Omega \\ t \text{ σε sec, } Q_{\theta\epsilon\rho\mu} \text{ σε cal} \end{array} \right. \quad (2)$
--	---

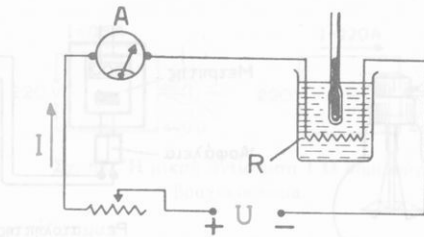
Η εξίσωση (2) εκφράζει τον εξής νόμο του *Joule*:

Η θερμότητα ($Q_{\theta\epsilon\rho\mu}$) που αναπτύσσεται πάνω σε έναν αγωγό είναι ανάλογη με το τετράγωνο της έντασης (I) του ρεύματος, ανάλογη με την αντίσταση (R) του αγωγού και ανάλογη με το χρόνο (t) που το ρεύμα διαρρέει τον αγωγό.

Για την πειραματική επαλήθευση του νόμου του Joule χρησιμοποιούμε θερμιδόμετρο μέσα στο οποίο είναι βυθισμένο ένα σύρμα που διαρρέεται από ρεύμα (σχ. 64). Διατηρούμε σταθερά τά μεγέθη R και t και μεταβάλλουμε μόνο την ένταση I του ρεύματος. Έπειτα διατηρούμε σταθερά τά μεγέθη I και t και μεταβάλλουμε μόνο την αντίσταση R του σύρματος. Καί τέλος διατηρούμε σταθερά τά μεγέθη I και R και μεταβάλλουμε μόνο το χρόνο t

πού τό ρεύμα διαρρέει τό σύρμα. Έτσι εύκολα επιβεβαιώνουμε πειραματικά τό νόμο του Joule.

α. Μονάδα θερμότητας στο σύστημα MKSA. Άγωγός έχει αντίσταση R και διαρρέεται από ρεύμα έντάσεως I επί χρόνο t . Τότε πάνω σ' αυτό τόν άγωγό καταναλώνεται *ένέργεια* του ρεύματος ίση μέ :



Σχ. 64. Για τήν πειραματική άπόδειξη του νόμου του Joule.

$$E_{\eta\lambda} = I^2 \cdot R \cdot t \quad (3)$$

Όλη αυτή ή ενέργεια μετατρέπεται σέ *θερμότητα* ($Q_{\theta\epsilon\rho\mu}$). Η εξίσωση (3) στο σύστημα MKSA εκφράζει αυτή τή θερμότητα ($Q_{\theta\epsilon\rho\mu}$) σέ μονάδες ενέργειας αυτού του συστήματος, δηλαδή εκφράζει τή θερμότητα μετρημένη σέ Joule. Άν στήν εξίσωση (3) βάλουμε $I = 1 \text{ A}$, $R = 1 \Omega$ και $t = 1 \text{ sec}$, βρίσκουμε $E_{\eta\lambda} = 1 \text{ Joule}$. Έτσι έχουμε τόν έξής *όρισμό* :

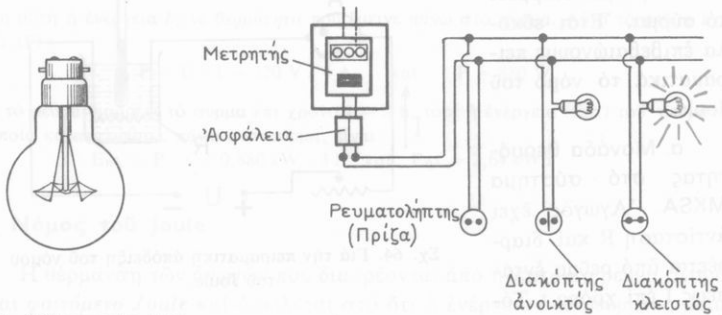
Στό σύστημα MKSA μονάδα θερμότητας είναι τό 1 Joule, δηλαδή ή θερμότητα ή όποια μέσα σέ 1 sec αναπτύσσεται πάνω σέ άγωγό πού έχει αντίσταση 1 Ω και διαρρέεται από ρεύμα έντάσεως 1 A.

β. Νεκρή αντίσταση. Μιά αντίσταση R διαρρέεται από ρεύμα έντάσεως I . Άν όλη ή ενέργεια του ρεύματος μετατρέπεται πάνω στήν αντίσταση R σέ θερμότητα, τότε λέμε ότι ή αντίσταση R είναι μία *νεκρή αντίσταση*. Στίς άκρες τής αντίστασεως R ύπάρχει τάση $U = I \cdot R$ και λέμε ότι πάνω στή νεκρή αντίσταση R συμβαίνει *πτώση τάσεως* ίση μέ $U = I \cdot R$.

52. Έφαρμογές του φαινομένου Joule

Ένας μεταλλικός άγωγός, πού διαρρέεται από ρεύμα, θερμαίνεται και μπορεί νά δώσει θερμότητα στο έξωτερικό περιβάλλον του. Όταν ένα σύρμα διαρρέεται από ρεύμα σταθερής έντάσεως, τό σύρμα άποκτā μία *όρισμένη θερμοκρασία*. Σ' αυτή τήν περίπτωση έχει άποκατασταθεί *θερμική ισορροπία* μεταξύ του σύρματος και του περιβάλλοντος. Τότε όλη ή ισχύς πού καταναλώνεται πάνω στο σύρμα δίνεται στο περιβάλλον μέ τή μορφή θερμότητας. Γι' αυτό τό φαινόμενο Joule έχει πολλές εφαρμογές.

α. *Ηλεκτρικός λαμπτήρας πυρακτώσεως*. Αυτός άποτελείται από γνά-



Σχ. 65. Ήλεκτρικός λαμπτήρας πυρακτώσεως.

Σχ. 66. Παράλληλη σύνδεση των λαμπτήρων.

λινο δοχείο μέσα στο οποίο υπάρχει ένα λεπτό σύρμα από πολύ δύστηκτο μέταλλο (βολφράμιο, ταντάλιο, δσμιο). Τό μέταλλο πού χρησιμοποιούμε έχει θερμοκρασία τήξεως πάνω από 2700°C (σχ. 65). Μέσα στο δοχείο δέν υπάρχει οξυγόνο, γιά νά μή γίνει οξείδωση του μετάλλου, υπάρχει όμως ένα αδρανές άεριο (άργό, κρυπτό, άζωτο) πού εμποδίζει τήν εξαέρωση του μετάλλου. Όταν τό σύρμα φωτοβολεί, ή θερμοκρασία του είναι πάνω άπό 2000°C . Στους σημερινούς λαμπτήρες γιά φωτεινή ισχύ μιás candela καταναλώνεται ισχύς ρεύματος 0,5 ώς 0,9 Watt. Σέ κάθε λαμπτήρα σημειώνονται δύο ένδειξεις, ή τάση στην όποία ό λαμπτήρας λειτουργεί κανονικά και ή ισχύς πού καταναλώνει ό λαμπτήρας, όταν λειτουργεί κανονικά (π.χ. σημειώνονται 220 V, 60 W). Όλοι οι λαμπτήρες μιás έγκαταστάσεως πρέπει νά λειτουργούν μέ τήν ίδια τάση και γι' αυτό συνδέονται μεταξύ τους παράλληλα (σχ. 66).

β. *Θερμικές συσκευές.* Αυτές είναι συσκευές πού παράγουν θερμότητα μέ τό ήλεκτρικό ρεύμα και χρησιμοποιούνται σέ πολλές περιπτώσεις. Σέ μερικές θερμικές συσκευές ή θερμότητα άκτινοβολείται άπευθείας άπό τό σύρμα (π.χ. στή θερμάστρα), ένώ σέ άλλες συσκευές ή θερμότητα συγκεντρώνεται πάνω σέ μιá μεταλλική πλάκα (π.χ. στήν κουζίνα, τό σίδερο). Η παραγωγή θερμότητας μέ τό ήλεκτρικό ρεύμα είναι εύκολη, έξασφαλίζει καθαριότητα, ρυθμίζεται αυτόματα μέ τή βοήθεια θερμοστάτη και δέ δημιουργεί κινδύνους γιά τήν ύγεια. Η χρησιμοποίηση ήλεκτρικών πηγών θερμότητας διαρκώς έπεκτείνεται.

γ. *Άσφάλεια.* Η άσφάλεια είναι μιá διάταξη πού προκαλεί αυτόματη διακοπή του ρεύματος, όταν ή έντασή του γίνει μεγαλύτερη άπό μιá όρισμένη τιμή. Ό πιό άπλός τύπος άσφάλειας είναι ένα μικρό σύρμα άπό εύτηκτο μέταλλο. Μόλις ή ένταση του ρεύματος γίνει μεγαλύτερη άπό ένα

δριο, άμέσως συμβαίνει τήξη του μετάλλου και διακοπή του ρεύματος. Σήμερα χρησιμοποιούμε κυρίως τīs αυτόματες ασφάλειες. Ή λειτουργία τους στηρίζεται σέ ένα διμεταλλικό έλασμα, πού, όταν θερμανθεί πάνω από ένα δριο, λυγίζει και προκαλεί αυτόματα τή διακοπή του ρεύματος.



Σχ. 67. Ή μικρή αντίσταση 1 Ω δημιουργεί βραχυκύκλωμα.

δ. *Βραχυκύκλωμα.* Κάθε ηλεκτρική συσκευή ή ηλεκτρική εγκατάσταση είναι έτσι κατασκευασμένη, ώστε νά άντέχει σέ όρισμένη ένταση ρεύματος. Σέ μερικές όμως περιπτώσεις, διάφορα αίτια προκαλούν σημαντική αύξηση τής έντάσεως τού ρεύματος. Τότε λέμε ότι δημιουργήθηκε *βραχυκύκλωμα*. Ή μεγάλη αύξηση τής έντάσεως τού ρεύματος θερμαίνει πάρα πολύ τούς άγωγούς καί μπορεί νά τούς καταστρέψει ή νά προκαλέσει πυρκαγιά. Βραχυκύκλωμα προκαλείται καί όταν παράλληλα μέ μιά συσκευή συνδεθεί μιά πολύ μικρή αντίσταση. Ήν π.χ. ένας λαμπτήρας πυρακτώσεως, πού έχει αντίσταση $R_L = 440 \Omega$, λειτουργεί μέ τάση $U = 220 \text{ V}$, τότε ή ένταση τού ρεύματος πού διαρρέει τό κύκλωμα είναι $I = 0,5 \text{ A}$ (σχ. 67). Οί υπόλοιποι άγωγοί τού κυκλώματος έχουν άσήμαντη αντίσταση. Παράλληλα μέ τό λαμπτήρα συνδέουμε ένα σύρμα πού έχει αντίσταση $R_S = 1 \Omega$. Ή όλική αντίσταση $R_{ολ}$ τού κυκλώματος γίνεται τότε πολύ μικρή καί περίπου ίση μέ 1 Ω (είναι $R_{ολ} = 440/441 \Omega$). Ή ένταση τού ρεύματος στό κύκλωμα γίνεται *πολύ μεγάλη* καί περίπου ίση μέ 220 A. Ή θέρμανση τών άγωγών είναι πολύ ισχυρή καί υπάρχει κίνδυνος νά καταστραφούν ή νά προκληθεί πυρκαγιά.

Παρατήρηση. Τό φαινόμενο *Joule* είναι ένα πολύ γενικό φαινόμενο, πού συνοδεύει πάντοτε τό πέρασμα τού ηλεκτρικού ρεύματος μέσα από τούς άγωγούς. Σέ πολλές εφαρμογές εκμεταλλευόμαστε τό φαινόμενο *Joule*, αλλά τό φαινόμενο αυτό προκαλεί *μεγάλες απώλειες ενέργειας* πάνω στους άγωγούς πού μεταφέρουν τό ηλεκτρικό ρεύμα. Σέ άλλο κεφάλαιο θά δοϋμε πώς ή σύγχρονη τεχνική κατορθώνει κατά τή μεταφορά τής ηλεκτρικής ενέργειας νά περιορίζει σημαντικά τīs απώλειες ενέργειας εξαιτίας τού φαινομένου *Joule*.

$$\text{Ισχύς γεννήτριας} \quad P = E \cdot I \quad (1)$$

ΠΡΟΒΛΗΜΑΤΑ

60. Στις άκρες ενός σύρματος που έχει αντίσταση $R = 18 \Omega$ εφαρμόζεται τάση $U = 54 \text{ V}$. Πόση ηλεκτρική ισχύς καταναλώνεται πάνω στην αντίσταση R και πόση ενέργεια καταναλώνεται σε χρόνο $t = 30 \text{ min}$;

61. Τρεις αντιστάσεις $R_1 = 2 \Omega$, $R_2 = 3 \Omega$, $R_3 = 5 \Omega$ συνδέονται κατά σειρά και στις άκρες του συστήματος εφαρμόζεται τάση $U = 120 \text{ V}$. Πόση ηλεκτρική ισχύς καταναλώνεται σε κάθε αντίσταση και πόση θερμότητα αναπτύσσεται σε καθεμιά από αυτές σε χρόνο $t = 1 \text{ min}$;

62. Ένας λαμπτήρας πυρακτώσεως έχει ισχύ $P = 60 \text{ W}$ και λειτουργεί με τάση $U = 220 \text{ V}$. Νά βρεθεί: α) η αντίσταση R του λαμπτήρα· β) η ένταση I του ρεύματος και το ηλεκτρικό φορτίο Q που περνάει από το λαμπτήρα κατά λεπτό· γ) η ενέργεια $E_{\eta\lambda}$ που καταναλώνει ο λαμπτήρας, όταν λειτουργήσει τρεις ώρες.

63. Μιά ηλεκτρική κουζίνα έχει ισχύ $P = 500 \text{ W}$ και τροφοδοτείται με ρεύμα έντασης $I = 4 \text{ A}$. α) Πόση είναι η αντίσταση R της κουζίνας και με πόση τάση U λειτουργεί; β) Πόση θερμότητα αναπτύσσεται κατά δευτερόλεπτο σ' αυτή την κουζίνα;

64. Μιά ηλεκτρική κουζίνα έχει ισχύ $P = 500 \text{ W}$ και σε χρόνο $t = 10 \text{ min}$ θερμαίνει μάζα νερού $m = 500 \text{ gr}$ από 20° C σε 100° C . Πόσο μέρος από τη θερμότητα που αναπτύσσεται από το ρεύμα χρησιμοποιείται για τη θέρμανση του νερού; Πόσος είναι ο συντελεστής αποδόσεως;

65. Για να θερμάνουμε μέσα σε χρόνο $t = 5 \text{ min}$ νερό που έχει μάζα $m = 1 \text{ kg}$ από 20° C σε 100° C , βυθίζουμε μέσα στο νερό ένα σύρμα και στις άκρες του εφαρμόζουμε τάση $U = 220 \text{ V}$. Πόση πρέπει να είναι η αντίσταση R του σύρματος;

66. Δύο σύρματα από το ίδιο υλικό έχουν το ίδιο μήκος l αλλά η τομή τους έχει διαφορετικό έμβαδο και είναι $S_2 > S_1$. Τά δύο σύρματα συνδέονται πρώτα κατά σειρά και έπειτα παράλληλα. Όταν στις άκρες του συστήματος των αντιστάσεων εφαρμόζεται η ίδια τάση U , σε ποιο από τα δύο σύρματα αναπτύσσεται μεγαλύτερη θερμότητα σε καθεμιά από τις δύο περιπτώσεις;

67. Ένας επίπεδος πυκνωτής έχει χωρητικότητα $C = 1,6 \cdot 10^{-3} \mu\text{F}$ και μεταξύ των όπλισμών του υπάρχει τάση $U_0 = 50\,000 \text{ V}$. Ο πυκνωτής εκφορτίζεται μέσω μιάς αντιστάσεως $R = 1000 \Omega$ και δεχόμαστε ότι στη διάρκεια t της εκφορτίσεως η τάση είναι κατά μέσο όρο ίση με $U = 20\,000 \text{ V}$. Πόσο χρόνο t διαρκεί η εκφόρτιση του πυκνωτή;

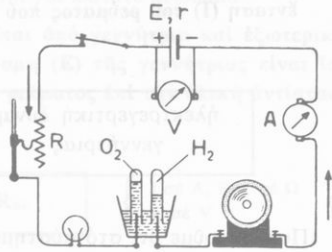
68. Μιά ηλεκτρονική συσκευή παίρνει την ενέργεια που χρειάζεται από τη μερική εκφόρτιση ενός πυκνωτή, που έχει χωρητικότητα $C = 0,25 \mu\text{F}$. Αρχικά η τάση στους όπλισμούς του πυκνωτή είναι $U_1 = 100\,000 \text{ V}$ και έπειτα μέσα σε χρόνο $t = 0,1 \text{ sec}$ ο πυκνωτής εκφορτίζεται και η τάση στους όπλισμούς του πέφτει και γίνεται $U = 40\,000 \text{ V}$. Πόσο φορτίο Q δίνει ο πυκνωτής στη συσκευή, πόση είναι κατά μέσο όρο η ένταση I του ρεύματος που διαρρέει τη συσκευή και πόση ενέργεια E δίνει ο πυκνωτής στη συσκευή;

ΚΛΕΙΣΤΟ ΚΥΚΛΩΜΑ

53. Η γεννήτρια στο κλειστό κύκλωμα

Γιά να διαρρέεται από ρεύμα ένα κύκλωμα, πρέπει απαραίτητα να υπάρχει στο κύκλωμα *γεννήτρια*. Όπως ξέρουμε (§ 40), η γεννήτρια διατηρεί σταθερή διαφορά δυναμικού μεταξύ των δύο πόλων της, γιατί διαρκώς μεταφέρει ηλεκτρόνια από το θετικό στον αρνητικό πόλο της. Ωστε μέσα στη γεννήτρια υπάρχει άγωγός και μέσω αυτού κινούνται τα ηλεκτρόνια. Επομένως κάθε γεννήτρια έχει ορισμένη *έσωτερική αντίσταση* (r).

Στό κλειστό κύκλωμα που δείχνει το σχήμα 68 υπάρχουν ρυθμιστική αντίσταση (R), λαμπτήρας πυρακτώσεως, βολτάμετρο και κινητήρας. Αυτή η σειρά των άγωγων αποτελεί το *έξωτερικό κύκλωμα*. Έξαιτίας του φαινομένου Joule πάνω σε όλες τις αντιστάσεις του κυκλώματος αναπτύσσεται *θερότητα*. Στό λαμπτήρα πυρακτώσεως ηλεκτρική ενέργεια μετατρέπεται τελικά σε *φωτεινή ενέργεια*. Στό βολτάμετρο ηλεκτρική ενέργεια μετατρέπεται σε *χημική ενέργεια*. Και τέλος στον κινητήρα ηλεκτρική ενέργεια μετατρέπεται σε *μηχανική ενέργεια*. Ωστε :



Σχ. 68. Η γεννήτρια δίνει ενέργεια στο κύκλωμα.

Η γεννήτρια δίνει στο έξωτερικό κύκλωμα ηλεκτρική ενέργεια, η οποία μετατρέπεται σε θερμότητα (έξαιτίας του φαινομένου Joule) και σε χημική ή μηχανική ενέργεια μέσα στα βολτάμετρα ή τους κινητήρες.

54. Ηλεκτρεγερτική δύναμη γεννήτριας

Σε ένα κλειστό κύκλωμα (σχ. 68) η ένταση I του ρεύματος είναι σταθερή σε όλο το κύκλωμα. Το ρεύμα περνάει και μέσα από τη γεννήτρια με συμβατική φορά από τον αρνητικό προς το θετικό πόλο της γεννήτριας. Η γεννήτρια παρέχει διαρκώς στο κύκλωμα ισχύ. Πειραματικά βρίσκουμε ότι :

Η ισχύς (P) που παρέχει η γεννήτρια στο κύκλωμα είναι ανάλογη με την ένταση (I) του ρεύματος που διαρρέει το κύκλωμα.

$$\text{ισχύς γεννήτριας} \quad P = E \cdot I \quad (1)$$

Ο συντελεστής E είναι μέγεθος χαρακτηριστικό της γεννήτριας και ονομάζεται **ηλεκτρεγερτική δύναμη** της γεννήτριας. Από την εξίσωση (1) προκύπτει ο εξής **όρισμός**:

Ηλεκτρεγερτική δύναμη (E) γεννήτριας ονομάζεται τό σταθερό πηλίκο της ισχύος (P), που παρέχει ή γεννήτρια στο κύκλωμα, προς την ένταση (I) του ρεύματος που διαρρέει τό κύκλωμα.

ηλεκτρεγερτική δύναμη
γεννήτριας

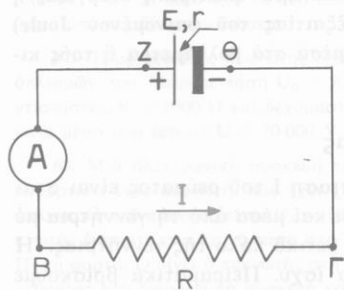
$$E = \frac{P}{I}$$

$$\left\{ \begin{array}{l} P \text{ σε } W \\ I \text{ σε } A \\ E \text{ σε } W/A \text{ ή } V \end{array} \right. \quad (2)$$

Παρατηρούμε ότι στο σύστημα MKSA μονάδα ηλεκτρεγερτικής δύναμης είναι τό 1 Volt (1 V). Από την εξίσωση (2) συνάγεται ότι ή ηλεκτρεγερτική δύναμη (E) της γεννήτριας εκφράζει την ισχύ που παρέχει ή γεννήτρια στο κύκλωμα για κάθε 1 Ampère της έντάσεως του ρεύματος που διαρρέει τό κύκλωμα. Αν π.χ. μία γεννήτρια έχει ηλεκτρεγερτική δύναμη $E = 50$ Volt, τότε για κάθε 1 Ampère της έντάσεως του ρεύματος ή γεννήτρια παρέχει ισχύ ίση με 50 Watt, δηλαδή παρέχει ισχύ 50 Watt/Ampère.

55. Νόμος του Ohm για κλειστό κύκλωμα

Σέ ένα κλειστό κύκλωμα (σχ. 69) υπάρχει γεννήτρια, που έχει ηλεκτρεγερτική δύναμη E και έσωτερική αντίσταση r . Τό έξωτερικό κύκλωμα αποτελείται μόνο από μία νεκρή αντίσταση R . Οί άγωγοί που χρησιμοποιούνται για τή συνδεσμολογία έχουν άσήμαντη αντίσταση. Τό κύκλωμα διαρρέεται από ρεύμα έντάσεως I . Τότε ή γεννήτρια παρέχει στό κύκλωμα ισχύ $P = E \cdot I$. Όλη αυτή ή ισχύς μετατρέπεται σε θερμότητα πάνω στίς δύο αντίστάσεις R και r . Σύμφωνα με τό νόμο του Joule ή ισχύς



Σχ. 69. Για τήν απόδειξη του νόμου του Ohm σε κλειστό κύκλωμα.

που μετατρέπεται σε θερμότητα, είναι:

$$\begin{array}{ll} \text{πάνω στήν αντίσταση } R & I^2 \cdot R \\ \text{πάνω στήν αντίσταση } r & I^2 \cdot r \end{array}$$

Σύμφωνα με την αρχή της διατηρήσεως της ενέργειας ισχύει η εξίσωση :

$$E \cdot I^2 = I^2 \cdot R + I^2 \cdot r \quad \text{ή} \quad E = I \cdot (R + r) \quad (1)$$

Οι δύο αντιστάσεις R και r συνδέονται κατά σειρά και επομένως η *ολική αντίσταση* ($R_{ολ}$) του κυκλώματος είναι $R_{ολ} = R + r$. Έτσι από την εξίσωση (1) βρίσκουμε τον *έξης νόμο του Ohm για κλειστό κύκλωμα* :

Σέ κλειστό κύκλωμα, πού αποτελείται από γεννήτρια και εξωτερικές αντιστάσεις, η ηλεκτρεγερτική δύναμη (E) της γεννήτριας είναι ίση με τό γινόμενο της εντάσεως (I) του ρεύματος επί την ολική αντίσταση ($R_{ολ}$) του κυκλώματος.

νόμος του Ohm
(κλειστό κύκλωμα)

$$E = I \cdot R_{ολ}$$

$$\left\{ \begin{array}{l} I \text{ σε A, } R_{ολ} \text{ σε } \Omega \\ E \text{ σε V} \end{array} \right. \quad (2)$$

Η εξίσωση (2) επαληθεύεται πειραματικά, αν στό κύκλωμα βάλουμε διαδοχικά γνωστές αντιστάσεις και μετρήσουμε τίς αντίστοιχες εντάσεις του ρεύματος.

α. Τάση στους πόλους της γεννήτριας. Θεωρούμε τό κύκλωμα πού είχαμε παραπάνω (σχ. 69). Έπειδή οί άγωγοί της συνδεσμολογίας έχουν άσήμαντη αντίσταση, οί δύο άκρες της αντιστάσεως R έχουν τό ίδιο δυναμικό μέ τούς αντίστοιχους πόλους της γεννήτριας. Ωστε η τάση U , πού υπάρχει στίς άκρες της αντιστάσεως R , είναι ίση μέ την τάση U , πού υπάρχει στους πόλους της γεννήτριας. Για την αντίσταση R ισχύει η εξίσωση $U = I \cdot R$. Από την εξίσωση (1) έχουμε :

$$E = I \cdot R + I \cdot r \quad \text{άρα} \quad I \cdot R = E - I \cdot r$$

Η τελευταία εξίσωση φανερώνει ότι :

Σέ κλειστό κύκλωμα η τάση (U) στους πόλους της γεννήτριας είναι ίση μέ την ηλεκτρεγερτική δύναμη (E) της γεννήτριας ελαττωμένη κατά την πτώση τάσεως ($I \cdot r$) μέσα στή γεννήτρια.

τάση στους πόλους
γεννήτριας

$$U = E - I \cdot r$$

Αν τό κύκλωμα είναι άνοιχτό, τότε είναι $I = 0$ και επομένως είναι $U = E$. Έτσι έχουμε τον *έξης όρισμό* :

Η ηλεκτρεγερτική δύναμη (E) της γεννήτριας είναι ίση μέ την τάση (U) στους πόλους της γεννήτριας, όταν τό κύκλωμα είναι άνοιχτό ($I = 0$).

Παράδειγμα. Στο κύκλωμα του σχήματος 69 είναι $E = 10 \text{ V}$, $r = 2 \Omega$ και θέλουμε το ρεύμα να έχει ένταση $I = 2 \text{ A}$. 'Η έξωτερική αντίσταση R βρίσκεται από την εξίσωση :

$$E = I \cdot (R + r) \quad \text{άρα} \quad R = \frac{E - I \cdot r}{I} = \frac{10 \text{ V} - (2 \text{ A} \cdot 2 \Omega)}{2 \text{ A}}$$

$$\text{καί} \quad R = 3 \Omega$$

'Η τάση U στους πόλους της γεννήτριας είναι

$$U = E - I \cdot r = 10 \text{ V} - (2 \text{ A} \cdot 2 \Omega) \quad \text{καί} \quad U = 6 \text{ V}$$

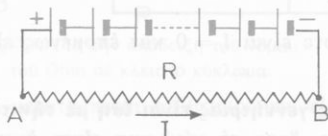
β. 'Αποδέκτες. Στο λαμπτήρα πυρακτώσεως και στην ηλεκτρική θερμάστρα ή ηλεκτρική ενέργεια μετατρέπεται αποκλειστικά σε *θερμότητα*. Αυτές οι συσκευές είναι νεκρές αντιστάσεις. Στο βολτάμετρο ή στον ηλεκτρικό κινητήρα ένα μέρος της ηλεκτρικής ενέργειας μετατρέπεται σε *χημική* ή *μηχανική ενέργεια*. Αυτές οι συσκευές, στις οποίες η ηλεκτρική ενέργεια μετατρέπεται σε άλλη μορφή ενέργειας, διαφορετική από τη θερμότητα, ονομάζονται *αποδέκτες*. Έτσι π.χ. ο ανεμιστήρας είναι αποδέκτης, που μās δίνει *ωφέλιμη μηχανική ενέργεια*.

'Όταν τό ηλεκτρικό ρεύμα περνάει μέσα από έναν αποδέκτη (π.χ. τον ανεμιστήρα), πάντοτε ένα μέρος από την ισχύ του ρεύματος μετατρέπεται σε *θερμότητα*, εξαιτίας του φαινομένου Joule. Αυτή η θερμότητα αναπτύσσεται πάνω στην *έσωτερική αντίσταση* του αποδέκτη. Οι ηλεκτροκινητήρες που χρησιμοποιούμε μετατρέπουν τά 80 ως 90 % της ισχύος του ρεύματος σε *ωφέλιμη μηχανική ισχύ*. 'Ο συντελεστής αποδόσεως η ενός αποδέκτη είναι :

$$\eta = \frac{\text{ωφέλιμη ισχύς}}{\text{δαπανώμενη ισχύς}}$$

56. Σύνδεση γεννητριών

'Αν συνδέσουμε μεταξύ τους πολλές γεννήτριες, σχηματίζουμε μία *συστοιχία γεννητριών* (μαπαταρία). Θεωρούμε ότι όλες οι γεννήτριες είναι ίδιες και καθεμιά έχει ηλεκτρεγερτική δύναμη E και έσωτερική αντίσταση r . Οι άπλουστεροι τρόποι συνδέσεως των γεννητριών είναι *η σύνδεση κατά σειρά* και *η παράλληλη σύνδεση*.

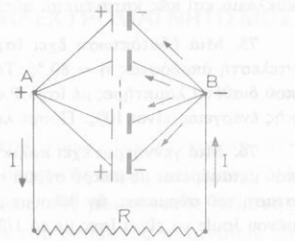


Σχ. 70. Σύνδεση γεννητριών κατά σειρά.

Στή σύνδεση γεννητριών κατά σειρά ο άρνητικός πόλος κάθε γεννήτριας συνδέεται με τό θετικό πόλο της έπόμενης γεννήτριας. 'Αν έχουμε n όμοιες γεννήτριες που καθεμιά έχει ηλεκτρεγερτική δύναμη E , τότε *η όλική ηλεκτρεγερτική δύναμη* $E_{ολ}$ της συστοιχίας είναι

$E_{ολ} = n \cdot E$ (σχ. 70).

Στήν παράλληλη σύνδεση γεννητριών συνδέονται όλοι οι θετικοί πόλοι και αποτελούν το θετικό πόλο της συστοιχίας και όλοι οι αρνητικοί πόλοι που αποτελούν τον αρνητικό πόλο της. Αν έχουμε n όμοιες γεννήτριες που καθεμιά έχει ηλεκτρεγερτική δύναμη E , τότε η *ολική ηλεκτρεγερτική δύναμη* $E_{ολ}$ της συστοιχίας είναι $E_{ολ} = E$ (σχ. 71).



Σχ. 71. Παράλληλη σύνδεση γεννητριών.

ΠΡΟΒΛΗΜΑΤΑ

69. Μία γεννήτρια έχει ηλεκτρεγερτική δύναμη $E = 12 \text{ V}$ και εσωτερική αντίσταση $r = 10 \Omega$. Το εξωτερικό κύκλωμα αποτελείται μόνο από δύο αντιστάσεις $R_1 = 26 \Omega$ και $R_2 = 36 \Omega$. Πόση είναι η διαφορά δυναμικού στους πόλους της γεννήτριας και πόση στις άκρες κάθε αντιστάσεως;

70. Μία γεννήτρια έχει ηλεκτρεγερτική δύναμη $E = 2 \text{ V}$ και εσωτερική αντίσταση $r = 8 \Omega$. Το εξωτερικό κύκλωμα αποτελείται από μία αντίσταση R που συνδέεται κατά σειρά με βολτόμετρο που έχει εσωτερική αντίσταση $R_0 = 300 \Omega$. Πόση πρέπει να είναι η αντίσταση R , ώστε το βολτόμετρο να δείχνει $U = 1,5 \text{ V}$;

71. Μία γεννήτρια, όταν το εξωτερικό κύκλωμα έχει αντίσταση $R_1 = 1 \Omega$, δίνει ρεύμα έντασης $I_1 = 1 \text{ A}$, ενώ όταν το εξωτερικό κύκλωμα έχει αντίσταση $R_2 = 2,5 \Omega$, δίνει ρεύμα έντασης $I_2 = 0,5 \text{ A}$. Πόση είναι η ηλεκτρεγερτική δύναμη E και η εσωτερική αντίσταση r της γεννήτριας;

72. Όταν οι πόλοι μιάς γεννήτριας συνδέονται με εξωτερική αντίσταση $R_1 = 1 \Omega$, η τάση στους πόλους της γεννήτριας είναι $U_1 = 1,5 \text{ V}$, ενώ όταν οι πόλοι της γεννήτριας συνδέονται με εξωτερική αντίσταση $R_2 = 2 \Omega$, η τάση στους πόλους της γεννήτριας είναι $U_2 = 2 \text{ V}$. Πόση είναι η ηλεκτρεγερτική δύναμη E και η εσωτερική αντίσταση r της γεννήτριας; Πόση ισχύ παρέχει στο κύκλωμα η γεννήτρια σε καθεμιά από τις δύο περιπτώσεις;

73. Μία γεννήτρια έχει ηλεκτρεγερτική δύναμη $E = 40 \text{ V}$. Οι πόλοι της συνδέονται με αντίσταση R και τότε η τάση στους πόλους της γεννήτριας είναι $U = 30,8 \text{ V}$. Η αντίσταση R συνδέεται κατά σειρά με μία άλλη αντίσταση $R_1 = 5 \Omega$ και τότε η τάση στους πόλους της γεννήτριας γίνεται $U_1 = 34,8 \text{ V}$. Πόση είναι η εξωτερική αντίσταση R και η εσωτερική αντίσταση r της γεννήτριας;

74. Δύο αντιστάσεις $R_1 = 3 \Omega$ και $R_2 = 7 \Omega$ συνδέονται μεταξύ τους παράλληλα και οι δύο άκρες του συστήματος των αντιστάσεων συνδέονται με τους πόλους μιάς γεννήτριας, που έχει εσωτερική αντίσταση $r = 0,9 \Omega$. Οι δύο αντιστάσεις R_1 και R_2 διαρρέονται από ρεύματα, που αντίστοιχα έχουν ένταση $I_1 = 14 \text{ A}$ και $I_2 = 6 \text{ A}$. Πόση είναι η ήλε-

κτρεγερτική δύναμη E τής γεννήτριας; Πόση ισχύ παρέχει ή γεννήτρια στό έξωτερικό κύκλωμα καί πώς κατανέμεται αυτή ή ισχύς στίς δύο αντίστασεις;

75. Μιά ύδατόπτωση έχει ισχύ $P_{\text{υδ}} = 29,44 \text{ kW}$ καί κινεί γεννήτρια πού έχει συντελεστή απόδοσεως $\eta = 80 \%$. Τό ρεύμα χρησιμοποιείται γιά τό φωτισμό συνοικισμού, πού διαθέτει λαμπτήρες μέ ισχύ $P_{\text{λ}} = 75 \text{ W}$. Οί απώλειες κατά τή μεταφορά τής ηλεκτρικής ενέργειας είναι 10% . Πόσοι λαμπτήρες μπορεί νά χρησιμοποιηθούν στό συνοικισμό;

76. Μιά γεννήτρια έχει πολική τάση $U = 500 \text{ V}$ καί δίνει ρεύμα έντάσεως $I = 350 \text{ A}$, πού μεταφέρεται μέ μακρύ σύρμα στόν τόπο καταναλώσεως. Πόση πρέπει νά είναι ή αντίσταση του σύρματος, άν θέλουμε οί απώλειες ισχύος πάνω στό σύρμα εξαιτίας του φαινομένου Joule νά είναι ίσες μέ τό $1/20$ τής ισχύος τής γεννήτριας;

77. Μιά γεννήτρια έχει ηλεκτρεγερτική δύναμη $E = 120 \text{ V}$ καί έσωτερική αντίσταση $r = 1 \Omega$. Οί πόλοι τής γεννήτριας συνδέονται μέ κινητήρα. Όταν ό κινητήρας δέ στρέφεται, ή τάση στους πόλους τής γεννήτριας είναι $U_1 = 90 \text{ V}$, ένώ, όταν ό κινητήρας στρέφεται, ή τάση στους πόλους τής γεννήτριας είναι $U_2 = 115 \text{ V}$. Νά βρεθεί: α) ή έσωτερική αντίσταση r' του κινητήρα· β) ή ισχύς πού μετατρέπεται σέ θερμότητα σέ όλο τό κύκλωμα, όταν ό κινητήρας στρέφεται· γ) ή μηχανική ισχύς πού δίνει ό κινητήρας.

78. Μιά γεννήτρια έχει ηλεκτρεγερτική δύναμη $E = 52 \text{ V}$ καί έσωτερική αντίσταση $r = 1 \Omega$. Τό έξωτερικό κύκλωμα αποτελείται από μία αντίσταση $R = 5 \Omega$ καί έναν κινητήρα. Όταν ό κινητήρας δέ στρέφεται, τό ρεύμα έχει ένταση $I_1 = 4 \text{ A}$ ένώ, όταν ό κινητήρας στρέφεται, τό ρεύμα έχει ένταση $I_2 = 1 \text{ A}$. Νά βρεθεί: α) ή έσωτερική αντίσταση r' του κινητήρα· β) ή ισχύς πού μετατρέπεται σέ θερμότητα σέ όλο τό κύκλωμα, όταν ό κινητήρας στρέφεται· γ) ή μηχανική ισχύς πού δίνει ό κινητήρας.

79. Ένας άνεμιστήρας λειτουργεί μέ τάση $U = 110 \text{ V}$, διαρρέεται από ρεύμα έντάσεως $I = 0,6 \text{ A}$ καί έχει έσωτερική αντίσταση $r = 110 \Omega$. Πόση ισχύ δίνει τό ρεύμα στόν άνεμιστήρα καί πόση ισχύς μετατρέπεται σέ θερμότητα; Πόση μηχανική ισχύ δίνει ό άνεμιστήρας καί πόσος είναι ό συντελεστής απόδοσεως;

80. Ένας κινητήρας λειτουργεί μέ τάση $U = 220 \text{ V}$, τροφοδοτείται μέ ρεύμα έντάσεως $I = 15 \text{ A}$ καί έχει απόδοση 80% . Πόση ισχύς του ρεύματος μετατρέπεται σέ θερμότητα καί πόση μηχανική ισχύ δίνει ό κινητήρας;

81. Μιά γεννήτρια έχει ηλεκτρεγερτική δύναμη $E = 120 \text{ V}$ καί έσωτερική αντίσταση $r = 1 \Omega$. Τό έξωτερικό κύκλωμα αποτελείται από δύο παράλληλους κλάδους Α καί Β. Ο κλάδος Α έχει αντίσταση $R_1 = 20 \Omega$ καί ό κλάδος Β αντίσταση $R_2 = 5 \Omega$ καί διαρρέεται από ρεύμα έντάσεως $I_2 = 19,2 \text{ A}$. Πόση είναι ή ένταση I_1 του ρεύματος πού διαρρέει τήν αντίσταση R_1 ; Πόση ισχύ παρέχει ή γεννήτρια στό κύκλωμα καί πόση από αυτή τήν ισχύ μετατρέπεται σέ θερμότητα πάνω στην αντίσταση R_1 ;

82. Έχουμε $n = 10$ όμοιες γεννήτριες, πού καθεμιά έχει ηλεκτρεγερτική δύναμη $E = 5 \text{ V}$ καί έσωτερική αντίσταση $r = 0,5 \Omega$. Συνδέουμε τίς γεννήτριες κατά σειρά. Τό έξωτερικό κύκλωμα είναι μία αντίσταση $R = 1,5 \Omega$. Πόση είναι ή ένταση I του ρεύματος πού διαρρέει τήν αντίσταση R ; Πόση ένταση έχει τό ρεύμα πού περνάει από μία γεννήτρια; Πόση ισχύ παρέχει στό έξωτερικό κύκλωμα ή συστοιχία;

83. Μιά αντίσταση $R = 3 \Omega$ συνδέεται μέ συστοιχία πού αποτελείται από δύο όμοιες γεννήτριες, πού συνδέονται παράλληλα. Κάθε γεννήτρια έχει ΗΕΔ $E = 35 \text{ V}$ καί έσωτερική αντίσταση $r = 1 \Omega$. Πόση είναι ή ένταση του ρεύματος πού διαρρέει τήν αντίσταση R ;

ΗΛΕΚΤΡΟΜΑΓΝΗΤΙΣΜΟΣ

57. Μαγνητικό πεδίο του ρεύματος

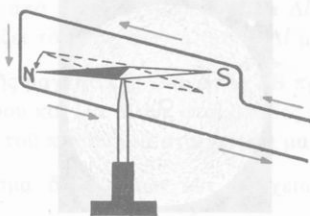
Ξέρουμε ότι τό ήλεκτρικό ρεύμα δημιουργεί γύρω του μαγνητικό πεδίο, πού έκτρέπει τή μαγνητική βελόνη από τή θέση τής ισορροπίας της. Ή φορά κατά τήν όποία έκτρέπεται ό βόρειος πόλος τής μαγνητικής βελόνης εξαρτάται από τή φορά του ρεύματος. Ώς φορά του ρεύματος παίρνουμε τή συμβατική φορά. Τό πείραμα δείχνει ότι ή έκτροπή τής μαγνητικής βελόνης γίνεται σύμφωνα μέ τόν έξής εμπειρικό κανόνα τής δεξιάς παλάμης:

Ήν φέρουμε τή δεξιά παλάμη μας πάνω από τόν άγωγό έτσι, ώστε ή επιφάνεια τής παλάμης νά βλέπει τόν άγωγό και τό ρεύμα νά μπαίνει από τόν καρπό και νά βγαίνει από τά δάχτυλα, τότε ό βόρειος πόλος τής βελόνης έκτρέπεται πρós τή διεύθυνση του αντίχειρα (σχ. 72). Ή έκτροπή τής μαγνητικής βελόνης είναι άνάλογη μέ τήν ένταση του ρεύματος. Όταν ή μαγνητική βελόνη έκτρέπεται από τήν άρχική θέση ισορροπίας της, τότε ισορροπεί σέ μία νέα θέση μέ τήν επίδραση δύο μαγνητικών πεδίων, του γήινου μαγνητικού πεδίου και του μαγνητικού πεδίου του ρεύματος.

Γιά νά έχουμε αισθητή έκτροπή τής μαγνητικής βελόνης και από ένα άσθενές ρεύμα, βάζουμε γύρω από τή βελόνη ένα κατακόρυφο πλαίσιο, πού τό επίπεδο του βρίσκεται πάνω στό επίπεδο του μαγνητικού μεσημβρινού (σχ. 73). Όταν τό πλαίσιο διαρρέεται από ρεύμα, τότε κάθε τμήμα του πλαισίου προκαλεί έκτροπή τής μαγνητικής βελόνης κατά τήν ίδια φορά. Σ' αυτή τή διάταξη στηρίζεται ή λειτουργία πολλών όργάνων πού χρησιμοποιούμε γιά μετρήσεις (όπως π.χ. είναι τά άμπερόμετρα και τά βολτόμετρα).

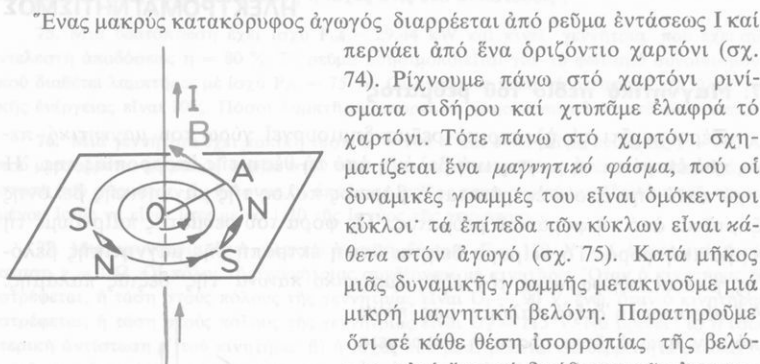


Σχ. 72. Σχέση μεταξύ τής φοράς του ρεύματος και τής έκτροπής τής μαγνητικής βελόνης.



Σχ. 73. Ή έκτροπή τής μαγνητικής βελόνης είναι μεγαλύτερη.

58. Μαγνητικό πεδίο εϋθύγραμμου ρευματοφόρου άγωγού



Σχ. 74. Μαγνητικό πεδίο γύρω από εϋθύγραμμο ρευματοφόρο άγωγό.

Ένας μακρύς κατακόρυφος άγωγός διαρρέεται από ρεύμα έντάσεως I και περνάει από ένα οριζόντιο χαρτόνι (σχ. 74). Ρίχνουμε πάνω στο χαρτόνι ρινίσματα σιδήρου και χτυπάμε ελαφρά το χαρτόνι. Τότε πάνω στο χαρτόνι σχηματίζεται ένα μαγνητικό φάσμα, που οι δυναμικές γραμμές του είναι ομόκεντροι κύκλοι· τά επίπεδα των κύκλων είναι κάθετα στον άγωγό (σχ. 75). Κατά μήκος μιās δυναμικής γραμμής μετακινούμε μιá μικρή μαγνητική βελόνη. Παρατηρούμε ότι σε κάθε θέση ισορροπίας τής βελόνης, αυτή έχει τή διεύθυνση τής εφαπτομένης τής δυναμικής γραμμής σ' αυτό τό σημείο τής.

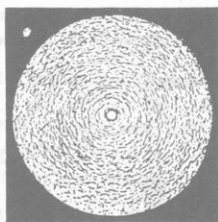
Η φορά των δυναμικών γραμμών είναι ή φορά κατά τήν όποία στρέφεται δεξιόστροφος κοχλίας, για νά προχωρήσει κατά τή φορά του ρεύματος (σχ. 76). Σε κάθε σημείο τής δυναμικής γραμμής ή μαγνητική έπαγωγή B έχει τή διεύθυνση τής εφαπτομένης τής δυναμικής γραμμής σ' αυτό τό σημείο (σχ. 74). Θεωρητικά και πειραματικά άποδεικνύεται ότι :

Η μαγνητική έπαγωγή (B) του μαγνητικού πεδίου ενός εϋθύγραμμου ρευματοφόρου άγωγού, με μεγάλο μήκος, σε άπόσταση r από τον άγωγό, είναι άνάλογη με τήν ένταση (I) του ρεύματος και άντιστρόφως άνάλογη με τήν άπόσταση (r) του θεωρούμενου σημείου από τον άγωγό.

μαγνητική έπαγωγή
(εϋθύγραμμος άγωγός)

$$B = 10^{-7} \cdot \frac{2I}{r}$$

$$\left\{ \begin{array}{l} 10^{-7} \text{ N/A}^2, r \text{ σε m} \\ I \text{ σε A, } B \text{ σε T} \end{array} \right.$$



Σχ. 75. Μαγνητικό φάσμα εϋθύγραμμου ρευματοφόρου άγωγού.



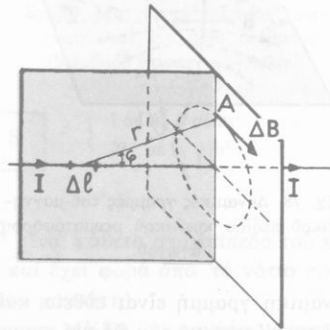
Σχ. 76. Φορά των δυναμικών γραμμών.

Παρατήρηση. Αν ο ρευματοφόρος άγωγός αποτελείται από n εϋθύγραμμα σύρματα, πού τό καθένα διαρρέεται από ρεύμα έντάσεως I , τότε σε άπόσταση r από τή δέσμη τών συρμάτων ή μαγνητική έπαγωγή είναι:

$$B = 10^{-7} \cdot \frac{2I}{r} \cdot n$$

59. Νόμος Biot - Savart

Μακρύς εϋθύγραμμος άγωγός διαρρέεται από ρεύμα έντάσεως I (σχ. 77). Ένα στοιχειώδες τμήμα Δl του άγωγού δημιουργεί σε ένα σημείο A του πεδίου μία στοιχειώδη μαγνητική έπαγωγή ΔB , πού προσδιορίζεται από τόν έξής νόμο Biot - Savart :



Σχ. 77. Νόμος Biot - Savart.

Η μαγνητική έπαγωγή $\vec{\Delta B}$, πού δημιουργεί ένα στοιχειώδες τμήμα (Δl) εϋθύγραμμου ρευματοφόρου άγωγού σε ένα σημείο του μαγνητικού πεδίου, είναι κάθετη στό επίπεδο πού περνάει από αυτό τό σημείο και από τό στοιχειώδες τμήμα του άγωγού· τό μέτρο (ΔB) τής μαγνητικής έπαγωγής στό θεωρούμενο σημείο δίνεται από τήν εξίσωση :

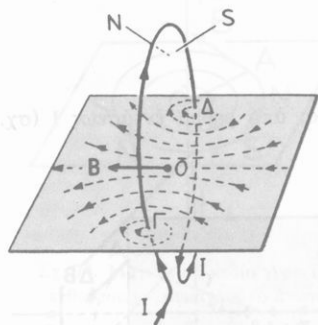
$$\text{νόμος Biot - Savart } \Delta B = 10^{-7} \cdot \frac{I \cdot \Delta l}{r^2} \cdot \eta \mu \varphi$$

$$\left\{ \begin{array}{l} 10^{-7} \text{ N/A}^2 \\ I \text{ σε A,} \\ \Delta l, r \text{ σε m} \\ \Delta B \text{ σε T} \end{array} \right. \quad (1)$$

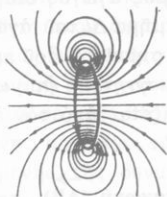
όπου r είναι ή άπόσταση του σημείου A από τό στοιχειώδες τμήμα Δl του άγωγού και φ είναι ή γωνία πού σχηματίζει τό στοιχειώδες τμήμα Δl μέ τή διεύθυνση τής άποστάσεως r . Η φορά τής μαγνητικής έπαγωγής $\vec{\Delta B}$ προσδιορίζεται μέ τόν κανόνα του δεξιόστροφου κοχλία. Κάθε στοιχειώδες τμήμα του άγωγού δημιουργεί στό σημείο A του πεδίου μία στοιχειώδη μαγνητική έπαγωγή $\vec{\Delta B}$. Τό γεωμετρικό άθροισμα όλων αυτών τών στοιχειωδών μαγνητικών έπαγωγών είναι ή όλική μαγνητική έπαγωγή \vec{B} στό σημείο A και όφείλεται σε όλόκληρο τόν άγωγό.

60. Μαγνητικό πεδίο κυκλικού ρευματοφόρου άγωγού

Κατακόρυφος κυκλικός άγωγός διαρρέεται από ρεύμα έντασης I . Πάνω σε ένα οριζόντιο χαρτόνι, που περνάει από το κέντρο O του κυκλικού



Σχ. 78. Δυναμικές γραμμές του μαγνητικού πεδίου κυκλικού ρευματοφόρου άγωγού.



Σχ. 79. Το κυκλικό ρεύμα είναι μαγνητικό δίπολο.

άγωγού, σχηματίζουμε το μαγνητικό φάσμα (σχ. 78). Παρατηρούμε ότι κοντά στα σημεία Γ και Δ οι δυναμικές γραμμές είναι όμοκεντροι κύκλοι. Όσο άπομακρυνόμαστε από τα σημεία Γ και Δ ή άκτινα καμπυλότητας των δυναμικών γραμμών μεγαλώνει και μία

δυναμική γραμμή είναι ευθεία κάθετη στο επίπεδο του κυκλικού άγωγού και ταυτίζεται με τον άξονα συμμετρίας του συστήματος. Η φορά των δυναμικών γραμμών προσδιορίζεται με τον κανόνα του δεξιόστροφου κοχλία.

Τό μαγνητικό φάσμα του κυκλικού ρεύματος είναι ανάλογο με τό μαγνητικό φάσμα ενός μικρού ευθύγραμμου μαγνήτη (σχ. 79). Οί δυναμικές γραμμές βγαίνουν από τή μία όψη του επιπέδου του κύκλου (βόρειος μαγνητικός πόλος) και μπαίνουν από τήν άλλη όψη του επιπέδου (νότιος μαγνητικός πόλος). Όστε τό κυκλικό ρεύμα άποτελεί ένα μαγνητικό δίπολο και παρουσιάζει δύο ετερόνυμους μαγνητικούς πόλους. Θεωρητικά και πειραματικά άποδεικνύεται ότι:

Η μαγνητική έπαγωγή (B) του μαγνητικού πεδίου κυκλικού ρευματοφόρου άγωγού στό κέντρο του κύκλου είναι κάθετη στό επίπεδο του κυκλικού άγωγού, είναι ανάλογη με τήν ένταση (I) του ρεύματος και αντίστροφως ανάλογη με τήν άκτινα (r) του κύκλου.

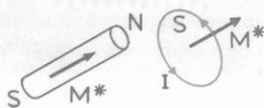
$$\left. \begin{array}{l} \text{μαγνητική έπαγωγή} \\ \text{(κυκλικός άγωγός)} \end{array} \right\} B = 10^{-7} \cdot \frac{2\pi I}{r} \quad \left\{ \begin{array}{l} 10^{-7} \text{ N/A}^2, r \text{ σε m} \\ I \text{ σε A} \\ B \text{ σε T} \end{array} \right. \quad (1)$$

Παρατήρηση. Αν n σπείρες που έχουν τήν ίδια άκτινα r σχηματίζουν

έπίπεδο κυκλικό πλαίσιο που διαρρέεται από ρεύμα έντασης I , τότε η μαγνητική επαγωγή στο κέντρο του κυκλικού πλαισίου είναι :

$$B = 10^{-7} \cdot \frac{2\pi I}{r} \cdot n$$

α. Μαγνητική ροπή κυκλικού ρεύματος. Ένα κυκλικό ρεύμα αποτελεί μαγνητικό δίπολο και έχει μαγνητική ροπή (σχ. 80). Αν S είναι το έμβαδό του κύκλου και I ή ένταση του ρεύματος, τότε στο σύστημα MKSA ή μαγνητική ροπή (M^*) του κυκλικού ρεύματος δίνεται από την εξίσωση :



Σχ. 80. Μαγνητική ροπή (M^*) μαγνήτη και κυκλικού ρεύματος (S έμβαδό επιφάνειας κύκλου).

μαγνητική ροπή κυκλικού ρεύματος	$M^* = I \cdot S$
-------------------------------------	-------------------

$$\left\{ \begin{array}{l} I \text{ σε } A, S \text{ σε } m^2 \\ M^* \text{ σε } A \cdot m^2 \end{array} \right. \quad (2)$$

Τό άνυσμα της μαγνητικής ροπής \vec{M}^* είναι κάθετο στο επίπεδο του κυκλικού ρεύματος στο κέντρο του κύκλου και έχει φορά από τό νότιο προς τό βόρειο πόλο (όπως και στον εϋθύγραμμο μαγνήτη).

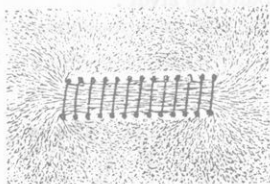
Μονάδα μαγνητικής ροπής. Στο σύστημα MKSA ή μονάδα μαγνητικής ροπής ορίζεται από την εξίσωση (2) ως εξής :

Μονάδα μαγνητικής ροπής είναι ή μαγνητική ροπή κυκλικού ρεύματος που έχει ένταση 1 Ampère και έμβαδό 1 m².

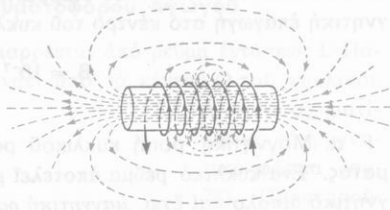
μονάδα μαγνητικής ροπής	$1 \text{ Ampère} \cdot 1 m^2$	ή	$1 A \cdot m^2$
-------------------------	--------------------------------	---	-----------------

61. Μαγνητικό πεδίο σωληνοειδούς

Όνομάζουμε σωληνοειδές ένα σύστημα από παράλληλα κυκλικά ρεύματα, που τά κέντρα τους βρίσκονται πάνω στην ίδια ευθεία. Τέτοιο σύστημα κυκλικών ρευμάτων παίρνουμε, αν πάνω σε γυάλινο ή ξύλινο κύλινδρο τυλίξουμε σύρμα. Πάνω σε οριζόντιο χαρτόνι, που περνάει από τόν άξονα του σωληνοειδούς, σχηματίζουμε τό μαγνητικό φάσμα (σχ. 81). Παρατηρούμε ότι αυτό τό φάσμα είναι όμοιο μέ τό μαγνητικό φάσμα ενός εϋθύγραμμου μαγνήτη (σχ. 82). Μέ μιά μικρή μαγνητική βελόνη εύκολα διαπιστώνουμε ότι οί δύο άκρες του σωληνοειδούς αποτελούν δύο ετερόνους μαγνητικούς πόλους. Στο έσωτερικό του σωληνοειδούς οί δυναμικές γραμμές



Σχ. 81. Μαγνητικό φάσμα σωληνοειδούς.



Σχ. 82. Μαγνητικό πεδίο σωληνοειδούς.

είναι *παράλληλες*. Το μαγνητικό πεδίο του σωληνοειδούς προκύπτει από την πρόσθεση του μαγνητικού πεδίου που παράγεται από κάθε σπείρα του σωληνοειδούς. Η φορά των δυναμικών γραμμών βρίσκεται με τον έξης εμπειρικό κανόνα: Όταν κατά μήκος του άξονα του σωληνοειδούς τοποθετήσουμε κοχλίας και τον στρέψουμε κατά τη φορά του ρεύματος μέσα στις σπείρες, τότε ο κοχλίας προχωρεί κατά τη φορά των δυναμικών γραμμών. Θεωρούμε ότι το μήκος του σωληνοειδούς είναι πολύ μεγάλο σχετικά με τη διάμετρο των σπειρών. Για ένα τέτοιο σωληνοειδές αποδεικνύεται ότι:

Στό εσωτερικό του σωληνοειδούς το μαγνητικό πεδίο είναι ομογενές, ή μαγνητική επαγωγή (B) έχει διεύθυνση παράλληλη με τον άξονα του σωληνοειδούς και είναι ανάλογη με την ένταση (I) του ρεύματος και με τον αριθμό (n) των σπειρών κατά μέτρο μήκους.

μαγνητική επαγωγή
(σωληνοειδές)

$$B = 10^{-7} \cdot 4\pi \cdot n \cdot I$$

$$\left\{ \begin{array}{l} 10^{-7} \text{ N/A}^2 \\ n \text{ σπείρες/m} \\ I \text{ σε A, } B \text{ σε T} \end{array} \right.$$

Παρατήρηση. Αν το σωληνοειδές έχει συνολικά N σπείρες και μήκος l , τότε είναι $n = N/l$.

62. Προέλευση των μαγνητικών πεδίων

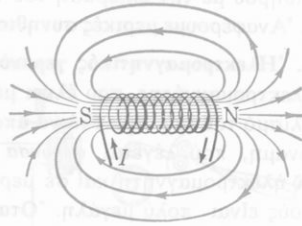
Όταν ένας άγωγός διαρρέεται από ρεύμα, τότε γύρω από τον άγωγό δημιουργείται πάντοτε *μαγνητικό πεδίο*. Αυτό το φαινόμενο είναι γενικό και μπορούμε να πούμε ότι *όλα τα μαγνητικά πεδία οφείλονται σε κινούμενα ηλεκτρικά φορτία*. Ένα κυκλικό ρεύμα αποτελεί μαγνητικό δίπολο, που έχει ορισμένη μαγνητική ροπή. Στο άτομο υδρογόνου ή κίνηση του ηλεκτρονίου γύρω από τον πυρήνα ισοδυναμεί με κυκλικό ρεύμα, δηλαδή δημιουργεί ένα στοιχειώδες μαγνητικό δίπολο. Γενικά ή κίνηση των ήλε-

κτρονίων μέσα στο άτομο δημιουργεί *στοιχειώδη μαγνητικά δίπολα*. Σε ένα μαγνήτη (μόνιμο ή προσωρινό) τά στοιχειώδη κυκλικά ρεύματα προσανατολίζονται έτσι, ώστε να αποτελέσουν ένα σωληνοειδές που έχει δύο ετερώνυμους μαγνητικούς πόλους. Ωστε μπορούμε να διατυπώσουμε το ακόλουθο γενικό συμπέρασμα :

Οί μαγνητικές ιδιότητες τής ύλης οφείλονται στά στοιχειώδη μαγνητικά δίπολα που δημιουργεί ή κίνηση τών ηλεκτρονίων γύρω από τούς πυρήνες τών ατόμων.

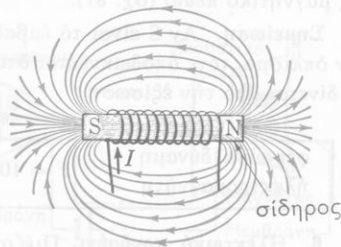
63. Ήλεκτρομαγνήτης

Στό έσωτερικό ενός σωληνοειδούς, που διαρρέεται από ρεύμα, σχηματίζεται όμογενές μαγνητικό πεδίο (σχ. 83). Αν μέσα στό σωληνοειδές βάλουμε μιά ράβδο από *μαλακό σίδηρο*, τότε ή ράβδος γίνεται μαγνήτης καί κάθε πόλος του συμπίπτει μέ τόν όμώνυμο πόλο του σωληνοειδούς (σχ. 84). Τό σύστημα που αποτελούν τό σωληνοειδές καί ή ράβδος του μαλακού σιδήρου, ονομάζεται *ήλεκτρομαγνήτης*. Η μαγνήτιση του μαλακού σιδήρου είναι *προσωρινή* καί διαρκεί όσο χρόνο τό σωληνοειδές διαρρέεται από τό ρεύμα. Αν μέσα στό σωληνοειδές βάλουμε ράβδο από χάλυβα, ή ράβδος μεταβάλλεται σε *μόνιμο μαγνήτη*.

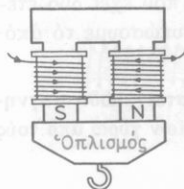


Σχ. 83. Σωληνοειδές χωρίς πυρήνα μαλακού σιδήρου.

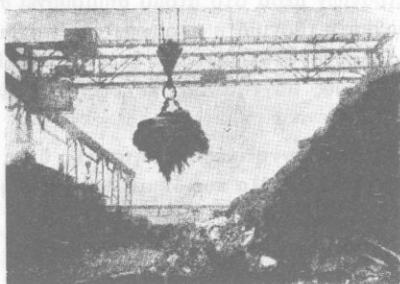
Τό σωληνοειδές έχει η σπειρες κατά μέτρο καί διαρρέεται από ρεύμα έντάσεως I . Όταν στό έσωτερικό του σωληνοειδούς υπάρχει αέρας, τότε ή μαγνητική έπαγωγή είναι B_0 . Αν μέσα στό σωληνοειδές βάλουμε μιά ράβδο από μαλακό σίδηρο, που έχει *μαγνητική διαπερατότητα* μ , τότε στό έσωτερικό του σωληνοειδούς ή μαγνητική έπαγωγή γίνεται $B = \mu \cdot B_0$, δηλαδή γίνεται *πολύ μεγαλύτερη*.



Σχ. 84. Ήλεκτρομαγνήτης.



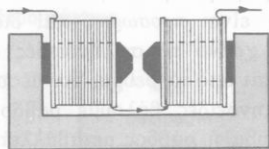
Σχ. 85. Ήλεκτρομαγνήτης με τόν όπλισμό του.



Σχ. 86. Ήλεκτρομαγνητικός γερανός (άνυψωση αντικειμένων από σίδηρο).

Έφαρμογές των ηλεκτρομαγνητών. Ή παροδική μαγνήτιση του μαλακού σιδήρου με τήν επίδραση του ηλεκτρικού ρεύματος έχει πολλές εφαρμογές. Αναφέρουμε μερικές συνηθισμένες εφαρμογές των ηλεκτρομαγνητών.

α. Ήλεκτρομαγνητικός γερανός. Αυτός είναι ένας ισχυρός πεταλοειδής ηλεκτρομαγνήτης, που έλκει με μεγάλη δύναμη τόν από μαλακό σίδηρο όπλισμό του (σχ. 85). Για νά άποσπαστεί ό όπλισμός χρειάζεται ορισμένη δύναμη, που λέγεται *φέρουσα δύναμη* του ηλεκτρομαγνήτη και σε μερικούς γερανούς είναι πολύ μεγάλη. Όταν θέλουμε νά άνυψώσουμε αντικείμενα από σίδηρο, τότε αυτά άποτελοδν τόν όπλισμό του ηλεκτρομαγνήτη (σχ. 86). Στα έργαστήρια χρησιμοποιοδμε ηλεκτρομαγνήτες που δημιουργοδν ισχυρό όμογενές μαγνητικό πεδίο (σχ. 87).



Σχ. 87. Ήλεκτρομαγνήτης έργαστηρίου.

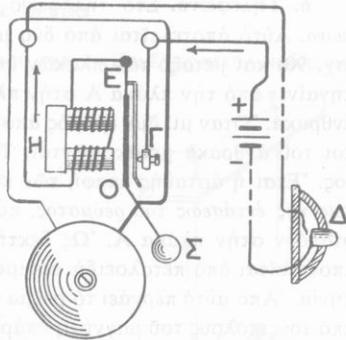
Σημείωση. Αν S είναι τό έμβαδό τής επιφάνειας έπαφής των πόλων με τόν όπλισμό, τότε άποδεικνύεται ότι ή φέρουσα δύναμη του ηλεκτρομαγνήτη δίνεται άπό τήν έξίσωση :

φέρουσα δύναμη ηλεκτρομαγνήτη	$F = 10^7 \cdot \frac{B^2 \cdot S}{8\pi}$	$\left\{ \begin{array}{l} 10^7 \text{ A}^2/\text{N}, S \text{ σε m}^2 \\ B \text{ σε T}, F \text{ σε N} \end{array} \right.$
----------------------------------	---	--

β. Ήλεκτρικό κουδοδνι. Πιέζοντας τό διακόπτη (Δ) κλείνουμε τό κύκλωμα (σχ. 88) και ό εδκίνητος όπλισμός (O) του ηλεκτρομαγνήτη (H) έλκεται. Άλλά τότε τό κύκλωμα διακόπτεται (στό σημείο Γ), ό όπλισμός γυ-

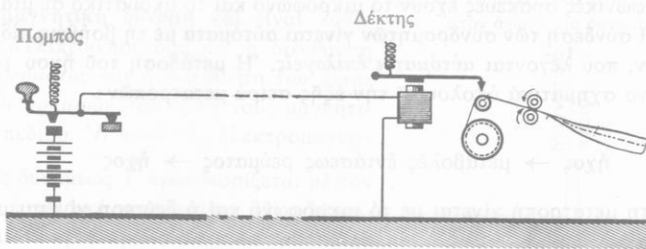
ρίξει στη θέση του και τό κύκλωμα πάλι κλείνει. Ό όπλισμός άμέσως έλκεται κ.ο.κ. Σέ κάθε έλξη του όπλισμού αντίστοιχεί ένα χτύπημα τής σφαιράς Σ πάνω στό κουδούνι. Ή αυτόματη διακοπή και άποκατάσταση του ρεύματος γίνεται πολλές φορές στό δευτερόλεπτο.

γ. Μορσικός τηλεγράφος. Ή λειτουργία του στηρίζεται στην έξής αρχή: Μέ κατάλληλο διακόπτη (πομπός) αφήνουμε νά φύγουν άπό τόν έναν τόπο ρεύματα μικρής ή μεγαλύτερης διάρκειας. Αδτά τά ρεύματα φτάνουν στό δέκτη, πού



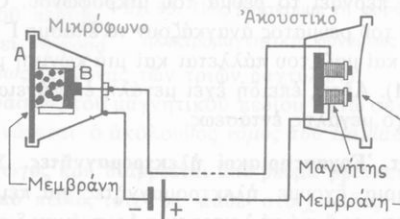
Σχ. 88. Ήλεκτρικό κουδούνι.

υπάρχει στόν άλλο τόπο, και περνούν άπό ήλεκτρομαγνήτη πού είναι έφοδιασμένος μέ πολύ εύκίνητο όπλισμό (σχ. 89). Όταν ο όπλισμός έλκεται,



Σχ. 89. Αρχή του μορσικού τηλεγράφου.

ή μιά άκρη του γράφει πάνω σέ ταινία άπό χαρτί μικρές ή μεγαλύτερες γραμμές, ανάλογα μέ τή διάρκεια του ρεύματος πού πέρασε άπό τόν ήλεκτρομαγνήτη. Ή ταινία ξετυλίγεται όμαλά. Μέ τά μορσικά σήματα είναι δυνατή ή μεταβίβαση λέξεων και αριθμών. Σήμερα στην τηλεγραφία χρησιμοποιούμε πολύ πιό τελειοποιημένα συστήματα.



Σχ. 90. Σχηματική παράσταση τής αρχής του τηλεφώνου.

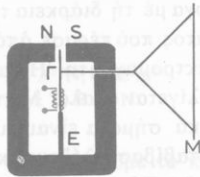
δ. Τηλέφωνο. Στο τηλέφωνο ως πομπός χρησιμοποιείται το *μικρόφωνο*. Αυτό αποτελείται από δύο μονωμένες πλάκες Α και Β από άνθρακα (σχ. 90) και μεταξύ των πλακών υπάρχουν κόκκοι από άνθρακα. Το ρεύμα πηγαίνει από την πλάκα Α στην πλάκα Β περνώντας από τους κόκκους του άνθρακα. "Όταν μιλάμε εμπρός από την πλάκα Α, αυτή πάλλεται και οι κόκκοι του άνθρακα μετακινούνται. Τότε αλλάζει η αντίσταση του κυκλώματος. Έτσι η άσταθής επαφή των κόκκων του άνθρακα προκαλεί *διακυμάνσεις της εντάσεως του ρεύματος*, που αντιστοιχούν στους ήχους οι οποίοι φτάνουν στην πλάκα Α. Ως δέκτης χρησιμοποιείται το *άκουστικό*. Αυτό αποτελείται από πεταλοειδή μόνιμο μαγνήτη που έχει στίς άκρες του δύο πηνία. Από αυτά περνάει το ρεύμα που έρχεται από το μικρόφωνο. Έμπρός από τους πόλους του μαγνήτη υπάρχει μία λεπτή πλάκα από μαλακό σίδηρο, η οποία μπορεί να πάλλεται. Οι διακυμάνσεις της εντάσεως του ρεύματος προκαλούν αντίστοιχες μεταβολές του μαγνητικού πεδίου του μαγνήτη. Έτσι οι δυνάμεις που εξασκεί ο μαγνήτης στην πλάκα του μαλακού σιδήρου μεταβάλλονται και η πλάκα αναγκάζεται να πάλλεται. Μέ αυτό τον τρόπο η πλάκα του άκουστικού αναπαράγει τους ήχους που φτάνουν στο μικρόφωνο. Οι τηλεφωνικές συσκευές έχουν το μικρόφωνο και το άκουστικό σε μία διάταξη. Η σύνδεση των συνδρομητών γίνεται αυτόματα με τη βοήθεια ειδικών μηχανών, που λέγονται *αυτόματοι επιλογείς*. Η μετάδοση του ήχου με το τηλέφωνο σχηματικά ακολουθεί την εξής σειρά μετατροπών:

ήχος → μεταβολές εντάσεως ρεύματος → ήχος

Η πρώτη μετατροπή γίνεται με το μικρόφωνο και η δεύτερη γίνεται με το άκουστικό.

ε. Ήλεκτρομαγνητικό μεγάφωνο. Αυτό αποτελείται από ισχυρό ήλεκτρομαγνήτη που έχει μεταξύ των πόλων του ευκίνητο έλασμα Γ από μαλακό σίδηρο (σχ. 91). Γύρω από τη βάση του έλασματος Γ υπάρχει πηνίο, από το οποίο περνάει το ρεύμα του μικροφώνου. Οι διακυμάνσεις της εντάσεως αυτού του ρεύματος αναγκάζουν το έλασμα Γ να πάλλεται και μαζί του πάλλεται και μία κωνική μεμβράνη (Μ). Αυτή, επειδή έχει μεγάλη επιφάνεια, παράγει ήχο μεγάλης εντάσεως.

στ. Έργαστηριακοί ηλεκτρομαγνήτες. Στα εργαστήρια έχουμε ηλεκτρομαγνήτες για πειραματικές έρευνες ή για τη λειτουργία όρισμένων διατάξεων που χρησιμοποιούμε σήμερα στην Πυρηνική Φυσική (*επιταχυντές* ηλεκτρισμένων σωματιδίων).



Σχ. 91. Ήλεκτρομαγνητικό μεγάφωνο

64. Επίδραση μαγνητικού πεδίου σε ρεύμα

Μέσα στο *όμογενές μαγνητικό πεδίο* που σχηματίζει ένας πεταλοειδής μαγνήτης (σχ. 92) φέρνουμε ευθύγραμμο άγωγό, που είναι στερεωμένος σε δύο κατακόρυφα εύκαμπτα σύρματα έτσι, ώστε να είναι *οριζόντιος* και *κάθετος* στις δυναμικές γραμμές του μαγνητικού πεδίου. Όταν ο άγωγός διαρρέεται από ρεύμα, τότε στον άγωγό αναπτύσσεται μία

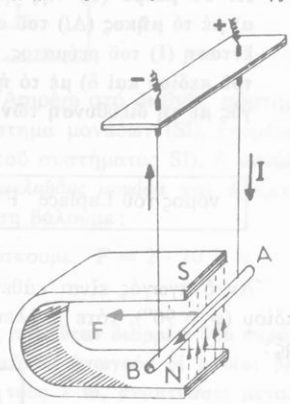
οριζόντια δύναμη \vec{F} που κινεί τον άγωγό. Αν αντιστραφεί ή φορά του ρεύματος ή η φορά του μαγνητικού πεδίου, τότε αντιστρέφεται και η φορά της δύναμης \vec{F} .

Αυτή η δύναμη \vec{F} που αναπτύσσεται στον άγωγό ονομάζεται *δύναμη Laplace* ή *ηλεκτρομαγνητική δύναμη* και είναι *κάθετη* στο επίπεδο που ορίζουν η διεύθυνση του ρεύματος και η διεύθυνση των δυναμικών γραμμών του ομογενούς μαγνητικού πεδίου. Η φορά της ηλεκτρομαγνητικής

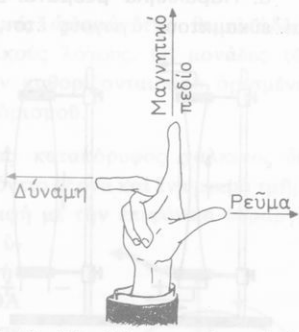
δυνάμεως \vec{F} προσδιορίζεται με τον *έξής εμπειρικό κανόνα* (σχ. 93): Άνοιγουμε τὰ τρία πρώτα δάχτυλα του δεξιού χεριού μας έτσι, ώστε να σχηματίζουν μεταξύ τους *ορθές γωνίες*, και κατευθύνουμε τον αντίχειρα κατά τη φορά του ρεύματος, τó δείκτη κατά τη φορά των δυναμικών γραμμών του μαγνητικού πεδίου. Τότε τó μεσαίο δάχτυλο δείχνει τή φορά της *ηλεκτρομαγνητικής δύναμης* (κανόνας των τριών δαχτύλων).

Άπό τή μελέτη της επιδράσεως του μαγνητικού πεδίου πάνω σε άγωγό που διαρρέεται από ρεύμα συνάγεται ó ακόλουθος *νόμος του Laplace*:

I. Όταν ευθύγραμμος άγωγός που διαρρέεται από ρεύμα βρίσκεται μέσα σε *όμογενές μαγνητικό πεδίο*, τότε σε κάθε στοιχειώδες τμήμα (Δl) του άγωγού αναπτύσσεται *ηλεκτρομαγνητική δύναμη*, ή όποια εφαρμόζεται στή μέση του άγωγού, είναι *κάθετη* στο επίπεδο που ορίζεται από τόν άγωγό και τή διεύθυνση των δυναμικών γραμμών



Σχ. 92. Τó μαγνητικό πεδίο έξασκει στον άγωγό μία δύναμη.



Σχ. 93. Πώς βρίσκουμε τή φορά τής ηλεκτρομαγνητικής δύναμης \vec{F} .

καί ἔχει φορά πού προσδιορίζεται μέ τόν κανόνα τῶν τριῶν δαχτύλων.

II. Τό μέτρο (F) τῆς ἠλεκτρομαγνητικῆς δυνάμεως εἶναι ἀνάλογο :
 α) μέ τό μήκος (Δl) τοῦ στοιχειώδους τμήματος τοῦ ἀγωγοῦ, β) μέ τήν ἔνταση (I) τοῦ ρεύματος, γ) μέ τό μέτρο (B) τῆς μαγνητικῆς ἐπαγωγῆς τοῦ πεδίου καί δ) μέ τό ἥμιτονο τῆς γωνίας (φ) πού σχηματίζει ὁ ἀγωγός μέ τή διεύθυνση τῶν δυναμικῶν γραμμῶν.

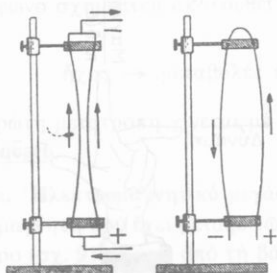
$$\text{νόμος τοῦ Laplace } F = \Delta l \cdot I \cdot B \cdot \eta \mu \varphi$$

$$\left\{ \begin{array}{l} \Delta l \text{ σε m, I σε A} \\ B \text{ σε T, F σε N} \end{array} \right.$$

Ἐάν ὁ ἀγωγός εἶναι κάθετος στίς δυναμικές γραμμές τοῦ μαγνητικοῦ πεδίου ($\varphi = 90^\circ$), τότε ἡ ἠλεκτρομαγνητική δύναμη ἔχει τή μέγιστη τιμή της :

$$F = \Delta l \cdot I \cdot B$$

α. Παράλληλα ρεύματα. Διαβιβάζουμε ρεύμα σέ δύο κατακόρυφους καί εὐκαμπτους ἀγωγούς ἔτσι, ὥστε νά ἔχουμε δύο παράλληλα ρεύματα (σχ. 94). Παρατηροῦμε ὅτι οἱ δύο ἀγωγοί ἔλκονται μεταξύ τους, ὅταν διαρρέονται ἀπό ὁμόροπα ρεύματα, ἐνῶ ἀντίθετα, οἱ δύο ἀγωγοί ἀπωθοῦνται μεταξύ τους, ὅταν διαρρέονται ἀπό ἀντίροπα ρεύματα. Αὐτή ἡ ἀμοιβαία ἔλξη ἢ ἄπωση τῶν δύο ἀγωγῶν εἶναι συνέπεια τοῦ νόμου τοῦ Laplace, γιατί κάθε ρεύμα δημιουργεῖ γύρω του μαγνητικό πεδίο πού ἐπιδρᾷ στό ἄλλο ρεύμα. Ἐάν τό μήκος κάθε ἀγωγοῦ εἶναι l , ἡ μεταξύ τους ἀπόσταση εἶναι r καί οἱ δύο ἀγωγοί διαρρέονται ἀπό ρεύμα ἐντάσεως I, τότε



Σχ. 94. Ἐλξη ἢ ἄπωση μεταξύ δύο παράλληλων ρευμάτων.

εὐκόλα βρῖσκουμε ὅτι ἡ ἠλεκτρομαγνητική δύναμη μέ τήν ὁποία ἔλκονται ἢ ἀπωθοῦνται μεταξύ τους οἱ δύο ἀγωγοί ἔχει μέτρο :

δύναμη μεταξύ παράλληλων ρευμάτων

$$F = 10^{-7} \cdot \frac{2l \cdot I^2}{r}$$

$$\left\{ \begin{array}{l} 10^{-7} \text{ N/A}^2 \\ l, r \text{ σε m} \\ I \text{ σε A} \\ F \text{ σε N} \end{array} \right. \quad (1)$$

Παρατήρηση. Άν τά δύο παράλληλα ρεύματα έχουν εντάσεις I_1 και I_2 , τότε είναι:

$$F = 10^{-7} \cdot \frac{2l \cdot I_1 \cdot I_2}{r}$$

β. Όρισμός τής θεμελιώδους μονάδας Ampère στο διεθνές σύστημα μονάδων (SI). Ξέρουμε ότι στο διεθνές σύστημα μονάδων (SI), επομένως και στο σύστημα MKSA (πού είναι τμήμα του συστήματος SI), η μονάδα εντάσεως ρεύματος 1 Ampère (1 A) είναι *θεμελιώδης μονάδα* και όριζεται από τήν εξίσωση (1). Άν σ' αυτή τήν εξίσωση βάλουμε:

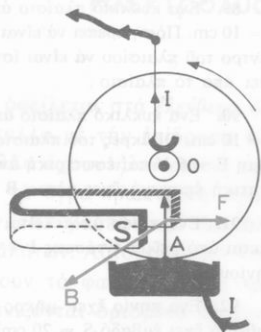
$$l = 1 \text{ m}, I = 1 \text{ A}, r = 1 \text{ m}, \text{ βρίσκουμε } F = 2 \cdot 10^{-7} \text{ N}$$

Έτσι έχουμε τόν εξής *όρισμό*:

1 Ampère (1 A) είναι ή ένταση ρεύματος πού, όταν διαρρέει δύο παράλληλους, εὐθύγραμμους και μέ ἄπειρο μήκος ἄγωγους οἱ ὅποιοι βρίσκονται στο κενό και ἀπέχουν μεταξύ τους 1 m, ἀναπτύσσει μεταξύ αὐτῶν τῶν ἄγωγῶν ἠλεκτρομαγνητική δύναμη ἴση μέ $2 \cdot 10^{-7}$ Newton κατά μέτρο μήκους.

Παρατήρηση. Αὐτός ὁ ἠλεκτρομαγνητικός ὁρισμός τής θεμελιώδους μονάδας Ampère ἐπιβάλλεται ἀπό θεωρητικούς λόγους. Οἱ μονάδες τῶν ἄλλων μαγνητικῶν και ἠλεκτρικῶν μεγεθῶν καθορίζονται ἀπό ὀρισμένες ἐξισώσεις, πού τίς παίρνουμε ὡς ἐξισώσεις ὀρισμοῦ.

γ. Στοιχειώδης ἠλεκτροκινητήρας. Ένας κατακόρυφος χάλκινος δίσκος μπορεί νά περιστρέφεται γύρω ἀπό ὀριζόντιο ἄξονα και ἕνα μικρό τμήμα τής περιφέρειάς του ἔρχεται πάντοτε σέ ἐπαφή μέ τήν ἐπιφάνεια ὑδραργύρου (σχ. 95). Ὁ ἄξονας τοῦ τροχοῦ και ὁ ὑδράργυρος συνδέονται μέ τούς πόλους γεννήτριας. Τότε κατά τή διεύθυνση τής ἀκτίνας OA περνάει ρεύμα. Ὁ δίσκος βρίσκεται μέσα σέ ὀμογενές μαγνητικό πεδίο πού ή μαγνητική



ἐπαγωγή του \vec{B} είναι κάθετη στο ἐπίπεδο τοῦ δίσκου. Παρατηροῦμε ότι ὁ δίσκος περιστρέφεται. Αὐτή ή κίνηση τοῦ δίσκου ἐξηγεῖται ὡς ἐξής: Τό ρεύμα πού διατρέχει τήν ἀκτίνα OA, διατρέχει ἕναν εὐθύγραμμο ἄγωγό και επομένως πάνω στήν ἀκτίνα ἐνεργεῖ μιᾶ ἠλεκτρομαγνητική δύναμη \vec{F} πού είναι κάθετη στήν ἀκτίνα, βρίσκεται πάνω στο ἐπίπεδο τοῦ δίσκου.

Σχ. 95. Ἀρχή τοῦ ἠλεκτροκινητήρα.

σκου καί γι' αὐτό προκαλεῖ τήν περιστροφή τοῦ δίσκου. Τό ἴδιο συμβαίνει σέ κάθε ἄκτινα τοῦ δίσκου, ὅταν αὐτή διαρρέεται ἀπό τό ρεύμα. Ἄν ἀντιστραφεῖ ἡ φορά τοῦ ρεύματος ἢ ἡ φορά τοῦ μαγνητικοῦ πεδίου, τότε ἀντιστρέφεται καί ἡ φορά τῆς περιστροφῆς τοῦ δίσκου. Τό πείραμα αὐτό ἐρμηνεύει τή λειτουργία τῶν ἠλεκτροκινητῶν.

ΠΡΟΒΛΗΜΑΤΑ

84. Ἐνας εὐθύγραμμος ἀγωγός διαρρέεται ἀπό ρεύμα ἐντάσεως $I = 31,4 \text{ A}$. Πόση εἶναι ἡ μαγνητική ἐπαγωγή B σέ ἀπόσταση $r = 5 \text{ cm}$ ἀπό τόν ἀγωγό;

85. Ἐνας εὐθύγραμμος ἀγωγός ἀποτελεῖται ἀπό μιά δέσμη 6 εὐθύγραμμων συρμάτων πού τό καθένα διαρρέεται ἀπό ρεύμα ἐντάσεως $I = 10 \text{ A}$. Πόση εἶναι ἡ μαγνητική ἐπαγωγή B σέ ἀπόσταση $r = 2 \text{ cm}$ ἀπό τόν ἀγωγό; Ἄν σ' αὐτό τό σημείο τοῦ πεδίου εἶναι ἕνας μαγνητικός πόλος μέ ποσότητα μαγνητισμοῦ $m = +4 \text{ A} \cdot \text{m}$, πόση δύναμη ἐξασκεῖ τό πεδίο σ' αὐτό τόν πόλο;

86. Δύο εὐθύγραμμοί ἀγωγοί εἶναι παράλληλοι, ἀπέχουν μεταξύ τους 6 cm καί διαρρέονται ἀπό ρεύματα πού ἔχουν τήν ἴδια ἔνταση $I = 30 \text{ A}$. Πόση εἶναι ἡ μαγνητική ἐπαγωγή σέ ἕνα σημείο Δ , πού βρίσκεται μεταξύ τῶν δύο ἀγωγῶν καί ἀπέχει $r_1 = 2 \text{ cm}$ ἀπό τόν ἕνα ἀγωγό καί $r_2 = 4 \text{ cm}$ ἀπό τόν ἄλλο, ὅταν τά δύο παράλληλα ρεύματα εἶναι ὁμόρροπα καί ὅταν εἶναι ἀντίρροπα;

87. Ἐνας εὐθύγραμμος ἀγωγός διαρρέεται ἀπό ρεύμα ἐντάσεως $I = 2 \text{ A}$. Σέ ἀπόσταση r ἀπό τόν ἀγωγό βρίσκεται βόρειος μαγνητικός πόλος, πού ἔχει ποσότητα μαγνητισμοῦ $m = 0,5 \text{ A} \cdot \text{m}$ καί μπορεῖ νά κινεῖται ἐλεύθερα μέ τήν ἐπίδραση τοῦ μαγνητικοῦ πεδίου τοῦ ρεύματος. Πόσο ἔργο (W) παράγεται ἀπό τό πεδίο, ὅταν ὁ πόλος m διαγράψει μιά ὁλόκληρη δυναμική γραμμῆ τοῦ πεδίου; Ποιά σχέση ἔχει αὐτό τό ἔργο μέ τήν ἀπόσταση r ;

88. Ἐνας κυκλικός ἀγωγός ἔχει ἄκτινα $r = 20 \text{ cm}$ καί διαρρέεται ἀπό ρεύμα ἐντάσεως $I = 5 \text{ A}$. Πόση εἶναι ἡ μαγνητική ἐπαγωγή B στό κέντρο τοῦ κυκλικοῦ ἀγωγοῦ;

89. Ἐνα κυκλικό πλαίσιο ἀποτελεῖται ἀπό $n = 50$ σπεῖρες, πού καθεμιά ἔχει ἄκτινα $r = 10 \text{ cm}$. Πόση πρέπει νά εἶναι ἡ ἔνταση I τοῦ ρεύματος, ὥστε ἡ μαγνητική ἐπαγωγή στό κέντρο τοῦ πλαισίου νά εἶναι ἴση μέ $B = 6,28 \cdot 10^{-3} \text{ T}$; Πόση μαγνητική ροή Φ περνάει ἀπό τό πλαίσιο;

90. Ἐνα κυκλικό πλαίσιο ἀποτελεῖται ἀπό $n = 100$ σπεῖρες, πού ἡ ἄκτινα τους εἶναι $r = 10 \text{ cm}$. Οἱ ἄκρες τοῦ πλαισίου συνδέονται μέ γεννήτρια, πού ἔχει ἠλεκτρεγερτική δύναμη $E = 6 \text{ V}$ καί ἐσωτερική ἀντίσταση $R_f = 2 \Omega$. Τότε στό κέντρο τοῦ πλαισίου ἡ μαγνητική ἐπαγωγή ἔχει μέτρο $B = 2 \cdot 10^{-5} \text{ T}$. Πόση εἶναι ἡ ἀντίσταση R τοῦ πλαισίου;

91. Ἐνα πηνίο ἀποτελεῖται ἀπό $N = 1600$ σπεῖρες, ἔχει μήκος $l = 10 \text{ cm}$ καί διαρρέεται ἀπό ρεύμα ἐντάσεως $I = 15 \text{ A}$. Πόση εἶναι ἡ μαγνητική ἐπαγωγή στό κέντρο τοῦ πηνίου;

92. Ἐνα πηνίο ἔχει μήκος $l = 50 \text{ cm}$ καί ἀποτελεῖται ἀπό $N = 500$ σπεῖρες, πού καθεμιά ἔχει ἐμβαδόν $S = 20 \text{ cm}^2$. Τό πηνίο διαρρέεται ἀπό ρεύμα ἐντάσεως $I = 0,5 \text{ A}$. Πόση εἶναι ἡ μαγνητική ἐπαγωγή B στό κέντρο τοῦ πηνίου καί πόση εἶναι ἡ μαγνητική ροή Φ πού περνάει ἀπό τό πηνίο;

93. Ένα πηνίο έχει $N = 4000$ σπείρες, μήκος $l = 40$ cm και στο κέντρο του ή μαγνητική επαγωγή είναι $B_0 = 251,2 \cdot 10^{-3}$ T. Πόση είναι ή ένταση I του ρεύματος ; Πόση γίνεται ή μαγνητική επαγωγή στο κέντρο του πηνίου, αν μέσα σ' αυτό βάσουμε μιά ράβδο από μαλακό σίδηρο που έχει μαγνητική διαπερατότητα $\mu = 3000$;

94. Ένα μακρύ σωληνοειδές αποτελείται από $n = 12$ σπείρες/cm και διαρρέεται από ρεύμα έντάσεως $I = 3$ A. Ένας μαγνητικός πόλος με ποσότητα μαγνητισμού $m = +50$ A · m μετακινείται κατά $s = 4$ cm κατά μήκος του άξονα του σωληνοειδούς και στήν περιοχή του κέντρου του σωληνοειδούς. Πόσο έργο παράγεται κατά τή μετακίνηση αυτή ;

95. Ένας εϋθύγραμμος άγωγός μήκους $l = 5$ cm διαρρέεται από ρεύμα έντάσεως $I = 20$ A και βρίσκεται μέσα σε όμογενές μαγνητικό πεδίο που έχει μαγνητική επαγωγή $B = 0,02$ T. Ο άγωγός σχηματίζει γωνία $\varphi = 30^\circ$ με τίς δυναμικές γραμμές του πεδίου. Πόση είναι ή ηλεκτρομαγνητική δύναμη F που αναπτύσσεται στον άγωγό ; Πόση είναι ή μεγαλύτερη τιμή που μπορεί να έχει ή δύναμη F και τότε συμβαίνει αυτό ;

96. Δύο εϋθύγραμμα σύρματα μήκους $l = 40$ cm απέχουν μεταξύ τους $r = 4$ cm. Τά σύρματα διαρρέονται από όμορροπα ρεύματα έντάσεως $I = 2$ A. Πόση είναι ή ηλεκτρομαγνητική δύναμη F που ένεργεί στο κάθε σύρμα εξαιτίας του μαγνητικού πεδίου του άλλου ρεύματος ;

97. Δύο κατακόρυφα σύρματα Γ και Δ έχουν μεγάλο μήκος, απέχουν μεταξύ τους 8 cm και διαρρέονται από ρεύματα που έχουν φορά προς τά πάνω και ένταση $I_\Gamma = 30$ A και $I_\Delta = 20$ A. Ένα τρίτο κατακόρυφο σύρμα Z βρίσκεται ανάμεσα στά δύο προηγούμενα σύρματα, σε απόσταση 3 cm από τό σύρμα Γ και 5 cm από τό σύρμα Δ και διαρρέεται από ρεύμα που έχει φορά προς τά κάτω και ένταση $I_Z = 10$ A. Νά βρεθεί ή δύναμη F που ένεργεί πάνω σε μήκος $l = 25$ cm του σύρματος Z .

98. Στο άτομο του υδρογόνου τό ηλεκτρόνιο διαγράφει με ταχύτητα $v = 2,2 \cdot 10^8$ m/sec κυκλική τροχιά, που έχει ακτίνα $r = 0,53 \cdot 10^{-10}$ m. α) Πόσο ηλεκτρικό φορτίο q περνάει κατά δευτερόλεπτο από ένα σημείο τής τροχιάς του ηλεκτρονίου ; β) Πόση είναι ή ένταση I του κυκλικού ρεύματος που δημιουργεί ή κίνηση του ηλεκτρονίου ; γ) Πόση είναι ή μαγνητική επαγωγή B στο κέντρο αυτού του κυκλικού ρεύματος ;

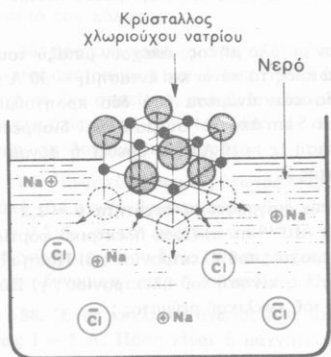
Ήλεκτρόλυση

65. Ήλεκτρολύτες

Ή ηλεκτρική άγωγιμότητα των μετάλλων οφείλεται στά *ελεύθερα* ηλεκτρόνια τους, τά όποια κινούνται μέσα στο μέταλλο με τήν επίδραση ηλεκτρικού πεδίου, και γι' αυτό λέμε ότι τά μέταλλα έχουν *ηλεκτρονική άγωγιμότητα*. Πειραματικά βρήκαμε ότι από όλα τά υγρά ηλεκτρική άγωγιμότητα έχουν τά υδατικά διαλύματα των οξέων, των βάσεων και των άλάτων καθώς και τά τήγματα των βάσεων και των άλάτων. Αυτοί οί υγροί άγωγοί ονομάζονται *ηλεκτρολύτες*, γιατί παρουσιάζουν τό φαινόμενο τής ηλεκτρολύσεως, δηλαδή στά δύο ηλεκτρόδια εμφανίζονται όρισμένα προϊόντα (§ 43β). Λέμε ότι οί ηλεκτρολύτες έχουν *ηλεκτρολυτική άγωγιμότητα* (όπως θά δοϋμε αυτή διαφέρει από τήν ηλεκτρονική άγωγιμότητα των μετάλλων).

66. Ήξήγηση τής ήλεκτρολυτικής άγωγιμότητας

α. Ήλεκτρολυτική διάσταση. Ή θεωρητική καί ή πειραματική έρευνα απέδειξαν ότι τό μόριο κάθε ήλεκτρολύτη αποτελείται από τήν ένωση δύο έτεράωνυμων ιόντων πού έχουν κατ' άπόλυτη τιμή ίσα ήλεκτρικά φορτία. Τό θετικό ή άρνητικό φορτίο, πού έχει κάθε ίόν, είναι πάντοτε ίσο μέ *άκέραιο πολλαπλάσιο* του στοιχειώδους ήλεκτρικού φορτίου e . Ό άριθμός των στοιχειωδών ήλεκτρικών φορτίων πού έχει πάνω του ένα ίόν, είναι ίσος μέ τό σθένος του στοιχείου ή τής ρίζας πού αποτελεί τό ίόν. Έτσι π.χ. τό μόριο του χλωριούχου νατρίου αποτελείται από ένα θετικό ίόν νατρίου Na^+ καί ένα άρνητικό ίόν χλωρίου Cl^- . Όταν αυτά τά δύο ίόντα είναι ένωμένα, τό μόριο είναι ουδέτερο.



Σχ. 96. Ήλεκτρολυτική διάσταση.

Όταν τό χλωριούχο νάτριο διαλύεται στό νερό, τότε τά ίόντα νατρίου Na^+ καί τά ίόντα χλωρίου Cl^- *άποχωρίζονται* τό ένα από τό άλλο καί διασκορπίζονται μέσα στό διάλυμα. Έτσι μέσα στό διάλυμα υπάρχουν έλεύθερα ίόντα νατρίου Na^+ καί ίσος *άριθμός* έλευθερών ιόντων χλωρίου Cl^- (σχ. 96). Τό διάλυμα είναι ήλεκτρικώς ουδέτερο, γιατί τά φορτία των θετικών καί των άρνητικών ιόντων είναι ίσα (κατ' άπόλυτη τιμή). Αυτός ό διαχωρισμός του μορίου του ήλεκτρολύτη σε δύο έτεράωνυμα ίόντα ονομάζεται *ήλεκτρολυτική διάσταση* καί παριστάνεται ως έξής :

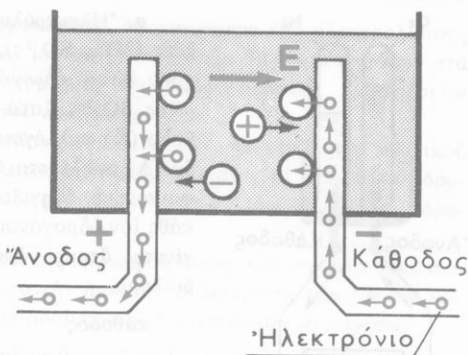


Στό φαινόμενο τής ήλεκτρολυτικής διαστάσεως παίζουν σημαντικό ρόλο καί τά *μόρια του νερού*, τά όποια ύποβοηθούν στον άποχωρισμό των δύο ιόντων του μορίου. Στόν παρακάτω πίνακα αναφέρεται ή ήλεκτρολυτική διάσταση μερικών συνηθισμένων ήλεκτρολυτών.

Ήλεκτρολυτική διάσταση μερικών ήλεκτρολυτών

Ύδροχλωρικό όξύ HCl	H^+, Cl^-	Νιτρικός άργυρος AgNO_3	$\text{Ag}^+, \text{NO}_3^-$
Νιτρικό όξύ HNO_3	$\text{H}^+, \text{NO}_3^-$	Θειικός χαλκός CuSO_4	$\text{Cu}^{2+}, \text{SO}_4^{2-}$
Θειικό όξύ H_2SO_4	$2\text{H}^+, \text{SO}_4^{2-}$	Χλωριούχο νάτριο NaCl	Na^+, Cl^-

β. Ή ηλεκτρολυτική αγωγιμότητα. Όταν τό υδατικό διάλυμα τού ηλεκτρολύτη είναι μέσα στό βολτάμετρο καί κλείσουμε τό κύκλωμα, τότε μεταξύ τών δύο ηλεκτροδίων σχηματίζεται ηλεκτρικό πεδίο (σχ. 97) πού οί δυναμικές γραμμές του έχουν φορά από τήν άνοδο (Α) πρós τήν κάθοδο (Κ). Μέ τήν επίδραση τού ηλεκτρικού πεδίου τά θετικά ιόντα κινούνται



Σχ. 97. Κίνηση τών ιόντων μέ τήν επίδραση τού ηλεκτρικού πεδίου.

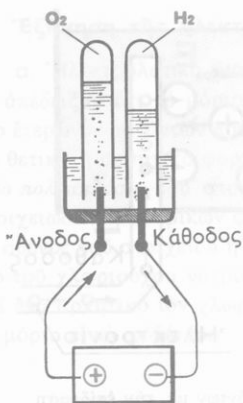
πρός τήν κάθοδο (κατιόντα), ενώ τά αρνητικά ιόντα κινούνται πρós τήν άνοδο (άνιόντα). Κάθε θετικό ιόν, όταν φτάσει στην κάθοδο, παίρνει από αυτή όσα ηλεκτρόνια τού λείπουν καί μεταβάλλεται σέ ουδέτερο άτομο. Αντίθετα κάθε αρνητικό ιόν, όταν φτάσει στην άνοδο, δίνει σ' αυτή όσα ηλεκτρόνια πλεονάζουν πάνω του καί μετατρέπεται σέ ουδέτερο άτομο. Όσα ηλεκτρόνια αφαιρούνται από τήν κάθοδο μέσα σέ όρισμένο χρόνο, τόσα ακριβώς ηλεκτρόνια δίνονται στην άνοδο μέσα στον ίδιο χρόνο, γιατί ή ένταση τού ρεύματος είναι σταθερή σέ όλο τό κύκλωμα. Έξαιτίας λοιπόν τού ηλεκτρικού πεδίου δημιουργείται μέσα στον ηλεκτρολύτη κίνηση τών ετερόωνμων ιόντων κατ' αντίθετη φορά. Αυτή ή κίνηση αποτελεί τό ηλεκτρικό ρεύμα μέσα στον ηλεκτρολύτη. Από τά παραπάνω καταλήγουμε στή εξής συμπεράσματα :

I. Ή ηλεκτρολυτική αγωγιμότητα οφείλεται στην ταυτόχρονη, αλλά κατά αντίθετη φορά, κίνηση τών θετικών καί αρνητικών ιόντων τού ηλεκτρολύτη μέ τήν επίδραση ηλεκτρικού πεδίου.

II. Ό αριθμός τών ηλεκτρονίων πού αφαιρούν από τήν κάθοδο τά θετικά ιόντα είναι ίσος μέ τόν αριθμό τών ηλεκτρονίων πού δίνουν στην άνοδο τά αρνητικά ιόντα μέσα στον ίδιο χρόνο.

67. Παραδείγματα ηλεκτρολύσεων

Θά εξετάσουμε τρία παραδείγματα ηλεκτρολύσεων μέ βολτάμετρο πού τά ηλεκτροδιά του είναι από λευκόχρυσο για νά μή προσβάλλονται από όξεία.



Σχ. 98. Στην κάθοδο συλλέγουμε υδρογόνο και στην άνοδο οξυγόνο.

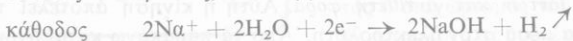
α. Ήλεκτρόλυση διαλύματος θειικού όξεος (2H^+ , SO_4^{2-}). Μέσα στο διάλυμα υπάρχουν *ίοντα υδρογόνου* H^+ και *ίοντα θειικής ρίζας* SO_4^{2-} . Κατά την ηλεκτρόλυση στην κάθοδο (Κ) συλλέγεται *υδρογόνο*, ενώ στην άνοδο (Α) συλλέγεται *οξυγόνο* (σχ. 98). Αυτό το φαινόμενο εξηγείται ως εξής: Στην κάθοδο κάθε *ίον υδρογόνου παίρνει* ένα ηλεκτρόνιο και γίνεται *άτομο υδρογόνου* που φεύγει από το διάλυμα.



Στην άνοδο το *ίον της θειικής ρίζας* δεν *έκφορτίζεται*, αλλά *αντιδρά* με το νερό (*δευτερεύουσα αντίδραση*). Τα δύο ηλεκτρόνια που *δίνονται* στην άνοδο προέρχονται από τη *δευτερεύουσα αντίδραση*:



β. Ήλεκτρόλυση διαλύματος καυστικού νατρίου (Na^+ , OH^-). Μέσα στο διάλυμα υπάρχουν *ίοντα νατρίου* Na^+ και *ίοντα υδροξυλίου* OH^- . Κατά την ηλεκτρόλυση στην κάθοδο συλλέγεται *υδρογόνο*, ενώ στην άνοδο συλλέγεται *οξυγόνο*. Αυτά τα προϊόντα που συλλέγονται *οφείλονται* σε *δευτερεύουσες αντιδράσεις*, που συμβαίνουν στα δύο ηλεκτρόδια.



γ. Ήλεκτρόλυση διαλύματος θειικού χαλκού (Cu^{2+} , SO_4^{2-}). Μέσα στο διάλυμα υπάρχουν *ίοντα χαλκού* Cu^{2+} και *ίοντα θειικής ρίζας* SO_4^{2-} . Στην κάθοδο κάθε *ίον χαλκού παίρνει* δύο ηλεκτρόνια και *μεταβάλλεται* σε *ουδέτερο άτομο χαλκού* που *κάθεται* πάνω στο ηλεκτρόδιο. Έτσι στην κάθοδο συλλέγεται *χαλκός*.



Στην άνοδο ή *θειική ρίζα* *αντιδρά* με το νερό (*δευτερεύουσα αντίδραση*) και έτσι στην άνοδο συλλέγεται *οξυγόνο*.

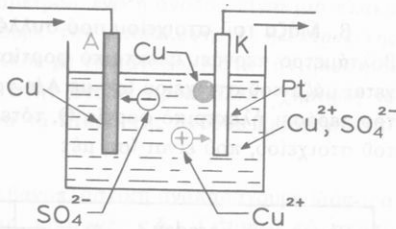


δ. Τά προϊόντα τής ήλεκτρολύσεως. Τό φαινόμενο τής ήλεκτρολύσεως δείχνει ότι ή εξουδετέρωση τών ίόντων γίνεται, όταν τά ίόντα φτάσουν στά ήλεκτρόδια καί γι' αυτό τά προϊόντα τής ήλεκτρολύσεως εμφανίζονται πάντοτε πάνω στά ήλεκτρόδια τού βολταμέτρου.

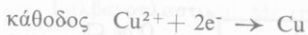
Πειραματικά βρίσκουμε επίσης ότι κατά τήν ήλεκτρόλυση ύδατικού διαλύματος οξέος, βάσεως ή άλατος στην κάθοδο φτάνει τό θετικό ίόν ύδρογόνου ή μετάλλου, ενώ στην άνοδο φτάνει τό άρνητικό ίόν άμετάλλου, ύδροξυλίου ή ρίζας οξέος.

Πολλές φορές τά προϊόντα τής ήλεκτρολύσεως πού συλλέγονται στά ήλεκτρόδια δέν προέρχονται από τήν άμεση εξουδετέρωση τών ίόντων πού υπάρχουν στό διάλυμα, γιατί συμβαίνουν οί δευτερεύουσες αντιδράσεις.

α. Ήλεκτρόλυση διαλύματος θεικού χαλκού (Cu^{2+} , SO_4^{2-}) μέ άνοδο από χαλκό. Ή κάθοδος τού βολταμέτρου είναι από λευκόχρσο, ενώ ή άνοδος είναι από χαλκό (σχ. 99). Μέσα στό διάλυμα υπάρχουν ίόντα χαλκού Cu^{2+} καί ίόντα θεικής ρίζας SO_4^{2-} . Στην κάθοδο κάθε ίόν χαλκού παίρνει δύο ήλεκτρόνια καί μεταβάλλεται σέ ουδέτερο άτομο χαλκού, πού κάθεται πάνω στην κάθοδο.



Σχ. 99. Ή κάθοδος επιχαλκώνεται.



Στην άνοδο τό ίόν τής θεικής ρίζας SO_4^{2-} προκαλεί ίονισμό ενός ατόμου χαλκού πού βρίσκεται στην επιφάνεια τής άνόδου, δηλαδή αναγκάζει τά δύο ήλεκτρόνια ενός ατόμου χαλκού νά εγκαταλείψουν τό άτομο τού χαλκού. Έτσι αυτό τό άτομο χαλκού γίνεται ίόν χαλκού Cu^{2+} πού ένώνεται μέ τή θεική ρίζα καί τότε σχηματίζεται ένα μόριο θεικού χαλκού CuSO_4 , πού μπαίνει μέσα στό διάλυμα.



Όστε κατά τήν ήλεκτρόλυση αυτή γίνεται μεταφορά χαλκού από τήν άνοδο στην κάθοδο καί ή μάζα τού χαλκού, πού άποτελεί τήν άνοδο, διαρκώς έλαττώνεται.

68. Νόμος τού Faraday

α. Σταθερή τού Faraday. Στη Χημεία ονομάζεται γραμμοϊσοδύναμο ενός στοιχείου μάζα αυτού τού στοιχείου σέ γραμμάρια ίση μέ τό χημικό ίσοδύναμο τού στοιχείου, δηλαδή μάζα σέ γραμμάρια ίση μέ τό πηλίκο τής άτομικής μάζας (Α) τού στοιχείου διά τού σθένους του (n). Άρα :

1 γραμμοϊσοδύναμο = A/n γραμμάρια

Ο Faraday ανακάλυψε (1883) πειραματικά ότι για το φαινόμενο της ηλεκτρολύσεως ισχύει ένας γενικός νόμος, που ονομάζεται *νόμος του Faraday*:

Όταν από οποιοδήποτε ηλεκτρολύτη περάσει ηλεκτρικό φορτίο 96 500 Cb, τότε στο ηλεκτρόδιο του βολταμέτρου συλλέγεται μάζα του στοιχείου ίση με ένα γραμμοϊσοδύναμο από αυτό το στοιχείο.

Αυτό το σταθερό ηλεκτρικό φορτίο κατά γραμμοϊσοδύναμο ονομάζεται *σταθερή του Faraday (F)*.

$$\text{σταθερή του Faraday } F = 96\,500 \text{ Cb/γραμμοϊσοδύναμο}$$

β. Μάζα του στοιχείου που συλλέγεται στο ηλεκτρόδιο. Όταν από το βολτάμετρο περνάει ηλεκτρικό φορτίο 96 500 Cb, στο ηλεκτρόδιο συλλέγεται μάζα του στοιχείου ίση με A/n γραμμάρια. Ωστε, αν από το βολτάμετρο περάσει ηλεκτρικό φορτίο Q , τότε στο ηλεκτρόδιο συλλέγεται μάζα m του στοιχείου, που είναι ίση με:

$$\text{νόμος του Faraday } m = \frac{1}{96\,500} \cdot \frac{A}{n} \cdot Q \quad \left\{ \begin{array}{l} Q \text{ σε Cb} \\ m \text{ σε gr} \end{array} \right. \quad (1)$$

Επειδή είναι $Q = I \cdot t$, η εξίσωση (1) γράφεται:

$$\text{νόμος του Faraday } m = \frac{1}{96\,500} \cdot \frac{A}{n} \cdot I \cdot t \quad \left\{ \begin{array}{l} I \text{ σε A} \\ t \text{ σε sec} \\ m \text{ σε gr} \end{array} \right. \quad (2)$$

Οι εξισώσεις (1) και (2) είναι άλλη έκφραση του νόμου του Faraday και μᾶς επιτρέπουν νά κάνουμε πειραματική επαλήθευση του νόμου.

Παράδειγμα. Από βολτάμετρο που περιέχει διάλυμα θεικού ψευδαργύρου ($ZnSO_4$) περνάει επί 16 min 5 sec ρεύμα έντασης $I = 10$ A. Για τόν ψευδάργυρο είναι $A = 65$, $n = 2$. Στην κάθοδο συλλέγεται μάζα ψευδαργύρου:

$$m = \frac{1}{96\,500} \cdot \frac{A}{n} \cdot I \cdot t = \frac{1}{96\,500} \cdot \frac{65}{2} \cdot 10 \text{ A} \cdot 965 \text{ sec}$$

καί $m = 3,25 \text{ gr}$

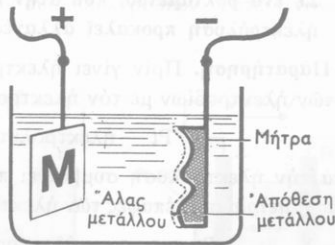
69. Έφαρμογές τής ήλεκτρολύσεως

Τό φαινόμενο τής ήλεκτρολύσεως έχει πολλές εφαρμογές. Άναφέρουμε τίς πιο συνηθισμένες.

α. Ήλεκτρομεταλλουργία. Ή ήλεκτρολύση εφαρμόζεται για τήν παρασκευή καθαρών μετάλλων· π.χ. τό κάλιο, τό άσβέστιο, τό μαγνήσιο τά παρασκευάζουμε μέ ήλεκτρολύση τών τηγμένων χλωριούχων άλάτων τους. Τό άργίλιο τό παίρνουμε μέ τήν ήλεκτρολύση μίγματος βωξίτη καί κρυσλίθου. Ήπίσης μέ ήλεκτρολύση παρασκευάζεται ό χημικώς καθαρός χαλκός, χρυσός καί άργυρος.

β. Ήπιμετάλλωση. Για νά προφυλάξουμε όρισμένα μέταλλα άπό τήν όξειδωση, τά επικαλύπτουμε ήλεκτρολυτικώς μέ ένα λεπτό στρώμα άπό νικέλιο, χρώμιο, άργυρο ή χρυσό. Τό μέταλλο πού θέλουμε νά επικαλύψουμε άποτελεί τήν *κάθοδο* τού βολταμέτρου, ένω ή άνοδος είναι μιά πλάκα άπό τό μέταλλο μέ τό όποιο θά κάνουμε τήν επικάλυψη. Ό *ήλεκτρολύτης* είναι διάλυμα άλατος τού ίδιου μετάλλου μέ τήν άνοδο. Κατά τήν ήλεκτρολύση τό άρνητικό ίόν, πού έρχεται στην άνοδο, προσβάλλει χημικώς τό μέταλλο τής άνόδου καί έτσι ένα-ένα τά άτομα τής άνόδου μεταφέρονται στην κάθοδο.

γ. Γαλβανοπλαστική. Μέ τή γαλβανοπλαστική αναπαράγουμε διάφορα αντικείμενα (π.χ. νομίσματα, μέταλλια, προτομές κ.ά.). Γι' αυτό τό σκοπό πρώτα παίρνουμε πάνω σε θερμή γουταπέρκα τή μήτρα, δηλαδή τό άκριβές άποτύπωμα τού αντικειμένου (σχ. 100). Ήπειτα σκεπάζουμε τήν επιφάνεια τής μήτρας μέ γραφίτη, για νά γίνει άγωγός, καί τή χρησιμοποιούμε ως κάθοδο. Πάνω σ' αυτή σχηματίζεται ένα στρώμα μετάλλου, όπως συμβαίνει καί κατά τήν ήπιμετάλλωση. Ή γαλβανοπλαστική έχει πολλές εφαρμογές (π.χ. στην τσιγκογραφία, στη βιομηχανία δίσκων γραμμοφώνου κ.ά.).

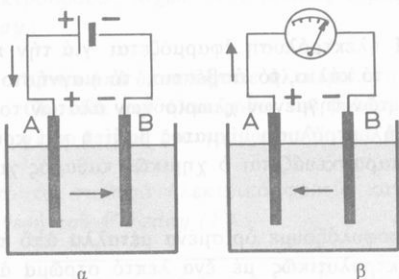


Σχ. 100. Γαλβανοπλαστική.

δ. Χημική βιομηχανία. Ή χημική βιομηχανία εφαρμόζει τήν ήλεκτρολύση σε πολλές περιπτώσεις, π.χ. μέ τήν ήλεκτρολύση παρασκευάζονται εύκολα οι μεγάλες ποσότητες καθαρού *ύδρογόνου* καί *όξυγόνου* πού χρειάζεται ή σύγχρονη χημική βιομηχανία.

70. Πόλωση τών ηλεκτροδίων βολταμέτρου

Μέσα σέ ένα βολτάμετρο υπάρχει διάλυμα θεικού οξέος καί τά τά δύο ηλεκτρόδια είναι από λευκόχρυσο. Μέ ένα βολτόμετρο βρίσκουμε ότι ή διαφορά δυναμικού μεταξύ τών δύο ηλεκτροδίων είναι ίση μέ μηδέν. Γενικά δύο ίδια ηλεκτρόδια, πού είναι βυθισμένα μέσα στόν ίδιο ηλεκτρολύτη, δέν παρουσιάζουν διαφορά δυναμικού.



Σχ. 101. Πειραματική απόδειξη τής πόλωσης τών ηλεκτροδίων τού βολταμέτρου.

α. Πόλωση τών ηλεκτροδίων. Έχουμε τό βολτάμετρο μέ τό διάλυμα τού θεικού οξέος καί τά δύο ηλεκτρόδια από λευκόχρυσο (σχ. 101α). Όταν συνδέσουμε τό βολτάμετρο μέ γεννήτρια, συμβαίνει ηλεκτρόλυση. Από τήν άνοδο (A) φεύγει οξυγόνο καί από τήν κάθοδο (K) φεύγει ύδρογόνο. Μέρος όμως από αυτά τά άέρια μένει πάνω στά ηλεκτρόδια καί έτσι γύρω από κάθε ηλεκτρόδιο σχηματίζεται ένα λεπτό στρώμα άερίου. Ωστε ή ηλεκτρόλυση προκαλεί *άλλαγή* στά ηλεκτρόδια, ή όποία ονομάζεται *πόλωση* τών ηλεκτροδίων. Τό βολτάμετρο είναι *αποδέκτης*, πού μετατρέπει τήν ηλεκτρική ενέργεια σέ χημική ενέργεια. Άρα :

Σέ ένα βολτάμετρο, πού στήν άρχή τά ηλεκτρόδιά του είναι ίδια, ή ηλεκτρόλυση προκαλεί *άλλαγές* στά ηλεκτρόδια (πόλωση).

Παρατήρηση. Πρίν γίνει ηλεκτρόλυση, υπάρχει *συμμετρία* στίς επαφές τών ηλεκτροδίων μέ τόν ηλεκτρολύτη, γιατί είναι :

Pt — ηλεκτρολύτης — Pt

Κατά τήν ηλεκτρόλυση συμβαίνει πόλωση τών ηλεκτροδίων, πού δημιουργεί *άσυμμετρία* στίς επαφές τών ηλεκτροδίων μέ τόν ηλεκτρολύτη, γιατί είναι :

Pt — ηλεκτρολύτης — Pt

σκεπασμένος
μέ οξυγόνο
(ηλεκτρόδιο A)

σκεπασμένος
μέ ύδρογόνο
(ηλεκτρόδιο B)

β. Βολτάμετρο μέ πολωμένα ηλεκτρόδια. Άφαιρούμε τή γεννήτρια από τό προηγούμενο κύκλωμα καί κλείνουμε τό κύκλωμα (σχ. 101β). Τότε τό κύκλωμα *διαρρέεται* από ρεύμα, πού έχει φορά *αντίθετη* μέ τή φορά τού

ρεύματος που προκαλέσει την ηλεκτρόλυση. Αυτό το ρεύμα διαρκεί λίγο χρόνο και προκαλεί νέα ηλεκτρόλυση, ή οποία εξαφανίζει την πόλωση των ηλεκτροδίων (γιατί στο ηλεκτρόδιο Α σχηματίζεται τώρα υδρογόνο, ενώ στο ηλεκτρόδιο Β σχηματίζεται οξυγόνο). Έτσι τα δύο ηλεκτρόδια παίρνουν πάλι την αρχική μορφή τους και τότε το ρεύμα διακόπτεται. Ωστε :

I. Ένα βολτάμετρο με πολωμένα ηλεκτρόδια είναι γεννήτρια, ή οποία δημιουργεί ρεύμα, που έχει φορά αντίθετη με τη φορά του ρεύματος που προκαλέσει την πόλωση των ηλεκτροδίων.

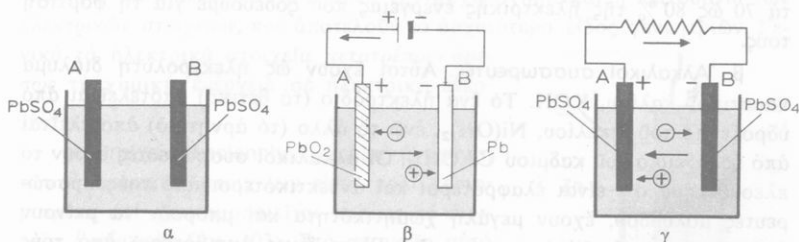
II. Το βολτάμετρο με τα πολωμένα ηλεκτρόδια είναι γεννήτρια, που έχει ορισμένη ηλεκτρεγερτική δύναμη.

71. Συσσωρευτές

Αν η πόλωση των ηλεκτροδίων του βολτάμετρου μπορεί να διατηρηθεί για αρκετό χρόνο, τότε το ρεύμα που προέρχεται από την πόλωση των ηλεκτροδίων θα έχει μεγάλη διάρκεια. Σ' αυτή την αρχή στηρίζεται η λειτουργία των *συσσωρευτών* που αποτελούν έναν πολύ εύχρηστο τύπο γεννητριών. Στην πράξη χρησιμοποιούνται κυρίως οι *συσσωρευτές μολύβδου και οι αλκαλικοί συσσωρευτές*.

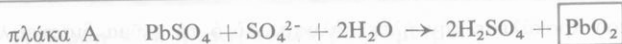
α. Συσσωρευτές μολύβδου. Αυτοί έχουν ως ηλεκτρολύτη διάλυμα θειικού οξέος και ως ηλεκτρόδια δύο πλάκες μολύβδου, οι οποίες μόλις βυθιστούν μέσα στο διάλυμα καλύπτονται με ένα στρώμα *θειικού μολύβδου*, $PbSO_4$ (σχ. 102α).

Φόρτιση. Κατά την ηλεκτρόλυση ο συσσωρευτής *φορτίζεται*, δηλαδή συμβαίνει αλλαγή στην επιφάνεια των δύο ηλεκτροδίων. Τότε γίνονται οι εξής χημικές αντιδράσεις (1):



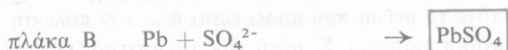
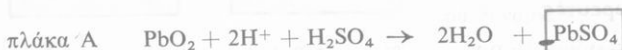
Σχ. 102. Συσσωρευτής (α πριν από τη φόρτιση, β φόρτιση, γ εκφόρτιση).

1. Οι χημικές αντιδράσεις που συμβαίνουν κατά τη φόρτιση και την εκφόρτιση του συσσωρευτή είναι πολύπλοκες, και γι' αυτό απλώς επισημαίνουμε την αλλαγή που συμβαίνει στα ηλεκτρόδια.



Παρατηρούμε ότι οι επιφάνειες των δύο πλακών άλλαξαν και έπομένως ο συσσωρευτής μπορεί να λειτουργήσει ως γεννήτρια, που έχει ηλεκτρογενετική δύναμη 2 Volt (σχ. 102β).

Έκφόρτιση. Ό συσσωρευτής, όταν λειτουργεί ως γεννήτρια, εκφορτίζεται. Τότε συμβαίνει πάλι ηλεκτρόλυση και γίνονται οι εξής χημικές αντιδράσεις:



Παρατηρούμε ότι κατά την εκφόρτιση καταστρέφεται η πόλωση των ηλεκτροδίων και οι επιφάνειές τους γίνονται ίδιες (σχ. 102γ). Ό συσσωρευτής παύει τότε να λειτουργεί ως γεννήτρια και πρέπει να γίνει πάλι ηλεκτρόλυση, για να πολωθούν τα ηλεκτρόδια.

Όνομάζεται *χωρητικότητα* του συσσωρευτή τό ηλεκτρικό φορτίο σε άμπερώρια (Ah) που δίνει ο συσσωρευτής, όταν γίνει τέλεια εκφόρτισή του. Η χωρητικότητα του συσσωρευτή εξαρτάται από τή μάζα των ηλεκτροδίων που μετέχει στις χημικές αντιδράσεις. Για να αυξηθεί αυτή ή μάζα, οι πλάκες έχουν κοιλότητες και μέσα σ' αυτές συμπιέζουμε κατάλληλα οξειδία του μολύβδου. Οι συσσωρευτές μās δίνουν ως ωφέλιμη ηλεκτρική ενέργεια τά 70 ως 80 % τής ηλεκτρικής ενέργειας που ξοδεύουμε για τή φόρτισή τους.

β. Άλκαλικοί συσσωρευτές. Αυτοί έχουν ως ηλεκτρολύτη διάλυμα καυστικού καλίου, KOH. Τό ένα ηλεκτρόδιο (τό θετικό) αποτελείται από ύδροξείδιο του νικελίου, Ni(OH)₂, ενώ τό άλλο (τό άρνητικό) αποτελείται από ύδροξείδιο του καδμίου Cd(OH)₂. Οι άλκαλικοί συσσωρευτές έχουν τό πλεονέκτημα ότι είναι ελαφρότεροι και άνθεκτικότεροι από τούς συσσωρευτές μολύβδου, έχουν μεγάλη χωρητικότητα και μπορούν να μείνουν άφόρτιστοι χωρίς να καταστραφούν. Είναι όμως άκριβότεροι από τούς συσσωρευτές μολύβδου, έχουν μικρότερη ηλεκτρογενετική δύναμη (1,3 V), μεγάλη έσωτερική αντίσταση (0,5 Ω) και ή απόδόσή τους σε ενέργεια φτάνει μόνο σε 50 %. Γι' αυτό στις πρακτικές εφαρμογές χρησιμοποιούμε κυρίως τούς συσσωρευτές μολύβδου.

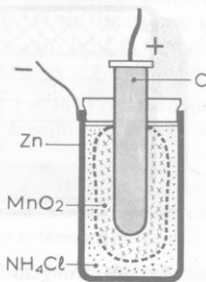
γ. Συσσωρευτές άργύρου. Αυτοί αποτελούν ένα νέο τύπο αλκαλικών συσσωρευτών, πού ως ηλεκτρολύτη έχουν αλκαλικό διάλυμα, και όταν είναι φορτισμένοι, τό θετικό ηλεκτρόδιο αποτελείται από *υπεροξειδίο άργύρου*, Ag_2O_2 , ενώ τό άρνητικό ηλεκτρόδιο αποτελείται από *ψευδάργυρο* Zn. Οί συσσωρευτές άργύρου έχουν μεγάλη απόδοση σε ενέργεια πού φτάνει σε 85 %, είναι έλαφροί και για τήν ίδια μάζα αποταμιεύουν 6 φορές μεγαλύτερη ενέργεια από τούς άλλους τύπους συσσωρευτών. Ή χρήση τους διαδίδεται πολύ γρήγορα.

δ. Έφαρμογές τών συσσωρευτών. Αν συνδέσουμε πολλούς συσσωρευτές κατά σειρά, σχηματίζουμε *συστοιχία συσσωρευτών* (μπαταρία). Τέτοιες συστοιχίες συσσωρευτών χρησιμοποιούνται σε αυτοκίνητα και πλοία για τό φωτισμό και για τή λειτουργία τών κινητήρων, στά όρυχεία για τή λειτουργία φορητών ηλεκτρικών λαμπτήρων, στά ύποβρύχια για τήν κίνησή τους, όταν είναι βυθισμένα μέσα στη θάλασσα. Σε μερικές περιπτώσεις (π.χ. για άκουστικά βαρυκοΐας) χρησιμοποιούνται οί έλαφροί και στεγανοί συσσωρευτές νικελίου-καδμίου. Στά έργοστάσια ηλεκτροπαραγωγής υπάρχουν συστοιχίες συσσωρευτών, οί όποίες αποταμιεύουν τήν ηλεκτρική ενέργεια πού περισσεύει κατά τίς ώρες πού ή ζήτηση είναι έλαττωμένη και τή δίνουν στο κύκλωμά κατά τίς ώρες πού ή ζήτηση είναι μεγάλη (ώρες αιχμής).

72. Ήλεκτρικά στοιχεία

Στό φορτισμένο συσσωρευτή δύο διαφορετικά ηλεκτρόδια είναι βυθισμένα μέσα στον ίδιο ηλεκτρολύτη. Τότε ή διάταξη αυτή είναι *γεννήτρια* με όρισμένη ηλεκτρεγερτική δύναμη, πού είναι ανεξάρτητη από τίς διαστάσεις τής συσκευής και εξαρτάται μόνο από τή φύση τών δύο ηλεκτροδίων και του ηλεκτρολύτη. Σ' αυτή τήν άρχή στηρίζεται ή λειτουργία τών *ηλεκτρικών στοιχείων*, πού αποτελούν τό άρχαιότερο είδος γεννητριών. Γενικά τά ηλεκτρικά στοιχεία *μετατρέπουν άμέσως* τή χημική ενέργεια σε ηλεκτρική ενέργεια.

α. Στοιχείο Leclanché. Σήμερα ή χρήση τών ηλεκτρικών στοιχείων είναι πολύ περιορισμένη και χρησιμοποιείται κυρίως τό *στοιχείο Leclanché* (σχ. 103). Στό στοιχείο αυτό θετικό ηλεκτρόδιο είναι μία ράβδος από άνθρακα (C), άρνητικό ηλεκτρόδιο είναι ένας κύλινδρος από *ψευδάργυρο* (Zn), και *ηλεκτρολύτης* είναι ύδατικό διάλυμα *χλωριούχου άμμου*



Σχ. 103. Στοιχείο Leclanché.

νίου (NH_4Cl) που έχει διαποτίσει κατάλληλη ουσία (συνήθως σκόνη ξύλου). Γύρω από τον άνθρακα υπάρχει *υπεροξειδίο του μαγγανίου* (MnO_2). Στο εξωτερικό κύκλωμα τό ρεύμα έχει (συμβατική) φορά από τον άνθρακα (+ πόλος) προς τον ψευδάργυρο (— πόλος) και μέσα στο στοιχείο έχει φορά από τον ψευδάργυρο προς τον άνθρακα.

Αρχικά στο διάλυμα υπάρχουν ιόντα άμμωνίου NH_4^+ και ιόντα χλωρίου Cl^- . Κατά τή λειτουργία του στοιχείου τά ιόντα χλωρίου Cl^- έρχονται στον ψευδάργυρο και σχηματίζεται χλωριούχος ψευδάργυρος (ZnCl_2), ενώ τά ιόντα άμμωνίου NH_4^+ έρχονται στον άνθρακα, όπου τελικά σχηματίζεται άμμωνία (NH_3), που διαλύεται στο νερό του διαλύματος, και υδρογόνο (H_2) που καίγεται με τό δξυγόνο του υπεροξειδίου του μαγγανίου (MnO_2).

Τό στοιχείο Leclanché έχει ήλεκτρεγερτική δύναμη 1,5 Volt και είναι πολύ εύχρηστο, γιατί δέν έχει ύγρά (*ξηρό στοιχείο*).

Παρατήρηση. Κατά τή λειτουργία του στοιχείου Leclanché συμβαίνουν οί εξής χημικές αντιδράσεις:

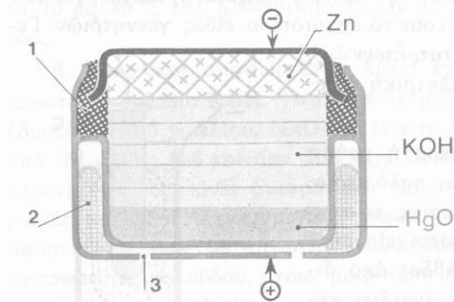
στον ψευδάργυρο (άνοδος για τό ρεύμα μέσα στο στοιχείο)



στον άνθρακα (κάθοδος για τό ρεύμα μέσα στο στοιχείο)



β. Στοιχείο με υδράργυρο. Τά τελευταία χρόνια (από τό 1950) χρησιμοποιούμε σε πολλές περιπτώσεις ένα νέο στοιχείο, τό *στοιχείο με υδράργυρο*. Αυτό έχει θετικό πόλο *οξειδίο του υδραργύρου* (HgO), άρνητικό πόλο άμάλγαμα ψευδαργύρου και ήλεκτρολύτη διάλυμα καυστικού καλίου (KOH)



Σχ. 104. Στοιχείο με υδράργυρο.

(1 μονωτής, 2 ουσία άπορροφήσεως των αερίων, 3 έξοδος των αερίων).

που έχει διαποτίσει κατάλληλη ουσία (σχ. 104). Τό στοιχείο με υδράργυρο έχει ήλεκτρεγερτική δύναμη 1,4 Volt, που διατηρείται σταθερή για μεγάλο χρονικό διάστημα (πάνω από ένα χρόνο), έχει μικρές διαστάσεις (διάμετρο περίπου ένα εκατοστόμετρο και ύψος λίγα χιλιοστόμετρα), και πολύ μικρό βάρος. Με τό στοιχείο αυτό εφοδιάζουμε σήμερα διάφορες μικρές συ-

σκευές; π.χ. ακουστικά, φωτογραφικές μηχανές, ηλεκτρικά ρολόγια του χεριού, μικρούς ηλεκτρονικούς υπολογιστές, αναπτήρες κ.ά.

ΠΡΟΒΛΗΜΑΤΑ

99. Από ένα βολτάμετρο που περιέχει διάλυμα οξέος περνάει ρεύμα έντασης $I = 10 \text{ A}$. Επί πόσο χρόνο t πρέπει να περάσει τό ρεύμα, για να λάβουμε στην κάθοδο μάζα υδρογόνου ίση με $m = 0,2 \text{ gr}$; Άτομική μάζα $A = 1$, σθένος $n = 1$.

100. Από ένα βολτάμετρο που περιέχει διάλυμα νιτρικού άργύρου περνάει επί 5 ώρες ($t = 5 \text{ h}$) ρεύμα έντασης I . Στην κάθοδο συλλέγεται μάζα άργύρου ίση με $m = 16,2 \text{ gr}$. Πόση είναι η ένταση του ρεύματος; Άτομική μάζα Ag : $A = 108$, σθένος $n = 1$.

101. Από ένα βολτάμετρο που περιέχει διάλυμα άλατος τρισθενούς σιδήρου περνάει ηλεκτρικό φορτίο $Q = 0,2 \text{ F}$. Πόση μάζα σιδήρου συλλέγεται στην κάθοδο; Άτομική μάζα σιδήρου (Fe^{3+}): $A = 55,85$.

102. Πόση μάζα κασσιτέρου και πόση μάζα ψευδαργύρου συλλέγεται αντίστοιχα στην κάθοδο του βολταμέτρου, όταν από τό βολτάμετρο περάσει τό ίδιο ηλεκτρικό φορτίο που προκαλεί την απόθεση πάνω στην κάθοδο μάζας άργύρου $m = 2 \text{ gr}$; Άτομικές μάζες: άργύρου (Ag^+): $A = 107,88$, κασσιτέρου (Sn^{2+}): $A = 118,69$, ψευδαργύρου (Zn^{2+}): $A = 65,37$.

103. Μιά σιδερένια πλάκα, που η επιφάνειά της έχει έμβαδό $S = 100 \text{ cm}^2$, θέλουμε να την επικαλύψουμε ηλεκτρολυτικά με ένα στρώμα από χαλκό που να έχει πάχος $a = 2 \text{ mm}$. Τό ρεύμα έχει ένταση $I = 5 \text{ A}$. Πόσο χρόνο t θα διαρκέσει η ηλεκτρόλυση; Άτομική μάζα Cu : $A = 63,6$, σθένος $n = 2$, πυκνότητα $\rho = 8,8 \text{ gr/cm}^3$.

104. Από μία ηλεκτρόλυση συλλέγουμε στην κάθοδο μάζα χαλκού ίση με $m = 128 \text{ gr}$. Πόση ηλεκτρική ενέργεια ξοδεύεται, όταν η ηλεκτρόλυση γίνεται με τάση $U_1 = 2 \text{ V}$ και όταν γίνεται με τάση $U_2 = 10 \text{ V}$; Πόσος είναι ο λόγος αυτών των δύο ενεργειών E_1 και E_2 ; Σέ ποιά περίπτωση ξοδεύεται λιγότερη ενέργεια; $A = 64$, $n = 2$.

105. Σέ μία ηλεκτρόλυση οξειδίου του άργιλιού στην κάθοδο συλλέγεται κάθε ώρα ($t = 1 \text{ h}$) μάζα άργιλιού ίση με $m = 6700 \text{ gr}$. Στους πόλους του βολταμέτρου εφαρμόζεται τάση $U = 5 \text{ V}$ και τό βολτάμετρο έχει αντίσταση $r = 1,1 \cdot 10^{-4} \Omega$. α) Πόση ισχύς μετατρέπεται μέσα στό βολτάμετρο σέ θερμότητα και πόση σέ χημική ισχύ; β) Πόση ισχύς ξοδεύεται, για να ελευθερωθεί 1 gr άργιλιού; Άτομική μάζα Al : $A = 27$, σθένος $n = 3$.

106. Μέ ρεύμα έντασης $I = 3 \text{ A}$ φορτίζουμε επί 10 ώρες ($t = 10 \text{ h}$) ένα συσσωρευτή. Πόσο ηλεκτρικό φορτίο θά μάς δώσει ο συσσωρευτής, όταν εκφορτιστεί, αν η απόδοσή του σέ ηλεκτρικό φορτίο είναι 90 %.

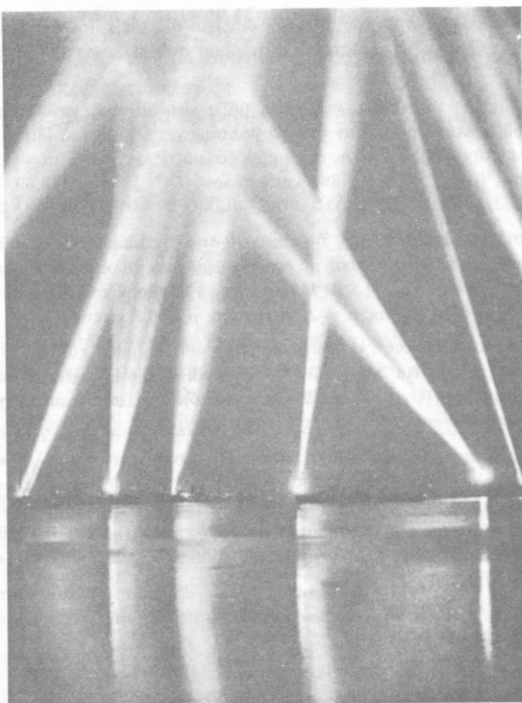
107. Ένας συσσωρευτής έχει χωρητικότητα 30 άμπερώρια ($Q = 30 \text{ Ah}$) και λειτουργεί ώσπου να δώσει τά 2/3 του φορτίου Q που έχει αποταμιεύσει. Πόσες ώρες μπορεί αυτός ο συσσωρευτής να τροφοδοτήσει ένα λαμπτήρα με ρεύμα έντασης $I = 0,5 \text{ A}$;

108. Μιά συστοιχία συσσωρευτών έχει χωρητικότητα $Q_0 = 50 \text{ Ah}$, ηλεκτρεγερτική δύναμη $E = 80 \text{ V}$, άσήμαντη έσωτερική αντίσταση και τροφοδοτεί 10 λαμπτήρες πυρακτώσεως, που συνδέονται παράλληλα και ό καθένας έχει ισχύ καταναλώσεως $P_1 = 25 \text{ W}$.

Οι άλλοι άγωγοί του κυκλώματος έχουν άσημαντη αντίσταση. α) Πόση πρέπει να είναι η αντίσταση κάθε λαμπτήρα και πόση είναι η ένταση I_1 του ρεύματος που περνάει από κάθε λαμπτήρα ; β) Πόσες ώρες μπορεί η συστοιχία να τροφοδοτήσει ταυτόχρονα τους 10 λαμπτήρες, αν η απόδοσή της σε ηλεκτρικό φορτίο είναι 85 % ; Πόση ενέργεια δίνει η συστοιχία στο κύκλωμα ;

109. Πόσο είναι σε άμπεράρια το μέγιστο ηλεκτρικό φορτίο που μπορεί να δώσει ένα στοιχείο Leclanché, αν κατά τη λειτουργία του στοιχείου χρησιμοποιηθεί όλη η μάζα του ψευδαργύρου $m = 200 \text{ gr}$; Άτομική μάζα Zn : $A = 65$, σθένος $n = 2$.

110. Τρία στοιχεία Leclanché συνδέονται κατά σειρά. 'Η συστοιχία δίνει σε ένα κύκλωμα ρεύμα έντασεως $I = 2 \text{ A}$ επί 25 ώρες ($t = 25 \text{ h}$). Πόση μάζα ψευδαργύρου ξοδεύεται σ' αυτό το χρονικό διάστημα ; Άτομική μάζα Zn : $A = 65$, σθένος $n = 2$.



Φωτεινές δέσμες προβολών.

ΟΠΤΙΚΗ

Διάδοση του φωτός

73. Όρισμοί

Όνομάζουμε *φως* τό φυσικό αίτιο πού διεγείρει τό μάτι μας καί τό κάνει νά βλέπουμε. Τό πείραμα απέδειξε ότι τό φως είναι μιά *μορφή ενέργειας*, πού διαδίδεται μέ τά ηλεκτρομαγνητικά κύματα.

Ένα σῶμα είναι ὀρατό, όταν στέλνει φως στό μάτι μας. Μερικά σώματα ἐκπέμπουν ἀπό μόνα τους φως καί ὀνομάζονται *αὐτόφωτα σώματα* ἢ *φωτεινές πηγές* (Ἥλιος, ἀπλανεῖς ἀστέρες, φλόγες). Ένα σῶμα, πού δέν είναι αὐτόφωτο, γίνεται ὀρατό μόνο όταν πέφτει πάνω του τό φως μιᾶς φωτεινῆς πηγῆς καί ἕνα μέρος αὐτοῦ τοῦ φωτός ἐκπέμπεται ἀπό τό σῶμα. Αὐτά τά σώματα ὀνομάζονται *ἐτερόφωτα σώματα* (Σελήνη, πλανῆτες, τά περισσότερα ἀπό τά γύρω μας σώματα). Τό φως, πού ἐκπέμπουν οἱ διάφορες φωτεινές πηγές (φυσικές καί τεχνητές), ἔχει τήν ἴδια φύση καί ἀκολουθεῖ τούς ἴδιους νόμους. Όνομάζουμε *διαφανή σώματα* ἐκεῖνα πού ἀφήνουν τό φως νά περάσει μέσα ἀπό τήν ὕλη τους (γυαλί, ἄερας, νερό σέ μικρό πάχος). Ἀντίθετα πολλά σώματα δέν ἀφήνουν τό φως νά περάσει μέσα ἀπό τήν ὕλη τους καί ὀνομάζονται *ἀδιαφανή* (πλάκα ἀπό μέταλλο, ξύλο κ.ἄ.). Μερικά ἄλλα σώματα (ὀρισμένα εἶδη γυαλιοῦ), πού τά ὀνομάζουμε *ἡμιδιαφανή*, ἀφήνουν τό φως νά περάσει, ἀλλά δέν ἐπιτρέπουν νά διακρίνεται τό σχῆμα τῶν φωτεινῶν ἀντικειμένων. Ἡ διάκριση τῶν σωμάτων σέ διαφανή, ἀδιαφανή καί ἡμιδιαφανή δέν είναι ἀπόλυτη, γιατί π.χ. τό νερό, όταν σχηματίζει παχύ στρώμα είναι ἀδιαφανές, ἐνῶ ἀντίθετα, ἕνα πολύ λεπτό φύλλο χρυσοῦ είναι ἡμιδιαφανές.

Όλες οἱ συνηθισμένες φωτεινές πηγές ἔχουν διαστάσεις, σέ πολλές ὁμως περιπτώσεις δεχόμαστε ὅτι ἡ φωτεινή πηγή δέν ἔχει διαστάσεις καί

τότε λέμε ότι ή φωτεινή πηγή είναι *φωτεινό σημείο*, πού εκπέμπει φῶς πρὸς ὅλες τὶς διευθύνσεις.

74. Εὐθύγραμμη διάδοση τοῦ φωτός

Ἀπό διάφορα φαινόμενα τῆς καθημερινῆς ζωῆς (π.χ. τὸ σχηματισμὸ τῆς σκιάς ἑνὸς σώματος), κυρίως ὅμως ἀπὸ τῆ μελέτη τῶν ὀπτικῶν φαινομένων συνάγεται ὁ ἀκόλουθος νόμος τῆς *εὐθύγραμμης διαδόσεως τοῦ φωτός*:

Μέσα σέ ὁμογενές καί ἰσότροπο μέσο τὸ φῶς διαδίδεται εὐθύγραμμα.



Σχ. 105. Φωτεινές δέσμες (α συγκλίνουσα, β ἀποκλίνουσα, γ παράλληλη).

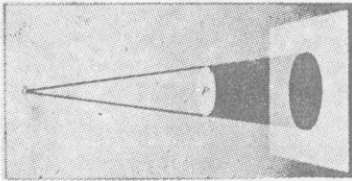
Πολλές φωτεινές ἀκτίνες ἀποτελοῦν μιὰ *φωτεινὴ δέσμη*. Ἄν ὅλες οἱ ἀκτίνες μιᾶς φωτεινῆς δέσμης περνοῦν ἀπὸ ἕνα σημεῖο, τότε ή δέσμη ὀνομάζεται *στιγματική* καί τὸ θεωρούμενο σημεῖο ὀνομάζεται ἔστια τῆς δέσμης. Μιὰ φωτεινὴ δέσμη μπορεῖ νά εἶναι *συγκλίνουσα*, *ἀποκλίνουσα* ἢ *παράλληλη* (σχ. 105).

75. Γεωμετρική καί Φυσική Ὀπτική

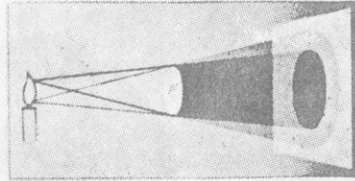
Ὀνομάζεται Ὀπτική τὸ μέρος τῆς Φυσικῆς πού ἐξετάζει τὶς ἰδιότητες τοῦ φωτός καί τὰ φαινόμενα πού προκαλεῖ τὸ φῶς (*ὀπτικά φαινόμενα*). Πολλά ὀπτικά φαινόμενα μποροῦμε νά τὰ ἐξετάσουμε χωρὶς νά λάβουμε ὑπόψη τῆ *φύση* τοῦ φωτός. Σ' αὐτὰ τὰ φαινόμενα οἱ φωτεινές ἀκτίνες θεωροῦνται ὡς γεωμετρικές ἀκτίνες καί ἰσχύει ὁ νόμος τῆς εὐθύγραμμης διαδόσεως τοῦ φωτός. Αὐτός ὁ τρόπος μελέτης τῶν ὀπτικῶν φαινομένων ἀποτελεῖ τῆ *Γεωμετρικὴ Ὀπτική*. Ὑπάρχουν ὅμως καί ὀπτικά φαινόμενα πού, γιὰ νά τὰ ἐξηγήσουμε, πρέπει νά λάβουμε ὑπόψη ὅτι τὸ φῶς διαδίδεται μέ κύματα. Αὐτός ὁ τρόπος μελέτης τῶν ὀπτικῶν φαινομένων ἀποτελεῖ τῆ *Φυσικὴ ἢ Κυματική Ὀπτική* καί ἐρμηνεύει τὸ σύνολο τῶν ὀπτικῶν φαινομένων.

76. Ἀποτελέσματα τῆς εὐθύγραμμης διαδόσεως τοῦ φωτός

α. Σκιά. Ἄν στήν πορεία τῶν φωτεινῶν ἀκτίνων βρεθεῖ ἕνα ἀδιαφανές σῶμα, τότε πίσω ἀπὸ τὸ σῶμα ὑπάρχει ἕνας χῶρος, στὸν ὁποῖο δέν μπαίνει φῶς. Ὁ χῶρος αὐτός ὀνομάζεται *σκιά*. Ὄταν ή φωτεινὴ πηγή εἶναι *σημεῖο*



Σχ. 106. Σχηματισμός σκιάς.

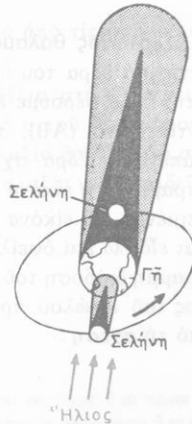


Σχ. 107. Σκιά και παρασκιά.

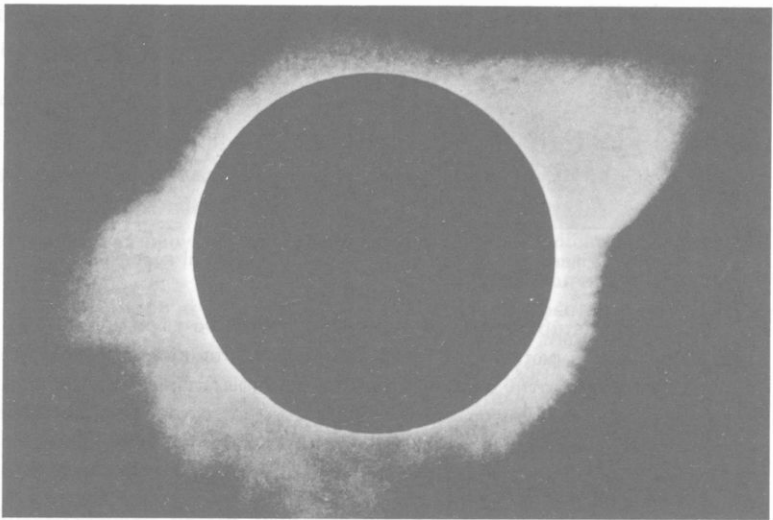
(σχ. 106), τότε ή μετάβαση από τό σκοτεινό στό φωτεινό χώρο γίνεται απότομα. Όταν όμως ή φωτεινή πηγή έχει διαστάσεις, τότε πίσω από τό σώμα σχηματίζεται ή σκιά, στήν όποία δέν μπαίνει καμιά φωτεινή ακτίνα, και άκόμη σχηματίζεται και ή παρασκιά, δηλαδή ένας χώρος στόν όποιο φτάνουν φωτεινές άκτίνες, που προέρχονται μόνο από όρισμένα σημεία τής φωτεινής πηγής (σχ. 107). Σ' αυτή τήν περίπτωση ή μετάβαση από τό σκοτεινό στό φωτεινό χώρο γίνεται βαθμιαία.

β. Έκλείψεις τής Σελήνης και του Ήλιου. Οί έκλείψεις τής Σελήνης οφείλονται στή σκιά που σχηματίζεται πίσω από τή Γη (σχ. 108). Σέ όρισμένες περιπτώσεις, όταν ή Σελήνη βρίσκεται σέ αντίθεση (δηλαδή είναι πανσέληνος), όλόκληρη ή μέρος της μπαίνει μέσα στή σκιά τής Γης και δέ φωτίζεται από τόν Ήλιο. Τότε όλόκληρος ό δίσκος τής Σελήνης ή μέρος του γίνεται άόρατος για τούς κατοίκους τής Γης που βρίσκονται στό σκοτεινό ήμισφαίριο τής Γης.

Οί έκλείψεις του Ήλιου οφείλονται στή σκιά, που σχηματίζεται πίσω από τή Σελήνη (σχ. 108). Σέ όρισμένες πάλι περιπτώσεις ή Σελήνη, όταν βρίσκεται σέ σύνοδο (δηλαδή είναι νέα Σελήνη), μπορεί νά βρεθεί μεταξύ του Ήλιου και τής Γης. Τότε ή σκιά τής Σελήνης πέφτει πάνω σέ ένα τμήμα τής επιφάνειας τής Γης. Οί τόποι τής Γης που βρίσκονται μέσα στή σκιά τής Σελήνης έχουν *ολική* έκλειψη Ήλιου (σχ. 109), ενώ οί τόποι που είναι μέσα στήν παρασκιά τής Σελήνης έχουν *μερική* έκλειψη και έπομένως ένα τμήμα του δίσκου του Ήλιου εξακολουθεί νά είναι όρατό.

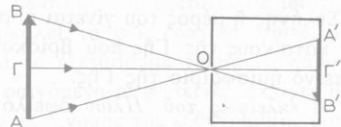


Σχ. 108. Έξήγηση των έκλειψεων του Ήλιου και τής Σελήνης (1 έκλειπτική, 2 τροχιά τής Σελήνης).



Σχ. 109. Όλική έκλειψη του Ήλιου (Χαρτούμ, 1952).

γ. Σκοτεινός θάλαμος. Ο σκοτεινός θάλαμος είναι κλειστό κιβώτιο, πού στη μιά έδρα του υπάρχει μικρή τρύπα Ο (σχ. 110). Αν εμπρός από αυτή τήν έδρα φέρουμε ένα φωτεινό αντικείμενο (ΑΒ), τότε πάνω στην απέναντι έδρα σχηματίζεται αντιστραμμένη ή εικόνα (Α'Β') του αντικειμένου. Η εικόνα αυτή ονομάζεται *είδωλο* και οφείλεται στην εϋθύγραμμη διάδοση του φωτός. Το μέγεθος του ειδώλου προσδιορίζεται από τή σχέση :



Σχ. 110. Σκοτεινός θάλαμος.

$$\frac{A'B'}{AB} = \frac{OG'}{OG}$$

77. Ταχύτητα διαδόσεως του φωτός

Όταν τό φως διαδίδεται στην επιφάνεια τής Γης από έναν τόπο σέ άλλο, φαίνεται ότι δέν μεσολαβεί αισθητός χρόνος από τή στιγμή, πού φεύγει τό φως από τόν έναν τόπο, ως τή στιγμή πού φτάνει στόν άλλο τόπο. Πρω-

τους ο Δανός αστρονόμος Rømer (1675) βρήκε ότι το φως μέσα σε 1000 δευτερόλεπτα διατρέχει τη διάμετρο της τροχιάς της Γης, που είναι ίση με 300 εκατομμύρια χιλιόμετρα. Άρα η ταχύτητα του φωτός στο κενό (c_0) είναι :

$$c_0 = \frac{s}{t} = \frac{300\,000\,000\text{ km}}{1000\text{ sec}} \quad \text{ή} \quad c_0 = 300\,000\text{ km/sec}$$

Με διάφορες μεθόδους μετράμε σήμερα την ταχύτητα διαδόσεως του φωτός και γενικά των ηλεκτρομαγνητικών κυμάτων. Από αυτές τις μετρήσεις καταλήγουμε στα ακόλουθα συμπεράσματα :

I. Στο κενό η ταχύτητα του φωτός (c_0) είναι 300 000 km/sec (ή ακριβέστερα 299 792 km/sec).

$$\text{ταχύτητα φωτός στο κενό } c_0 = 3 \cdot 10^8 \text{ m/sec}$$

II. Στόν αέρα η ταχύτητα του φωτός ελάχιστα διαφέρει από την ταχύτητα του φωτός στο κενό.

III. Στα διαφανή υλικά η ταχύτητα του φωτός είναι μικρότερη από την ταχύτητα του φωτός στο κενό.

Η ταχύτητα του φωτός (c_0) στο κενό είναι μία από τις σπουδαιότερες παγκόσμιες σταθερές.

Σημείωση. Το φως για να φτάσει από τον Ήλιο στη Γη χρειάζεται 8,5 min. Ο πλησιέστερος στη Γη άπλανής είναι ο α του Κενταύρου, που απέχει από τη Γη 4,3 έτη φωτός. Οι άστρες του Γαλαξία βρίσκονται σε απόσταση 3000 - 10 000 έτη φωτός και οι έξω από το Γαλαξία νεφελοειδείς απέχουν από τη Γη εκατομμύρια έτη φωτός.

ΠΡΟΒΛΗΜΑΤΑ

111. Μία φωτεινή πηγή που θεωρείται σημείο βρίσκεται σε ύψος 5 m πάνω από το έδαφος. Μία κατακόρυφη ράβδος έχει μήκος 2 m και βρίσκεται σε απόσταση 3 m από την κατακόρυφο που περνάει από τη φωτεινή πηγή. Πόσο είναι το μήκος της σκιάς της ράβδου πάνω στο έδαφος;

112. Δύο σφαίρες Α και Α' έχουν αντίστοιχα ακτίνες Ρ και ρ και η απόσταση μεταξύ των κέντρων τους Ο και Ο' είναι δ. Η μεγαλύτερη σφαίρα Α είναι φωτεινή πηγή, ενώ η μικρότερη σφαίρα Α' είναι αδιαφανής. Πόσο μήκος έχει ο σκοτεινός κώνος που σχηματίζεται πίσω από τη σφαίρα Α' ;

'Εφαρμογή : $P = 108 \rho$ και $\delta = 23\ 240 \rho$ (ρ είναι η ακτίνα της Γῆς, P η ακτίνα του Ἡλίου και δ ἡ ἀπόσταση τῶν κέντρων Ἡλίου και Γῆς).

113. Δύο ἴσες σφαίρες A και A' ἔχουν ακτίνα ρ και ἡ ἀπόσταση τῶν κέντρων τους O και O' εἶναι δ . Ἡ σφαῖρα A εἶναι φωτεινὴ πηγὴ, ἐνῶ ἡ σφαῖρα A' εἶναι ἀδιαφανής. Πίσω ἀπὸ τὴ σφαῖρα A' και σὲ ἀπόσταση ε ἀπὸ τὸ κέντρο της O' ὑπάρχει ἐπίπεδο διάφραγμα πού εἶναι κάθετο στὴν εὐθεία OO' . Νά βρεθοῦν οἱ ἀκτίνες τῶν κύκλων τῆς σκιάς και τῆς παρασκιάς πού σχηματίζονται πάνω στοῦ διάφραγμα.

'Εφαρμογή : $\rho = 10$ cm, $\delta = 40$ cm και $\varepsilon = 20$ cm.

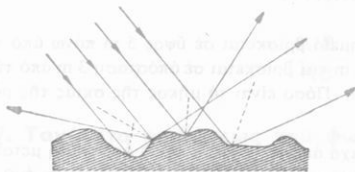
114. Ἐμπρὸς ἀπὸ ἓνα κατακόρυφο διάφραγμα και σὲ ἀπόσταση 10 cm ἀπὸ αὐτὸ βρίσκεται ἀδιαφανὴς ράβδος μήκους 2 cm. Ἡ ράβδος εἶναι ὀριζόντια και παράλληλη μὲ τὸ διάφραγμα. Δύο σημειακὲς φωτεινὲς πηγές A και B βρίσκονται στοῦ ἴδιο ὀριζόντιο ἐπίπεδο μὲ τὴ ράβδο και ἀπέχουν 1 m ἀπὸ τὸ διάφραγμα. Πάνω στοῦ διάφραγμα σχηματίζονται δύο εὐθύγραμμες σκιές τῆς ράβδου πού ἔχουν μιά ἀπὸ τὶς ἄκρες τους κοινὴ. Νά βρεθεῖ τὸ μήκος τῆς σκοτεινῆς εὐθείας πού σχηματίζεται πάνω στοῦ διάφραγμα και ἡ ἀπόσταση AB τῶν δύο φωτεινῶν πηγῶν.

115. Ἐνας σκοτεινὸς θάλαμος ἔχει σχῆμα κύβου και ἡ ἀκμὴ του ἔχει μήκος 50 cm. Στὸ κέντρο τῆς μιᾶς κατακόρυφης ἔδρας του ὑπάρχει ἓνα μικρὸ κυκλικὸ ἄνοιγμα και στὴν ἀπέναντι κατακόρυφη ἔδρα σχηματίζεται τὸ εἶδωλο ἑνὸς κατακόρυφου ἀντικειμένου πού ἔχει ὕψος $AB = 300$ m. Ἐν τὸ μήκος τοῦ εἰδώλου εἶναι $A'B' = 3$ cm, πόση εἶναι ἡ ἀπόσταση τοῦ ἀντικειμένου ἀπὸ τὸ σκοτεινὸ θάλαμο ;

'Ανάκλαση τοῦ φωτός

78. Διάχυση και ἀνάκλαση τοῦ φωτός

Ἐπὸ μιά μικρὴ τρύπα μπαίνει μέσα σὲ σκοτεινὸ δωμάτιο μιά λεπτὴ δέσμη ἡλιακοῦ φωτός, πού πέφτει πάνω σὲ λευκὸ χαρτί. Σὲ ὁποιοδήποτε σημεῖο τοῦ δωματίου κι ἂν σταθοῦμε, βλέπουμε τὸ χαρτί. Αὐτὸ φανερώνει ὅτι τὸ χαρτί *διασκορπίζει* πρὸς ὅλες τὶς διευθύνσεις τὸ φῶς πού πέφτει πάνω του (σχ. 111). Τὸ φαινόμενο αὐτὸ ὀνομάζεται *διάχυση* τοῦ φωτός. Ὅλα τὰ γύρω μας σώματα, πού δὲν εἶναι αὐτόφωτα, γίνονται ὀρατὰ χάριη στὴ διάχυση.

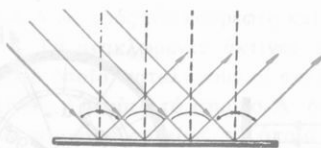


Σχ. 111. Διάχυση τοῦ φωτός ἀπὸ ἀνώμαλη ἐπιφάνεια.

Τὸ *διάχυτο* φῶς τῆς ἡμέρας ὀφείλεται στὴ διάχυση τοῦ ἡλιακοῦ φωτός, τὴν ὁποία προκαλοῦν ἡ ἐπιφάνεια τῆς Γῆς, τὰ σώματα πού βρίσκονται πάνω της και τὰ διάφορα συστατικὰ τῆς ἀτμόσφαιρας.

Ἐν ἡ λεπτὴ δέσμη ἡλιακοῦ φωτός πέσει πάνω σὲ μιά λεία και γυαλιστερὴ μεταλλικὴ πλάκα, τό-

τε ἡ φωτεινὴ δέσμη ἀλλάζει πορεία καὶ κατευθύνεται πρὸς ὀρισμένη δι-
εὐθύνση (σχ. 112). Τὸ φαινόμενο αὐ-
τὸ ὀνομάζεται ἀνάκλαση τοῦ φω-
τός. Ὡστε ἡ διάχυση συμβαίνει, ὅ-
ταν τὸ φῶς πέφτει πάνω σὲ τραχιὰ
καὶ ἀνώμαλη ἐπιφάνεια, ἐνῶ ἡ ἀνά-
κλαση συμβαίνει, ὅταν τὸ φῶς πέ-
φτει πάνω σὲ λεία καὶ γυαλιστερὴ (στιλπνὴ) ἐπιφάνεια.



Σχ. 112. Ἀνάκλαση τοῦ φωτός ἀπὸ
λεία καὶ γυαλιστερὴ ἐπιφάνεια.

Ἄλλὰ καὶ μιά λεία καὶ γυαλιστερὴ ἐπιφάνεια ἔχει πάντοτε μικρὲς ἀνω-
μαλίες, πού προκαλοῦν μικρὴ διάχυση. Αὐτὸ φαίνεται ἀπὸ τὸ ὅτι ἡ φωτεινὴ
κηλίδα, πού σχηματίζεται πάνω στὴ μεταλλικὴ πλάκα, εἶναι ὄρατὴ ἀπὸ
ὀποιοδήποτε σημεῖο τοῦ δωματίου παρατηροῦμε τὴν πλάκα.

79. Ἀνάκλαση τοῦ φωτός

α. Ὅρισμοί. Οἱ ἐπιφάνειες πού προκαλοῦν ἀνάκλαση τοῦ φωτός ὀνο-
μάζονται καθρέφτες (κάτοπτρα). Ἀνάλογα μὲ τὴ μορφή πού ἔχει ἡ ἐπιφά-
νεια τοῦ καθρέφτη, διακρίνομε τούς καθρέφτες σὲ ἐπίπεδους, σφαιρικούς,

παρabolικούς, κυλινδρικούς. Ἡ ἄ-
κτινα ΑΟ (σχ. 113) ὀνομάζεται
προσπίπτουσα ἄκτινα καὶ ἡ ἄκτινα
ΟΒ ὀνομάζεται ἀνακλώμενη ἄκτι-
να. Ἄν στὸ σημεῖο Ο φέρουμε τὴν
κάθετο ΚΟ στὸν καθρέφτη, τότε
σχηματίζονται ἡ γωνία προσπίτ-
σεως ΑΟΚ = π καὶ ἡ γωνία ἀνα-
κλάσεως ΚΟΒ = α . Τὸ ἐπίπεδο
ΑΟΚ, πού ὀρίζουν ἡ προσπίπτου-
σα ἄκτινα ΑΟ καὶ ἡ κάθετος ΚΟ,
ὀνομάζεται ἐπίπεδο προσπίτσεως.

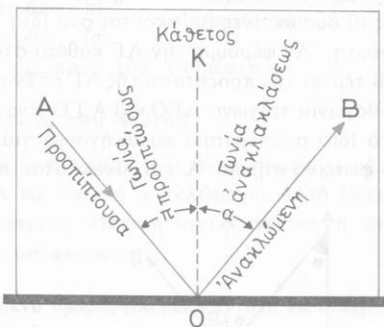
β. Νόμοι τῆς ἀνακλάσεως. Ἡ
θεωρητικὴ καὶ πειραματικὴ ἔρευνα
ἀπέδειξε ὅτι ἰσχύουν οἱ ἐξῆς νόμοι
τῆς ἀνακλάσεως τοῦ φωτός :

I. Ἡ προσπίπτουσα καὶ ἡ ἀνακλώμενη ἄκτινα βρίσκονται πάνω στὸ
ἐπίπεδο προσπίτσεως.

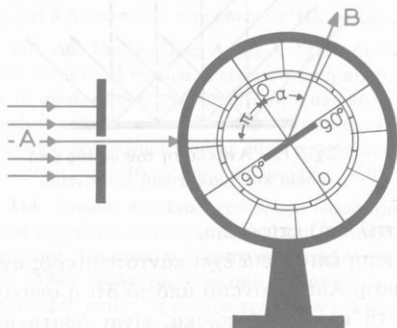
II. Ἡ γωνία ἀνακλάσεως εἶναι ἴση μὲ τὴ γωνία προσπίτσεως.

Ὡστε, ἂν ἡ προσπίπτουσα ἄκτινα εἶναι κάθετος στὸν καθρέφτη ($\pi = 0^\circ$),
τότε καὶ ἡ ἀνακλώμενη ἄκτινα εἶναι κάθετος στὸν καθρέφτη ($\alpha = 0^\circ$).

Ἐπίπεδο
προσπίτσεως



Σχ. 113. Οἱ γωνίες προσπίτσεως (π)
καὶ ἀνακλάσεως (α).

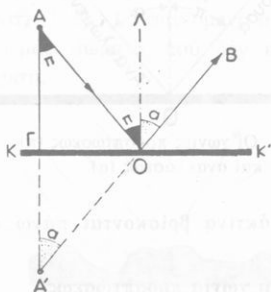


Σχ. 114. Γιά τήν ἀπόδειξη τῶν νόμων τῆς ἀνακλάσεως τοῦ φωτός.

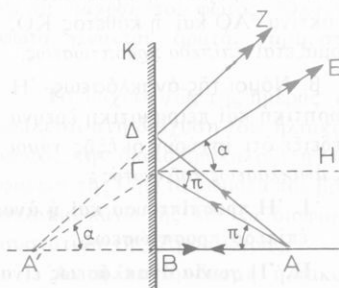
νία προσπτώσεως (π). Βρίσκουμε ὅτι πάντοτε ἡ γωνία ἀνακλάσεως (α) εἶναι ἴση μέ τή γωνία προσπτώσεως.

80. Ἐπίπεδοι καθρέφτες

α. Εἶδωλο φωτεινοῦ σημείου. Μιά φωτεινή ἀκτῖνα AO (σχ. 115), πού προέρχεται ἀπό φωτεινό σημεῖο A , δίνει τήν ἀνακλώμενη ἀκτῖνα OB . Αὐτές οἱ δύο ἀκτῖνες βρίσκονται στό ἴδιο ἐπίπεδο μέ τήν κάθετο LO στόν καθρέφτη. Ἄν φέρουμε τήν AG κάθετο στόν καθρέφτη, τότε ἡ προέκταση τῆς OB τέμνει τήν προέκταση τῆς AG σέ ἓνα σημεῖο A' . Εὐκόλα βρίσκουμε ὅτι τά ὀρθογώνια τρίγωνα AGO καί $A'GO$ εἶναι ἴσα, καί ἐπομένως εἶναι $AG = A'G$. Στό ἴδιο συμπέρασμα καταλήγουμε γιά κάθε ἀκτῖνα, πού προέρχεται ἀπό τό φωτεινό σημεῖο A καί ἀνακλᾶται πάνω στόν καθρέφτη (σχ. 116). Τό



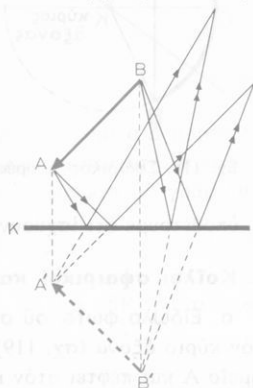
Σχ. 115. Ἀνάκλαση τοῦ φωτός ἀπό ἐπίπεδο καθρέφτη.



Σχ. 116. Τό εἶδωλο A' τοῦ φωτεινοῦ σημείου A εἶναι φανταστικό.

σημείο A' είναι τό *συμμετρικό* σημείο του A ως προς τόν καθρέφτη καί ὀνομάζεται *εἶδωλο* τοῦ φωτεινοῦ σημείου A . Οἱ ἀνακλῶμενες ἀκτίνες *φαινομενικά* προέρχονται ἀπό τό σημείο A' , στό ὅποιο καταλήγουν οἱ *φανταστικές* προεκτάσεις τῶν ἀνακλῶμενων ἀκτίνων. Γι' αὐτό τό σημείο A' ὀνομάζεται *φανταστικό εἶδωλο*. Ὡστε τό *εἶδωλο* φωτεινοῦ σημείου, τό ὅποιο σχηματίζεται ἀπό ἐπίπεδο καθρέφτη, εἶναι *φανταστικό* καί *συμμετρικό* ὡς πρὸς τόν καθρέφτη.

β. Εἶδωλο ἀντικειμένου. Ἄν ἓνα ἀντικείμενο AB εἶναι ἐμπρὸς ἀπὸ τόν ἐπίπεδο καθρέφτη (σχ. 117), τότε σέ κάθε σημείο τοῦ ἀντικειμένου ἀντιστοιχεῖ ἓνα φανταστικό εἶδωλο συμμετρικό ὡς πρὸς τόν καθρέφτη. Τό σύνολο αὐτῶν τῶν φανταστικῶν εἰδώλων σχηματίζει ἓνα *φανταστικό εἶδωλο* $A'B'$. Εὐκόλα βρῖσκουμε ὅτι τό εἶδωλο $A'B'$ εἶναι ὄρθιο, ἴσο μέ τό ἀντικείμενο AB καί συμμετρικό τοῦ ἀντικειμένου AB ὡς πρὸς τόν καθρέφτη. Ἀλλά τό εἶδωλο καί τό ἀντικείμενο δέν εἶναι *εφαρμόσιμα*, δηλαδή τό δεξι χέρι μας εἶναι ἀριστερό στό εἶδωλό μας. Ὡστε τό *εἶδωλο ἀντικειμένου*, τό ὅποιο σχηματίζεται ἀπό ἐπίπεδο καθρέφτη, εἶναι *φανταστικό*, ὄρθιο, ἴσο μέ τό ἀντικείμενο καί *συμμετρικό* ὡς πρὸς τόν καθρέφτη.



Σχ. 117. Τό εἶδωλο $A'B'$ τοῦ ἀντικειμένου AB εἶναι φανταστικό.

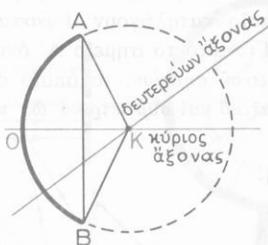
81. Ἀρχή τῆς ἀντίστροφης πορείας τοῦ φωτός

Ἄν προσπίπτουσα ἀκτίνα εἶναι ἡ BO (σχ. 113), τότε σύμφωνα μέ τό νόμο τῆς ἀνακλάσεως ἡ ἀκτίνα OA θά εἶναι ἡ ἀνακλῶμενη. Αὐτό ἐπαληθεύεται καί πειραματικά. Στή Γεωμετρική Ὀπτική ἰσχύει γενικά ἡ ἀκόλουθη *ἀρχή τῆς ἀντίστροφης πορείας τοῦ φωτός* :

«Ὅταν τό φῶς ἀκολουθεῖ ὀρισμένο δρόμο, *μπορεῖ πάντοτε νά διατρέξει τόν ἴδιο ἀκριβῶς δρόμο, ἄν διαδοθεῖ κατά τήν ἀντίθετη φορά.*»

82. Σφαιρικοί καθρέφτες

Στούς *σφαιρικούς καθρέφτες* ἡ ἐπιφάνεια πού ἀνακλᾷ τό φῶς εἶναι *τμήμα* σφαίρας. Ἡ ἐπιφάνεια πού ἀνακλᾷ τό φῶς *μπορεῖ νά εἶναι κοίλη ἢ κυρτή* καί τότε ὁ καθρέφτης ὀνομάζεται ἀντίστοιχα *κοίλος ἢ κυρτός* σφαιρικός καθρέφτης. Τό μέσο O τοῦ καθρέφτη (σχ. 118) ὀνομάζεται *κορυφή* τοῦ καθρέφτη καί τό κέντρο K τῆς σφαίρας ὀνομάζεται *κέντρο καμπυλότητας* τοῦ

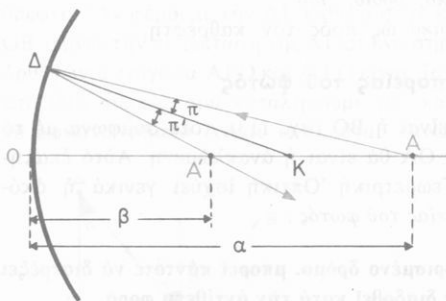


Σχ. 118. Σφαιρικός καθρέφτης.

τω υποθέτουμε ότι ισχύουν αυτές οι δύο συνθήκες.

83. Κοίλοι σφαιρικοί καθρέφτες

α. Εἶδωλο φωτεινοῦ σημείου. Ἐνα φωτεινὸ σημεῖο A βρίσκεται πάνω στὸν κύριο ἄξονα (σχ. 119). Κάθε φωτεινὴ ἀκτίνα, πού προέρχεται ἀπὸ τὸ σημεῖο A καὶ πέφτει στὸν καθρέφτη, ἀνακλᾶται σχηματίζοντας ἴσες γωνίες ($\pi = \pi'$) μὲ τὴν κάθετο στὸ σημεῖο πού πέφτει ἡ ἀκτίνα, δηλαδή μὲ τὴν ἀκτίνα καμπυλότητας (ΚΔ) τοῦ καθρέφτη. Ἔτσι ἡ προσπίπτουσα ἀκτίνα



Σχ. 119. Σχηματισμὸς τοῦ εἰδώλου (A') ἑνὸς φωτεινοῦ σημείου (A).

(ΑΔ), μετὰ τὴν ἀνάκλασή της τέμνει τὸν κύριο ἄξονα σὲ ἓνα σημεῖο A', πού εἶναι τὸ πραγματικὸ εἶδωλο τοῦ φωτεινοῦ σημείου A.

Ὁ καθρέφτης ἔχει ἀκτίνα καμπυλότητας $KO = R$. Ἀποδεικνύεται ὅτι οἱ ἀποστάσεις a καὶ β τοῦ φωτεινοῦ σημείου A καὶ τοῦ εἰδώλου τοῦ A' ἀπὸ τὴν κορυφή O τοῦ καθρέφτη συνδέονται μὲ τὴν ἀκτίνα καμπυλότητας μὲ τὴν ἐξίσωση :

$$\frac{1}{a} + \frac{1}{\beta} = \frac{2}{R} \quad (1)$$

Ἡ ἐξίσωση (1) φανερώνει ὅτι ἡ ἀπόσταση β τοῦ εἰδώλου A' ἀπὸ τὴν κορυφή

Ο εξαρτάται μόνο από την ακτίνα καμπυλότητας R του καθρέφτη και από την απόσταση a του φωτεινού σημείου A από τον καθρέφτη. Έπομένως *όλες οι φωτεινές ακτίνες*, που φεύγουν από το φωτεινό σημείο A και πέφτουν κοντά στην κορυφή O του καθρέφτη, μετά την ανάκλασή τους, *περνούν από το σημείο A' που είναι το πραγματικό είδωλο του φωτεινού σημείου A .*

Ἀπόδειξη τῆς ἐξίσωσης (1). Στο τρίγωνο $\Delta\Delta A'$ ή ΔK είναι διχοτόμος τῆς γωνίας Δ και ἔπομένως ἔχουμε τὴ σχέση :

$$\frac{AK}{A'K} = \frac{A\Delta}{A'\Delta} \quad (2)$$

Ἐπειδὴ τὸ ἄνοιγμα τοῦ καθρέφτη εἶναι πολὺ μικρὸ, τὸ σημεῖο Δ βρίσκεται πολὺ κοντὰ στὴν κορυφή O . Μποροῦμε λοιπὸν κατὰ προσέγγιση νὰ λάβουμε $A\Delta \simeq AO = a$ καὶ $A'\Delta \simeq A'O = \beta$. Τότε ἡ ἐξίσωση (2) γράφεται :

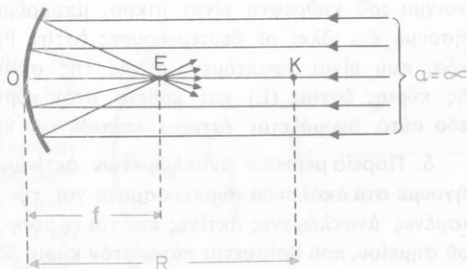
$$\frac{a-R}{R-\beta} = \frac{a}{\beta} \quad \text{ἄρα} \quad \beta R + aR = 2a\beta \quad (3)$$

Ἄν διαιρέσουμε καὶ τὰ δύο μέλη τῆς ἐξίσωσης (3) διὰ $a\beta R$, βρίσκουμε :

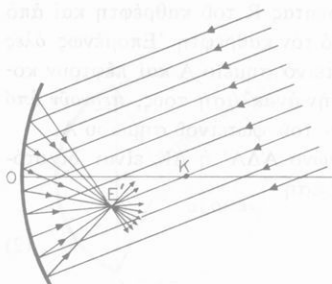
$$\frac{1}{a} + \frac{1}{\beta} = \frac{2}{R}$$

Ἄν τὸ φωτεινὸ σημεῖο τὸ βάλουμε στὴ θέση A' , τότε, σύμφωνα μὲ τὴν ἀρχὴ τῆς ἀντίστροφης πορείας τοῦ φωτός, τὸ εἶδωλό του σχηματίζεται στὴ θέση A . Ὡστε τὰ σημεῖα A καὶ A' εἶναι *συζυγῆ σημεῖα*.

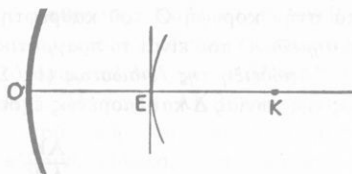
β. Κύρια ἔστια. Ἄν τὸ φωτεινὸ σημεῖο A , κινούμενο πάνω στὸν κύριο ἄξονα, συνεχῶς ἀπομακρύνεται ἀπὸ τὸν καθρέφτη, τότε ὅλες οἱ φωτεινές ακτίνες, πού προέρχονται ἀπὸ τὸ σημεῖο A καὶ πέφτουν πάνω στὸν καθρέφτη, τελικὰ γίνονται παράλληλες μὲ τὸν κύριο ἄξονα (σχ. 120). Σ' αὐτὴ τὴν περίπτωση *ὅλες οἱ ἀνακλόμενες ακτίνες* περνούν ἀπὸ ἓνα σημεῖο E , πού ὀνομάζεται *κύρια ἔστια* τοῦ καθρέφτη. Ἡ ἀπόσταση τῆς κύριας ἔστιας E ἀπὸ τὴν κορυφή O ὀνομάζεται *ἔστιακὴ ἀπόσταση* (f) τοῦ καθρέφτη καὶ εἶναι *σταθερὴ*. Ἄν στὴν ἐξίσωση (1) βάλουμε



Σχ. 120. Κύρια ἔστια (E) τοῦ κοίλου καθρέφτη.



Σχ. 121. Δευτερεύουσα εστία του κοίλου καθρέφτη.



Σχ. 122. Έστιο επίπεδο του κοίλου καθρέφτη.

$$\alpha = \infty, \text{ βρίσκουμε: } \beta = \frac{R}{2} = \text{σταθ.}$$

■ Η έστιοκή απόσταση (f) του κοίλου καθρέφτη είναι ίση με τό μισό της άκτινάς καμπυλόττητας (R).

$$\text{έστιοκή απόσταση } f = \frac{R}{2}$$

γ. Έστιοκή επίπεδο. Οί άκτινες μιάς φωτεινής δέσμης είναι παράλληλες με ένα δευτερεύοντα άξονα του καθρέφτη (σχ. 121). Όλες οί άκτινες αútης τής δέσμης, μετά τήν άνάκλασή τους, περνούν από ένα σημείο E' του δευτερεύοντα άξονα, πού βρίσκεται σε απόσταση $f = R/2$ από τό κέντρο καμπυλόττητας (K) του καθρέφτη και ονομάζεται *δευτερεύουσα έστία* του καθρέφτη. Όλες οί δευτερεύουσες έστίες βρίσκονται σε μία σφαιρική επιφάνεια, πού έχει κέντρο τό K και άκτινα $R/2$. Έπειδή όμως τό άνοιγμα του καθρέφτη είναι μικρό, μπορούμε κατά προσέγγιση νά θεωρήσουμε ότι όλες οί δευτερεύουσες έστίες βρίσκονται πάνω σε ένα επίπεδο, πού είναι έφαπτόμενο αútης τής σφαιρικής επιφάνειας στή θέση τής κύριας έστίας (E) και κάθετο στον κύριο άξονα (σχ. 122). Τό επίπεδο αυτό ονομάζεται *έστιοκή επίπεδο* του καθρέφτη.

δ. Πορεία μερικών άνακλώμενων άκτινών. Άπό τά παραπάνω καταλήγουμε στά ακόλουθα συμπεράσματα για τήν πορεία πού ακολουθούν όρισμένες άνακλώμενες άκτινες και για τή θέση του ειδώλου A' ενός φωτεινού σημείου, πού βρίσκεται πάνω στον κύριο άξονα (σχ. 123).

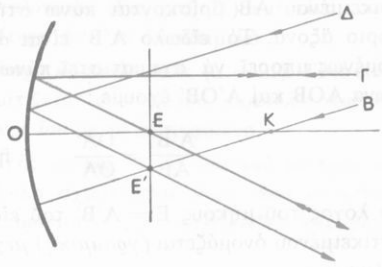
1. Όταν ή προσπίπτουσα άκτινα περνάει από τό κέντρο καμπυλόττητας, ή άνακλώμενη άκτινα ακολουθεί αντίστροφα τήν ίδια πορεία.

2. Όταν η προσπίπτουσα ακτίνα είναι παράλληλη με τον κύριο άξονα, η ανακλώμενη ακτίνα περνάει από την κύρια εστία.
3. Όταν η προσπίπτουσα ακτίνα περνάει από την κύρια εστία, η ανακλώμενη ακτίνα είναι παράλληλη με τον κύριο άξονα.
4. Όταν η προσπίπτουσα ακτίνα είναι παράλληλη με ένα δευτερεύοντα άξονα, η ανακλώμενη ακτίνα περνάει από την αντίστοιχη δευτερεύουσα εστία, που βρίσκεται πάνω στο εστιακό έπιπεδο.
5. Όταν φωτεινό σημείο βρίσκεται πάνω στον κύριο άξονα τó είδωλό του σχηματίζεται πάνω στον κύριο άξονα (σχ. 124). Οί αποστάσεις του φωτεινού σημείου (α) καί του ειδώλου (β) από τήν κορυφή του καθρέφτη συνδέονται μεταξύ τους με τήν εξίσωση :

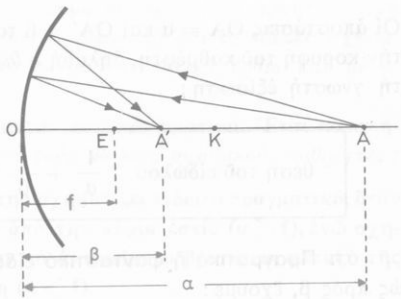
θέση του ειδώλου $\frac{1}{a} + \frac{1}{\beta} = \frac{1}{f}$

όπου $f = \frac{R}{2}$

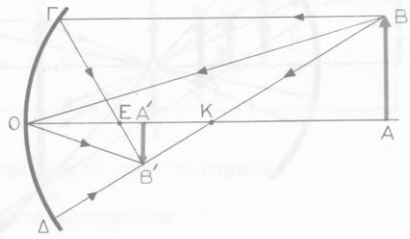
ε. Είδωλο αντικειμένου. Ός φωτεινό αντικείμενο θεωρούμε μία ευθεία AB κάθετη στον κύριο άξονα (σχ. 125). Έπειδή ξέρουμε τήν πορεία όρισμένων ανακλώμενων ακτίνων, μπορούμε νά κατασκευάσουμε τó είδωλο A'B'. Έτσι οί ακτίνες BΓ καί BΔ, πού προέρχονται από τήν άκρη B του αντικειμένου δίνουν τίς ανακλώμενες



Σχ. 123. Πορεία μερικών ακτίνων μετά τήν ανάκλασή τους.



Σχ. 124. Προσδιορισμός τής θέσεως του ειδώλου (A') ενός φωτεινού σημείου (A).



Σχ. 125. Η κατασκευή του ειδώλου (A'B') ενός αντικειμένου (AB).

ἀκτίνες GB' καὶ $\Delta B'$, πού τέμνονται στό σημεῖο B' . Αὐτό τό σημεῖο εἶναι τό εἶδωλο τοῦ σημείου B . Τά εἶδωλα ὄλων τῶν ἄλλων σημείων τοῦ ἀντικειμένου AB βρίσκονται πάνω στήν εὐθεῖα $A'B'$, πού εἶναι κάθετη στόν κύριο ἄξονα. Τό εἶδωλο $A'B'$ εἶναι ἀντιστραμμένο καί πραγματικό καί ἐπομένως μπορεῖ νά σχηματιστεῖ πάνω σέ διάφραγμα. Ἀπό τά ὅμοια τρίγωνα AOB καί $A'OB'$ ἔχουμε :

$$\frac{A'B'}{AB} = \frac{OA'}{OA} \quad \text{ἢ} \quad \frac{A'B'}{AB} = \frac{\beta}{a}$$

Ὁ λόγος τοῦ μήκους $E = A'B'$ τοῦ εἰδώλου πρὸς τό μήκος $A = AB$ τοῦ ἀντικειμένου ὀνομάζεται (γραμμική) μεγέθυνση καί προσδιορίζεται ἀπό τήν ἐξίσωση :

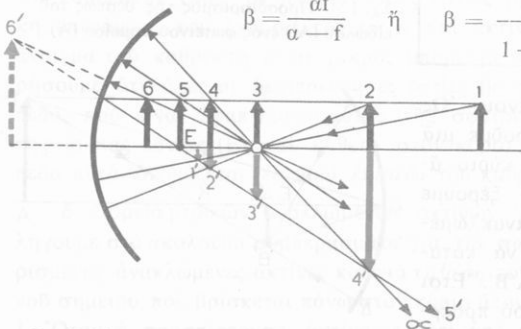
$$\text{μεγέθυνση} \quad \frac{E}{A} = \frac{\beta}{a} \quad (4)$$

Οἱ ἀποστάσεις $OA = a$ καί $OA' = \beta$ τοῦ ἀντικειμένου καί τοῦ εἰδώλου ἀπό τήν κορυφή τοῦ καθρέφτη, δηλαδή ἡ θέση τοῦ εἰδώλου, προσδιορίζεται ἀπό τή γωνιστή ἐξίσωση :

$$\text{θέση τοῦ εἰδώλου} \quad \frac{1}{a} + \frac{1}{\beta} = \frac{1}{f} \quad \text{ὅπου} \quad f = \frac{R}{2} \quad (5)$$

στ. Πραγματικό ἢ φανταστικό εἶδωλο. Ἐάν λύσουμε τήν ἐξίσωση (5) ὡς πρὸς β , ἔχουμε :

$$\beta = \frac{af}{a-f} \quad \text{ἢ} \quad \beta = -\frac{f}{1-\frac{f}{a}} \quad (6)$$



Σχ. 126. Ὁ κοῖλος καθρέφτης σχηματίζει εἶδωλο πραγματικό (1', 2', 3', 4') καί εἶδωλο φανταστικό (6').

1. Ὄταν τό ἀντικείμενο βρίσκεται στό ἄπειρο ($a = \infty$), τότε εἶναι $\beta = f$, δηλαδή τό εἶδωλο σχηματίζεται στήν κύρια ἐστία, εἶναι πραγματικό, ἀλλά εἶναι σημεῖο.

2. Τό ἀντικείμενο βρί-

σκεται πέρα από το κέντρο καμπυλότητας ($a > 2f$). Μέ τη γεωμετρική κατασκευή (σχ. 126) βρίσκουμε ότι το είδωλο σχηματίζεται μεταξύ της κύριας εστίας και του κέντρου καμπυλότητας ($f < \beta < 2f$) και είναι πραγματικό, αντιστραμμένο και μικρότερο από το αντικείμενο.

3. Το αντικείμενο βρίσκεται στο κέντρο καμπυλότητας ($a = 2f$). Τότε είναι $\beta = 2f$, δηλαδή το είδωλο σχηματίζεται στο κέντρο καμπυλότητας και είναι πραγματικό, αντιστραμμένο και ίσο με το αντικείμενο.
4. Το αντικείμενο βρίσκεται μεταξύ της κύριας εστίας και του κέντρου καμπυλότητας ($f < a < 2f$). Το είδωλο σχηματίζεται πέρα από το κέντρο καμπυλότητας ($\beta > 2f$) και είναι πραγματικό, αντιστραμμένο και μεγαλύτερο από το αντικείμενο.
5. Το αντικείμενο βρίσκεται στην κύρια εστία ($a = f$). Τότε είναι $\beta = \infty$, δηλαδή το είδωλο σχηματίζεται στο άπειρο. Σ' αυτή την περίπτωση δεν υπάρχει είδωλο.
6. Το αντικείμενο βρίσκεται μεταξύ της κύριας εστίας και του καθρέφτη ($a < f$). Από την εξίσωση (6) βρίσκουμε ότι το β έχει αρνητική τιμή ($\beta < 0$). Μέ τη γεωμετρική κατασκευή βρίσκουμε ότι το είδωλο σχηματίζεται πίσω από τον καθρέφτη και είναι φανταστικό, όρθιο και μεγαλύτερο από το αντικείμενο.

Τά παραπάνω εύκολα επαληθεύονται και πειραματικά. Έτσι καταλήγουμε στα ακόλουθα συμπεράσματα για τους κοίλους σφαιρικούς καθρέφτες :

I. Ο κοίλος σφαιρικός καθρέφτης σχηματίζει είδωλο πραγματικό, όταν το αντικείμενο βρίσκεται πέρα από την κύρια εστία ($a > f$), ενώ σχηματίζει είδωλο φανταστικό, όταν το αντικείμενο βρίσκεται μεταξύ της κύριας εστίας και του καθρέφτη ($a < f$).

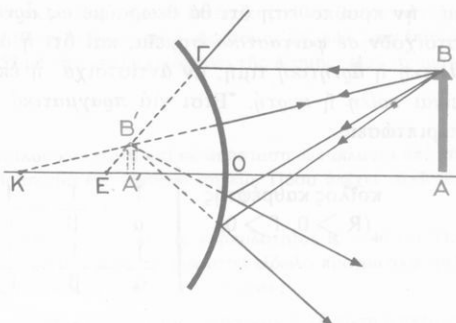
II. Η θέση και το μέγεθος του ειδώλου προσδιορίζονται σε όλες τις περιπτώσεις από τις εξής εξισώσεις :

κοίλοι καθρέφτες	$f = \frac{R}{2}$	$\frac{1}{a} + \frac{1}{\beta} = \frac{1}{f}$	$\frac{E}{A} = \frac{\beta}{a}$
---------------------	-------------------	---	---------------------------------

μέ τον όρο ότι ισχύει η ακόλουθη σύμβαση ως προς τά σημεία

- | | | |
|------------|---|------------------------|
| α θετικό | : | αντικείμενο πραγματικό |
| β θετικό | : | είδωλο πραγματικό |
| β αρνητικό | : | είδωλο φανταστικό |

καθρέφτη (σχ. 129). Οἱ ἀκτίνες, πού πέφτουν πάνω στόν καθρέφτη καί ἔχουν τή διεύθυνση τοῦ κύριου ἄξονα ἢ ὁποιουδήποτε δευτερεύοντα ἄξονα, μετά τήν ἀνάκλασή τους πάνω στόν καθρέφτη ἔχουν τήν ἴδια διεύθυνση. Ἐάν λοιπόν ἐργαστοῦμε ὅπως καί στους κοίλους καθρέφτες, κατασκευάζουμε τό εἶδωλο Α'Β'.



Σχ. 129. Σχηματισμός τοῦ εἰδώλου (Α'Β') ἑνός ἀντικειμένου (ΑΒ).

Αὐτό τό εἶδωλο εἶναι φανταστικό, ὄρθιο, μικρότερο ἀπό τό ἀντικείμενο καί σχηματίζεται πάντοτε μεταξύ τῆς κύριας ἐστίας καί τῆς κορυφῆς τοῦ καθρέφτη. Ἡ θέση καί τό μέγεθος τοῦ εἰδώλου δίνονται ἀπό τίς ἀντίστοιχες ἐξισώσεις, πού ἰσχύουν γιά τούς κοίλους καθρέφτες, μέ τή διαφορά ὅτι πρέπει νά λάβουμε ὑπόψη ὅτι ἡ κύρια ἐστία εἶναι φανταστική ($f < 0$) καί ὅτι τό εἶδωλο εἶναι ἐπίσης φανταστικό ($\beta < 0$). Ἐτσι καταλήγουμε στά ἀκόλουθα συμπεράσματα γιά τούς κυρτούς σφαιρικούς καθρέφτες :

I. Ὁ κυρτός σφαιρικός καθρέφτης σχηματίζει εἶδωλο φανταστικό, ὄρθιο καί μικρότερο ἀπό τό ἀντικείμενο. Τό εἶδωλο σχηματίζεται πάντοτε μεταξύ τῆς κύριας ἐστίας καί τοῦ καθρέφτη ($\beta < f$).

II. Ἡ θέση καί τό μέγεθος τοῦ εἰδώλου προσδιορίζονται ἀπό τίς ἐξῆς ἐξισώσεις :

κυρτοί καθρέφτες	$f = -\frac{R}{2} \quad \frac{1}{a} - \frac{1}{\beta} = -\frac{1}{f} \quad \frac{E}{A} = -\frac{\beta}{a}$
---------------------	--

85. Γενικές ἐξισώσεις γιά τούς σφαιρικούς καθρέφτες

Ἐάν α καί β εἶναι ἀντίστοιχα οἱ ἀποστάσεις τοῦ ἀντικειμένου καί τοῦ εἰδώλου ἀπό τήν κορυφή τοῦ σφαιρικοῦ καθρέφτη (κοίλου ἢ κυρτοῦ), Ε καί Α εἶναι ἀντίστοιχα οἱ γραμμικές διαστάσεις τοῦ εἰδώλου καί τοῦ ἀντικειμένου, πού εἶναι κάθετο στόν κύριο ἄξονα, τότε ἰσχύουν οἱ ἀκόλουθες γενικές ἐξισώσεις γιά τούς σφαιρικούς καθρέφτες :

$f = \frac{R}{2} \quad \frac{1}{a} + \frac{1}{\beta} = \frac{1}{f} \quad \frac{E}{A} = \frac{\beta}{a}$

120. Ἡ κεντρικὴ ἀκτὴν μιᾶς συγκλίνουσας φωτεινῆς δέσμης εἶναι ὀριζόντια. Στὴν πορεία τῆς δέσμης καὶ σὲ ἀπόσταση 10 cm ἀπὸ τὴν ἐστία τῆς δέσμης βάζουμε ἕναν ἐπίπεδο καθρέφτη, πού σχηματίζει γωνία 45° μὲ τὴν κεντρικὴ ἀκτὴν τῆς δέσμης. Πού σχηματίζεται ἡ νέα ἐστία τῆς δέσμης;

Σφαιρικοὶ καθρέφτες

121. Πάνω στὸν κύριο ἄξονα κοίλου καθρέφτη καὶ σὲ ἀπόσταση δεκαπλάσια ἀπὸ τὴν ἐστιακὴ ἀπόστασή του ($a = 10f$) βρίσκεται ἕνα φωτεινὸ σημεῖο. Πόσο ἀπέχει τὸ εἶδωλο ἀπὸ τὴν φωτεινὴ πηγὴ;

122. Ἐνας κοῖλος σφαιρικός καθρέφτης ἔχει ἀκτὴν καμπυλότητος $R = 40$ cm. Πού πρέπει νὰ τοποθετηθεῖ ἕνα ἀντικείμενο AB, γιὰ νὰ σχηματιστεῖ εἶδωλο πραγματικὸ τρεῖς φορές μεγαλύτερο ἢ τέσσερις φορές μικρότερο ἀπὸ τὸ ἀντικείμενο;

123. Ἐνας κοῖλος σφαιρικός καθρέφτης ἔχει ἐστιακὴ ἀπόσταση f . Σὲ πόση ἀπόσταση ἀπὸ τὸν καθρέφτη πρέπει νὰ τοποθετήσουμε ἕνα ἀντικείμενο, γιὰ νὰ πάρουμε εἶδωλο φανταστικὸ διπλάσιο ἀπὸ τὸ ἀντικείμενο ἢ εἶδωλο πραγματικὸ διπλάσιο ἀπὸ τὸ ἀντικείμενο;

124. Ἐνας κοῖλος σφαιρικός καθρέφτης δίνει ὄρθιο εἶδωλο 5 φορές μεγαλύτερο ἀπὸ τὸ ἀντικείμενο. Ἡ ἀπόσταση τοῦ εἰδώλου ἀπὸ τὸ ἀντικείμενο εἶναι 80 cm. Πόση εἶναι ἡ ἀπόσταση τοῦ ἀντικειμένου ἀπὸ τὸν καθρέφτη καὶ πόση εἶναι ἡ ἐστιακὴ ἀπόσταση τοῦ καθρέφτη;

125. Ἐνας παρατηρητὴς βλέπει τὸ μάτι του, πού ἔχει μῆκος $AB = 3$ cm, μέσα σὲ κοῖλο καθρέφτη πού ἔχει ἐστιακὴ ἀπόσταση 12 cm καὶ τὸν κρατεῖ σὲ ἀπόσταση 10 cm ἀπὸ τὸ μάτι. Πού σχηματίζεται τὸ εἶδωλο τοῦ ματιοῦ; Μὲ ποιά γωνία βλέπει ὁ παρατηρητὴς αὐτὸ τὸ εἶδωλο; Νὰ συγκριθεῖ αὐτὴ ἡ γωνία μὲ ἐκείνη πού βρέθηκε στὸ ἀντίστοιχο πρόβλημα 117.

126. Ἐνα ἀντικείμενο AB ἀπέχει 75 cm ἀπὸ ἕναν τοῖχο. Πού πρέπει νὰ τοποθετήσουμε ἕναν κοῖλο καθρέφτη ἐστιακῆς ἀποστάσεως $f = 20$ cm, γιὰ νὰ σχηματιστεῖ πάνω στὸν τοῖχο καθαρὸ εἶδωλο τοῦ ἀντικειμένου;

127. Ἡ φαινόμενη διάμετρος τοῦ δίσκου τῆς Σελήνης εἶναι $\omega = 31'$. Πόση εἶναι ἡ διάμετρος τοῦ εἰδώλου τῆς Σελήνης πού σχηματίζεται ἀπὸ κοῖλο καθρέφτη ἐστιακῆς ἀποστάσεως $f = 12,90$ m;

128. Ἐνα φωτεινὸ σημεῖο A ἀπέχει 40 cm ἀπὸ κοῖλο καθρέφτη K, ἐστιακῆς ἀποστάσεως $f = 30$ cm. Κάθετα στὸν κύριο ἄξονα αὐτοῦ τοῦ καθρέφτη τοποθετοῦμε ἐπίπεδο καθρέφτη K'. Πού πρέπει νὰ τοποθετήσουμε τὸν καθρέφτη K', ὥστε οἱ ἀκτίνες πού φεύγουν ἀπὸ τὸ σημεῖο A, ἀφοῦ ἀνακλασθοῦν διαδοχικὰ πάνω στὸς δύο καθρέφτες νὰ συγκεντρώνονται στὸ σημεῖο A;

129. Κυρτὸς σφαιρικός καθρέφτης δίνει εἶδωλο 8 φορές μικρότερο ἀπὸ τὸ ἀντικείμενο. Ἡ ἀπόσταση τοῦ εἰδώλου ἀπὸ τὸ ἀντικείμενο φαίνεται ὅτι εἶναι 90 cm. Πόση εἶναι ἡ ἀπόσταση τοῦ ἀντικειμένου ἀπὸ τὸν καθρέφτη καὶ ἡ ἀκτὴν καμπυλότητος τοῦ καθρέφτη;

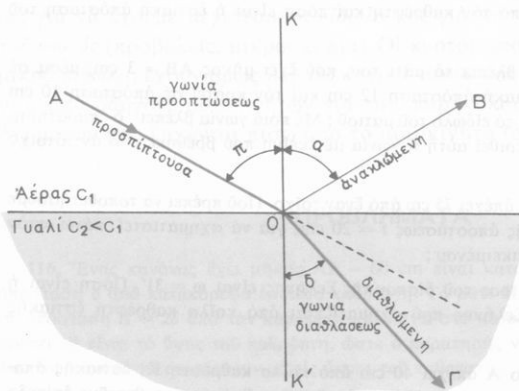
130. Δύο σφαιρικοὶ καθρέφτες, ὁ ἕνας κυρτὸς M_1 καὶ ὁ ἄλλος κοῖλος M_2 , ἔχουν τὴν ἴδια ἀκτὴν καμπυλότητος $R = 20$ cm, τὸν ἴδιο κύριο ἄξονα, οἱ ἐπιφανείες τους εἶναι ἡ μιὰ ἀπέναντι στὴν ἄλλη καὶ ἡ ἀπόσταση τῶν δύο κορυφῶν τους εἶναι $O_1O_2 = 40$ cm. Στὴ μέση αὐτῆς τῆς ἀποστάσεως τοποθετοῦμε ἕνα ἀντικείμενο AB. Νὰ βρεθεῖ ἡ θέση τοῦ εἰδώλου πού σχηματίζεται μετὰ τὴν ἀνάκλαση τῶν ἀκτίνων πρῶτα πάνω στὸν κυρτὸ καὶ ἔπειτα πάνω στὸν κοῖλο καθρέφτη.

131. Έμπρός από κοίλο καθρέφτη M έστιακής απόστασεως 50 cm τοποθετούμε κάθετα στον κύριο άξονα έναν επίπεδο καθρέφτη N έτσι, ώστε οι επιφάνειές τους να είναι ή μιά άπέναντι στην άλλη. Η απόσταση ανάμεσα στους δύο καθρέφτες είναι $\delta = 2\text{ m}$. Μιά μικρή φωτεινή εϋθεία πού έχει ύψος $AB = 5\text{ cm}$ και είναι κάθετη στον κύριο άξονα βρίσκεται σε απόσταση 25 cm από τον κοίλο καθρέφτη M . Να βρεθεί ή θέση και τό μέγεθος του ειδώλου πού σχηματίζεται μετά την ανάκλαση τών ακτίνας πρώτα πάνω στον κοίλο καθρέφτη M και έπειτα πάνω στον επίπεδο καθρέφτη N .

Διάθλαση του φωτός

86. Διάθλαση του φωτός

α. Όρισμός. Όταν μιά λεπτή *μονοχρωματική* δέσμη φωτός πέφτει πλάγια πάνω στην επιφάνεια πού διαχωρίζει δύο διαφορετικά διαφανή μέσα, τότε ένα μέρος του



Σχ. 130. Οι γωνίες προσπτώσεως (π) και διαθλάσεως (δ).

είναι τό επίπεδο προσπτώσεως. Η ακτίνα OG είναι ή *διαθλώμενη* ακτίνα και ή γωνία $ΓOK'$ είναι ή *γωνία διαθλάσεως*.

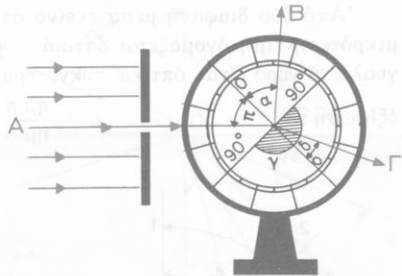
β. Νόμοι τής διαθλάσεως του φωτός. Από τή μελέτη του φαινομένου τής διαθλάσεως βρέθηκαν οι έξης νόμοι τής διαθλάσεως του φωτός :

- I. Η προσπίπτουσα και ή διαθλώμενη ακτίνα βρίσκονται στό επίπεδο προσπτώσεως.
- II. Ο λόγος του ήμίτονου τής γωνίας προσπτώσεως (π) πρós τό ήμίτονο τής γωνίας διαθλάσεως (δ) είναι σταθερός, ονομάζεται δείκτης δια-

θλάσεως (n) και είναι ίσος με το λόγο των ταχυτήτων του φωτός στα δύο διαφανή μέσα.

$$\text{δείκτης διαθλάσεως} \quad n_{2,1} = \frac{\eta\mu \pi}{\eta\mu \delta} = \frac{c_1}{c_2}$$

Ο δείκτης διαθλάσεως εξαρτάται από τη φύση των δύο διαφανών μέσων και είναι ανεξάρτητος από τη γωνία προσπτώσεως. Ο δείκτης διαθλάσεως, που όρισαμε για το σύστημα άερας - γυαλί, είναι ο σχετικός δείκτης διαθλάσεως του γυαλιού ως προς τον άερα. Αν η ακτίνα πέφτει κάθετα στη διαθλαστική επιφάνεια ($\pi = 0^\circ$), τότε η διαθλώμενη ακτίνα δεν αλλάζει διεύθυνση ($\delta = 0^\circ$), δηλαδή δεν παθαίνει εκτροπή από τη διεύθυνση της προσπίπτουσας ακτίνας.



Σχ. 131. Για την απόδειξη των νόμων της διαθλάσεως.

Κατά προσέγγιση οι νόμοι της διαθλάσεως επαληθεύονται με τη διάταξη που δείχνει το σχήμα 131. Στο κέντρο του γωνιομετρικού κύκλου υπάρχει γυάλινος ήμικυλινδρος (Y). Μιά φωτεινή ακτίνα πέφτει κάθετα στον άξονα του ήμικυλινδρου. Η ακτίνα μπαίνοντας από τον άερα στο γυαλί διαθλάται και τότε η γωνία διαθλάσεως (δ) είναι μικρότερη από τη γωνία προσπτώσεως (π), δηλαδή η διαθλώμενη ακτίνα πλησιάζει προς την κάθετο στο σημείο προσπτώσεως. Η ακτίνα βγαίνοντας από το γυαλί στον άερα δεν αλλάζει διεύθυνση, γιατί πέφτει κάθετα στην κυλινδρική επιφάνεια, που διαχωρίζει το γυαλί από τον άερα. Όταν μεταβάλλουμε τη γωνία προσπτώσεως π , μεταβάλλεται και η γωνία διαθλάσεως δ , αλλά ο λόγος $\eta\mu \pi / \eta\mu \delta$ μένει σταθερός.

γ. Απόλυτος δείκτης διαθλάσεως. Ο δείκτης διαθλάσεως, που αντιστοιχεί σε μετάβαση του φωτός από το κενό στο διαφανές υλικό, ονομάζεται απόλυτος δείκτης διαθλάσεως του υλικού. Στην πράξη χρησιμοποιούμε το σχετικό δείκτη διαθλάσεως, που αντιστοιχεί σε μετάβαση του φωτός από τον άερα στα διάφορα διαφανή υλικά. Γενικά βρήκαμε ότι ο σχετικός δείκτης διαθλάσεως ενός υλικού ως προς τον άερα είναι κατά μεγάλη προσέγγιση ίσος με τον απόλυτο δείκτη διαθλάσεως του υλικού.

Ο απόλυτος δείκτης διαθλάσεως του αέρα είναι :

$$n = \frac{c_0 \text{ (κενό)}}{c \text{ (αέρα)}} = 1,000\,293 \quad \eta \quad n \approx 1$$

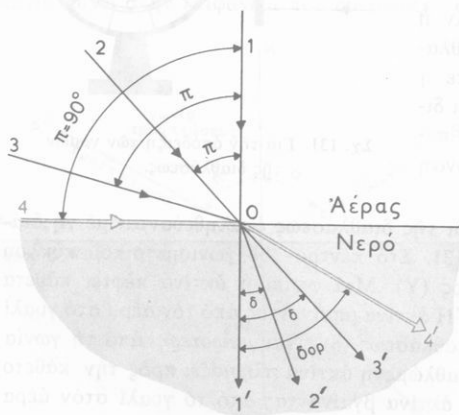
Δείκτες διαθλάσεως
(για την κίτρινη ακτινοβολία του νατρίου)

διαμάντι $n = 2,470$, κοινό γυαλί $n = 1,540$, νερό $n = 1,333$

87. Όριακή γωνία

Από δύο διαφανή μέσα εκείνο στο οποίο η ταχύτητα του φωτός έχει μικρότερη τιμή ονομάζεται *οπτικά πυκνότερο* (ή *διαθλαστικότερο*). Έτσι το γυαλί, το νερό είναι οπτικά πυκνότερα από τον αέρα (*). Σύμφωνα με την εξίσωση :

$$n = \frac{\eta\mu\pi}{\eta\mu\delta} = \frac{c_1}{c_2} \quad (1)$$



Σχ. 132. Όριακή γωνία ($\delta_{ορ}$).

γωνία διαθλάσεως τείνει να λάβει μιá όριακή τιμή $\delta_{ορ}$, που ονομάζεται *όριακή γωνία*. Από την εξίσωση :

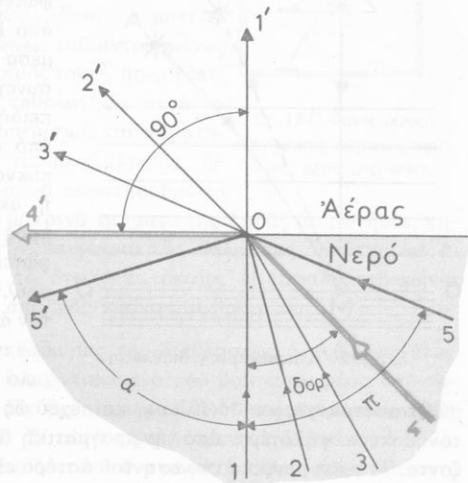
$$n = \frac{\eta\mu 90^\circ}{\eta\mu \delta_{ορ}} \quad \text{βρίσκουμε} \quad \eta\mu \delta_{ορ} = \frac{1}{n}$$

Όστε, τό ήμίτονο τής όριακής γωνίας ($\delta_{ορ}$) είναι ίσο μέ τό αντίστροφο του δείκτη διαθλάσεως (n). Για τό σύστημα αέρα-νερό είναι $\delta_{ορ} = 48,5^\circ$

(*) Τό οπτικά πυκνότερο υλικό δέν έχει πάντοτε και τή μεγαλύτερη πυκνότητα (ρ), π.χ. τό οινόπνευμα είναι οπτικά πυκνότερο από τό νερό.

88. Όλική ανάκλαση

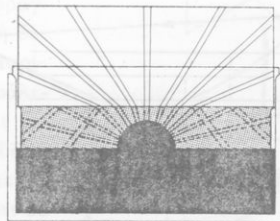
Σύμφωνα με την αρχή της αντίστροφης πορείας του φωτός (§ 81), όταν μια φωτεινή ακτίνα μπαίνει από οπτικά πυκνότερο σε οπτικά αραιότερο μέσο, τότε η γωνία διαθλάσεως είναι *μεγαλύτερη* από τη γωνία προσπτώσεως και η διαθλωμένη ακτίνα απομακρύνεται από την κάθετο στη διαχωριστική επιφάνεια. Αν η γωνία προσπτώσεως γίνει *ίση με την όριακή γωνία* δ_{op} , τότε η γωνία διαθλάσεως έχει τη μεγαλύτερη τιμή της και είναι ίση με 90° (σχ. 133). Αν η γωνία προσπτώσεως γίνει *μεγαλύτερη από την όριακή γωνία*, δέν μπορεί να συμβεί διάθλαση. Τότε η προσπίπτουσα ακτίνα ανακλάται πάνω στη διαχωριστική επιφάνεια σύμφωνα με τους νόμους της ανακλάσεως και εξακολουθεί να διαδίδεται μέσα στο οπτικά πυκνότερο μέσο. Αυτό το φαινόμενο ονομάζεται *ολική ανάκλαση*. Ωστε :



Σχ. 133. Όλική ανάκλαση.

Όλική ανάκλαση συμβαίνει πάνω στη διαχωριστική επιφάνεια δύο διαφανών μέσων, όταν το φως πηγαίνει από το οπτικά πυκνότερο στο οπτικά αραιότερο μέσο και η γωνία προσπτώσεως είναι μεγαλύτερη από την όριακή γωνία (δ_{op}).

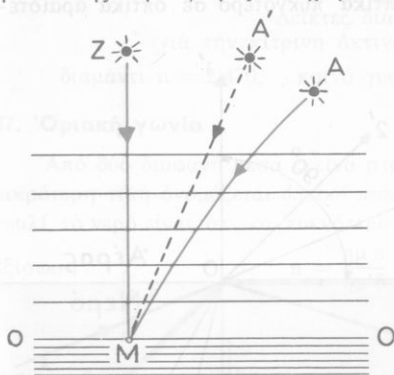
Πειραματικά το φαινόμενο της ολικής ανάκλασεως επαληθεύεται με τη διάταξη που δείχνει το σχήμα 134. Μέσα στο νερό υπάρχει μεταλλική σφαίρα, που έχει τρύπες κατά μήκος ενός μέγιστου κύκλου της σφαίρας. Μέσα σ' αυτήν υπάρχει ηλεκτρικός λαμπτήρας.



Σχ. 134. Πειραματική διάταξη για την απόδειξη της ολικής ανάκλασεως.

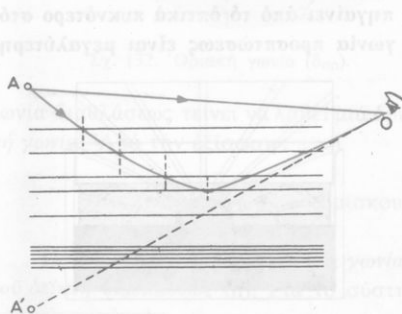
89. 'Αποτελέσματα τῆς διαθλάσεως

α. 'Ατμοσφαιρική διάθλαση. Ξέρουμε ὅτι ἡ πυκνότητα τῶν στρωμάτων τῆς ἀτμόσφαιρας συνεχῶς ἐλαττώνεται, ὅσο ἀπομακρυνόμαστε ἀπὸ



Σχ. 135. 'Ατμοσφαιρική διάθλαση.

μάζεται *ἀτμοσφαιρική διάθλαση* καὶ ἔχει ὡς ἀποτέλεσμα νὰ παρουσιάζει τὸν ἀστέρα ψηλότερα ἀπὸ τὴν πραγματικὴ θέση του σχετικὰ μὲ τὸν ὀρίζοντα. Ἡ φαινομενικὴ ἀνύψωση τοῦ ἀστέρα εἶναι μεγαλύτερη, ὅταν ὁ ἀστέρας βρίσκεται κοντὰ στὸν ὀρίζοντα (περίπου 34'), ἐνῶ δὲ συμβαίνει, ὅταν ὁ ἀστέρας βρίσκεται στὸ Ζενίθ. Ἐπειδὴ ἡ φαινόμενη διάμετρος τοῦ δίσκου τοῦ Ἡλίου καὶ τῆς Σελήνης εἶναι μικρότερη ἀπὸ 34', ἡ ἀτμοσφαιρική διάθλαση μᾶς παρουσιάζει τὸ δίσκο τοῦ Ἡλίου καὶ τῆς Σελήνης πάνω ἀπὸ τὸν ὀρίζοντα, ἐνῶ στὴν πραγματικότητα ὁ Ἡλιος καὶ ἡ Σελήνη ἢ δὲν ἔχουν ἀκόμη ἀνατελεῖ ἢ ἔχουν δύσει πρὶν ἀπὸ λίγο χρόνο.

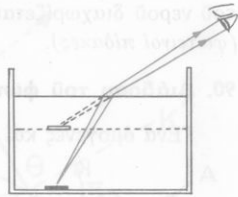


Σχ. 136. 'Αντικατοπτρισμός.

τὴν ἐπιφάνεια τῆς θάλασσας. Μιά φωτεινὴ ἀκτῖνα, ποὺ προέρχεται ἀπὸ ἕναν ἀστέρα, καθὼς προχωρεῖ μέσα στὴν ἀτμόσφαιρα, παθαίνει συνεχῶς διαδοχικὲς διαθλάσεις. Ἐπειδὴ ἡ ἀκτῖνα συνεχῶς πηγαίνει ἀπὸ ὀπτικά ἀραιότερο σὲ ὀπτικά πυκνότερο στρώμα ἀέρα, γι' αὐτὸ ἡ ἀκτῖνα διαθλάται *πλησιάζοντας* πρὸς τὴν κάθετο (σχ. 135). Ἔτσι ἡ φωτεινὴ ἀκτῖνα παίρνει μορφή καμπύλης καὶ τὸ μάτι μας M βλέπει τὸν ἀστέρα κατὰ τὴ διεύθυνση τῆς ἐφαπτομένης τῆς καμπύλης στὸ σημεῖο M. Αὐτὸ τὸ φαινόμενο ὀνο-

β. 'Αντικατοπτρισμός. Ὄταν σὲ μιά περιοχὴ τὸ ἔδαφος θερμαίνεται πολὺ (π.χ. στίς ἐρήμους), τότε τὰ στρώματα τοῦ ἀέρα, ποὺ βρίσκονται σὲ ἐπαφὴ μὲ τὸ ἔδαφος θερμαίνονται πολὺ καὶ γίνονται ἀραιότερα ἀπὸ τὰ ὑπερκείμενα στρώματα. Μιά φωτεινὴ ἀκτῖνα, ποὺ προέρχεται ἀπὸ ἕνα ψηλὸ ἀντικείμενο (π.χ. ἕνα δέντρο), μπαίνει τότε συνεχῶς ἀπὸ ὀπτικά πυκνότερο σὲ ὀπτικά ἀραιότερο στρώμα καὶ μεταβάλλεται σὲ κα-

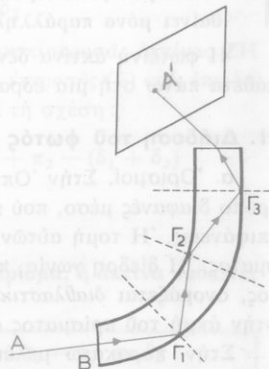
μπύλη (σχ. 136)). Στη διαχωριστική επιφάνεια δύο τέτοιων στρωμάτων ή ακτίνα δεν μπαίνει στο αραιότερο στρώμα, αλλά εκεί παθαίνει *ολική ανάκλαση*. Τότε η ακτίνα ακολουθεί μία συμμετρική πορεία, γιατί τώρα συνεχώς μπαίνει από οπτικά αραιότερα σε οπτικά πυκνότερα στρώματα. Έτσι το μάτι ενός παρατηρητή βλέπει το είδωλο του αντικειμένου *αντιστραμμένο*, σάν να ήταν εμπρός του ή ηρεμη επιφάνεια μιας λίμνης (έπιπεδος καθρέφτης). Αυτό το φαινόμενο ονομάζεται *αντικατοπτρισμός* και παρατηρείται συνήθως στις έρημους τις μεσημβρινές ώρες. Φαινόμενα αντικατοπτρισμού παρατηρούμε το καλοκαίρι στις άκτες, και τότε μακρινά τμήματα της ξηράς (άκρωτήρια, νησιά) τ'α βλέπουμε πάνω από την επιφάνεια της θάλασσας. Έπίσης σε αντικατοπτρισμό οφείλεται και τ'ότι τ'ο καλοκαίρι οί ασφαλτοστρωμένοι δρόμοι σε μεγάλη απόσταση από μ'ας φαίνονται βρεγμένοι.



Σχ. 137. Φαινομενική ανύψωση σώματος που είναι μέσα στο νερό.

γ. Φαινομενική ανύψωση. Έξαιτίας της διαθλάσεως ο πυθμένας ενός δοχείου, που περιέχει νερό, ή ένα αντικείμενο που βρίσκεται μέσα στο νερό, φαίνονται πιό κοντά στην ελεύθερη επιφάνεια του νερού από όσο είναι στην πραγματικότητα (σχ. 137). Σ' αυτή τ'η φαινομενική ανύψωση οφείλεται και τ'ότι μία ευθύγραμμη ράβδος, που ένα μέρος της βρίσκεται μέσα στο νερό, δέ φαίνεται ευθύγραμμη.

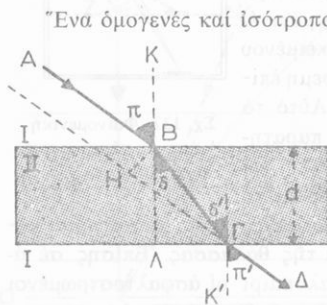
δ. Φωτοαγωγοί. Μία λεπτή δέσμη φωτεινών ακτίνων AB πέφτει κάθετα πάνω στη μία βάση *γυάλινης* κυλινδρικής ράβδου, που είναι καμπυλωμένη (σχ. 138). Αν ή καμπυλότητα της ράβδου δεν είναι πολύ μεγάλη, τότε ή φωτεινή δέσμη παθαίνει διαδοχικά *ολική ανάκλαση* σε διάφορα σημεία ($\Gamma_1, \Gamma_2, \Gamma_3 \dots$) τ'ων εσωτερικών τοιχωμάτων της ράβδου και τελικά βγαίνει στον άερα από τ'ήν άλλη βάση της ράβδου και σχηματίζει πάνω σε διάφραγμα τ'ό φωτεινό σημείο Α'. Έτσι ή φωτεινή δέσμη ακολουθεί μία τροχιά, που τ'ήν προσδιορίζει ή καμπυλωμένη ράβδος. Γι' αυτό ή γυάλινη ράβδος ονομάζεται *φωτοαγωγός* (light pipe). Σήμερα κατασκευάζονται φωτοαγωγοί από διαφανείς πλαστικές ίνες που έχουν διάμετρο 0,05 mm. Οί φωτοαγωγοί χρησιμοποιούνται σε διάφορες εφαρμογές, π.χ. στη χειρουργική για *ένδοσκόπισεις*. Φωτοαγωγοί είναι και *οί φλέβες*



Σχ. 138. Φωτοαγωγός.

τοῦ κινούμενου νεροῦ. Τό φῶς βγαίνει στόν ἀέρα, τή στιγμή πού ἡ φλέβα τοῦ νεροῦ διαχωρίζεται σέ σταγονίδια, πού ἐμφανίζονται πολύ φωτεινά (φωτεινοί πίδακες).

90. Διάδοση τοῦ φωτός μέσα ἀπό πλάκα



Σχ. 139. Ἡ ἀκτίνα AB παθαίνει μόνο παράλληλη μετατόπιση.

Ἐνα ὁμογενές καί ἰσότροπο διαφανές μέσο (II) χωρίζεται ἀπό τό γύρω του διαφανές μέσο (I) μέ δύο παράλληλα ἐπίπεδα (σχ. 139). Τότε τό πρώτο ἀπό αὐτά τά δύο μέσα ἀποτελεῖ μιά πλάκα. Τέτοιο σύστημα διαφανῶν μέσων ἀποτελεῖ μιά γυάλινη πλάκα, πού βρίσκεται μέσα στόν ἀέρα. Μιά φωτεινή ἀκτίνα AB πέφτει στήν πάνω ἕδρα τῆς πλάκας καί ἀφοῦ πάθει δύο διαθλάσεις βγαίνει στόν ἀέρα. Οἱ δύο γωνίες δ καί δ', πού σχηματίζονται μέσα στό γυαλί, εἶναι ἴσες (γιατί εἶναι ἐντός ἐναλλάξ). Ἐπομένως γιά τίς δύο διαθλάσεις, ἰσχύουν οἱ σχέσεις :

$$\text{στό σημείο B} \quad n = \frac{\eta\mu \pi}{\eta\mu \delta} \quad \text{στό σημείο Γ} \quad n = \frac{\eta\mu \pi'}{\eta\mu \delta'}$$

Ἐπειδή εἶναι $\delta = \delta'$, ἔπεται ὅτι εἶναι $\pi = \pi'$. Ἡ ἀκτίνα ΓΔ, πού βγαίνει ἀπό τήν πλάκα, εἶναι παράλληλη μέ τήν προσπίπτουσα ἀκτίνα AB. Ὡστε, γιά τήν περίπτωση πού καί οἱ δύο ἕδρες τῆς πλάκας βρίσκονται σέ ἐπαφή μέ τό ἴδιο διαφανές μέσο, καταλήγουμε στό ἀκόλουθο συμπέρασμα :

■ Ὄταν μιά φωτεινή ἀκτίνα περνάει μέσο ἀπό πλάκα, τότε ἡ ἀκτίνα παθαίνει μόνο παράλληλη μετατόπιση.

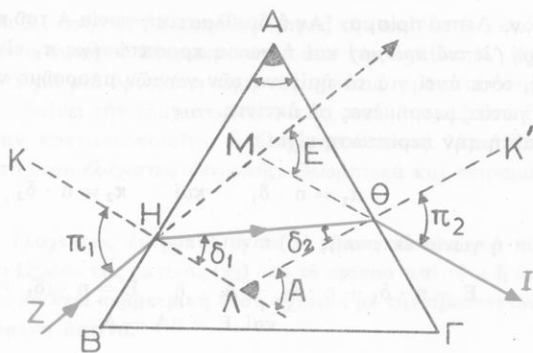
Ἡ φωτεινή ἀκτίνα δέν παθαίνει παράλληλη μετατόπιση, ὅταν πέφτει κάθετα πάνω στή μιά ἕδρα τῆς πλάκας.

91. Διάδοση τοῦ φωτός μέσα ἀπό πρίσμα

α. Ὅρισμοί. Στήν Ὀπτική ὀνομάζουμε πρίσμα ἕνα ὁμογενές καί ἰσότροπο διαφανές μέσο, πού περιορίζεται κυρίως ἀπό δύο τεμνόμενες ἐπίπεδες ἐπιφάνειες. Ἡ τομή αὐτῶν τῶν δύο ἐπιφανειῶν ὀνομάζεται ἀκμή τοῦ πρίσματος. Ἡ διεδρη γωνία, πού σχηματίζεται ἀπό τίς δύο ἕδρες τοῦ πρίσματος, ὀνομάζεται διαθλαστική γωνία τοῦ πρίσματος. Κάθε ἐπίπεδο κάθετο στήν ἀκμή τοῦ πρίσματος ὀνομάζεται κύρια τομή τοῦ πρίσματος.

Στήν παρακάτω μελέτη τοῦ πρίσματος ὑποθέτουμε ὅτι ἰσχύουν οἱ ἀκόλουθες συνθήκες : α) Ἡ προσπίπτουσα ἀκτίνα βρίσκεται πάνω σέ μιά

κύρια τομή του πρίσματος. Τότε σύμφωνα με το νόμο της διαθλάσεως και η διαθλώμενη ακτίνα βρίσκεται πάνω στην ίδια κύρια τομή. β) Το φως που χρησιμοποιούμε είναι μονοχρωματικό, γιατί, αν πάνω στο πρίσμα πέσει λευκό



Σχ. 140. Η ακτίνα ZH εκτρέπεται κατά τη γωνία E.

φως, αυτό, καθώς περνάει μέσα από το πρίσμα, αναλύεται σε πολλά απλά χρώματα.

β. Έξιώσεις του πρίσματος. Το σχήμα 140 δείχνει μία κύρια τομή πρίσματος, που έχει διαθλαστική γωνία A και σχετικό δείκτη διαθλάσεως ως προς τον αέρα n. Μία φωτεινή ακτίνα ZH διαθλάται στα σημεία H και Θ και βγαίνει στον αέρα. Γι' αυτές τις δύο διαθλάσεις ισχύουν οι έξιώσεις :

$$n \mu \pi_1 = n \cdot n \delta_1 \quad \text{και} \quad n \mu \pi_2 = n \cdot n \delta_2$$

Οι δύο κάθετες ΚΛ και Κ'Λ σχηματίζουν την όξεια γωνία α, που είναι ίση με τη διαθλαστική γωνία A του πρίσματος. Έπειδή η γωνία α είναι εξωτερική γωνία του τριγώνου ΛΗΘ, έχουμε τη σχέση :

$$\alpha = \delta_1 + \delta_2 \quad \eta \quad A = \delta_1 + \delta_2$$

Η γωνία που σχηματίζουν οι προεκτάσεις της προσπίπτουσας ακτίνας ZH και της εξερχόμενης ακτίνας ΘΙ ονομάζεται γωνία εκτροπής (E) και, επειδή είναι εξωτερική γωνία του τριγώνου ΗΜΘ, έχουμε τη σχέση :

$$E = (\pi_1 - \delta_1) + (\pi_2 - \delta_2) \quad \eta \quad E = \pi_1 + \pi_2 - (\delta_1 + \delta_2)$$

$$\text{Άρα} \quad E = \pi_1 + \pi_2 - A$$

Από τα παραπάνω συνάγεται το συμπέρασμα :

Όταν μία φωτεινή ακτίνα περνάει μέσα από πρίσμα, η ακτίνα καθαίνει δύο διαθλάσεις και ισχύουν οι έξιώσεις :

έξιώσεις του πρίσματος	$n \mu \pi_1 = n \cdot n \delta_1$ $A = \delta_1 + \delta_2$	$n \mu \pi_2 = n \cdot n \delta_2$ $E = \pi_1 + \pi_2 - A$
---------------------------	---	---

γ. Λεπτό πρίσμα. Ἐάν ἡ διαθλαστική γωνία A τοῦ πρίσματος εἶναι *πολύ μικρή* (λεπτό πρίσμα) καί ἡ γωνία προσπτώσεως π_1 εἶναι ἐπίσης *πολύ μικρή*, τότε ἀντί γιὰ τὰ ἡμίτονα τῶν γωνιῶν μπορούμε νά πάρουμε τίς ἴδιες τίς γωνίες μετρημένες σέ ἀκτίνια. Σ' αὐτή τήν περίπτωση εἶναι :

$$\pi_1 = n \cdot \delta_1 \quad \text{καί} \quad \pi_2 = n \cdot \delta_2$$

Ἄρα ἡ γωνία ἐκτροπῆς (E) εἶναι :

$$E = n \cdot \delta_1 + n \cdot \delta_2 - A \quad \text{ἢ} \quad E = n \cdot (\delta_1 + \delta_2) - A$$

καί $E = nA - A$

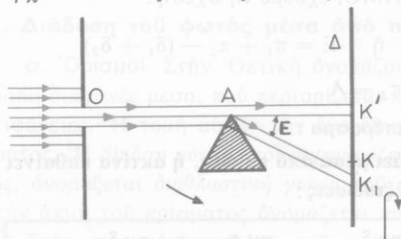
Ἄπό τήν τελευταία ἐξίσωση βρίσκουμε :

$$\text{ἐξίσωση λεπτοῦ πρίσματος} \quad E = A \cdot (n - 1)$$

Ἄρα ὅταν τό πρίσμα εἶναι λεπτό καί ἡ γωνία προσπτώσεως εἶναι μικρή, ἡ γωνία ἐκτροπῆς (E) εἶναι ἀνάλογη μέ τή διαθλαστική γωνία (A) τοῦ πρίσματος.

δ. Μεταβολή τῆς γωνίας ἐκτροπῆς. Ἐλάχιστη ἐκτροπή. Οἱ ἐξισώσεις τοῦ πρίσματος δείχνουν ὅτι ἡ γωνία ἐκτροπῆς E ἐξαρτᾶται ἀπό τή διαθλαστική γωνία A , τό δείκτη διαθλάσεως n τοῦ πρίσματος καί τή γωνία προσπτώσεως π_1 .

Στήν πορεία μιᾶς λεπτῆς παράλληλης μονοχρωματικῆς δέσμης παρεμβάλλουμε πρίσμα ἔτσι, ὥστε ἓνα μέρος τῶν ἀκτίνων τῆς δέσμης νά πέφτει πάνω στό πρίσμα κάθετα στήν ἀκμή του (σχ. 141). Τότε στό διάφραγμα σχηματίζονται δύο φωτεινές κηλίδες. Ἡ κηλίδα K' προέρχεται ἀπό τίς ἀκτίνες τῆς δέσμης πού δέν πέρασαν ἀπό τό πρίσμα, ἐνῶ ἡ κηλίδα K_1 προέρχεται ἀπό τίς ἀκτίνες πού πέρασαν ἀπό τό πρίσμα καί ἔπαθαν ἐκτροπή.



Σχ. 141. Μεταβολή τῆς γωνίας ἐκτροπῆς μέ τή γωνία προσπτώσεως.

Παίρνουμε ὡς ἄξονα περιστροφῆς τήν ἀκμή τοῦ πρίσματος. Τότε στρέφοντας τό πρίσμα μεταβάλλουμε τή γωνία προσπτώσεως. Ἡ φορά τῆς περιστροφῆς τοῦ πρίσματος εἶναι τέτοια, ὥστε ἡ κηλίδα K_1 νά πλησιάζει πρὸς τήν κηλίδα K' . Μέ αὐτή τήν περιστροφή τοῦ πρίσματος ἡ γωνία προσπτώσεως συνεχῶς ἐλαττώνεται. Παρα-

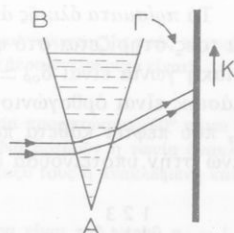
τηρούμε ότι η κηλίδα K_1 στην αρχή πλησιάζει προς την κηλίδα K' , φτάνει ως τη θέση K και έπειτα συνεχώς απομακρύνεται από την κηλίδα K' . Αυτό το πείραμα δείχνει ότι για μία ορισμένη τιμή της γωνίας προσπίπτωσης ή γωνία έκτροπής (E) λαβαίνει την ελάχιστη τιμή της, που ονομάζεται *ελάχιστη έκτροπή*. "Όταν πραγματοποιείται η *ελάχιστη έκτροπή*, λέμε ότι το πρίσμα βρίσκεται στη *θέση ελάχιστης έκτροπής*. Θεωρητικά και πειραματικά αποδεικνύεται ότι:

Στή θέση της ελάχιστης έκτροπής ή γωνία προσπίπτωσης (π_1) είναι ίση με τη γωνία εξόδου της ακτίνας (π_2) από το πρίσμα και τότε η ακτίνα μέσα στο πρίσμα έχει συμμετρική θέση σχετικά με την προσπίπτουσα και την εξερχόμενη ακτίνα.

Έπειδή στη θέση της ελάχιστης έκτροπής είναι $\pi_1 = \pi_2$, έπεται ότι είναι και $\delta_1 = \delta_2$. Τότε από τις γνωστές εξισώσεις του πρίσματος βρίσκουμε ότι για τη θέση της ελάχιστης έκτροπής ισχύουν οι εξισώσεις:

θέση ελάχιστης έκτροπής	$\pi_1 = \pi_2$ $A = 2\delta_1$	$\delta_1 = \delta_2$ $E_{ελαχ} = 2\pi_1 - A$	$\eta\mu \pi_1 = n \cdot \eta\mu \delta_1$
----------------------------	------------------------------------	--	--

ε. Μεταβολή της γωνίας έκτροπής με τη διαθλαστική γωνία. Για να έχουμε πρίσμα με μεταβλητή διαθλαστική γωνία, χρησιμοποιούμε δοχείο, που οι δύο πλάγιες έδρες του μπορούν να στρέφονται γύρω από οριζόντιο άξονα (σχ. 142). Μέσα στο δοχείο υπάρχει νερό, που αποτελεί ένα υγρό πρίσμα. Πάνω στη μία έδρα του πρίσματος πέφτει λεπτή παράλληλη μονοχρωματική δέσμη. Διατηρούμε σταθερή την έδρα, από την οποία μπαίνει το φως στο πρίσμα (π_1 σταθερή), και στρέφοντας την άλλη έδρα έτσι, ώστε να αυξάνει ή διαθλαστική γωνία, διαπιστώνουμε ότι:



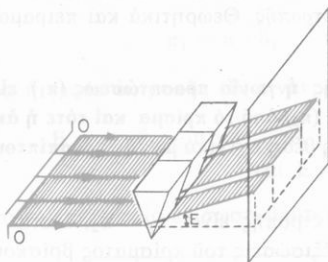
Σχ. 142. Μεταβολή της γωνίας έκτροπής με τη διαθλαστική γωνία του πρίσματος.

"Όταν αυξάνει η διαθλαστική γωνία (A) του πρίσματος, αυξάνει και η γωνία έκτροπής (E).

"Αν συνεχιστεί η αύξηση της διαθλαστικής γωνίας (A), έρχεται στιγμή που η φωτεινή δέσμη *δέ βγαίνει από το πρίσμα*, αλλά πάνω στην έδρα ΑΓ παθαίνει *ολική ανάκλαση*. Έτσι βρέθηκε ότι:

Η φωτεινή ακτίνα βγαίνει από το πρίσμα, όταν η διαθλαστική γωνία του (A) είναι μικρότερη ή ίση με το διπλάσιο της όριακής γωνίας (δ_{op}).

$$\text{συνθήκη για την έξοδο της ακτίνας} \quad A \leq 2 \delta_{op}$$



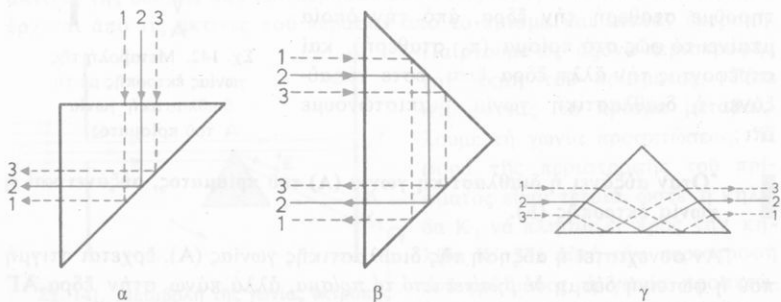
Σχ. 143. Μεταβολή της γωνίας έκτροπής με το δείκτη διαθλάσεως του πρίσματος.

στ. Μεταβολή της γωνίας έκτροπής με το δείκτη διαθλάσεως. Έχουμε ένα σύστημα πρισμάτων (πολύπρισμα) που αποτελείται από πρίσματα, τα οποία έχουν την ίδια διαθλαστική γωνία (A σταθερή), διαφορετικούς όμως δείκτες διαθλάσεως (σχ. 143). Στο πολύπρισμα πέφτει λεπτή παράλληλη μονοχρωματική δέσμη (n_1 σταθερή). Πάνω σε ένα διάφραγμα παρατηρούμε ότι:

Η γωνία έκτροπής (E) αυξάνει, όταν αυξάνει ο δείκτης διαθλάσεως (n) του πρίσματος.

92. Πρίσματα όλικης ανάκλασεως

Τα πρίσματα όλικης ανάκλασεως είναι γυάλινα πρίσματα και ή λειτουργία τους στηρίζεται στο φαινόμενο της όλικης ανάκλασεως (για τό γυαλί ή όριακή γωνία είναι $\delta_{op} \approx 42^\circ$). Η κύρια τομή ενός πρίσματος όλικης ανάκλασεως είναι όρθογώνιο ίσοσκελές τρίγωνο (σχ. 144a). Μιά φωτεινή ακτίνα, που πέφτει κάθετα πάνω στην μία κάθετη έδρα του πρίσματος, πέφτει πάνω στην ύποτείνουσα έδρα με γωνία προσπτώσεως 45° , δηλαδή μεγαλύ-



Σχ. 144. Πρίσμα όλικης ανάκλασεως.

τερη από την όριακή γωνία. Τότε η ακτίνα πάνω στην υποτεινούσα. Έδρα παθαίνει ολική ανάκλαση και βγαίνει από την άλλη κάθετη έδρα χωρίς έκτροπή. Η διεύθυνση της ακτίνας αλλάζει κατά 90° .

Αν οι φωτεινές ακτίνες πέσουν κάθετα πάνω στην υποτεινούσα έδρα, τότε κάθε ακτίνα παθαίνει δύο ολικές ανακλάσεις και βγαίνει πάλι κάθετα από την υποτεινούσα έδρα (σχ. 144 β). Έτσι όμως συμβαίνει αντιστροφή στη σειρά των ακτίνων και αλλαγή στη διεύθυνσή τους κατά 180° . Μπορεί όμως να συμβεί αντιστροφή στη σειρά των ακτίνων, χωρίς να αλλάξει η διεύθυνσή τους (σχ. 144 γ). Τά πρίσματα ολικής ανακλάσεως χρησιμοποιούνται σε πολλά οπτικά όργανα (τηλεσκόπια, περισκόπια κ.ά.).

ΠΡΟΒΛΗΜΑΤΑ

132. Μιά ακτίνα μονοχρωματικού φωτός μπαίνει από τον άερα σε διαφανές σώμα Α. Η γωνία προσπτώσεως είναι $\pi = 45^\circ$ και η γωνία διαθλάσεως είναι $\delta = 30^\circ$. Πόσος είναι ο δείκτης διαθλάσεως του σώματος Α ως προς τον άερα; Αν η ταχύτητα του φωτός στον άερα είναι $c_0 = 300\,000$ km/sec, πόση είναι η ταχύτητα του φωτός στο σώμα Α;

133. Ο δείκτης διαθλάσεως του νερού ως προς τον άερα είναι $n = 4/3$. Πόση είναι η ταχύτητα του φωτός στο νερό;

134. Μιά φωτεινή ακτίνα ηγαίνοντας από τον άερα στο γυαλί σχηματίζει γωνία προσπτώσεως $\pi = 45^\circ$. Ο δείκτης διαθλάσεως του γυαλιού είναι $n = \sqrt{2}$. Πόση έκτροπή παθαίνει η φωτεινή ακτίνα μπαίνοντας μέσα στο γυαλί;

135. Πόσος είναι ο σχετικός δείκτης διαθλάσεως του οίνοπνεύματος ως προς το γυαλί, αν οι δείκτες διαθλάσεως αυτών των δύο σωμάτων ως προς τον άερα αντίστοιχα είναι: $n_1 = 1,36$ και $n_2 = 1,54$;

136. Μιά ακτίνα μονοχρωματικού φωτός πέφτει με γωνία προσπτώσεως 50° πάνω σε μία γυάλινη πλάκα που έχει δείκτη διαθλάσεως $n = 1,50$. Νά βρεθούν η γωνία ανακλάσεως, η γωνία διαθλάσεως και η γωνία που σχηματίζουν μεταξύ τους η ανακλώμενη και η διαθλώμενη ακτίνα.

137. Οί σχετικοί δείκτες διαθλάσεως ως προς τον άερα είναι του νερού $n_N = 1,33$ και του γυαλιού είναι $n_\Gamma = 1,54$. Νά βρεθεί η όριακή γωνία, όταν το φως ηγαίνει από το νερό στο γυαλί.

138. Μιά σημειακή φωτεινή πηγή βρίσκεται στον πυθμένα δοχείου και εκπέμπει φως προς όλες τις διευθύνσεις. Μέσα στο δοχείο υπάρχει νερό που σχηματίζει στήλη ύψους $h = 1$ m. Ο δείκτης διαθλάσεως του νερού είναι $n = 4/3$. Νά βρεθεί η ακτίνα R του φωτεινού κύκλου που σχηματίζεται στην επιφάνεια του νερού.

139. Μέσα σε ένα δοχείο υπάρχει διαφανές υγρό, που έχει δείκτη διαθλάσεως $n = \sqrt{2}$ και σχηματίζει στήλη ύψους 9 cm. Στο υγρό επιπλέει ένας κυκλικός δίσκος από φελλό που έχει διάμετρο 8 cm και άσημαντο πάχος. Πάνω από το κέντρο του δίσκου και σε απόσταση 4 cm υπάρχει μία σημειακή φωτεινή πηγή. Πόση είναι η διάμετρος του σκοτεινού κύκλου που σχηματίζεται στον πυθμένα του δοχείου;

140. Μιά μονοχρωματική ακτίνα πέφτει πλάγια πάνω σέ μία γυάλινη πλάκα, πού έχει δείκτη διαθλάσεως n . Ποιά σχέση πρέπει νά ισχύει, γιά νά είναι ή ανακλώμενη καί ή διαθλώμενη ακτίνα κάθετες μεταξύ τους; Έφαρμογή $n = 1,5$, $\epsilon\phi 57^\circ = 1,5$.

141. Μιά φωτεινή ακτίνα μπαίνοντας από τόν άέρα μέσα σέ μία πλάκα σχηματίζει γωνία προσπτώσεως π καί γωνία διαθλάσεως δ . Άν τό πάχος τής πλάκας είναι d , νά βρεθεί δι τή παράλληλη μετατόπιση a τής φωτεινής ακτίνας δίνεται από τήν εξίσωση:

$$a = d \cdot \frac{\eta\mu(\pi - \delta)}{\sigma\upsilon\nu \delta}$$

142. Μιά φωτεινή ακτίνα περνάει μέσα από πρίσμα πού έχει διαθλαστική γωνία $A = 60^\circ$ καί δείκτη διαθλάσεως $n = \sqrt{2}$. Πόση είναι ή γωνία ελάχιστης έκτροπής;

143. Ένα πρίσμα έχει διαθλαστική γωνία $A = 45^\circ$ καί δείκτη διαθλάσεως $n = 1,5$. Η φωτεινή ακτίνα σχηματίζει γωνία προσπτώσεως $\pi_1 = 30^\circ$. Πόση είναι ή γωνία έκτροπής;

144. Η κύρια τομή πρίσματος είναι ισόπλευρο τρίγωνο ΑΒΓ. Μιά φωτεινή ακτίνα πέφτει κάθετα πάνω στήν έδρα ΑΒ. Νά κατασκευαστεί ή πορεία τής ακτίνας καί νά βρεθεί πόση είναι ή γωνία έκτροπής, άν ό δείκτης διαθλάσεως του πρίσματος είναι $n = \sqrt{2}$.

145. Ένα λεπτό γυάλινο πρίσμα έχει διαθλαστική γωνία $A_1 = 5^\circ$, δείκτη διαθλάσεως $n_1 = 1,52$ καί βρίσκεται σέ έπαφή μέ ένα άλλο γυάλινο πρίσμα πού έχει δείκτη διαθλάσεως $n_2 = 1,63$. Μιά φωτεινή ακτίνα, όταν πέφτει κάθετα πάνω στήν έδρα του ένος πρίσματος, βγαίνει από τήν έδρα του άλλου πρίσματος χωρίς νά πάθει έκτροπή. Πόση είναι ή διαθλαστική γωνία A_2 του άλλου πρίσματος;

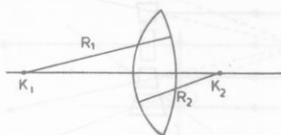
146. Μιά φωτεινή ακτίνα πέφτει κάθετα πάνω στή μία έδρα πρίσματος, πού έχει διαθλαστική γωνία A καί βγαίνει στόν άέρα από τήν άλλη έδρα του πρίσματος σχηματίζοντας μέ τήν κάθετο στήν έδρα γωνία π_2 . Νά βρεθεί ό δείκτης διαθλάσεως n του πρίσματος. Έφαρμογή $A = 30^\circ$, $\pi_2 = 45^\circ$.

147. Πόση πρέπει νά είναι ή διαθλαστική γωνία A ένος πρίσματος πού έχει δείκτη διαθλάσεως $n = 1,75$, γιά νά μή μπορεί ή φωτεινή ακτίνα νά βγει από τήν άλλη έδρα του πρίσματος στόν άέρα; $\eta\mu 35^\circ \simeq 0,571$.

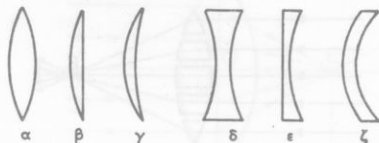
Σφαιρικοί φακοί

93. Φακοί

α. Όρισμοί. Όνομάζουμε *φακό* ένα διαφανές μέσο (συνήθως γυαλί), πού περιορίζεται από δύο σφαιρικές επιφάνειες ή από μία σφαιρική καί μία επίπεδη επιφάνεια (σχ. 145). Οί ακτίνες καμπυλότητας (R_1 , R_2) τών σφαιρικών επιφανειών ονομάζονται *ακτίνες καμπυλότητας* του φακού. Τά κέντρα καμπυλότητας K_1 , K_2 τών σφαιρικών επιφανειών ονομάζονται *κέντρα καμπυλότητας* του φακού. Η εϋθεία K_1K_2 πού περνάει από τά δύο κέντρα



Σχ. 145. Σφαιρικός φακός (R_1, R_2 , ακτίνες καμπυλότητας, K_1, K_2 κέντρα καμπυλότητας).



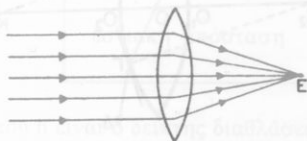
Σχ. 146. Σφαιρικοί φακοί (α, β, γ , συγκεντρωτικοί, δ, ϵ, ζ άποκεντρωτικοί φακοί).

καμπυλότητας, ονομάζεται *κύριος άξονας* του φακού.

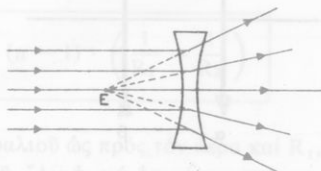
Στήν παρακάτω μελέτη των φακών δεχόμαστε ότι ισχύουν οι έξης συνθήκες :

- α) Ο φακός βρίσκεται μέσα στην *άερα*, που ο δείκτης διαθλάσεως του είναι κατά προσέγγιση ίσος με τη μονάδα ($n_{\text{αερ}} = 1$).
- β) Οι φωτεινές ακτίνες που πέφτουν στο φακό βρίσκονται *πολύ κοντά* στον κύριο άξονα (κεντρικές ακτίνες).
- γ) Το φως που πέφτει στο φακό είναι *μονοχρωματικό*.

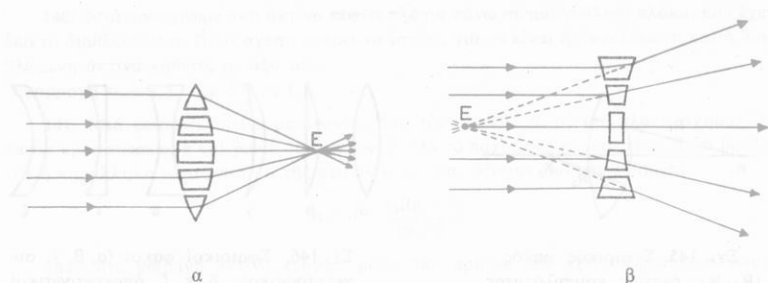
β. Συγκεντρωτικοί και άποκεντρωτικοί φακοί. Από το συνδυασμό δύο σφαιρικών επιφανειών ή μιās σφαιρικής και μιās επίπεδης επιφάνειας προκύπτουν έξι είδη φακών (σχ. 146). Οι φακοί που είναι παχύτεροι στη μέση και λεπτότεροι στις άκρες ονομάζονται *συγκεντρωτικοί* (ή *συγκλίνοντες*) φακοί, γιατί μεταβάλλουν σε συγκλίνουσα δέσμη μία παράλληλη δέσμη φωτεινών ακτίνων που πέφτει πάνω τους (σχ. 147). Αντίθετα οι φακοί, που είναι λεπτότεροι στη μέση και παχύτεροι στις άκρες, ονομάζονται *άποκεντρωτικοί* (ή *άποκλίνοντες*) φακοί, γιατί μεταβάλλουν σε άποκλίνουσα δέσμη μία παράλληλη δέσμη φωτεινών ακτίνων που πέφτει πάνω τους (σχ. 148).



Σχ. 147. Η κύρια έστία (E) του συγκεντρωτικού φακού.



Σχ. 148. Η κύρια έστία (E) στον άποκεντρωτικό φακό είναι φανταστική.

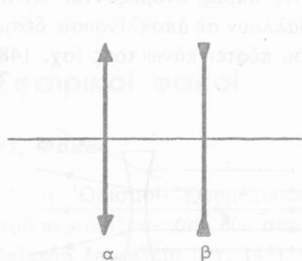


Σχ. 149. Έξήγηση της ιδιότητας των φακών να σχηματίζουν συγκλίνουσα (α) ή αποκλίνουσα (β) δέσμη.

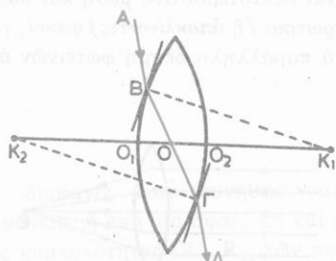
Ἡ ιδιότητα αὐτὴ τῶν φακῶν ἐρμηνεύεται, ἂν θεωρήσουμε ὅτι ὁ φακὸς ἀποτελεῖται ἀπὸ μικρὰ τμήματα πρισμάτων, πού οἱ διαθλαστικές γωνίες τους (A) μεταβάλλονται συνεχῶς, ὅσο προχωροῦμε ἀπὸ τὸν κύριο ἄξονα πρὸς τὶς ἄκρες τοῦ φακοῦ (σχ. 149).

Τὸ πάχος τῶν φακῶν πού συνήθως χρησιμοποιοῦμε, ὅταν τὸ μετράμε κατὰ μῆκος τοῦ κύριου ἄξονα, εἶναι πολὺ μικρὸ σχετικὰ μὲ τὶς ἀκτίνες καμπυλότητας. Αὐτοὶ οἱ φακοὶ ὀνομάζονται *λεπτοὶ φακοὶ* καὶ γραφικὰ παριστάνονται ὅπως δείχνει τὸ σχῆμα 150.

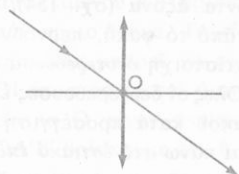
γ. Ὁπτικὸ κέντρο τοῦ φακοῦ. Ὁ κύριος ἄξονας τοῦ φακοῦ τέμνει τὶς δύο σφαιρικές ἐπιφάνειες σὲ δύο σημεῖα O_1 καὶ O_2 (σχ. 151). Στους λεπτοὺς φακοὺς θεωροῦμε ὅτι αὐτὰ τὰ δύο σημεῖα συμπίπτουν σὲ ἓνα σημεῖο O τοῦ κύριου ἄξονα (σχ. 152). Αὐτὸ τὸ σημεῖο ὀνομάζεται *ὀπτικὸ κέντρο* τοῦ φακοῦ καὶ ἔχει τὴν ἐξῆς ιδιότητα :



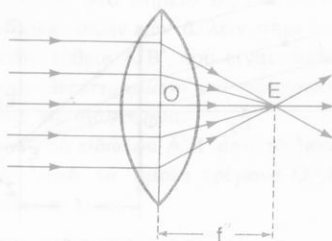
Σχ. 150. Σχηματικὴ παράσταση τῶν λεπτῶν φακῶν (α συγκεντρωτικός, β ἀποκεντρωτικός φακός).



Σχ. 151. Ἡ ἀκτὶνὰ πού περνάει ἀπὸ τὸ ὀπτικὸ κέντρο δὲν παθαίνει ἐκτροπή.



Σχ. 152. Δευτερεύων άξονας φακού.



Σχ. 153. Έστιακή απόσταση (f) του φακού.

Μιά φωτεινή ακτίνα, που περνάει από τό οπτικό κέντρο, βγαίνει από τό φακό χωρίς εκτροπή.

Κάθε ευθεία, που περνάει από τό οπτικό κέντρο (έκτός από τόν κύριο άξονα) όνομάζεται *δευτερεύων άξονας* του φακού (σχ. 152).

94. Συγκεντρωτικοί φακοί

α. Κύρια έστία. Έστιακή απόσταση. Σέ ένα συγκεντρωτικό φακό πέφτει μία φωτεινή δέσμη παράλληλη μέ τόν κύριο άξονα (σχ. 153). Όλες οι άκτινες που βγαίνουν από τό φακό περνούν από ένα σημείο E του κύριου άξονα, που όνομάζεται *κύρια έστία* του φακού. Η απόσταση της κύριας έστιας από τό οπτικό κέντρο όνομάζεται *έστιακή απόσταση* (f) του φακού. Αυτή είναι *σταθερή* και *ανεξάρτητη* από τή φορά των φωτεινών άκτινων που πέφτουν στό φακό. Ωστε :

Ό συγκεντρωτικός φακός έχει δύο πραγματικές κύριες έστιες (E), που είναι συμμετρικές ως προς τό οπτικό κέντρο του φακού.

Η έστιακή απόσταση (f) του φακού δίνεται από τήν εξίσωση :

$$\text{έστιακή απόσταση} \quad \frac{1}{f} = (n - 1) \cdot \left(\frac{1}{R_1} + \frac{1}{R_2} \right)$$

όπου n είναι ό δείκτης διαθλάσεως του γυαλιού ως προς τόν άέρα και R_1, R_2 είναι οι ακτίνες καμπυλότητας του φακού. Αν ή μία επιφάνεια του φακού είναι επίπεδη, τότε είναι $R_2 = \infty$ (άρα $1/R_2 = 0$). Τά R_1 και R_2 έχουν θετική τιμή, όταν άντιστοιχούν σέ *κυρτές* επιφάνειες των φακών.

λο $A'B'$. Έτσι οι ακτίνες BO και $B\Gamma$, που φεύγουν από την άκρη B του αντικειμένου, όταν βγούν από το φακό, τέμνονται στο σημείο B' , που είναι το είδωλο του φωτεινού σημείου B . Τα είδωλα όλων των άλλων σημείων του αντικειμένου AB βρίσκονται πάνω στην ευθεία $A'B'$, που είναι κάθετη στον κύριο άξονα. Το είδωλο $A'B'$ είναι αντιστραμμένο και πραγματικό, επομένως μπορεί να σχηματιστεί πάνω σε διάφραγμα.

Οι αποστάσεις του αντικειμένου AB και του ειδώλου $A'B'$ από το οπτικό κέντρο O είναι αντίστοιχα α και β . Από τα όμοια τρίγωνα OAB και $OA'B'$ βρίσκουμε ότι η γραμμική μεγέθυνση είναι :

$$\frac{A'B'}{AB} = \frac{OA'}{OA} \quad \text{ή} \quad \boxed{\frac{A'B'}{AB} = \frac{\beta}{\alpha}} \quad (1)$$

Από τα όμοια τρίγωνα GOE_1 και $A'B'E_1$ βρίσκουμε :

$$\frac{A'B'}{OG} = \frac{E_1A'}{OE_1} \quad \text{ή} \quad \frac{A'B'}{AB} = \frac{\beta - f}{f} \quad (2)$$

Αν εξισώσουμε τα δεύτερα μέλη των εξισώσεων (1) και (2), έχουμε :

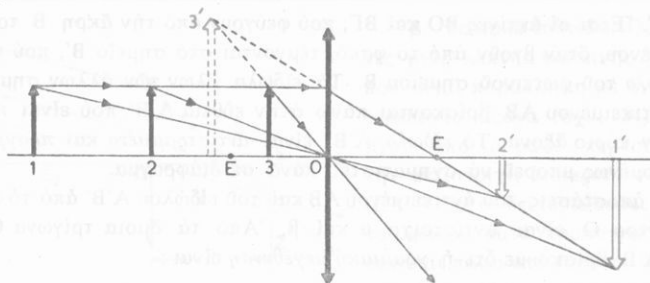
$$\frac{\beta}{\alpha} = \frac{\beta - f}{f} \quad \text{άρα} \quad \boxed{\frac{1}{\alpha} + \frac{1}{\beta} = \frac{1}{f}} \quad (3)$$

Η εξίσωση (1) προσδιορίζει το μέγεθος του ειδώλου και η εξίσωση (3) προσδιορίζει τη θέση του ειδώλου.

ε. Πραγματικό ή φανταστικό είδωλο. Αν λύσουμε την εξίσωση (3) ως προς β έχουμε :

$$\beta = \frac{\alpha f}{\alpha - f} \quad \text{ή} \quad \beta = \frac{f}{1 - \frac{f}{\alpha}} \quad (4)$$

1. Όταν το αντικείμενο βρίσκεται στο άπειρο ($\alpha = \infty$), τότε είναι $\beta = f$, δηλαδή το είδωλο σχηματίζεται στην κύρια εστία, είναι πραγματικό, αλλά είναι σημείο.
2. Το αντικείμενο βρίσκεται πέρα από την κύρια εστία ($\alpha > f$). Τότε το είδωλο σχηματίζεται πέρα από την άλλη κύρια εστία ($\beta > f$) και είναι πραγματικό και αντιστραμμένο (σχ. 157).



Σχ. 157. Ο συγκεντρωτικός φακός σχηματίζει εἶδωλο πραγματικό (1', 2') καὶ εἶδωλο φανταστικό (3').

- Τό ἀντικείμενο βρίσκεται στήν κύρια ἐστία ($a = f$). Τότε τό εἶδωλο σχηματίζεται στό ἄπειρο ($\beta = \infty$), δηλαδή σ' αὐτή τήν περίπτωση δέν ὑπάρχει εἶδωλο.
- Τό ἀντικείμενο βρίσκεται μεταξύ τῆς κύριας ἐστίας καί τοῦ φακοῦ ($a < f$). Ἀπό τήν ἐξίσωση (4) βρίσκουμε ὅτι τό β ἔχει ἀρνητική τιμή ($\beta < 0$). Μέ τή γεωμετρική κατασκευή βρίσκουμε ὅτι τό εἶδωλο σχηματίζεται πρὸς τό ἴδιο μέρος τοῦ φακοῦ, εἶναι φανταστικό, ὄρθιο καί μεγαλύτερο ἀπό τό ἀντικείμενο.

Ἀπό τά παραπάνω καταλήγουμε στά ἀκόλουθα συμπεράσματα γιά τούς συγκεντρωτικούς φακούς :

I. Ὁ συγκεντρωτικός φακός σχηματίζει εἶδωλο πραγματικό, ὅταν τό ἀντικείμενο βρίσκεται πέρα ἀπό τήν κύρια ἐστία ($a > f$), ἐνῶ σχηματίζει εἶδωλο φανταστικό, ὅταν τό ἀντικείμενο βρίσκεται μεταξύ τῆς κύριας ἐστίας καί τοῦ φακοῦ ($a < f$).

II. Ἡ θέση καί τό μέγεθος τοῦ εἰδώλου προσδιορίζονται σέ ὅλες τίς περιπτώσεις ἀπό τίς ἐξῆς ἐξισώσεις :

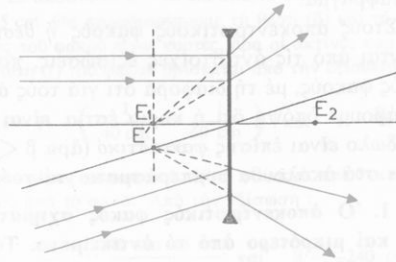
$$\text{συγκεντρωτικοὶ φακοὶ} \quad \frac{1}{a} + \frac{1}{\beta} = \frac{1}{f} \quad \frac{E}{A} = \frac{\beta}{a}$$

ὅπου E καί A εἶναι ἀντίστοιχα οἱ γραμμικές διαστάσεις τοῦ εἰδώλου A'B' καί τοῦ ἀντικειμένου AB. Οἱ παραπάνω ἐξισώσεις ἰσχύουν μέ τόν ὄρο νά δεχτοῦμε τήν ἐξῆς σύμβαση ὡς πρὸς τά σημεῖα :

a	θετικό	:	ἀντικείμενο πραγματικό
β	θετικό	:	εἶδωλο πραγματικό
β	ἀρνητικό	:	εἶδωλο φανταστικό.

95. Άποκεντρωτικοί φακοί

α. Κύρια έστια. Όταν πάνω σε ένα άποκεντρωτικό φακό πέφτει μία φωτεινή δέσμη παράλληλη με τον κύριο άξονα (σχ. 158), τότε η δέσμη που βγαίνει από το φακό είναι αποκλίνουσα και φαίνεται ότι προέρχεται από ένα σημείο E του κύριου άξονα. Αυτό το σημείο είναι η κύρια έστια του φακού, ή όποια είναι φανταστική. Ωστε :



Σχ. 158. Κύρια έστια (E) και έστιακό επίπεδο σε αποκλίνοντα φακό.

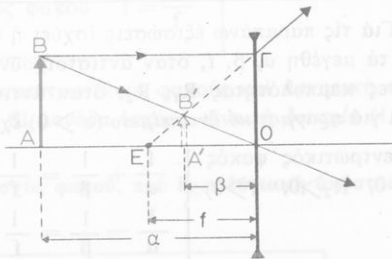
Ο άποκεντρωτικός φακός έχει δύο φανταστικές κύριες έστιες (E) που είναι συμμετρικές ως προς το οπτικό κέντρο του φακού.

Η έστιακή απόσταση (f) του φακού είναι άρνητική και προσδιορίζεται από την εξίσωση :

$$\text{έστιακή απόσταση} \quad \frac{1}{f} = (n - 1) \cdot \left(\frac{1}{-R_1} + \frac{1}{-R_2} \right)$$

Τά R_1 και R_2 έχουν άρνητική τιμή, όταν αντιστοιχούν σε κοίλες επιφάνειες των φακών. Στόν άποκεντρωτικό φακό και οι δευτερεύουσες έστιες είναι φανταστικές και βρίσκονται πάνω σε δύο έστιακά επίπεδα φανταστικά.

β. Είδωλο αντικειμένου. Ως φωτεινό αντικείμενο θεωρούμε μία ευθεία AB κάθετη στόν κύριο άξονα. Έπειδή ξέρουμε την πορεία όρισμένων ακτίλων, μπορούμε να κατασκευάσουμε το είδωλο A'B' (σχ. 159). Οι ακτίνες ΒΓ και ΒΟ, που προέρχονται από την άκρη Β του αντικειμένου, όταν βγουν από το φακό, φαίνεται ότι προέρχονται από το σημείο Β', που είναι το είδωλο του φωτεινού σημείου Β. Τό είδωλο A'B' είναι κάθετο στόν κύριο άξονα, φανταστικό, όρθιο και μικρότερο από τό



Σχ. 159. Φανταστικό είδωλο (A'B') ενός αντικειμένου (AB).

Παράδειγμα. Ἀμφίκυρτος φακός ἔχει δείκτη διαθλάσεως $n = 1,5$ καὶ ἀκτίνες καμπυλότητος $R_1 = 40$ cm καὶ $R_2 = 60$ cm. Σὲ ἀπόσταση $a = 40$ cm ἀπὸ τὸ φακὸ τοποθετεῖται φωτεινὴ εὐθεῖα, πού ἔχει μῆκος $A = 5$ cm. Θὰ προσδιορίσουμε τὴ θέση (β) καὶ τὸ μέγεθος (E) τοῦ εἰδώλου. Οἱ δύο ἐπιφάνειες τοῦ φακοῦ εἶναι κυρτές, ἄρα οἱ ἀκτίνες καμπυλότητος εἶναι θετικές. Ἡ ἔστιακὴ ἀπόσταση (f) τοῦ φακοῦ βρίσκεται ἀπὸ τὴν ἐξίσωση :

$$\frac{1}{f} = (n-1) \cdot \left(\frac{1}{R_1} + \frac{1}{R_2} \right) = (1,5-1) \cdot \left(\frac{1}{40 \text{ cm}} + \frac{1}{60 \text{ cm}} \right) \quad \text{καὶ} \quad f = 48 \text{ cm}$$

Δίνεται ὅτι εἶναι $a < f$. Ἄρα τὸ εἶδωλο εἶναι φανταστικό. Αὐτὸ φαίνεται καὶ ὅταν ὑπολογίσουμε τὴν ἀπόσταση β τοῦ εἰδώλου ἀπὸ τὸ φακὸ. Ἀπὸ τὴν ἐξίσωση :

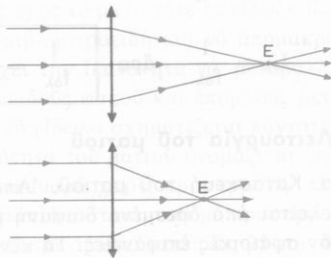
$$\frac{1}{a} + \frac{1}{\beta} = \frac{1}{f} \quad \text{βρίσκουμε} \quad \beta = \frac{a \cdot f}{a-f} = \frac{40 \text{ cm} \cdot 48 \text{ cm}}{(40-48) \text{ cm}} \quad \text{καὶ} \quad \beta = -240 \text{ cm}$$

Τὸ μέγεθος τοῦ εἰδώλου (κατὰ ἀπόλυτη τιμὴ) εἶναι :

$$E = A \cdot \frac{\beta}{a} = 5 \text{ cm} \cdot \frac{240 \text{ cm}}{40 \text{ cm}} \quad \text{καὶ} \quad E = 30 \text{ cm}$$

97. Ἴσχύς φακοῦ

Σὲ ἓνα συγκεντρωτικὸ φακὸ πέφτει φωτεινὴ δέσμη παράλληλη μὲ τὸν κύριον ἄξονα (σχ. 160). Ὁ φακὸς μετατρέπει αὐτὴ τὴ δέσμη σὲ τόσο περισσότερη συγκλίνουσα, ὅσο μικρότερη εἶναι ἡ ἔστιακὴ ἀπόσταση (f) τοῦ φακοῦ. Ὀνομάζεται *ἰσχύς* (I) ἑνὸς φακοῦ τὸ ἀντίστροφο τῆς ἔστιακῆς ἀποστάσεώς του (f).



Σχ. 160. Γιά τὸν ὀρισμὸ τῆς ἰσχύος τοῦ φακοῦ.

$$\text{ἰσχύς φακοῦ} \quad I = \frac{1}{f}$$

Ἡ ἰσχύς εἶναι θετικὴ στοὺς συγκεντρωτικούς φακοὺς καὶ ἀρνητικὴ στοὺς ἀποκεντρωτικούς. Στὸ σύστημα SI μονάδα ἰσχύος εἶναι ἡ *δοπτρία* (1 dpt), πού ὀρίζεται ὡς ἑξῆς :

Διοπτρία (1 dpt) εἶναι ἡ ἰσχύς φακοῦ, πού ἔχει ἔστιακὴ ἀπόσταση (f) ἴση μὲ ἓνα μέτρο (1 m).

$$1 \text{ διοπτρία (1 dpt)} = \frac{1}{1 \text{ m}} \quad \text{ἢ} \quad 1 \text{ dpt} = 1 \text{ m}^{-1}$$

*Έτσι π.χ. συγκεντρωτικός φακός, πού έχει έστιακή απόσταση $f = 20$ cm, έχει ισχύ :

$$I = \frac{1}{f} = \frac{1}{0,20 \text{ m}} \quad \text{καί} \quad I = 5 \text{ dpt}$$

98. Σύστημα λεπτών φακών

*Όταν πολλοί λεπτοί φακοί έχουν τόν ίδιο κύριο άξονα και βρίσκονται σέ έπαφή, τότε αυτοί οί φακοί αποτελούν ένα σύστημα φακών, πού ή ισχύς του ($I_{ολ}$) είναι ίση μέ τό άλγεβρικό άθροισμα τών ισχύων όλων τών φακών του συστήματος, δηλαδή είναι :

$$I_{ολ} = I_1 + I_2 + I_3 + \dots$$

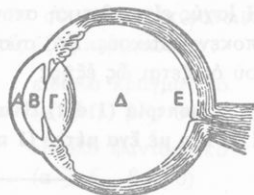
*Ωστε τό σύστημα φακών ισοδυναμεί μέ ένα φακό, πού έχει έστιακή απόσταση $f_{ολ}$ καί ισχύ :

$$I_{ολ} = \frac{1}{f_{ολ}} \quad \text{άρα} \quad \boxed{\frac{1}{f_{ολ}} = \frac{1}{f_1} + \frac{1}{f_2} + \frac{1}{f_3} + \dots + \frac{1}{f_v}}$$

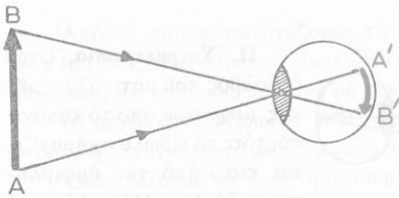
99. Λειτουργία του ματιού

α. Κατασκευή του ματιού. Άπό όπτική άποψη τό μάτι (όφθαλμός) αποτελείται από όρισμένα διαφανή μέσα, πού χωρίζονται μεταξύ τους μέ σχεδόν σφαιρικές επιφάνειες. Τά κέντρα αυτών τών επιφανειών βρίσκονται πάνω στόν άξονα του ματιού. *Όταν προχωρούμε από τό έξωτερικό προς τό έσωτερικό του ματιού, συναντούμε διαδοχικά τά εξής (σχ. 161) : α) Τό διαφανή *κερατοειδή χιτώνα* Α. β) Τό *ύδατώδες υγρό* Β. γ) *Ένα διάφραγμα, πού τό όνομάζουμε *ίριδα* καί στή μέση έχει κυκλικό άνοιγμα, τήν *κόρη* (ή διάμετρος της μπορεί νά μεταβάλλεται). δ) *Έναν άμφίκυρτο έλαστικό φακό Γ, πού όνομάζεται *κρυσταλλοειδής φακός* καί ε) Τό *ύαλώδες υγρό* Δ.

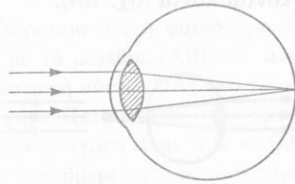
Στό έσωτερικό τοίχωμα του ματιού άπλώνεται ό *άμφιβληστροειδής χιτώνας* Ε, πού αποτελείται από τίς διακλαδώσεις του όπτικού νεύρου. Γιά νά διακρίνουμε καθαρά ένα αντικείμενο, πρέπει τό είδωλο νά σχηματίζεται πάνω στόν άμφιβληστροειδή. Τό είδωλο αυτό είναι *πραγματικό, αντιστραμμένο καί μικρότερο* από τό αντικείμενο (σχ. 162).



Σχ. 161. Τομή του ματιού.



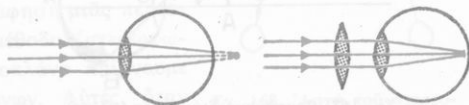
Σχ. 162. Τό είδωλο (A'B') σχηματίζεται πάνω στον άμφιβληστροειδή χιτώνα.



Σχ. 163. Κανονικό μάτι.

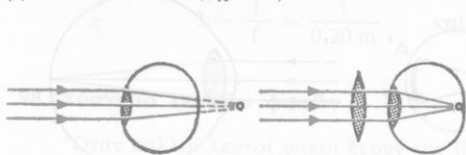
β. Κανονικό μάτι. Προσαρμογή. "Όταν ένα αντικείμενο βρίσκεται στο άπειρο, τό είδωλο σχηματίζεται πάνω στον άμφιβληστροειδή (σχ. 163). "Αν τό αντικείμενο πλησιάζει συνεχώς πρós τό μάτι, τότε τό είδωλο θά έπρεπε νά σχηματίζεται πίσω άπό τόν άμφιβληστροειδή και νά άπομακρύνεται συνεχώς άπό αυτόν. "Αλλά τό μάτι έχει τήν ικανότητα νά μεταβάλλει τίς άκτίνες καμπυλότητας του κρυσταλλοειδούς φακού και έπομένως μεταβάλλει τήν έστιακή άπόσταση του. "Έτσι τό είδωλο σχηματίζεται πάντοτε πάνω στον άμφιβληστροειδή. Αυτή ή ικανότητα του ματιού ονομάζεται *προσαρμογή*. Τό μάτι, πού μπορεί νά βλέπει καθαρά χωρίς προσαρμογή τά αντικείμενα πού βρίσκονται σέ πολύ μεγάλη άπόσταση, και μέ προσαρμογή νά βλέπει καθαρά αντικείμενα πού βρίσκονται σέ άπόσταση ως 25 cm, ονομάζεται *κανονικό μάτι*. "Η πιό μικρή άπόσταση, στήν όποία μπορεί νά πλησιάσει ένα αντικείμενο τό μάτι, ώστε τό μάτι νά τό βλέπει καθαρά, ονομάζεται *ελάχιστη άπόσταση εϋκρινούς όράσεως*. Αυτή γιά τό κανονικό μάτι είναι περίπου 25 cm.

γ. Έλαττώματα του ματιού. **Ι. Πρεσβυωπία.** "Η ικανότητα του ματιού νά μεταβάλλει τήν έστιακή άπόσταση του κρυσταλλοειδούς φακού έλαττώνεται, όσο αυξάνει ή ηλικία, γιατί έλαττώνεται συνεχώς ή έλαστικότητα του φακού. "Η έλάττωση τής ικανότητας προσαρμογής έχει ως άποτέλεσμα νά αυξάνει συνεχώς ή ελάχιστη άπόσταση εϋκρινούς όράσεως. Αυτό τό έλάττωμα ονομάζεται *πρεσβυωπία*. "Ο πρεσβύωπας βλέπει καθαρά τά αντικείμενα πού βρίσκονται σέ μεγάλη άπόσταση, αλλά δέν μπορεί νά διακρίνει τά αντικείμενα πού είναι κοντά, γιατί τό είδωλο σχηματίζεται πίσω από τόν άμφιβληστροειδή.



Σχ. 164. Πρεσβυωπία και διόρθωσή της.

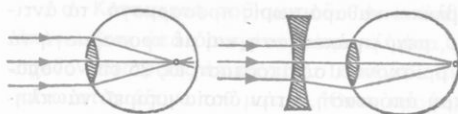
Για να αναπληρωθεί αυτή η ικανότητα προσαρμογής, ο πρεσβύωπας χρησιμοποιεί *συγκεντρωτικό* φακό για την παρατήρηση των αντικειμένων που βρίσκονται κοντά (σχ. 164).



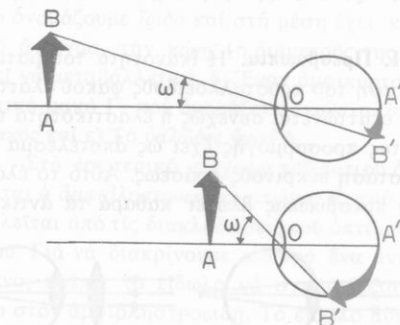
Σχ. 165. Ύπερμετρωπία και διόρθωσή της.

τρωπία και διορθώνεται με *συγκεντρωτικό* φακό, όπως και στην *πρεσβυωπία*.

III. Μυωπία. Σε μερικές περιπτώσεις ο βολβός του ματιού έχει *επιμηκυνθεί* και τότε το είδωλο αντικειμένου, που βρίσκεται σε μεγάλη απόσταση, σχηματίζεται *εμπρός* από τον *άμφιβληστροειδή*. Αυτό το *ελάττωμα* ονομάζεται *μυωπία* και είναι το αντίθετο της *υπερμετρωπίας*. Η *μυωπία* διορθώνεται με *άποκεντρωτικό* φακό, που μετατοπίζει το είδωλο πάνω στον *άμφιβληστροειδή* (σχ. 166).



Σχ. 166. Μυωπία και διόρθωσή της.



Σχ. 167. Φαινόμενη διάμετρος (ω) του αντικειμένου (AB).

II. Ύπερμετρωπία. Όταν ο βολβός του ματιού έχει μήκος *μικρότερο* από το κανονικό, τότε το είδωλο σχηματίζεται *πίσω* από τον *άμφιβληστροειδή* (σχ. 165). Αυτό το *ελάττωμα* ονομάζεται *υπερμετρωπία*.

δ. Φαινόμενη διάμετρος ενός αντικειμένου. Ονομάζεται *φανόμενη διάμετρος* ενός αντικειμένου AB (ή και *γωνία δράσεως*) ή γωνία ω με την οποία βλέπουμε το αντικείμενο (σχ. 167). Από το *όρθογώνιο τρίγωνο* AOB έχουμε τη σχέση:

$$\epsilon\phi \omega = \frac{AB}{OA}$$

Όταν το αντικείμενο βρίσκεται σε μεγάλη απόσταση, τότε η γωνία ω είναι πολύ μικρή και αντί για την *εφαπτομένη* της παίρνουμε την *ίδια* τη γωνία ω μετρημένη σε *άκτνια*. Επομένως τότε είναι:

$$\text{φαινόμενη διάμετρος } \omega = \frac{AB}{OA}$$

Από τὰ παραπάνω βγάζουμε τὸ συμπέρασμα ὅτι ἡ φαινόμενη διάμετρος (ω) ἑνὸς ἀντικειμένου εἶναι *ἀνάλογη* μὲ τὸ μέγεθος (AB) τοῦ ἀντικειμένου καὶ *ἀντιστρόφως ἀνάλογη* μὲ τὴν ἀπόσταση αὐτοῦ (OA) ἀπὸ τὸ μάτι.

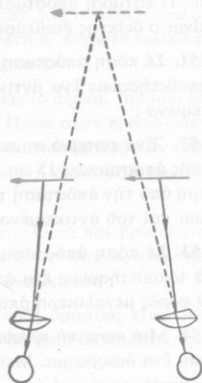
Τὸ μέγεθος τοῦ εἰδώλου A'B', πού σχηματίζεται πάνω στὸν ἀμφιβληστροειδῆ, εἶναι *ἀνάλογο* μὲ τὴ φαινόμενη διάμετρο (γιατί εἶναι $A'B' = OA \cdot \omega$).

Ὅταν θέλουμε νὰ παρατηρήσουμε τίς λεπτομέρειες ἑνὸς ἀντικειμένου, τὸ πλησιάζουμε πρὸς τὸ μάτι καὶ τότε αὐξάνει ἡ φαινόμενη διάμετρος τοῦ ἀντικειμένου (ἐπομένως αὐξάνει καὶ τὸ μέγεθος τοῦ εἰδώλου). Ἐπειδὴ ἡ ἀπόσταση τοῦ ἀντικειμένου ἀπὸ τὸ μάτι δὲν μπορεῖ νὰ γίνει μικρότερη ἀπὸ τὴν ἐλάχιστη ἀπόσταση εὐκρινοῦς ὁράσεως (25 cm γιὰ τὸ κανονικὸ μάτι), γι' αὐτὸ ἡ φαινόμενη διάμετρος τοῦ ἀντικειμένου ἔχει *τὴ μεγαλύτερη τιμὴ της*, ὅταν τὸ ἀντικείμενο βρίσκεται στὴν ἐλάχιστη ἀπόσταση εὐκρινοῦς ὁράσεως.

ε. Διόφθαλμη ὄραση. Στερεοσκόπιο. Ὅταν παρατηροῦμε ἓνα ἀντικείμενο μὲ τὰ δύο μάτια μας, τότε στὸν ἀμφιβληστροειδῆ κάθε ματιοῦ σχηματίζεται ἰδιαίτερο εἶδωλο, πού τὸ ἓνα διαφέρει λίγο ἀπὸ τὸ ἄλλο. Αὐτὲς οἱ μικρὲς διαφορὲς συντελοῦν στὸ νὰ ἔχουμε τὴν ἐντύπωση τοῦ *ἀνάγλυφου*, δηλαδή τὴν ἐντύπωση ὅτι τὸ ἀντικείμενο βρίσκεται μέσα στὸ χῶρο ὄχι ὡς ἐπιφάνεια, ἀλλὰ ὡς σῶμα πού ἔχει διαστάσεις.

Τὸ στερεοσκόπιο ἀναπαράγει τὴν ἐντύπωση τοῦ ἀνάγλυφου, πού μᾶς δίνει ἡ *διόφθαλμη ὄραση*. Μὲ δύο φωτογραφικὲς μηχανές, πού ἀπέχουν μεταξύ τους ὅσο ἀπέχουν τὰ δύο μάτια (δηλαδή 6 ὡς 7 cm), παίρνουμε δύο εἰκόνες τοῦ ἀντικειμένου, πού δὲν εἶναι τελείως ὅμοιες. Ἡ καθεμιά ἀπὸ αὐτὲς ἀντιστοιχεῖ στὴν εἰκόνα πού μᾶς δίνει χωριστὰ τὸ κάθε μάτι μας. Ὅταν μὲ τὸ στερεοσκόπιο (σχ. 168) παρατηροῦμε τίς δύο εἰκόνες, τότε τὸ εἶδωλο πού βλέπουμε μᾶς δίνει τὴν ἐντύπωση τοῦ ἀνάγλυφου. Τὸ σύστημα παρατηρήσεως ἀποτελεῖται συνήθως ἀπὸ σύστημα φακοῦ καὶ πρίσματος.

Σήμερα γιὰ τὴ χαρτογράφηση μιᾶς περιοχῆς ἐφαρμόζουμε τὴν ἐξῆς μέθοδο (*στερεοφωτογραμμομετρία*): Ἀπὸ ἀεροπλάνο παίρνουμε ζεύγη φωτογραφικῶν εἰκόνων. Αὐτὲς, ὅταν τίς παρατηροῦμε στερεοσκοπικά, μᾶς δίνουν



Σχ. 168. Ἀρχὴ τοῦ στερεοσκοπίου.

τόσο καθαρή έντυπωση του ανάγλυφου, ώστε από τις εικόνες μπορούμε να προσδιορίζουμε τις ύψομετρικές διαφορές που παρουσιάζουν οι άνωμαλίες του εδάφους.

στ. Διάρκεια τής όπτικής έντυπωσης. Κάθε *όπτική έντυπωση* διαρκεί $1/10$ του δευτερολέπτου. Γι' αυτό, όταν ένα φωτεινό σημείο κινείται πολύ γρήγορα, δεν το διακρίνουμε ως κινούμενο σημείο, αλλά βλέπουμε μιά φωτεινή γραμμή. Η κινηματογραφία βασίζεται στη διάρκεια τής όπτικής έντυπωσης. Πρώτα παίρνουμε διαδοχικά φωτογραφίες ενός κινούμενου αντικείμενου κατά χρονικά διαστήματα ίσα με $1/24$ του δευτερολέπτου. Έπειτα προβάλλουμε αυτές τις φωτογραφίες με τον ίδιο ρυθμό, δηλαδή 24 κατά δευτερόλεπτο. Ο παρατηρητής βλέπει προβαλλόμενες τις διαδοχικές θέσεις του αντικείμενου, αλλά, εξαιτίας τής διάρκειας τών όπτικων έντυπώσεων, δεν αντιλαμβάνεται ότι συνεχώς αλλάζουν οι προβαλλόμενες εικόνες και νομίζει ότι βλέπει να κινείται τό αντικείμενο.

ΠΡΟΒΛΗΜΑΤΑ

148. Οι άκτινες καμπυλότητας ενός φακού, που έχει δείκτη διαθλάσεως $n = 1,5$ είναι $R_1 = 40$ cm και $R_2 = 60$ cm. Πόση είναι ή έστιακή απόσταση f του φακού;

149. Η μιά άκτινα καμπυλότητας άμφίκυρτου φακού είναι $R_1 = 15$ cm, ό δείκτης διαθλάσεως του φακού είναι $n = 1,5$ και ή έστιακή απόστασή του είναι $f = 10$ cm. Πόση είναι ή άλλη άκτινα καμπυλότητας R_2 του φακού;

150. Σέ έναν άμφίκυρτο φακό οι δύο άκτινες καμπυλότητας είναι ίσες με $R_1 = R_2 = 50$ cm. Η έστιακή απόσταση του φακού για όρισμένη άκτινοβολία είναι $f = 45$ cm. Πόσος είναι ό δείκτης διαθλάσεως του γυαλιού γι' αυτή τήν άκτινοβολία;

151. Σέ πόση απόσταση από ένα συγκεντρωτικό φακό έστιακής απόστάσεως f πρέπει να τοποθετήσουμε ένα αντικείμενο, για να είναι τό είδωλο 3 φορές μεγαλύτερο από τό αντικείμενο;

152. Ένα φωτεινό σημείο βρίσκεται πάνω στον κύριο άξονα συγκεντρωτικού φακού έστιακής απόστάσεως 15 cm. Η απόσταση του είδωλου από τό φακό είναι κατά 80 cm μικρότερη από τήν απόσταση του αντικείμενου από τό φακό. Να βρεθούν οι απόστάσεις του είδωλου και του αντικείμενου από τό φακό.

153. Σέ πόση απόσταση από συγκεντρωτικό φακό έστιακής απόστάσεως 15 cm πρέπει να τοποθετήσουμε ένα αντικείμενο, ώστε τό είδωλο που σχηματίζεται να έχει επιφάνεια 9 φορές μεγαλύτερη από τήν επιφάνεια του αντικείμενου;

154. Μιά φωτεινή εϋθεία, που έχει μήκος $AB = 2$ cm, βρίσκεται σε απόσταση $d = 1$ m από ένα διάφραγμα. Μεταξύ τής εϋθείας και του διαφράγματος τοποθετούμε ένα συγκεντρωτικό φακό και τότε στό διάφραγμα σχηματίζεται καθαρό είδωλο, όταν ό φακός βρίσκεται σε δύο θέσεις που απέχουν $l = 40$ cm ή μιά από τήν άλλη. Πόση είναι ή έστιακή απόσταση του φακού και πόσο είναι τό μήκος τών δύο ειδώλων που σχηματίζονται πάνω στό διάφραγμα;

155. Σε απόσταση 20 cm από άποκεντρωτικό φακό έστιακής απόστάσεως — 12 cm τοποθετούμε αντικείμενο που έχει μήκος $AB = 10$ cm. Νά βρεθεί ή θέση και τό μέγεθος του ειδώλου.

156. Πάνω σέ έναν άποκεντρωτικό φακό πέφτει μιά κυλινδρική δέσμη ακτίνων που είναι παράλληλες μέ τόν κύριο άξονα του φακού. Σε απόσταση 16 cm από τό φακό και κάθετα στόν άξονά του φέρνουμε ένα διάφραγμα. Τότε πάνω στό διάφραγμα σχηματίζεται ένας φωτεινός κύκλος, που ή διάμετρός του είναι 3 φορές μεγαλύτερη από τή διάμετρο τής δέσμης που πέφτει στό φακό. Πόση είναι ή έστιακή απόσταση του φακού ;

157. Ένας συμμετρικός άμφικυρτος φακός έχει δείκτη διαθλάσεως $n = 1,5$ και έπιπλέει στην έπιφάνεια ύδαργύρου. Σε ύψος 25 cm πάνω από τό φακό είναι ένα φωτεινό σημείο Α που βρίσκεται πάνω στόν κύριο άξονα του φακού. Τότε τό ειδώλο σχηματίζεται στή θέση που είναι και τό σημείο Α. Πόση είναι ή έστιακή απόσταση του φακού ;

158. Μέ ένα φακό, που έχει ισχύ 5 διοπτρίες, θέλουμε νά σχηματίσουμε πάνω σέ έναν τοίχο (διάφραγμα) τό ειδώλο Α'Β' ενός αντικειμένου ΑΒ και τό μήκος του ειδώλου νά είναι 20 φορές μεγαλύτερο από τό μήκος του αντικειμένου. Ό κύριος άξονας του φακού είναι κάθετος στόν τοίχο. Νά βρεθούν οι απόστάσεις του φακού από τόν τοίχο και του αντικειμένου από τό φακό.

159. Ένα αντικείμενο έχει μήκος $AB = 10$ cm και βρίσκεται σέ απόσταση 40 cm από συγκεντρωτικό φακό Λ_1 , που έχει έστιακή απόσταση $f_1 = 30$ cm. Θέλουμε νά σχηματίσουμε τό ειδώλο του αντικειμένου πάνω σέ διάφραγμα που απέχει 6 m από τό φακό Λ_1 . Αυτό τό πετυχαίνουμε, άν φέρουμε σέ έπαφή μέ τό φακό Λ_1 έναν άλλο φακό Λ_2 , που έχει έστιακή απόσταση f_2 . Τί είδους φακός είναι ό Λ_2 και πόση είναι ή έστιακή απόστασή του; Πόσο είναι τό μέγεθος του ειδώλου που σχηματίζεται πάνω στό διάφραγμα ;

160. Έχουμε ένα συγκεντρωτικό φακό, έστιακής απόστάσεως 50 cm. Πάνω στόν κύριο άξονα του φακού κά σέ απόσταση 75 cm από τό φακό τοποθετούμε φωτεινό σημείο Σ και πίσω από τό φακό σέ απόσταση $d = 1$ m από αυτόν τοποθετούμε έναν επίπεδο καθρέφτη Κ κάθετα στόν κύριο άξονα του φακού. α) Νά βρεθεί ή θέση του τελικού ειδώλου Σ'. β) Νά βρεθεί που πρέπει νά τοποθετήσουμε τόν επίπεδο καθρέφτη Κ, ώστε τό τελικό ειδώλο Σ' νά σχηματίζεται στή θέση που βρίσκεται τό φωτεινό σημείο Σ.

161. Δύο συγκεντρωτικοί φακοί Λ_1 και Λ_2 έχουν τόν ίδιο κύριο άξονα, τήν ίδια έστιακή απόσταση $f = 2$ cm και ή μεταξύ τους απόσταση είναι d . Πάνω στόν πρώτο φακό Λ_1 πέφτει μιά φωτεινή δέσμη παράλληλη μέ τόν κύριο άξονα του συστήματος των δύο φακών. Νά βρεθεί ή θέση και τό είδος του τελικού ειδώλου, όταν ή απόσταση των φακών είναι $d = 6$ cm και $d = 3$ cm.

162. Ένας μύωπας δέν μπορεί νά διακρίνει καθαρά τά αντικείμενα που βρίσκονται σέ απόσταση μεγαλύτερη από 3 m. Πόση πρέπει νά είναι ή ισχύς των διορθωτικών φακών που θά χρησιμοποιήσει, γιά νά διακρίνει καθαρά τά μακρινά αντικείμενα ;

163. Σε έναν υπερμέτρωπα ή ελάχιστη απόσταση ευκρινούς όράσεως είναι 90 cm. Πόση πρέπει νά είναι ή ισχύς των διορθωτικών φακών που θά χρησιμοποιήσει, γιά νά βλέπει καθαρά σέ απόσταση 40 cm ;

164. Ένας πρεσβύωπας έχει ελάχιστη απόσταση ευκρινούς όράσεως 1,20 m και θέλει νά διαβάσει κείμενα που βρίσκονται σέ απόσταση 30 cm από τά μάτια του. Πόση πρέπει νά είναι ή ισχύς των φακών που θά χρησιμοποιήσει ;

Όπτικά όργανα

100. Όπτικά όργανα. Μεγέθυνση.

Όσο μεγαλύτερο είναι τό είδωλο πού σχηματίζεται πάνω στόν άμφιβληστροειδή, τόσο περισσότερες λεπτομέρειες τού άντικειμένου διακρίνουμε. Ξέρουμε ότι τό μέγεθος τού ειδώλου είναι *άνάλογο* μέ τή φαινόμενη διάμετρο τού άντικειμένου, καί ότι ή *μέγιστη δυνατή* φαινόμενη διάμετρος άντιστοιχεί στήν ελάχιστη άπόσταση εύκρινους όράσεως. Γιά νά αξήσουμε άκόμη περισσότερο τή φαινόμενη διάμετρο, χρησιμοποιούμε διάφορα *οπτικά όργανα*, γιά τά όποια ίσχύει ό ακόλουθος όρισμός :

Μεγέθυνση (M) ενός οπτικού όργάνου ονομάζεται ό λόγος τής γωνίας (ω_2), μέ τήν όποία βλέπουμε μέσω τού όργάνου τό είδωλο (A'B'), πρόσ τή γωνία (ω_1), μέ τήν όποία βλέπουμε τό άντικείμενο (AB) μέ γυμό μάτι, όταν τό άντικείμενο βρίσκεται στήν ελάχιστη άπόσταση εύκρινους όράσεως.

$$\text{μεγέθυνση} \quad M = \frac{\omega_2}{\omega_1}$$

Ή μεγέθυνση πού όρίσαμε είναι ή *γωνιακή μεγέθυνση*. Ό λόγος τών γραμμικών διαστάσεων τού ειδώλου (A'B') καί τού άντικειμένου (AB) ονομάζεται *γραμμική μεγέθυνση* (γ).

$$\text{γραμμική μεγέθυνση} \quad \gamma = \frac{A'B'}{AB}$$

Ή γωνία ω_2 έχει *τή μεγαλύτερη τιμή*, όταν τό είδωλο A'B' σχηματίζεται στήν ελάχιστη άπόσταση εύκρινους όράσεως (περίπου 25 cm).

101. Άπλό μικροσκόπιο

Τό *άπλό μικροσκόπιο* (ή *μεγεθυντικός φακός*) είναι ένας συγκεντρωτικός φακός μέ μικρή έστιακή άπόσταση f . Τό άντικείμενο AB, πού θέλουμε νά παρατηρήσουμε, τό τοποθετούμε μεταξύ τής κύριας έστίας καί τού φακού (σχ. 169). Τότε τό είδωλο A'B', πού παρατηρούμε, είναι *φανταστικό, όρθιο* καί *μεγαλύτερο* άπό τό άντικείμενο. Ή γωνία ω_2 , μέ τήν όποία

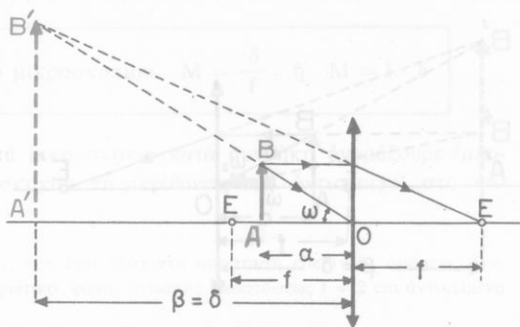
βλέπουμε τό είδωλο $A'B'$, έχει τή μεγαλύτερη τιμή, όταν τό είδωλο σχηματίζεται στήν ελάχιστη απόσταση εὐκρινούς όράσεως (δ), δηλαδή όταν είναι

$$\beta = \delta.$$

Τότε ισχύει ή εξίσωση :

$$\frac{1}{\alpha} - \frac{1}{\delta} = \frac{1}{f}$$

$$\text{Άρα } \alpha = \frac{f \cdot \delta}{f + \delta} \quad (1)$$



Σχ. 169. Σχηματική παράσταση του άπλου μικροσκοπίου.

Η εξίσωση (1) καθορίζει σέ πόση απόσταση από τό φακό πρέπει νά τοποθετηθεί τό αντικείμενο AB, ώστε τό είδωλο $A'B'$ νά διακρίνεται καθαρά. Υποθέτουμε ότι τό μάτι μας βρίσκεται σέ επαφή μέ τό φακό, ώστε τό σύστημα μάτι - φακός νά έχουν τό ίδιο όπτικό κέντρο.

α. Ίσχύς του άπλου μικροσκοπίου. Όταν είναι $\beta = \delta$, τό είδωλο φαίνεται καθαρά μέ τή γωνία ω (σχ. 169). Άρα μέσω του φακού ή μονάδα μήκους ενός αντικειμένου AB φαίνεται μέ τή γωνία ω/AB . Για όλα γενικά τά μικροσκόπια ισχύει ό ακόλουθος όρισμός :

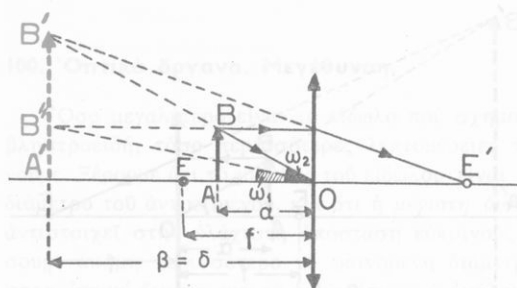
Ίσχύς (I) του μικροσκοπίου ονομάζεται ή γωνία, μέ τήν όποία βλέπουμε, μέσω του φακού, τή μονάδα μήκους του αντικειμένου.

Σύμφωνα μέ τόν παραπάνω όρισμό ή ισχύς του άπλου μικροσκοπίου είναι :

$$\text{ισχύς άπλου μικροσκοπίου. } I = \frac{\omega}{AB} \quad (2)$$

Άπό τήν εξίσωση (2) βρίσκουμε ότι μονάδα ισχύος του μικροσκοπίου είναι:

$$\text{μονάδα ισχύος } \frac{1 \text{ rad}}{1 \text{ m}} = 1 \text{ m}^{-1} \quad \text{Άρα } 1 \text{ διοπτρία (1 dpt)}$$



Σχ. 170. Μεγέθυνση του άπλου μικροσκοπίου.
($M = \omega / \omega_1$).

Στό ορθογώνιο τρίγωνο OAB είναι :

$$AB = OA \cdot \epsilon\phi \omega$$

Αν λάβουμε υπόψη ότι η γωνία ω είναι πολύ μικρή και η έστιακή απόσταση f είναι επίσης πολύ μικρή, τότε κατά μεγάλη προσέγγιση μπορούμε να λάβουμε :

$$AB = f \cdot \omega$$

Επομένως από την εξίσωση (2) βρίσκουμε ότι η ισχύς του άπλου μικροσκοπίου είναι :

$$\text{ισχύς άπλου μικροσκοπίου } I = \frac{1}{f}$$

β. Μεγέθυνση του άπλου μικροσκοπίου. Όταν είναι $\beta = \delta$ (σχ. 170), οι γωνίες ω_2 και ω_1 είναι πολύ μικρές και από τα ορθογώνια τρίγωνα OAB και OA'B'' βρίσκουμε ότι είναι :

$$\omega_2 = \frac{AB}{OA} \quad \text{ή} \quad \omega_2 = \frac{AB}{a}$$

$$\text{και} \quad \omega_1 = \frac{A'B''}{OA'} \quad \text{ή} \quad \omega_1 = \frac{AB}{\delta}$$

Όστε η μεγέθυνση του άπλου μικροσκοπίου είναι :

$$M = \frac{\omega_2}{\omega_1} \quad \text{ή} \quad M = \frac{\delta}{a} \quad (3)$$

Αν στην παραπάνω εξίσωση αντικαταστήσουμε το a από την εξίσωση (1), βρίσκουμε ότι η μεγέθυνση του άπλου μικροσκοπίου είναι :

$$\text{μεγέθυνση άπλου μικροσκοπίου } M = 1 + \frac{\delta}{f} \quad (4)$$

Επειδή η έστιακή απόσταση του φακού είναι πολύ μικρή, μπορούμε

νά θεωρήσουμε ότι είναι $a \approx f$. Τότε από την εξίσωση (3) βρίσκουμε ότι κατά μεγάλη προσέγγιση ή μεγέθυνση του άπλου μικροσκοπίου είναι :

$$\text{μεγέθυνση άπλου μικροσκοπίου } M = \frac{\delta}{f} \quad \text{ή} \quad M = I \cdot \delta$$

Σημείωση. Για όλα τα μικροσκόπια κατά συνθήκη ονομάζουμε *εμπιορική μεγέθυνση* του μικροσκοπίου τη μεγέθυνση που αντιστοιχεί στο κανονικό μάτι ($\delta = 25 \text{ cm}$).

Παράδειγμα. Παρατηρητής, που έχει ελάχιστη απόσταση εύκρινους όρασεως $\delta = 25 \text{ cm}$, παρατηρεί με συγκεντρωτικό φακό έστιακής απόστασεως $f = 2 \text{ cm}$ αντικείμενο που έχει μήκος $AB = 2 \text{ mm}$.

Ή ισχύς του άπλου μικροσκοπίου είναι :

$$I = \frac{1}{f} = \frac{1}{0,02 \text{ m}} \quad \text{καί} \quad I = 50 \text{ dpt}$$

Ή μεγέθυνση είναι :

$$M = \frac{\delta}{f} = \frac{25 \text{ cm}}{2 \text{ cm}} \quad \text{καί} \quad M = 12,5$$

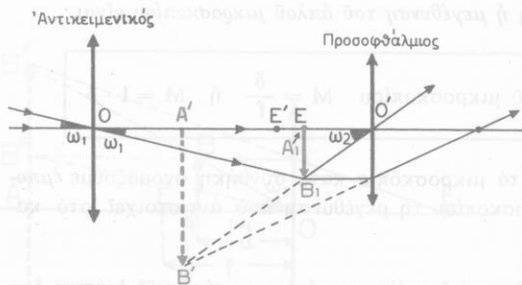
$$\text{ή} \quad M = 1 + \frac{\delta}{f} = 1 + 12,5 \quad \text{καί} \quad M = 13,5$$

102. Τηλεσκόπια

Γιά νά παρατηρήσουμε αντικείμενα που βρίσκονται σέ μεγάλη απόσταση, χρησιμοποιούμε τά *τηλεσκόπια*. Αυτά αποτελούνται από *αντικειμενικό* σύστημα, που σχηματίζει ένα πολύ μικρό *πραγματικό* είδωλο του μακρινού αντικειμένου. Τό είδωλο αυτό τό παρατηρούμε μέ ένα *προσοφθάλμιο* σύστημα, που δίνει *φανταστικό* είδωλο. Ύπάρχουν δύο κατηγορίες τηλεσκοπίων, τά *διοπτρικά τηλεσκόπια*, που έχουν ως αντικειμενικό σύστημα ένα συγκεντρωτικό φακό μέ μεγάλη έστιακή απόσταση, καί τά *κατοπτρικά τηλεσκόπια*, που έχουν ως αντικειμενικό σύστημα έναν κοίλο καθρέφτη μέ μεγάλη έστιακή απόσταση. Τό αντικειμενικό καί τό προσοφθάλμιο σύστημα είναι κατάλληλα στερεωμένα σέ σωλήνα.

103. Άστρονομική διόπτρα

Ή *άστρονομική διόπτρα* (ή άστρονομικό τηλεσκόπιο) αποτελείται από τόν *αντικειμενικό* φακό, που είναι συγκεντρωτικός φακός, έχει μεγάλη έστιακή απόσταση (f_A) καί σχηματίζει τό *πραγματικό*, πολύ μικρό καί αντιστραμμένο είδωλο A_1B_1 (σχ. 171). Τό είδωλο αυτό σχηματίζεται σχεδόν στην κύ-



Σχ. 171. Σχηματική παράσταση της αστρονομικής διόπτρας.

ρια έστια του αντικειμενικού φακού. Ο προσοφθάλμιος φακός έχει μικρή έστιακή απόσταση (f_{Π}) και χρησιμοποιείται ως άπλο μικροσκόπιο για την παρατήρηση του πραγματικού ειδώλου A_1B_1 . Έτσι ο προσοφθάλμιος σχηματίζει το είδωλο $A'B'$, που είναι φανταστικό, όρθιο σχετικά με το είδωλο A_1B_1 και μεγαλύτερο από αυτό. Κατά την παρατήρηση χωρίς προσαρμογή (παρατήρηση στο άπειρο) οι κύριες έστιες του αντικειμενικού και του προσοφθάλμιου φακού συμπίπτουν, και τότε το μήκος του όργανου είναι :

$$l = f_A + f_{\Pi}$$

α. Μεγέθυνση της διόπτρας. Όπως στά μικροσκόπια, έτσι και στά τηλεσκόπια ή μεγέθυνση είναι $M = \omega_2/\omega_1$. Από τά ορθογώνια τρίγωνα $O'A_1B_1$ και OA_1B_1 βρίσκουμε ότι οι πολύ μικρές γωνίες ω_2 και ω_1 είναι :

$$\omega_2 = \frac{A_1B_1}{O'A_1} \quad \text{ή κατά προσέγγιση} \quad \omega_2 = \frac{A_1B_1}{f_{\Pi}}$$

$$\omega_1 = \frac{A_1B_1}{OA_1} \quad \text{ή κατά προσέγγιση} \quad \omega_1 = \frac{A_1B_1}{f_A}$$

Έπομένως η μεγέθυνση της αστρονομικής διόπτρας είναι :

μεγέθυνση αστρονομικής διόπτρας $M = \frac{f_A}{f_{\Pi}}$

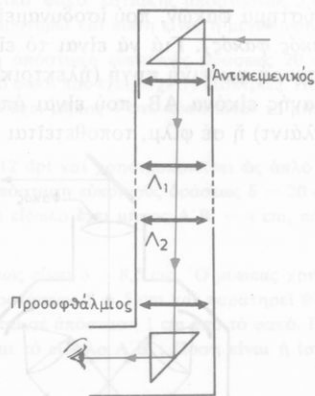
Δηλαδή η μεγέθυνση M της αστρονομικής διόπτρας είναι ίση με τό λόγο της έστιακής απόστασης f_A του αντικειμενικού φακού προς τήν έστιακή απόσταση f_{Π} του προσοφθάλμιου φακού.

β. Διαχωριστική ικανότητα της διόπτρας. Αν δύο σημεία A και B (π.χ. δύο άπλανεις άστέρες) βρίσκονται κοντά τό ένα με τό άλλο, τότε ο αντικειμενικός φακός δίνει δύο ξεχωριστά είδωλα, μόνο όταν η γωνιακή από-

σταση των δύο σημείων Α και Β είναι *μεγαλύτερη* από μία όριακή τιμή ϵ , που ονομάζεται διαχωριστική ικανότητα της διόπτρας. Θεωρητικά βρίσκουμε ότι η *διαχωριστική ικανότητα* (ϵ) της διόπτρας είναι τόσο μικρότερη, όσο *μεγαλύτερη είναι η διάμετρος* του αντικειμενικού φακού. Γι' αυτό στις διόπτρες χρησιμοποιούμε πολύ μεγάλους αντικειμενικούς φακούς, που έχουν μικρή διαχωριστική ικανότητα. Σήμερα οι καλύτερες διόπτρες έχουν διαχωριστική ικανότητα (ϵ) ίση με $0,12''$. Αυτή η γωνία είναι η γωνιακή απόσταση δύο σημείων των επιφάνειας της Σελήνης, που η μεταξύ τους απόσταση είναι 230 m.

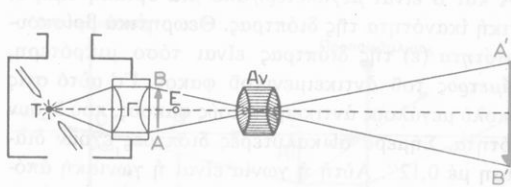
104. Άλλα συνηθισμένα όπτικά όργανα

α. Περισκόπιο. Το *περισκόπιο* χρησιμοποιείται κυρίως από τα υποβρύχια για την εξερεύνηση του ορίζοντα, όταν βρίσκονται σε κατάδυση. Το περισκόπιο είναι μία αστρονομική διόπτρα, στην οποία ο σωλήνας σχηματίζει στις δύο άκρες του όρθη γωνία, χάρη σε δύο πρίσματα ολικής ανάκλασεως (σχ. 172). Το ένα από τα πρίσματα βρίσκεται εμπρός από τον αντικειμενικό φακό, ενώ το άλλο πρίσμα είναι εμπρός ή πίσω από τον προσοφθάλμιο. Ένα σύστημα φακών ανορθώνει το είδωλο. Η μεγέθυνση της διόπτρας είναι ίση με τη μονάδα, ώστε ο παρατηρητής να έχει ακριβή ιδέα για τις διαστάσεις των αντικειμένων. Το μήκος του σωλήνα μπορεί να μεταβάλλεται. Το πάνω μέρος του σωλήνα μπορεί να στρέφεται γύρω από τον κατακόρυφο άξονα του όργανου, για να κατοπτρεύεται όλος ο ορίζοντας.



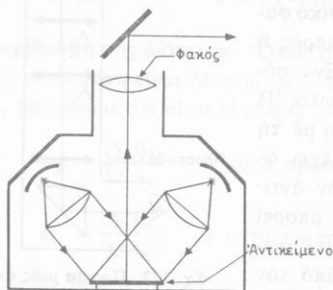
Σχ. 172. Πορεία μιάς ακτίνας στο περισκόπιο.

β. Φωτογραφική μηχανή. Η *φωτογραφική μηχανή* είναι σκοτεινός θάλαμος, εφοδιασμένος με συγκεντρωτικό φακό (*αντικειμενικός φακός*). Αντί για ένα φακό συνήθως υπάρχει σύστημα φακών, που δεν έχει τα σφάλματα που παρουσιάζει ο ένας μόνο φακός. Το πραγματικό είδωλο που δίνει ο φακός σχηματίζεται πάνω σε φωτογραφική πλάκα ή φιλμ, που βρίσκεται απέναντι από το φακό. Η απόσταση του φακού από την πλάκα μπορεί να μεταβάλλεται, γιατί τα αντικείμενα που θέλουμε να φωτογραφίσουμε δε βρίσκονται πάντοτε στην ίδια απόσταση από το φακό. Με ένα ρυθμιζόμενο διάφραγμα κανονίζουμε το φωτισμό του φακού. Η φωτογραφία στηρίζεται στο ότι μερικές ουσίες είναι *φωτοπαθείς*, δηλαδή με την



Σχ. 173. Σχηματική παράσταση του προβολέα.

γ. Προβολέας. Ο προβολέας χρησιμεύει για να σχηματίζεται πάνω σε δθόνη (ή και τοίχο) ένα πραγματικό και μεγάλο είδωλο, που τό βλέπουν σύγχρονα πολλοί παρατηρητές. Κάθε συσκευή προβολής αποτελείται από σύστημα φακών, που ισοδυναμεί με ένα συγκεντρωτικό φακό (αντικειμενικός φακός). Για να είναι τό είδωλο φωτεινό, τό αντικείμενο φωτίζεται με ισχυρή φωτεινή πηγή (ηλεκτρικός λαμπτήρας ή ηλεκτρικό τόξο). Μιά διαφανής εικόνα AB, που είναι άποτυπωμένη πάνω σε γυάλινη πλάκα (slide, σλάιντ) ή σε φίλμ, τοποθετείται κοντά στην έστια E του αντικειμενικού φακού (σχ. 173). Τότε ό



Σχ. 174. Πορεία των ακτίνων στο έπισκόπιο.

φάκος δίνει τό είδωλο A'B', που είναι πραγματικό και μεγαλύτερο από τό αντικείμενο. Η συσκευή που χρησιμοποιούμε για τήν προβολή διαφανών εικόνας, ονομάζεται διασκόπιο. Για να προβάλλουμε άδιαφανή αντικείμενα (φωτογραφίες, κείμενα), χρησιμοποιούμε τό έπισκόπιο. Σ' αυτό τό φώς μιās ισχυρής πηγής συγκεντρώνεται πάνω στο αντικείμενο. Οί φωτεινές ακτίνες, που εκπέμπει τότε τό αντικείμενο, πέφτουν πάνω στον αντικειμενικό φακό (σχ. 174). Μέ τίς συνηθισμένες συσκευές προβολής μπορούμε να κάνουμε και τά δύο είδη προβολής και γι' αυτό οί συσκευές αυτές ονομάζονται έπιδιασκόπια.

δ. Κινηματογραφική μηχανή. Όπως ξέρουμε, (§ 105 στ) ή λειτουργία του κινηματογράφου στηρίζεται στην ιδιότητα που έχει τό μάτι μας να διατηρεί τήν όπτική έντύπωση επί 1/10 του δευτερολέπτου. Η κινηματογραφική μηχανή είναι κατάλληλος προβολέας, ό όποιος κάθε εικόνα που είναι άποτυπωμένη πάνω στην ταινία τήν προβάλλει πάνω στην δθόνη περίπου

έπίδραση του φωτός παθαίνουν χημική αλλοίωση και έτσι πάνω στη φωτογραφική πλάκα ή στο φίλμ μπορεί να άποτυπωθεί τό είδωλο που σχηματίστηκε. Σήμερα χρησιμοποιούμε πολλές φωτοπαθείς ουσίες.

έπί $1/24$ του δευτερολέπτου. Έπειτα με ένα στρεφόμενο διάφραγμα διακόπτεται για ελάχιστο χρονικό διάστημα ή φωτεινή δέσμη, ή ταινία προχωρεί τότε κατά μία εικόνα, που άμέσως φωτίζεται. Τό μάτι μας δέν αντίλαμβάνεται τήν άλλαγή τής εικόνας και γι' αυτό έχει τήν έντύπωση ότι βλέπει κινούμενα τά αντικείμενα.

ΠΡΟΒΛΗΜΑΤΑ

165. Ένας παρατηρητής έχει ελάχιστη άπόσταση εύκρινους όράσεως 12 cm και χρησιμοποιεί ως άπλό μικροσκόπιο ένα συγκεντρωτικό φακό έστιακής άποστάσεως 4 cm. Ό φακός βρίσκεται σε έπαφή με τό μάτι του παρατηρητή. Πόση είναι ή μεγέθυνση γι' αυτόν τόν παρατηρητή και πόση είναι ή άπόσταση του αντικειμένου από τό φακό ;

166. Ένας παρατηρητής έχει ελάχιστη άπόσταση εύκρινους όράσεως 25 cm και χρησιμοποιεί ως άπλό μικροσκόπιο ένα συγκεντρωτικό φακό έστιακής άποστάσεως 5 cm. Πού πρέπει νά τοποθετησει τό αντικείμενο πού παρατηρεί και πόση είναι ή μεγέθυνση ;

167. Ένας παρατηρητής, πού έχει ελάχιστη άπόσταση εύκρινους όράσεως 20 cm, χρησιμοποιεί ως άπλό μικροσκόπιο συγκεντρωτικό φακό πού έχει ισχύ 12 διοπτρίες. Πόση είναι ή μεγέθυνση ; Άν τό είδωλο πού παρατηρεί έχει μήκος 4 cm, πόσο είναι τό μήκος του αντικειμένου ;

168. Ένας συγκεντρωτικός φακός έχει ισχύ 12 dpt και χρησιμοποιείται ως άπλό μικροσκόπιο από παρατηρητή πού έχει ελάχιστη άπόσταση εύκρινους όράσεως $\delta = 20$ cm. Πόση είναι ή μεγέθυνση ; Άν τό παρατηρούμενο είδωλο έχει μήκος $A'B' = 4$ cm, πόσο είναι τό μήκος AB του αντικειμένου ;

169. Για ένα μύπα τό όριο εύκρινους όράσεως είναι $\delta = 8,5$ cm. Ό μύπας χρησιμοποιεί ως άπλό μικροσκόπιο φακό έστιακής άποστάσεως $f = 5$ cm και παρατηρεί αντικείμενο μήκους $AB = 0,1$ cm. Τό μάτι του βρίσκεται σε άπόσταση 1 cm από τό φακό. Πού πρέπει νά τοποθετηθει τό αντικείμενο ; Πόσο είναι τό είδωλο $A'B'$; Πόση είναι ή ισχύς και ή μεγέθυνση του όργάνου ;

170. Σε μία άστρονομική διόπτρα ό αντικειμενικός και ό προσοφθάλμιος φακός έχουν αντίστοιχα έστιακές άποστάσεις 2 m και 2 cm. Με πόση γωνία βλέπουμε μέσω τής διόπτρας δύο άστέρες πού ή γωνιακή άπόστασή τους είναι $3'$;

171. Σε μία άστρονομική διόπτρα ό αντικειμενικός και ό προσοφθάλμιος φακός έχουν αντίστοιχα έστιακές άποστάσεις 100 cm και 1 cm. Ό άξονας τής διόπτρας διευθύνεται προς τό κέντρο του 'Ηλίου. Πίσω από τόν προσοφθάλμιο και σε άπόσταση 50 cm από αυτόν τοποθετούμε φωτογραφική πλάκα κάθετα στον άξονα τής διόπτρας. Πόσο πρέπει νά απέχει ό προσοφθάλμιος από τόν αντικειμενικό φακό, ώστε τό είδωλο του 'Ηλίου νά σχηματίζεται πάνω στην πλάκα και πόσο είναι τό μέγεθος αυτού του είδώλου, άν ή φαινόμενη διάμετρος του 'Ηλίου είναι $30'$;

172. Σε μία διόπτρα ό αντικειμενικός και ό προσοφθάλμιος έχουν αντίστοιχα έστιακές άποστάσεις 42 cm και 2 cm. Ένας παρατηρητής (με κανονική όραση) βλέπει με τή διόπτρα ένα δέντρο πού έχει ύψος 10 m και βρίσκεται σε άπόσταση 1500 m. Με ποιά γωνία βλέπει τό είδωλο ;

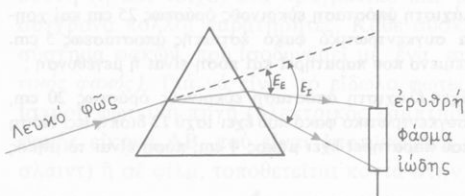
173. Ό φακός μιās φωτογραφικής μηχανής έχει έστιακή άπόσταση 10 cm. α) Σε

πόση απόσταση από το φακό πρέπει να είναι το φιλμ, για να φωτογραφίσουμε αντικείμενα που βρίσκονται πολύ μακριά ; β) Θέλουμε να φωτογραφίσουμε έναν ποδηλάτη, που κινείται με ταχύτητα $v = 5 \text{ m/sec}$ πάνω σε ευθεία που είναι κάθετη στον κύριο άξονα του φακού και απέχει από το φακό 100 m. Πόσο χρόνο πρέπει να μείνει ανοιχτό το διάφραγμα, αν ξέρουμε ότι το είδωλο ενός σημείου πάνω στο φιλμ δεν πρέπει να μετακινηθεί περισσότερο από 0,1 mm ;

'Ανάλυση του φωτός

105. 'Ανάλυση του 'λευκού φωτός

Πάνω σε ένα πρίσμα αφήνουμε να πέσει λεπτή δέσμη λευκού φωτός



Σχ. 175. 'Ανάλυση του λευκού φωτός με το πρίσμα.

(σχ. 175). Αν στην πορεία των ακτίνων που βγαίνουν από το πρίσμα βάλουμε ένα διάφραγμα, βλέπουμε ότι σχηματίζεται μία συνεχής έγχρωμη ταινία, που ονομάζεται φάσμα. Η μετάβαση από το ένα χρώμα του φάσματος στο επόμενο γίνεται ανεπαίσθητα. Κατά σειρά διακρί-

νουμε κυρίως τὰ εξής χρώματα : έρυθρό, πορτοκαλί, κίτρινο, πράσινο, κυανό, βαθύ κυανό και ιώδες. Τό φαινόμενο αυτό ονομάζεται *ανάλυση* του φωτός και δείχνει ότι τό λευκό φως είναι *σύνθετο*.

Κάθε χρώμα του φάσματος ονομάζεται γενικά *άκτινοβολία* (π.χ. έρυθρή άκτινοβολία, κίτρινη άκτινοβολία κ.λ.). Τό φάσμα αποτελείται από ένα πολύ μεγάλο πλήθος άκτινοβολιών. Ωστε τό λευκό φως περνώντας μέσα από τό πρίσμα *αναλύεται* στις όρατές άκτινοβολίες του φάσματος.

α. Έξήγηση τής αναλύσεως του φωτός. Στο κενό όλες οι άκτινοβολίες (δηλαδή οι άκτίνες όλων των χρωμάτων του φάσματος) διαδίδονται *μέ τήν ίδια ταχύτητα*. Μέσα όμως στά διάφορα υλικά (π.χ. τό γυαλί) οι άκτινοβολίες του φάσματος διαδίδονται *μέ διαφορετική ταχύτητα*. Έτσι κάθε άκτινοβολία έχει *ιδιαιτερο* δείκτη διαθλάσεως. Στο παραπάνω πείραμα όλες οι άκτίνες τής δέσμης του λευκού φωτός πέφτουν πάνω στο πρίσμα μέ τήν ίδια γωνία προσπτώσεως. Παρατηρούμε ότι *τή μικρότερη* έκτροπή παρουσιάζει ή έρυθρή άκτινοβολία και *τή μεγαλύτερη* ή ιώδης άκτινοβολία. Έπειδή ξέρουμε (§ 97 στ) ότι ή γωνία έκτροπής είναι ανάλογη μέ τό δείκτη διαθλάσεως, καταλήγουμε στο συμπέρασμα ότι οι δείκτες διαθλάσεως, που αντίστοιχούν στις διάφορες άκτινοβολίες του φάσματος, *συνεχώς αυξάνουν, όσο προχωρούμε από τήν έρυθρή προς τήν ιώδη άκτινοβολία του φάσματος*.

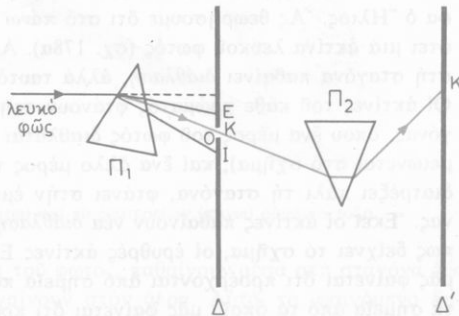
Ἐτσι ὁ Νεύτωνας ἔδωσε τὴν ἀκόλουθη ἐξήγηση στοῦ φαινομένου τῆς ἀναλύσεως τοῦ φωτός :

Τὸ λευκὸ φῶς ἀποτελεῖται ἀπὸ μεγάλο πλῆθος ἀκτινοβολιῶν καὶ σὲ καθεμίᾳ ἀπὸ αὐτὲς ἀντιστοιχεῖ ἰδιαίτερος δείκτης διαθλάσεως.

Ὅταν τὸ λευκὸ φῶς περνᾷ μέσα ἀπὸ τὸ πρίσμα, οἱ ἀκτινοβολίες διαχωρίζονται, γιὰτὶ καθεμίᾳ ἀπὸ αὐτὲς παθαίνει διαφορετικὴ ἐκτροπὴ.

106. Ἰδιότητες τῶν ἀκτινοβολιῶν τοῦ φάσματος

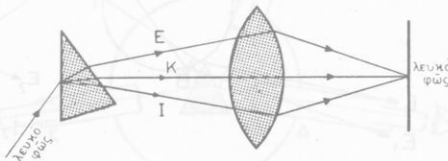
Στὸ διάφραγμα ποὺ σχηματίζεται τὸ φάσμα (σχ. 176) δημιουργοῦμε μικρὸ ἄνοιγμα καὶ ἀφήνομε νὰ περάσει ἀπὸ αὐτὸ μόνο μιᾶ ἀκτινοβολία τοῦ φάσματος (π.χ. ἡ κίτρινη). Αὐτὴ ἢ ἀκτινοβολία πέφτει ἔπειτα πάνω σὲ δεύτερο πρίσμα. Παρατηροῦμε ὅτι τὸ δεύτερο πρίσμα προκαλεῖ μόνο ἐκτροπὴ τῆς ἀκτινοβολίας, ὄχι ὅμως καὶ ἀνάλυσή της σὲ ἄλλες ἀκτινοβολίες. Ὅστε κάθε ἀκτινοβολία τοῦ φάσματος εἶναι ἀπλή καὶ δὲν ἀναλύεται σὲ ἄλλες ἀπλοῦστερες.



Σχ. 176. Κάθε ἀκτινοβολία τοῦ φάσματος εἶναι ἀπλή.

Ἄν μὲ ἓνα συγκεντρωτικὸ φακὸ συγκεντρώσουμε πάνω σὲ διάφραγμα ὅλες τὶς ἀκτινοβολίες τοῦ φάσματος, παίρνομε λευκὸ φῶς (σχ. 177). Ὅστε οἱ ἀκτινοβολίες τοῦ φάσματος, ὅταν συγκεντρωθοῦν, δίνουν λευκὸ φῶς.

Συμπληρωματικὰ χρώματα. Μὲ ἓνα μικρὸ πρίσμα ἐκτρέπομε ἓνα ἀπὸ τὰ χρώματα τοῦ φάσματος, π.χ. τὸ ἐρυθρὸ καὶ συγκεντρῶνομε τὰ ὑπόλοιπα χρώματα. Αὐτὰ δίνουν ἓνα πράσινο χρῶμα, ποὺ προέρχεται ἀπὸ τὴν ἀνάμιξη τῶν ὑπόλοιπων χρωμάτων τοῦ φάσματος. Δύο χρώματα, ὅπως π.χ. τὸ ἐρυθρὸ καὶ τὸ πράσινο, ποὺ, ὅταν ἀναμιγνύονται μὲ ὀρισμένες ἀναλογίες, δίνουν λευκὸ φῶς, ὀνομάζονται **συμπληρωματικὰ χρώματα**. Κάθε χρῶμα λοιπὸν



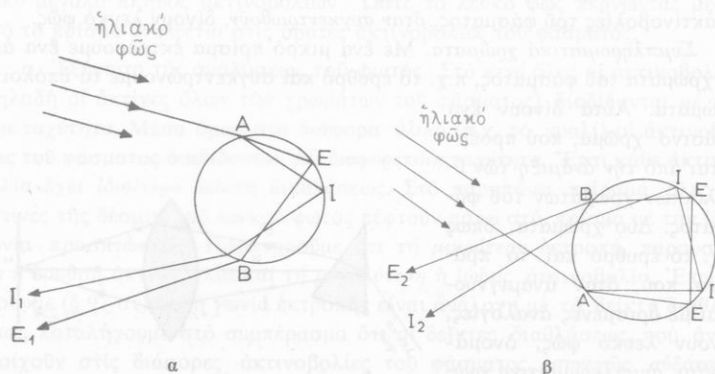
Σχ. 177. Ἀνασύνθεση τοῦ λευκοῦ φωτός.

του φάσματος είναι συμπληρωματικό του χρώματος που προέρχεται από την ανάμιξη όλων των άλλων χρωμάτων του φάσματος.

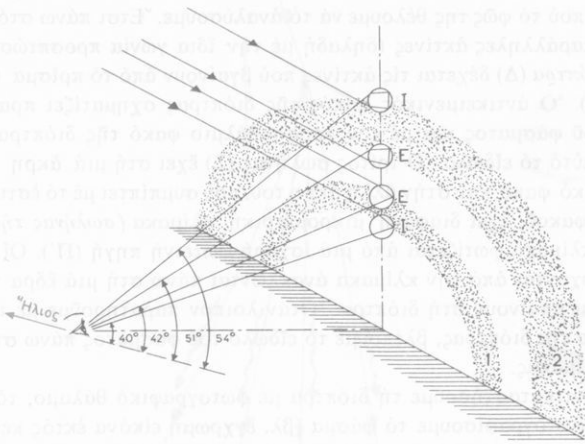
Υπάρχουν όμως και ζεύγη άπλων χρωμάτων του φάσματος, που είναι συμπληρωματικά χρώματα (π.χ. το έρυθρό και το πράσινο, το πορτοκαλί και το κυανό).

107. Ουράνιο τόξο

Τό ουράνιο τόξο είναι φάσμα του ηλιακού φωτός και παρατηρείται όταν εμπρός από τον παρατηρητή υπάρχουν μικρές σταγόνες βροχής και πίσω από αυτόν βρίσκεται κοντά στον ορίζοντα και άκάλυπτος από σύννεφα ο Ήλιος. Άς θεωρήσουμε ότι στο πάνω μέρος μιας σταγόνας νερού πέφτει μία ακτίνα λευκού φωτός (σχ. 178α). Αυτή ή ακτίνα μπαίνοντας μέσα στην σταγόνα παθαίνει διάθλαση, αλλά ταυτόχρονα παθαίνει και ανάκλιση. Οι ακτίνες του κάθε χρώματος φτάνουν στην απέναντι επιφάνεια της σταγόνας, όπου ένα μέρος του φωτός διαθλάται και βγαίνει στον αέρα (δέ σημειώνεται στο σχήμα), και ένα άλλο μέρος του φωτός ανακλάται και αφού διατρέξει πάλι τη σταγόνα, φτάνει στην εμπρόσθια επιφάνεια της σταγόνας. Εκεί οι ακτίνες παθαίνουν νέα διάθλαση και βγαίνουν στον αέρα. Όπως δείχνει το σχήμα, οι έρυθρές ακτίνες E_1 , που μπαίνουν στο μάτι μας, μάς φαίνεται ότι προέρχονται από σημεία που βρίσκονται ψηλότερα παρά τα σημεία από τα οποία μάς φαίνεται ότι προέρχονται οι ιώδεις ακτίνες I_1 , που φτάνουν στο μάτι μας. Έτσι στο πρωτεύον ουράνιο τόξο το έρυθρό χρώμα φαίνεται πάνω από το ιώδες. Μερικές από τις παράλληλες ηλιακές ακτίνες πέφτουν στο κάτω μέρος των σταγόνων (σχ. 178β). Οι ακτίνες, που



Σχ. 178. Για την εξήγηση του ουράνιου τόξου.

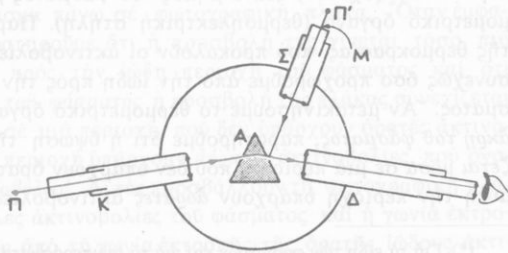


Σχ. 179. Τό πρωτευδον (κάτω) και τό δευτερευδον (πάνω) ούράνιο τόξο.

προκύπτουν από την ανάλυση του φωτός, παθαίνουν μέσα στη σταγόνα δύο ανακλάσεις και έπειτα ξαναβγαίνουν στον άερα. Αυτό τό φαινόμενο δημιουργεί τό δευτερευδον ούράνιο τόξο, στό όποιο βλέπουμε τό ίδδες χρώμα I_2 πάνω από τό ερυθρό E_2 (σχ. 179).

108. Φασματοσκόπιο

Γιά τή μελέτη του φάσματος του φωτός, που έκπέμπουν οι διάφορες φωτεινές πηγές, χρησιμοποιούμε τό φασματοσκόπιο (σχ. 180). Αυτό αποτελείται από ένα πρίσμα, που είναι στερεωμένο σε όριζόντιο κύκλο και ή άκμή του είναι κατακόρυφη. Γύρω από τό πρίσμα μετακινούνται τρεις σωληνες, που οι άξονές τους είναι όριζόντιοι. Ο κατευθυντήρας (K) έχει στη μιά άκρη του συγκεντρωτικό φακό και στην άλλη άκρη του έχει σχισμή παράλληλη μέ τήν άκμή του πρίσματος. Η σχισμή



Σχ. 180. Φασματοσκόπιο (σχηματική παράσταση).

βρίσκεται στο έστιακό επίπεδο του φακού και φωτίζεται από τη φωτεινή πηγή (Π) πού τό φώς της θέλουμε νά τό αναλύσουμε. Έτσι πάνω στό πρίσμα πέφτουν παράλληλες ακτίνες (δηλαδή μέ τήν ίδια γωνία προσπτώσεως).

Η *διόπτρα* (Δ) δέχεται τίς ακτίνες πού βγαίνουν από τό πρίσμα (δηλαδή τό φάσμα). Ο άντικειμενικός φακός τής διόπτρας σχηματίζει πραγματικό είδωλο του φάσματος και μέ τόν προσοφθαλμιο φακό τής διόπτρας παρατηρούμε αυτό τό είδωλο. Ο τρίτος σωλήνας (Σ) έχει στή μιά άκρη του συγκεντρωτικό φακό και στήν άλλη άκρη του, πού συμπίπτει μέ τό έστιακό επίπεδο του φακού, έχει διαφανή μικρομετρική κλίμακα (*σωλήνας τής κλίμακας*). Η κλίμακα φωτίζεται από μιά ισχυρή φωτεινή πηγή (Π'). Οί ακτίνες πού προέρχονται από τήν κλίμακα ανακλώνται πάνω στή μιά έδρα του πρίσματος και μπαίνουν στή διόπτρα. Όταν λοιπόν παρατηρούμε μέ τόν προσοφθαλμιο τής διόπτρας, βλέπουμε τό είδωλο του φάσματος πάνω στό είδωλο τής κλίμακας.

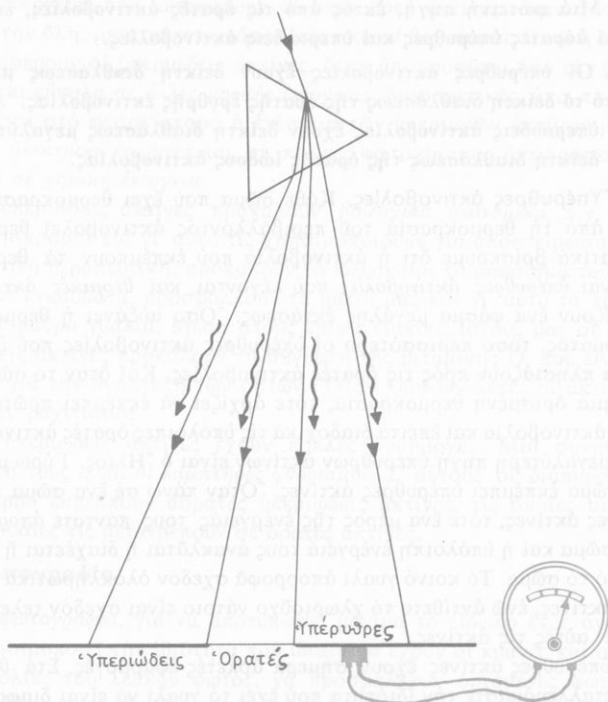
Αν αντικαταστήσουμε τή διόπτρα μέ φωτογραφικό θάλαμο, τότε μπορούμε νά φωτογραφίσουμε τό φάσμα (βλ. έγχρωμη εικόνα εκτός κειμένου). Η διάταξη αυτή ονομάζεται *φασματογράφος*. Γενικά ή παραγωγή και ή μελέτη των φασμάτων ονομάζεται *φασματοσκοπία* και είναι πάρα πολύ ένδιαφέρουσα(*).

109. Άόρατες ακτινοβολίες

Όταν μιά δέσμη ακτίνων λευκού φωτός πέφτει πάνω σέ ένα σώμα, παρατηρούμε ότι τό σώμα *θερμαίνεται*, ένω όταν πέφτει πάνω σέ μιά φωτογραφική πλάκα, προκαλεί *χημική αλλοίωση* τής φωτοπαθοϋς ουσίας. Τά φαινόμενα αυτά δείχνουν ότι τό λευκό φώς μεταφέρει *ένέργεια*, πού μετατρέπεται σέ άλλες μορφές ενέργειας π.χ. σέ *θερμότητα* ή *χημική ενέργεια*, όταν τό φώς απορροφάται από τά σώματα στά όποια πέφτει.

Χρησιμοποιώντας πρίσμα και φακό από κατάλληλο υλικό σχηματίζουμε πάνω σέ διάφραγμα τό φάσμα του λευκού φωτός, πού εκπέμπει τό ηλεκτρικό τόξο (σχ. 181). Κατά μήκος του φάσματος μετακινούμε εύπαθές θερμομετρικό όργανο (θερμοηλεκτρική στήλη). Παρατηρούμε ότι ή ύψωση τής θερμοκρασίας, πού προκαλούν οι ακτινοβολίες του φάσματος, αυξάνει συνεχώς όσο προχωρούμε από τήν ίώδη πρός τήν έρυθρή περιοχή του φάσματος. Αν μετακινήσουμε τό θερμομετρικό όργανο *πέρα από τήν έρυθρή άκρη του φάσματος*, παρατηρούμε ότι ή ύψωση τής θερμοκρασίας *συνεχίζεται* μέσα σέ μιά περιοχή, πού δέν υπάρχουν όρατές ακτινοβολίες. Άρα σ' αυτή τήν περιοχή υπάρχουν *άόρατες* ακτινοβολίες, πού ονομάζονται *υπέ-*

(*) Για τά είδη των φασμάτων και για τά συμπεράσματα τής φασματοσκοπίας θά επανέλθουμε στήν επόμενη τάξη.



Σχ. 181. Σχηματική διάταξη γιὰ τὴν ἐξέταση τῶν ὁρατῶν καὶ τῶν ἀόρατων ἀκτινοβολιῶν τοῦ φάσματος.

ρυθρὲς ἀκτινοβολίες. Αὐτὲς ἀναπτύσσουν πολὺ μεγαλύτερη θερμότητα ἀπὸ τίς ἄλλες ἀκτινοβολίες τοῦ φάσματος καὶ ἡ γωνία ἐκτροπῆς τους εἶναι μικρότερη ἀπὸ τὴ γωνία ἐκτροπῆς τῆς ὁρατῆς ἐρυθρῆς ἀκτινοβολίας.

Προβάλλουμε τὸ φάσμα πάνω σὲ φωτογραφικὴ πλάκα. Ὄταν ἐμφανίσουμε τὴν πλάκα, παρατηροῦμε ὅτι ἡ προσβολὴ τῆς γίνεται τόσο πιὸ ἔντονη, ὅσο προχωροῦμε πρὸς τὴν ἰώδη περιοχὴ τοῦ φάσματος καὶ ὅτι πέρα ἀπὸ τὴν ἰώδη ἄκρη τοῦ φάσματος ἡ προσβολὴ τῆς πλάκας συνεχίζεται ἀκόμη πιὸ ἔντονη μέσα σὲ μιά περιοχὴ, πού δὲν ὑπάρχουν ὁρατῆς ἀκτινοβολίες. Ἄρα σ' αὐτὴ τὴν περιοχὴ ὑπάρχουν ἀόρατες ἀκτινοβολίες, πού ὀνομάζονται ὑπεριώδεις ἀκτινοβολίες. Αὐτὲς προσβάλλουν τὴ φωτογραφικὴ πλάκα πιὸ ἔντονα ἀπὸ τίς ἄλλες ἀκτινοβολίες τοῦ φάσματος καὶ ἡ γωνία ἐκτροπῆς τους εἶναι μεγαλύτερη ἀπὸ τὴ γωνία ἐκτροπῆς τῆς ὁρατῆς ἰώδους ἀκτινοβολίας. Ἀπὸ τὰ παραπάνω καταλήγουμε στὰ ἀκόλουθα συμπεράσματα :

I. Μιά φωτεινή πηγή, εκτός από τις όρατες ακτινοβολίες, εκπέμπει και άορατες υπέρυθρες και υπεριώδεις ακτινοβολίες.

II. Οί υπέρυθρες ακτινοβολίες έχουν δείκτη διαθλάσεως μικρότερο από τό δείκτη διαθλάσεως τής όρατής έρυθρής έκτινοβολίας. 'Αντίθετα οί υπεριώδεις ακτινοβολίες έχουν δείκτη διαθλάσεως μεγαλύτερο από τό δείκτη διαθλάσεως τής όρατής ιώδους ακτινοβολίας.

α. 'Υπέρυθρες ακτινοβολίες. Κάθε σώμα πού έχει θερμοκρασία μεγαλύτερη από τή θερμοκρασία του περιβάλλοντος ακτινοβολεί θερμότητα. Πειραματικά βρίσκουμε ότι ή ακτινοβολία πού εκπέμπουν τά θερμά σώματα είναι υπέρυθρες ακτινοβολίες πού λέγονται και θερμικές ακτίνες και σχηματίζουν ένα φάσμα μεγάλης εκτάσεως. "Όσο αυξάνει ή θερμοκρασία ενός σώματος, τόσο περισσότερο οί υπέρυθρες ακτινοβολίες πού εκπέμπει τό σώμα πλησιάζουν προς τις όρατες ακτινοβολίες. Καί όταν τό σώμα αποκτήσει μία όρισμένη θερμοκρασία, τότε αρχίζει νά εκπέμπει πρώτα όρατή έρυθρή ακτινοβολία και έπειτα διαδοχικά τις υπόλοιπες όρατες ακτινοβολίες.

Η μεγαλύτερη πηγή υπέρυθρων ακτίμων είναι ο "Ήλιος. Γύρω μας κάθε θερμό σώμα εκπέμπει υπέρυθρες ακτίνες. "Όταν πάνω σε ένα σώμα πέφτουν υπέρυθρες ακτίνες, τότε ένα μέρος τής ενέργειάς τους πάντοτε απορροφάται από τό σώμα και ή υπόλοιπη ενέργειά τους ανακλάται ή διαχέεται ή περνάει μέσα από τό σώμα. Τό κοινό γυαλί απορροφά σχεδόν όλοκληρωτικά τις υπέρυθρες ακτίνες, ενώ αντίθετα τό χλωριοϋχο νάτριο είναι σχεδόν τελείως διαφανές γι' αυτές τις ακτίνες.

Οί υπέρυθρες ακτίνες έχουν σήμερα αρκετές εφαρμογές. Στά θερμοκήπια εκμεταλλευόμαστε τήν ιδιότητα πού έχει τό γυαλί νά είναι διαφανές για τις όρατες ήλιακές ακτίνες, αλλά άδιαφανές για τις υπέρυθρες ακτίνες. Οί όρατες ήλιακές ακτίνες περνούν από τό γυαλί και θερμαίνουν τό έδαφος. Αυτό όμως εκπέμπει υπέρυθρες ακτίνες, πού δέν περνούν από τό γυαλί, και έτσι ή θερμότητα μένει παγιδευμένη μέσα στό θερμοκήπιο. "Άλλη ενδιαφέρουσα εφαρμογή είναι ή φωτογράφιση με υπέρυθρες ακτίνες, χρησιμοποιώντας ειδικά φίλμ, πού είναι ευαίσθητα σ' αυτές τις ακτίνες. 'Επειδή τά σύννεφα και ή όμίχλη είναι σχεδόν τελείως διαφανή για τις υπέρυθρες ακτίνες, γι' αυτό μπορούμε νά φωτογραφίζουμε και περιοχές σκεπασμένες με σύννεφα ή όμίχλη.

β. 'Υπεριώδεις ακτινοβολίες. Οί υπεριώδεις ακτινοβολίες ή και υπεριώδεις ακτίνες εκπέμπονται από τά διάπυρα σώματα μαζί με τις υπέρυθρες και τις όρατες ακτινοβολίες. Φως πλούσιο σε υπεριώδεις ακτίνες μάς δίνει ή λωχνία άτμών ύδατος. Τό δοχείο της είναι από χαλαζία, πού είναι διαφανής για τις υπεριώδεις ακτίνες, ενώ αντίθετα τό γυαλί είναι τελείως άδιαφανές γι' αυτές τις ακτίνες.

Ἡ ἐνέργεια, πού μεταφέρουν οἱ ὑπέρυθρες ἀκτίνες, ὅταν ἀπορροφᾶται ἀπό τήν ὕλη, μετατρέπεται ἀποκλειστικά *σέ θερμότητα*. Ἐνῶ ἡ ἐνέργεια πού μεταφέρουν οἱ ὑπεριώδεις ἀκτίνες, ὅταν ἀπορροφᾶται ἀπό τήν ὕλη, μετατρέπεται εὐκόλα *σέ ἄλλες μορφές ἐνέργειας*, διαφορετικές ἀπό τή θερμότητα. Ἔτσι στό φωτοκύτταρο ἡ ἐνέργεια τῶν ὑπεριώδων ἀκτίνων μετατρέπεται *σέ ἠλεκτρική ἐνέργεια* καί *σέ* πολλές φωτοχημικές ἀντιδράσεις μετατρέπεται *σέ χημική ἐνέργεια*.

Οἱ ὑπεριώδεις ἀκτίνες προκαλοῦν *βιολογικά φαινόμενα*, π.χ. σκοτῶνουν τά μικρόβια καί γι' αὐτό τίς χρησιμοποιοῦμε γιά ἀποστείρωση τοῦ νεροῦ καί στή θεραπευτική, προκαλοῦν τό καλοκαίρι τό μαύρισμα τοῦ δέρματος ἢ καί ἐγκαύματα, προσβάλλουν τά μάτια μας καί γι' αὐτό τά προφυλάγουμε μέ μαῦρα γυαλιά. Μέσα στοὺς ἐπιφανειακοὺς ἴστους μας οἱ ἠλιακές ὑπεριώδεις ἀκτίνες προκαλοῦν τή σύνθεση τῆς βιταμίνης D, πού εἶναι ἀπαραίτητη γιά τήν ἀνάπτυξη τῶν ὀστέων. Ὅταν λείπουν αὐτές οἱ ἀκτίνες, ἐμφανίζεται ραχισμός.

Οἱ ὑπεριώδεις ἀκτίνες ἔχουν πολλές ἐφαρμογές. Μιά συνηθισμένη ἐφαρμογή τους εἶναι *οἱ λαμπτήρες φθορισμοῦ*. Σ' αὐτούς οἱ διάπυροι ἀτμοὶ ὕδραργύρου ἐκπέμπουν ἄορατες ὑπεριώδεις ἀκτίνες, τίς ὁποῖες οἱ φθορίζουσες οὐσίες τίς μετατρέπουν *σέ ὀρατές ἀκτίνες*.

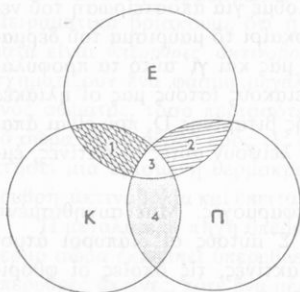
110. Φωτογραφία

Ἡ *φωτογραφία*, γιά νά ἀποτυπώσει μόνιμα τό εἶδωλο ἑνός ἀντικειμένου, χρησιμοποιεῖ τήν ιδιότητα πού ιδιαίτερα ἔχουν οἱ κυανές καί οἱ ιώδεις ἀκτινοβολίες τοῦ λευκοῦ φωτός, νά προσβάλλουν ὀρισμένες φωτοπαθεῖς οὐσίες. Μιά τέτοια ἔνωση εἶναι ὁ βρωμιούχος ἄργυρος (AgBr). Οἱ παραπάνω ἀκτινοβολίες προκαλοῦν διατάραξη στή δομή τῶν μορίων τοῦ βρωμιούχου ἀργύρου, τά ὁποῖα ἔπειτα μέ χημικά ἀντιδραστήρια διασπῶνται εὐκόλα. Ἐνα γαλάκτωμα ἀπό ζελατίνη καί βρωμιούχο ἄργυρο σχηματίζει λεπτό στρώμα πάνω σέ γυάλινη πλάκα ἢ σέ φιλμ ἀπό κυτταρίνη.

Ἀρνητικό εἶδωλο. Ὁ φακός τῆς φωτογραφικῆς μηχανῆς σχηματίζει πάνω στήν πλάκα τό πραγματικό εἶδωλο τοῦ ἀντικειμένου. Στά σημεῖα πού ἔπεσε τό φῶς ἐγίνε μιά φωτοχημική μεταβολή, πού δέν εἶναι ὀρατή. Ὅταν ὁμως βυθίσουμε τήν πλάκα μέσα σέ κατάλληλο διάλυμα (ἐμφανιστής), τότε στά σημεῖα πού ἔπεσε φῶς, ἀπομένει ἀδιαφανῆς ἄργυρος. Αὐτή ἡ κατεργασία ὀνομάζεται *ἐμφάνιση*. Ἐπειτα ἡ πλάκα βυθίζεται σέ ἄλλο ὑγρό (στερεωτής), πού διαλύει τό βρωμιούχο ἄργυρο, πού εἶχε ἀπομείνει στήν πλάκα σέ ὅσα σημεῖα τῆς δέν ἔπεσε φῶς. Αὐτή ἡ δευτέρα κατεργασία τῆς πλάκας ὀνομάζεται *στερέωση*. Ἔτσι ἀποτυπώνεται πάνω στήν πλάκα *τό ἀρνητικό εἶδωλο* τοῦ ἀντικειμένου. Τά ἀδιαφανῆ μέρη αὐτοῦ τοῦ εἰδώλου ἀντιστοιχοῦν στά φωτεινά μέρη τοῦ ἀντικειμένου καί ἀντίστροφα τά διαφανῆ μέρη

τοῦ εἰδώλου ἀντιστοιχοῦν στὰ σκοτεινὰ μέρη τοῦ ἀντικειμένου. Ἡ ἐμφάνιση καὶ ἡ στερέωση τῆς πλάκας γίνεται μέσα σέ θάλαμο, πού εἶναι σκοτεινός ἢ φωτίζεται ἀπό καθαρό ἐρυθρό φῶς, πού δέν προσβάλλει τήν πλάκα.

Θετικό εἶδωλο. Τήν πλάκα, στήν ὁποία ἀποτυπώθηκε τό ἀρνητικό εἶδωλο, τήν βάζουμε πάνω στό *φωτογραφικό χαρτί*. Στή μιά ἐπιφάνεια τοῦ χαρτιοῦ ὑπάρχει ἓνα στρώμα ἀπό τή φωτοπαθῆ οὐσία. Τήν πλάκα μαζί μέ τό χαρτί τήν ἐκθέτουμε στό ἡλιακό φῶς ἢ στό φῶς ἰσχυρῆς φωτεινῆς πηγῆς. Τότε τό φῶς περνάει ἀπό τά διαφανή μέρη τοῦ ἀρνητικοῦ εἰδώλου καί προσβάλλει τό φωτοπαθές στρώμα τοῦ χαρτιοῦ. Μετά τήν ἐμφάνιση καί τή στερέωση ἔχουμε πάνω στό χαρτί τό **θετικό εἶδωλο** τοῦ ἀντικειμένου.



Σχ. 182. Χρώματα ἀπό τήν πρόσθεση τῶν πρωτεύοντων χρωμάτων (E ἐρυθρό, K κυανό, Π πράσινο, 1 πορφύρο, 2 κίτρινο, 3 λευκό, 4 κυανοπράσινο).

με ὄλα τά χρώματα, ἂν προσθέσουμε μέ κατάλληλες ἀναλογίες μόνο τρεῖς ἀκτινοβολίες, πού γι' αὐτό ὀνομάζονται *πρωτεύουσες ἀκτινοβολίες*. Αὐτές εἶναι ἡ ἐρυθρή, ἡ πράσινη καί ἡ κυανή ἀκτινοβολία (σχ. 182). Στήν παραπάνω ἀρχή στηρίζεται ἡ *ἔγχρωμη φωτογραφία*, πού γίνεται μέ διάφορες μεθόδους.

III. Τό χρῶμα τῶν σωμάτων

Ὄταν τό λευκό φῶς πέφτει πάνω σέ ἓνα σῶμα, τότε τό σῶμα ἀπορροφᾷ ὀρισμένες ἀκτινοβολίες τοῦ λευκοῦ φωτός. Αὐτή ἡ ἀπορρόφηση ἐξηγεῖ τό *χρῶμα* πού παίρνουν τά διάφορα σώματα. Εὐκόλα μπορούμε νά βροῦμε τίς ἀκτινοβολίες, πού *ἐκλεκτικά* ἀπορροφᾷ ἓνα σῶμα. Φωτίζουμε τό σῶμα μέ τό λευκό φῶς μῆς ἰσχυρῆς φωτεινῆς πηγῆς καί μέ τό φασματοσκόπιο ἐξετάζουμε τό φῶς πού ἀνακλᾶται ἢ διαχέεται ἀπό τό σῶμα ἢ περνάει μέσα ἀπό αὐτό, ἂν τό σῶμα εἶναι διαφανές.

Τά *διαφανή σώματα* (γυαλί, χαλαζία, νερό κ.λ.), πού φαίνονται ἄχρωμα, ἀφήνουν νά περάσουν μέσα ἀπό τήν ὕλη τους σχεδόν ὄλες οἱ ἀκτινοβο-

Εἶδη φωτογραφικῶν πλακῶν. Ἡ συνηθισμένη φωτογραφική πλάκα προσβάλλεται μόνο ἀπό τίς πράσινες, τίς κυανές καί τίς ἰώδεις ἀκτινοβολίες. Σήμερα χρησιμοποιοῦμε *ὀρθοχρωματικές* πλάκες, πού εἶναι εὐαίσθητες ἀπό τίς κίτρινες ὡς τίς ἰώδεις ἀκτινοβολίες, καί *παγχρωματικές* πλάκες, πού εἶναι εὐαίσθητες σχεδόν σέ ὄλες τίς ἀκτινοβολίες τοῦ λευκοῦ φωτός.

Ἐγχρωμη φωτογραφία. Πειραματικά βρήκαμε ὅτι μπορούμε νά πάρουμε

ὅτι μπορούμε νά πάρουμε

λίες του φάσματος του λευκού φωτός. Τα διαφανή σώματα, πού φαίνονται *έγχρωμα* (χρωματισμένο γυαλί, διαλύματα χρωστικών ουσιών), *απορροφούν* όρισμένες ακτινοβολίες του φάσματος του λευκού φωτός. Έτσι π.χ. μιά γυάλινη πλάκα φαίνεται πράσινη, γιατί μέσα από τό γυαλί περνούν μόνο οι πράσινες ακτινοβολίες, ενώ όλες τις άλλες ακτινοβολίες τό γυαλί τις απορροφά.

Τά *άδιαφανή* σώματα όφείλουν τό χρώμα τους στό φώς πού *ανακλάται* ή *διαχέεται* από τό σώμα. Αν τό σώμα *απορροφά* όλες τις ακτινοβολίες του φάσματος του λευκού φωτός, τότε τό σώμα φαίνεται *μαύρο*. Αντίθετα, αν μέ τήν ίδια αναλογία *διαχέονται* όλες οι ακτινοβολίες του φάσματος του λευκού φωτός, τότε τό σώμα φαίνεται *λευκό*. Τέλος, αν τό σώμα *απορροφά* όρισμένες ακτινοβολίες του φάσματος του λευκού φωτός, τότε τό χρώμα του σώματος προσδιορίζεται από τις ακτινοβολίες πού διαχέονται. Τό χρώμα ενός σώματος εξαρτάται και από τό είδος του φωτός πού πέφτει πάνω στό σώμα. Αν π.χ. ένα χαρτί, πού έχει χρώμα έρυθρό, τό βάλουμε στό έρυθρό τμήμα του ήλιακού φάσματος, τό χαρτί φαίνεται έρυθρό, ενώ σέ κάθε άλλη περιοχή του φάσματος τό χαρτί αυτό φαίνεται μαύρο. Από τά παραπάνω καταλήγουμε στό εξής συμπέρασμα :

Τό χρώμα των σωμάτων όφείλεται στό ότι κάθε σώμα απορροφά εκλεκτικά όρισμένες ακτινοβολίες του λευκού φωτός, και τις υπόλοιπες τις αφήνει νά περάσουν ή τις ανακλά και τις διαχέει.

ΠΡΟΒΛΗΜΑΤΑ

174. Μιά φωτεινή ακτίνα λευκού φωτός πέφτει κάθετα πάνω στή μιά έδρα λεπτού πρίσματος πού έχει διαθλαστική γωνία $A = 8^\circ$. Γι' αυτό τό πρίσμα οι δείκτες διαθλάσεως γιά τήν έρυθρή και τήν ιώδη ακτινοβολία είναι αντίστοιχα $n_E = 1,505$ και $n_I = 1,520$. Πόση είναι ή γωνία έκτροπής E_E και E_I γι' αυτές τις δύο άκραίες ακτινοβολίες του φάσματος ; Πόση είναι ή διαφορά των γωνιών έκτροπής $E_I - E_E$;

175. Μιά φωτεινή ακτίνα λευκού φωτός πέφτει κάθετα πάνω στή μιά έδρα λεπτού πρίσματος πού έχει διαθλαστική γωνία $A = 10^\circ$. Οι δείκτες διαθλάσεως γιά τήν έρυθρή και τήν ιώδη ακτινοβολία είναι αντίστοιχα $n_E = 1,53$ και $n_I = 1,55$. Τό φάσμα σχηματίζεται πάνω σέ διάφραγμα πού απέχει 2 m από τό πρίσμα. Κατά προσέγγιση θεωρούμε ότι ή έξερχόμενη από τό πρίσμα έρυθρή ακτίνα είναι κάθετη στό διάφραγμα. Πόσο μήκος έχει τό φάσμα πού σχηματίζεται πάνω στό διάφραγμα ;

176. Ένα σύστημα από δύο λεπτά πρίσματα μέ διαθλαστικές γωνίες A_1 και A_2 θέλουμε νά μή προκαλέι έκτροπή σέ όρισμένη ακτινοβολία, πού γιά τά δύο αυτά πρίσματα οι δείκτες διαθλάσεως αντίστοιχα είναι n_1 και n_2 . Πόσος πρέπει νά είναι ό λόγος των διαθλαστικών γωνιών A_1 και A_2 των δύο πρισμάτων ;

Φωτομετρία

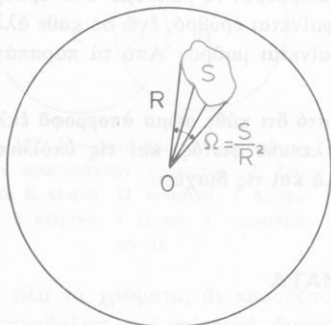
112. Φωτεινή ενέργεια

Από την καθημερινή παρατήρηση διαπιστώνουμε ότι οι φωτεινές πηγές είναι σώματα που συνήθως έχουν μεγάλη θερμοκρασία. Αντίστροφα διαπιστώνουμε ότι, όταν τό φως απορροφάται από ένα σώμα, τότε τό σώμα θερμαίνεται. Οι άπλές αυτές παρατηρήσεις φανερόνουν ότι *ή θερμοότητα μετατρέπεται σέ φως και αντίστροφα τό φως μετατρέπεται σέ θερμοότητα*. Έτσι καταλήγουμε στό εξής συμπέρασμα :

■ **Τό φως είναι μιά μορφή ενέργειας, πού την ονομάζουμε φωτεινή ενέργεια.**

113. Στερεή γωνία και μονάδα της

Μιά σφαίρα έχει κέντρο O και άκτινα R . Στην επιφάνεια της σφαίρας θεωρούμε ένα τμήμα της πού έχει έμβαδό S (σχ. 183). Οι άκτινες της σφαίρας, πού καταλήγουν σέ όλα τά σημεία της περιμέτρου της επιφάνειας S , σχηματίζουν μιά *στερεή γωνία* Ω και αποδεικνύεται ότι ισχύει ή εξίσωση: $S = \Omega \cdot R^2$. Από αυτή την εξίσωση έχουμε την ακόλουθη *εξίσωση όρισμού* της στερεής γωνίας :



Σχ. 183. Όρισμός στερεής γωνίας.

$$\text{στερεή γωνία} \quad \Omega = \frac{S}{R^2}$$

Αν είναι $S = R^2$, τότε είναι $\Omega = 1$. Η *μονάδα στερεής γωνίας* ονομάζεται *στερακτίνο* (1 sterad). Ωστε :

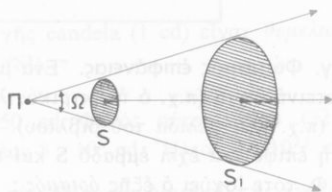
■ **Μονάδα στερεής γωνίας είναι τό στερακτίνο (1 sterad), δηλαδή ή στερεή γωνία πού έχει την κορυφή της στό κέντρο σφαίρας μέ άκτινα R και αντιστοιχεί σέ τμήμα της σφαιρικής επιφάνειας πού έχει έμβαδό (S) ίσο μέ R^2 .**

Η στερεή γωνία (Ω) πού έχει κορυφή της τό κέντρο O της σφαίρας και αντιστοιχεί σέ όλη τή σφαιρική επιφάνεια ($S = 4\pi R^2$) είναι :

$$\Omega = \frac{S}{R^2} = \frac{4\pi R^2}{R^2} \quad \text{άρα} \quad \Omega = 4\pi \text{ sterad}$$

114. Φωτομετρικά μεγέθη

α. Φωτεινή ροή. Κάθε φωτεινή πηγή εκπέμπει συνεχώς φωτεινή ενέργεια, που διαδίδεται στο γύρω από την πηγή διαφανές μέσο, τό όποιο θεωρούμε όμογενές καί ισότροπο. Ως φωτεινή πηγή παίρνουμε ένα φωτεινό σημείο (σχ. 184) που εκπέμπει φωτεινή ενέργεια όμοιόμορφα προς όλες τις διευθύνσεις. Θεωρούμε έναν κώνο που έχει κορυφή τή φωτεινή πηγή καί στερεή γωνία Ω . Μέσα σ' ατή τή στερεή γωνία ή φωτεινή πηγή στή διάρκεια του χρόνου t εκπέμπει ενέργεια E . Έπομένως από μία τομή του κώνου περνάει κατά δευτερόλεπτο φωτεινή ενέργεια ίση μέ E/t . Ατή ή ενέργεια όνομάζεται φωτεινή ροή (Φ) καί εκφράζει τήν ισχύ που περνάει από τή θεωρούμενη επιφάνεια. Ωστε :



Σχ. 184. Όρισμός τής φωτεινής ροής.

Φωτεινή ροή (Φ) όνομάζεται ή ισχύς που περνάει από μία επιφάνεια (δηλαδή ή φωτεινή ενέργεια που περνάει κατά δευτερόλεπτο από τή θεωρούμενη επιφάνεια).

$$\text{φωτεινή ροή} = \frac{\text{φωτεινή ενέργεια}}{\text{χρόνος}} \quad \Phi = \frac{E}{t} \quad (1)$$

β. Ένταση φωτεινής πηγής. Μέσα στή στερεή γωνία Ω (σχ. 184) ή φωτεινή πηγή εκπέμπει φωτεινή ροή Φ . Έπομένως κατά μονάδα στερεής γωνίας ή φωτεινή πηγή εκπέμπει φωτεινή ροή ίση μέ Φ/Ω . Ατή ή φωτεινή ροή όνομάζεται ένταση (I) τής φωτεινής πηγής (*). Ωστε :

Ένταση (I) φωτεινής πηγής όνομάζεται ή φωτεινή ροή που εκπέμπει ή φωτεινή πηγή κατά μονάδα στερεής γωνίας.

$$\text{ένταση φωτεινής πηγής} = \frac{\text{φωτεινή ροή}}{\text{στερεή γωνία}} \quad I = \frac{\Phi}{\Omega} \quad (2)$$

Έπειδή ή φωτεινή πηγή εκπέμπει όμοιόμορφα προς όλες τις διευθύνσεις, γι' αυτό από τήν εξίσωση (2) για $\Omega = 4\pi \text{ sterad}$ βρίσκουμε ότι :

(*) Η ένταση φωτεινής πηγής όνομάζεται καί φωτοβολία τής πηγής.

Ἡ ὅλική φωτεινή ροή ($\Phi_{ολ}$) πού ἐκπέμπει μιὰ σημειακή φωτεινή πηγὴ, ἡ ὁποία ἔχει σταθερὴ ἔνταση (I) πρὸς ὅλες τὶς διευθύνσεις, εἶναι ἴση μὲ $4\pi \cdot I$.

$$\text{ὅλική φωτεινὴ ροὴ} \quad \Phi_{ολ} = 4\pi \cdot I \quad (3)$$

γ. Φωτισμός ἐπιφάνειας. Ἐνα μέρος τῆς φωτεινῆς ροῆς πού ἐκπέμπει ἡ φωτεινὴ πηγὴ (π.χ. ὁ ἠλεκτρικὸς λαμπτήρας) πέφτει πάνω σὲ μιὰ ἐπιφάνεια (π.χ. στὴ σελίδα τοῦ βιβλίου). Τότε λέμε ὅτι ἡ ἐπιφάνεια *φωτίζεται*. Ἄν ἡ ἐπιφάνεια ἔχει ἐμβαδὸ S καὶ πάνω της πέφτει *ὁμοιόμορφα* φωτεινὴ ροὴ Φ , τότε ἰσχύει ὁ ἑξῆς ὁρισμὸς :

Φωτισμός (B) μιᾶς ἐπιφάνειας ὀνομάζεται τὸ πηλίκο τῆς φωτεινῆς ροῆς (Φ) διὰ τοῦ ἐμβαδοῦ (S) τῆς ἐπιφάνειας (ὅταν ἡ φωτεινὴ ροὴ πέφτει ὁμοιόμορφα πάνω στὴν ἐπιφάνεια).

$$\text{φωτισμὸς ἐπιφάνειας} = \frac{\text{φωτεινὴ ροὴ}}{\text{ἐμβαδὸ ἐπιφάνειας}} \quad B = \frac{\Phi}{S} \quad (4)$$

Εἶναι φανερό ὅτι τὸ πηλίκο $\frac{\Phi}{S}$ φανερῶνει τὴ φωτεινὴ ροὴ πού πέφτει πάνω στὴ μονάδα ἐπιφάνειας.

115. Μονάδες τῶν φωτομετρικῶν μεγεθῶν

Γνωρίσαμε τρία φωτομετρικὰ μεγέθη, τὴ φωτεινὴ ροὴ (Φ), τὴν ἔνταση φωτεινῆς πηγῆς (I) καὶ τὸ φωτισμὸ ἐπιφάνειας (B). Αὐτὰ τὰ μεγέθη τὰ μετράμε μὲ κατάλληλες μονάδες, πού προκύπτουν ἀπὸ τὸν ὀρισμὸ τῆς μονάδας ἐντάσεως φωτεινῆς πηγῆς.

α. Μονάδα ἐντάσεως φωτεινῆς πηγῆς. Ὡς *μονάδα ἐντάσεως φωτεινῆς πηγῆς* παίρνουμε τὴν ἔνταση μιᾶς *πρότυπης φωτεινῆς πηγῆς*, πού δίνει λευκὸ φῶς καὶ διατηρεῖ σταθερὴ τὴν ἐκπομπή της. Ἡ *μονάδα ἐντάσεως φωτεινῆς πηγῆς* ὀνομάζεται *candela* (1 cd) καὶ πραγματοποιεῖται ἀπὸ ὀρισμένη πρότυπη φωτεινὴ πηγὴ (*). Ὡστε :

(*). Candela (1 cd) εἶναι τὸ 1/60 τῆς φωτεινῆς ἰσχύος πού ἐκπέμπει κάθετα ἐπιφάνεια 1 cm^2 λευκοχρύσου, ὁ ὁποῖος ἔχει θερμοκρασία ἴση μὲ τὴ θερμοκρασία τῆς τήξεώς του ($1773,5^\circ \text{C}$).

Μονάδα έντάσεως φωτεινής πηγής είναι η candela (1 cd), δηλαδή η ένταση μιᾶς ὀρισμένης πρότυπης φωτεινής πηγής.

μονάδα έντάσεως φωτεινής πηγής 1 candela (1 cd)

Ἡ μονάδα έντάσεως φωτεινής πηγής candela (1 cd) είναι *θεμελιώδης μονάδα* στό Διεθνές Σύστημα μονάδων (SI).

Ἔνταση μερικῶν φωτεινῶν πηγῶν:

Λαμπτήρας πυρακτώσεως (100 W) 150 cd. Φανός αὐτοκινήτου (32 W) $15 \cdot 10^3$ cd. Ἀντιαεροπορικός προβολέας $8 \cdot 10^8$ cd. Ἡλιος $2 \cdot 10^{27}$ cd.

β. Μονάδα φωτεινῆς ροῆς. Ἀπό τήν ἐξίσωση ὀρισμοῦ τῆς έντάσεως φωτεινῆς πηγῆς $I = \Phi/\Omega$ βρίσκουμε :

$$\Phi = I \cdot \Omega$$

Ἄν εἶναι $I = 1$ cd καί $\Omega = 1$ sterad, τότε εἶναι $\Phi = 1$. Ἡ *μονάδα φωτεινῆς ροῆς* ὀνομάζεται *lumen* (1 lm). Ὡστε :

Μονάδα φωτεινῆς ροῆς είναι τό lumen (1 lm), δηλαδή ἡ φωτεινή ροή, τήν ὁποία ἐκπέμπει φωτεινή πηγή έντάσεως μιᾶς candela (1 cd) μέσα σέ στερεή γωνία ἴση μέ ἓνα στερακτίσιο (1 sterad).

μονάδα φωτεινῆς ροῆς 1 lumen (1 lm) 1 lm = 1 cd · 1 sterad

Ἐπομένως μιᾶ σημαϊακή φωτεινή πηγή, πού ἔχει τήν ἴδια ένταση I πρὸς ὅλες τίς διευθύνσεις, ἐκπέμπει *ὀλική φωτεινή ροή* ἴση μέ :

ὀλική φωτεινή ροή $\Phi_{ολ} = 4\pi \cdot I$ lumen

γ. Μονάδα φωτισμοῦ. Ἄν στήν ἐξίσωση ὀρισμοῦ τοῦ φωτισμοῦ μιᾶς ἐπιφάνειας $B = \Phi/S$ εἶναι $\Phi = 1$ lm καί $S = 1$ m², τότε εἶναι $B = 1$. Ἡ *μονάδα φωτισμοῦ* ὀνομάζεται *lux* (1 lx). Ὡστε :

Μονάδα φωτισμοῦ είναι τό lux (1 lux), δηλαδή ὁ φωτισμός, τόν ὁποῖο προκαλεῖ φωτεινή ροή ἑνός lumen (1 lm), ὅταν πέφτει κάθετα πάνω σέ ἐπιφάνεια ἑνός τετραγωνικοῦ μέτρου (1 m²).

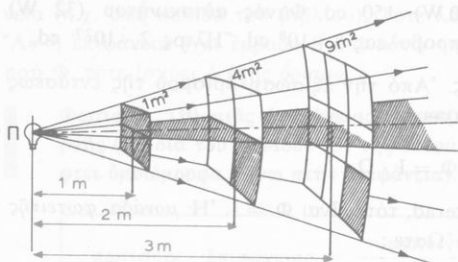
μονάδα φωτισμοῦ 1 lux (1 lx) 1 lux = 1 lm/1 m² = 1 lm/m²

Γιά νά διαβάσουμε άνετα, πρέπει ό φωτισμός του κειμένου νά είναι ίσος μέ 25 lux.

116. Νόμος του φωτισμού

Μιά σημειακή φωτεινή πηγή (σχ. 185) έχει σταθερή ένταση I προς όλες τές διευθύνσεις και εκπέμπει όλική φωτεινή ροή

$$\Phi_{ολ} = 4\pi \cdot I$$



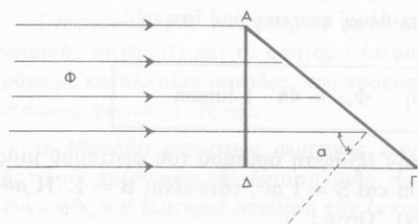
Σχ. 185. Μεταβολή του φωτισμού μέ τήν απόσταση.

Αυτή περνάει διαδοχικά από σφαιρικές επιφάνειες, πού οι άκτινες τους συνεχώς αυξάνουν. Τά έμβαδά των σφαιρικών επιφανειών αυξάνουν ανάλογα μέ τά τετράγωνα των άκτινων τους. Οί φωτεινές άκτινες πέφτουν *κάθετα* πάνω σέ κάθε σφαιρική επιφάνεια. Άρα για μία σφαιρική επιφάνεια μέ άκτίνα R ό *κάθετος φωτισμός της* ($B_{καθ}$) είναι :

$$B_{καθ} = \frac{\Phi_{ολ}}{4\pi \cdot R^2} = \frac{4\pi \cdot I}{4\pi \cdot R^2}$$

και

$$B_{καθ} = \frac{I}{R^2} \quad (1)$$



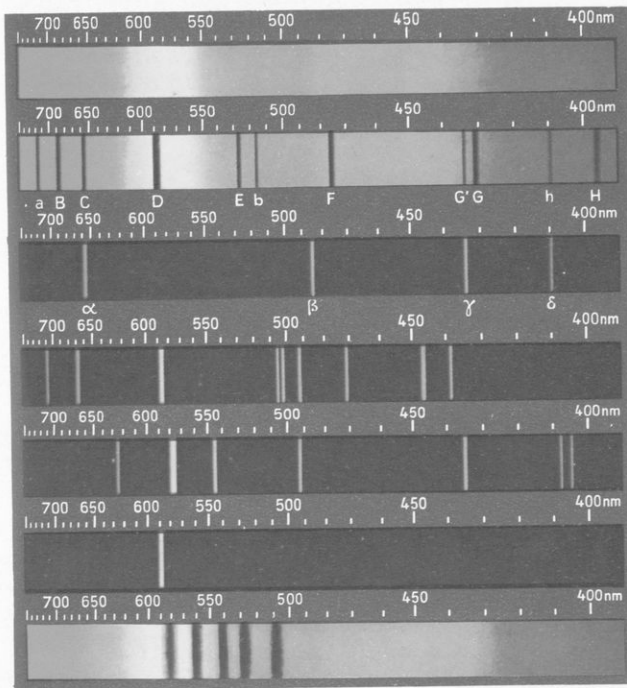
Σχ. 186. Μεταβολή του φωτισμού μέ τή γωνία προσπτώσεως.

Μιά παράλληλη φωτεινή δέσμη πέφτει πάνω σέ επιφάνεια ΑΓ (σχ. 186), πού έχει έμβαδό S . Η γωνία προσπτώσεως είναι α . Πάνω στήν επιφάνεια ΑΓ πέφτει φωτεινή ροή Φ και ό φωτισμός (B) αυτής τής επιφάνειας είναι :

$$B = \frac{\Phi}{S} \quad (2)$$

Η ίδια φωτεινή ροή Φ πέφτει κάθετα πάνω στήν επιφάνεια ΑΔ, πού έχει έμβαδό $S' = S \cdot \text{συν } \alpha$. Ο *κάθετος φωτισμός* ($B_{καθ}$) τής επιφάνειας ΑΔ είναι:

Α. Φάσμα που δίνει τὸ πρίσμα



Λαμπτήρας
πυρακτώσεως

Ἡλιακό φάσμα

Ἵδρoγόνo
H

Ἡλιο
He

Ἵδράργυροs
Hg

Νάτριο
Na

Φάσμα ἀπορροφῆ-
σεωs ἀπὸ ὑπερμαγ-
νανικό κάλιο

Φάσματα ἐκπομπῆs καὶ ἀπορροφῆσεωs.

Οἱ διαιρέσειs τῆs κλίμακαs δείχνουn τὰ μήκη κύματοs ($1 \text{ nm} = 10^{-9} \text{ m}$)

$$B_{\text{καθ}} = \frac{\Phi}{S'} \quad \text{ή} \quad B_{\text{καθ}} = \frac{\Phi}{S \cdot \text{συν } \alpha} \quad (3)$$

Διαιρώντας κατά μέλη τις εξισώσεις (2) και (3) έχουμε :

$$\frac{B}{B_{\text{καθ}}} = \frac{S \cdot \text{συν } \alpha}{S} \quad \text{άρα} \quad B = B_{\text{καθ}} \cdot \text{συν } \alpha \quad (4)$$

Από τις εξισώσεις (1) και (4) βρίσκουμε την ακόλουθη γενικότερη εξίσωση που εκφράζει το νόμο του φωτισμού :

$$\text{νόμος του φωτισμού} \quad B = \frac{I}{R^2} \cdot \text{συν } \alpha$$

Ο φωτισμός (B) μιās επιφάνειας είναι ανάλογος με την ένταση (I) της φωτεινής πηγής, αντιστρόφως ανάλογος με τό τετράγωνο της απόστασεως (R) της επιφάνειας από τη φωτεινή πηγή και ανάλογος με τό συνημίτονο της γωνίας προσπτώσεως (α).

Αν οί φωτεινές ακτίνες πέφτουν κάθετα πάνω στην επιφάνεια ($\alpha = 0^\circ$), τότε ο φωτισμός της επιφάνειας έχει τή μεγαλύτερη τιμή $B_{\text{καθ}} = I/R^2$.

Άλλος όρισμός της μονάδας φωτισμού lux. Αν στην εξίσωση $B_{\text{καθ}} = I/R^2$ είναι $I = 1 \text{ cd}$, $R = 1 \text{ m}$, τότε ο κάθετος φωτισμός είναι $B_{\text{καθ}} = 1 \text{ lux}$. Ωστε :

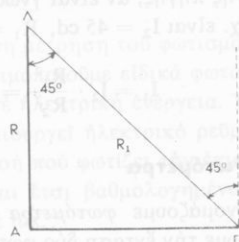
1 lux είναι ο φωτισμός μιās επιφάνειας που βρίσκεται σε απόσταση 1 m από φωτεινή πηγή έντασεως 1 cd, όταν οί φωτεινές ακτίνες πέφτουν κάθετα πάνω στην επιφάνεια.

$$\text{κάθετος φωτισμός} \quad 1 \text{ lux} = \frac{1 \text{ cd}}{1 \text{ m}^2}$$

Παράδειγμα. Ένας οριζόντιος δρόμος φωτίζεται από ηλεκτρικό λαμπτήρα, που έχει ένταση $I = 500 \text{ cd}$ και βρίσκεται σε ύψος $R = 5 \text{ m}$ από τό κατάστρωμα του δρόμου. Ακριβώς κάτω από τό λαμπτήρα (σχ. 187) ο φωτισμός του δρόμου είναι :

$$B_{\text{καθ}} = \frac{I}{R^2} = \frac{500 \text{ cd}}{25 \text{ m}^2} \quad \text{καί} \quad B_{\text{καθ}} = 20 \text{ lux}$$

Σε απόσταση $A\Gamma = 5 \text{ m}$ από την κατακόρυφο που περνάει από τό λαμπτήρα οί φωτεινές ακτίνες πέφτουν με γωνία προσπτώσεως $\alpha = 45^\circ$ και ή απόσταση από τον λαμπτήρα είναι $R_1 = \sqrt{2}R$. Στο σημείο Γ ο φωτισμός του δρόμου είναι :



Σχ. 187. Υπολογισμός του φωτισμού στα σημεία Α και Γ του έδαφους.

ΠΡΟΒΛΗΜΑΤΑ

177. Μία φωτεινή πηγή παράγει φωτεινή ροή $\Phi = 60$ lumen. Πόση είναι η ένταση I της φωτεινής πηγής και πόσος είναι ο κάθετος φωτισμός που προκαλεί αυτή η πηγή σε μία επιφάνεια που βρίσκεται σε απόσταση 2 m από την πηγή ;

178. Δύο όμοιοι ηλεκτρικοί λαμπτήρες Α και Β, που ο καθένας έχει ένταση $I = 500$ cd, βρίσκονται σε ύψος 9 m πάνω από το έδαφος και η οριζόντια απόστασή τους είναι $AB = 12$ m. Πόσος είναι ο φωτισμός του εδάφους ακριβώς κάτω από κάθε λαμπτήρα και στή μέση της απόστάσεως μεταξύ των δύο λαμπτήρων ;

179. Νά βρεθεί ο λόγος των φωτισμών που προκαλεί ο Ήλιος σε έναν τόπο, όταν ο Ήλιος βρίσκεται στο ζενίθ αυτού του τόπου και όταν είναι σε ύψος 30° πάνω από τον ορίζοντα.

180. Δύο φωτεινές πηγές P_1 και P_2 που έχουν αντίστοιχα εντάσεις I_1 και I_2 , βρίσκονται στις άκρες μιάς ευθείας. Ένα σημείο Γ αυτής της ευθείας απέχει από τις δύο φωτεινές πηγές $P_1\Gamma = \alpha$ και $P_2\Gamma = \beta$. Πάνω στην κάθετο που περνάει από το σημείο Γ μετακινείται μία μικρή σφαίρα Σ . Σε πόση απόσταση από το σημείο Γ πρέπει να βρεθεί η σφαίρα Σ , γιά να δέχεται τον ίδιο φωτισμό από τις δύο φωτεινές πηγές ;



Η Σφαιράκι, η Ευθεία

Ποι :

Όταν δύο φωτεινές πηγές φωτίζουν ένα σημείο με ίση ένταση, τότε ο φωτισμός που δέχεται το σημείο είναι άμεσος από τις δύο πηγές. Αν οι πηγές έχουν διαφορετικές εντάσεις, τότε ο φωτισμός που δέχεται το σημείο είναι άμεσος από τις δύο πηγές, αλλά ο φωτισμός που δέχεται το σημείο είναι άμεσος από την πηγή που έχει την μεγαλύτερη ένταση.

Φωτεινής πηγής, αν είναι γινόμενο της έντασης της πηγής με το τετράγωνο της απόστασης από την πηγή.

Αν x_1 είναι η απόσταση από την πηγή P_1 και x_2 είναι η απόσταση από την πηγή P_2 , τότε ο φωτισμός που δέχεται το σημείο είναι:

$$E = \frac{I_1}{x_1^2} + \frac{I_2}{x_2^2}$$

Μετατόσις το σημείο Γ στην ευθεία που περνάει από τις δύο πηγές, τότε ο φωτισμός που δέχεται το σημείο είναι:

$$E = \frac{I_1}{x_1^2} + \frac{I_2}{x_2^2}$$

Μετατόσις η σφαίρα Σ στην ευθεία που περνάει από τις δύο πηγές, τότε ο φωτισμός που δέχεται το σημείο είναι:

$$E = \frac{I_1}{x_1^2} + \frac{I_2}{x_2^2}$$

Μετατόσις η σφαίρα Σ στην ευθεία που περνάει από τις δύο πηγές, τότε ο φωτισμός που δέχεται το σημείο είναι:

$$E = \frac{I_1}{x_1^2} + \frac{I_2}{x_2^2}$$

Μετατόσις η σφαίρα Σ στην ευθεία που περνάει από τις δύο πηγές, τότε ο φωτισμός που δέχεται το σημείο είναι:

$$E = \frac{I_1}{x_1^2} + \frac{I_2}{x_2^2}$$

Μετατόσις η σφαίρα Σ στην ευθεία που περνάει από τις δύο πηγές, τότε ο φωτισμός που δέχεται το σημείο είναι:

$$E = \frac{I_1}{x_1^2} + \frac{I_2}{x_2^2}$$

Μετατόσις η σφαίρα Σ στην ευθεία που περνάει από τις δύο πηγές, τότε ο φωτισμός που δέχεται το σημείο είναι:

$$E = \frac{I_1}{x_1^2} + \frac{I_2}{x_2^2}$$

Μετατόσις η σφαίρα Σ στην ευθεία που περνάει από τις δύο πηγές, τότε ο φωτισμός που δέχεται το σημείο είναι:

$$E = \frac{I_1}{x_1^2} + \frac{I_2}{x_2^2}$$

Μετατόσις η σφαίρα Σ στην ευθεία που περνάει από τις δύο πηγές, τότε ο φωτισμός που δέχεται το σημείο είναι:

$$E = \frac{I_1}{x_1^2} + \frac{I_2}{x_2^2}$$

Μετατόσις η σφαίρα Σ στην ευθεία που περνάει από τις δύο πηγές, τότε ο φωτισμός που δέχεται το σημείο είναι:

$$E = \frac{I_1}{x_1^2} + \frac{I_2}{x_2^2}$$

Μετατόσις η σφαίρα Σ στην ευθεία που περνάει από τις δύο πηγές, τότε ο φωτισμός που δέχεται το σημείο είναι:

$$E = \frac{I_1}{x_1^2} + \frac{I_2}{x_2^2}$$

ΠΙΝΑΚΑΣ 1

Μερικές φυσικές σταθερές

Ταχύτητα φωτός στο κενό	$c = 3 \cdot 10^8 \frac{\text{m}}{\text{sec}}$
Στοιχειώδες ηλεκτρικό φορτίο	$ e = 1,602 \cdot 10^{-19} \text{ Cb}$
Μαγνητική διαπερατότητα κενού	$\mu_0 = 4\pi \cdot 10^{-7} \frac{\text{N}}{\text{A}^2}$
Διηλεκτρική σταθερή κενού	$\epsilon_0 = 8,85 \cdot 10^{-12} \frac{\text{Cb}^2}{\text{N} \cdot \text{m}^2}$
Σταθερή Faraday	$F = 96\,490 \frac{\text{Cb}}{\text{γραμμοίσοδύναμο}}$
Μάζα ηρεμίας ηλεκτρονίου	$m_e = 9,109 \cdot 10^{-31} \text{ kg}$
Μαγνητική σταθερή του Coulomb	$K_{\text{μαγν}} = \frac{\mu_0}{4\pi} = 10^{-7} \frac{\text{N}}{\text{A}^2}$
Ήλεκτρική σταθερή του Coulomb	$\left\{ \begin{array}{l} K_{\eta\lambda} = 9 \cdot 10^9 \frac{\text{N} \cdot \text{m}^2}{\text{Cb}^2} \\ K_{\eta\lambda} = \frac{1}{4\pi\epsilon_0} \frac{\text{N} \cdot \text{m}^2}{\text{Cb}^2} \end{array} \right.$
Σχέση των σταθερών $K_{\eta\lambda}$ και $K_{\text{μαγν}}$	$K_{\eta\lambda} = K_{\text{μαγν}} \cdot c^2$

ΠΙΝΑΚΑΣ 2

Κυριότερες μονάδες του συστήματος MKSA

Μέγεθος		Μονάδα
Μήκος	1 μέτρο	1 m
Μάζα	1 χιλιόγραμμα	1 kgr
Χρόνος	1 δευτερόλεπτο	1 sec
Ένταση ρεύματος	1 Ampère	1 A
Δύναμη	1 Newton	$1 \text{ N} = 1 \text{ kgr} \cdot \frac{\text{m}}{\text{sec}^2}$
Ενέργεια	1 Joule	$1 \text{ J} = 1 \text{ N} \cdot \text{m}$
Ίσχύς	1 Watt	$1 \text{ W} = 1 \frac{\text{J}}{\text{sec}}$
Ηλεκτρικό φορτίο	1 Coulomb	$1 \text{ Cb} = 1 \text{ A} \cdot \text{sec}$
Δυναμικό	1 Volt	$1 \text{ V} = 1 \frac{\text{J}}{\text{Cb}}$
Ένταση ηλεκτρικού πεδίου	$1 \frac{\text{Newton}}{\text{Cb}}$	$1 \frac{\text{N}}{\text{Cb}} = 1 \frac{\text{V}}{\text{m}}$
Χωρητικότητα	1 Farad	$1 \text{ F} = 1 \frac{\text{Cb}}{\text{V}} = 1 \frac{\text{Cb}^2}{\text{J}}$
Αντίσταση αγωγού	1 Ohm	$1 \Omega = 1 \frac{\text{V}}{\text{A}}$
Ειδική αντίσταση	1 Ohm · m	$1 \Omega \cdot \text{m}$
Ποσότητα μαγνητισμού	1 Ampère · m	$1 \text{ A} \cdot \text{m}$
Μαγνητική ροή	1 Weber	$1 \text{ Wb} = 1 \frac{\text{J}}{\text{A}}$
Μαγνητική επαγωγή	1 Tesla	$1 \text{ T} = 1 \frac{\text{N}}{\text{A} \cdot \text{m}} = 1 \frac{\text{Wb}}{\text{m}^2}$
Μαγνητική ροπή	1 Ampère · m ²	$1 \text{ A} \cdot \text{m}^2$

ΠΙΝΑΚΑΣ 3

Κυριότερες εξισώσεις του Μαγνητισμού και του Ήλεκτρισμού
στο σύστημα μονάδων MKSA

ΜΑΓΝΗΤΙΣΜΟΣ

Νόμος του Coulomb
(σημειακοί πόλοι
στό κενό ή στον αέρα)

$$F = 10^{-7} \cdot \frac{m_1 \cdot m_2}{r^2} \quad \left\{ \begin{array}{l} 10^{-7} \text{ N/A}^2 \\ m_1, m_2 \text{ σε } \text{A} \cdot \text{m} \\ r \text{ σε } \text{m} \\ F \text{ σε } \text{N} \end{array} \right.$$

Μαγνητική επαγωγή

$$B = \frac{F}{m} \quad \left\{ \begin{array}{l} F \text{ σε } \text{N}, m \text{ σε } \text{A} \cdot \text{m} \\ B \text{ σε } \text{T} \end{array} \right.$$

Μαγνητική επαγωγή σε
απόσταση r από σημειακό
μαγνητικό πόλο m στο
κενό ή στον αέρα

$$B_0 = 10^{-7} \cdot \frac{m}{r^2} \quad \left\{ \begin{array}{l} 10^{-7} \text{ N/A}^2 \\ m \text{ σε } \text{A} \cdot \text{m} \\ r \text{ σε } \text{m} \\ B_0 \text{ σε } \text{T} \end{array} \right.$$

Μαγνητική επαγωγή μέσα
σε υλικό με μαγνητική
διαπερατότητα μ

$$B = \mu \cdot 10^{-7} \cdot \frac{m}{r^2} \quad \left\{ \begin{array}{l} 10^{-7} \text{ N/A}^2 \\ m \text{ σε } \text{A} \cdot \text{m}, r \text{ σε } \text{m} \\ B \text{ σε } \text{T} \end{array} \right.$$

Μαγνητική ροή

$$\Phi = B \cdot S \cdot \text{συν } \alpha \quad \left\{ \begin{array}{l} B \text{ σε } \text{T}, S \text{ σε } \text{m}^2 \\ \Phi \text{ σε } \text{Wb} \end{array} \right.$$

Μαγνητική ροπή
μαγνητικού διπόλου

$$M^* = m \cdot l \quad \left\{ \begin{array}{l} m \text{ σε } \text{A} \cdot \text{m}, l \text{ σε } \text{m} \\ M^* \text{ σε } \text{A} \cdot \text{m}^2 \end{array} \right.$$

ΠΙΝΑΚΑΣ 3 (συνέχεια)

ΗΛΕΚΤΡΙΣΜΟΣ

Νόμος του Coulomb (σημειακά φορτία στο κενό ή στον άερα)	$F = 9 \cdot 10^9 \cdot \frac{Q_1 \cdot Q_2}{r^2}$	$\left\{ \begin{array}{l} 9 \cdot 10^9 \text{ N} \cdot \text{m}^2/\text{Cb}^2 \\ Q_1, Q_2 \text{ σε Cb} \\ r \text{ σε m} \\ F \text{ σε N} \end{array} \right.$
Ένταση ηλεκτρικού πεδίου	$E = \frac{F}{q}$	$E = \frac{U}{l} \left\{ \begin{array}{l} F \text{ σε N}, q \text{ σε Cb} \\ U \text{ σε V}, l \text{ σε m} \\ E \text{ σε N/Cb ή V/m} \end{array} \right.$
Ένταση ηλεκτρικού πε- δίου σε απόσταση r από σημειακό φορτίο Q στο κενό ή στον άερα	$E = 9 \cdot 10^9 \cdot \frac{Q}{r^2}$	$\left\{ \begin{array}{l} 9 \cdot 10^9 \text{ N} \cdot \text{m}^2/\text{Cb}^2 \\ Q \text{ σε Cb}, r \text{ σε m} \\ E \text{ σε N/Cb ή V/m} \end{array} \right.$
Δυναμικό σε απόσταση r από σημειακό φορτίο Q στο κενό ή στον άερα	$U = 9 \cdot 10^9 \cdot \frac{Q}{r}$	$\left\{ \begin{array}{l} 9 \cdot 10^9 \text{ N} \cdot \text{m}^2/\text{Cb}^2 \\ Q \text{ σε Cb}, r \text{ σε m} \\ U \text{ σε V} \end{array} \right.$
Δυναμικό σφαιρικού άγω- γού με ακτίνα R και φορ- φόρτιο Q	$U = 9 \cdot 10^9 \cdot \frac{Q}{R}$	$\left\{ \begin{array}{l} 9 \cdot 10^9 \text{ N} \cdot \text{m}^2/\text{Cb}^2 \\ Q \text{ σε Cb}, R \text{ σε m} \\ U \text{ σε V} \end{array} \right.$
Χωρητικότητα άγωγού	$C = \frac{Q}{U}$	$\left\{ \begin{array}{l} Q \text{ σε Cb}, U \text{ σε V} \\ C \text{ σε F} \end{array} \right.$
Χωρητικότητα σφαιρικού άγωγού με ακτίνα R	$C = 8,85 \cdot 10^{-12} 4\pi R$	$\left\{ \begin{array}{l} 8,85 \cdot 10^{-12} \text{ Cb}^2/(\text{N} \cdot \text{m}^2) \\ R \text{ σε m}, C \text{ σε F} \end{array} \right.$
Ενέργεια φορτισμένου άγωγού	$E = \frac{1}{2} Q \cdot U$	$\left\{ \begin{array}{l} Q \text{ σε Cb}, U \text{ σε V} \\ E \text{ σε J} \end{array} \right.$
Χωρητικότητα επίπεδου πυκνωτή στο κενό ή στον άερα	$C = 8,85 \cdot 10^{-12} \cdot \frac{S}{l}$	$\left\{ \begin{array}{l} 8,85 \cdot 10^{-12} \text{ Cb}^2/(\text{N} \cdot \text{m}^2) \\ S \text{ σε m}^2, l \text{ σε m} \\ C \text{ σε F} \end{array} \right.$
Ενέργεια φορτισμένου πυκνωτή	$E = \frac{1}{2} Q \cdot U$	$\left\{ \begin{array}{l} Q \text{ σε Cb}, U \text{ σε V} \\ E \text{ σε J} \end{array} \right.$

ΠΙΝΑΚΑΣ 3 (συνέχεια)

Χωρητικότητα επιπέδου πυκνωτή με διηλεκτρικό ύλικό (ϵ)	$C = 8,85 \cdot 10^{-12} \cdot \frac{\epsilon S}{l}$	$\left\{ \begin{array}{l} 8,85 \cdot 10^{-12} \text{Cb}^2/(\text{N} \cdot \text{m}^2) \\ S \text{ σε } \text{m}^2, l \text{ σε } \text{m} \\ C \text{ σε } \text{F} \end{array} \right.$
Ένταση ρεύματος	$I = \frac{Q}{t}$	$\left\{ \begin{array}{l} Q \text{ σε } \text{Cb}, t \text{ σε } \text{sec} \\ I \text{ σε } \text{A} \end{array} \right.$
Αντίσταση άγωγού	$R = \frac{U}{I} \quad R = \rho \cdot \frac{l}{S}$	$\left\{ \begin{array}{l} U \text{ σε } \text{V}, I \text{ σε } \text{A} \\ l \text{ σε } \text{m}, S \text{ σε } \text{m}^2 \\ \rho \text{ σε } \Omega \cdot \text{m}, R \text{ σε } \Omega \end{array} \right.$
Κλειστό κύκλωμα	$E = I \cdot R_{\text{ολ}}$	$\left\{ \begin{array}{l} E \text{ σε } \text{V}, I \text{ σε } \text{A} \\ R_{\text{ολ}} \text{ σε } \Omega \end{array} \right.$
Νόμος Biot - Savart	$\Delta B = 10^{-7} \cdot \frac{I \cdot \Delta l}{r^2} \cdot \eta \mu \varphi$	$\left\{ \begin{array}{l} 10^{-7} \text{ N/A}^2, I \text{ σε } \text{A} \\ l, r \text{ σε } \text{m}, \Delta B \text{ σε } \text{T} \end{array} \right.$
Μαγνητική επαγωγή σε απόσταση r από ευθύγραμμο άγωγό	$B = 10^{-7} \cdot \frac{2I}{r}$	$\left\{ \begin{array}{l} 10^{-7} \text{ N/A}^2, r \text{ σε } \text{m} \\ I \text{ σε } \text{A}, B \text{ σε } \text{T} \end{array} \right.$
Μαγνητική επαγωγή στο κέντρο κυκλικού άγωγού ακτίνας R	$B = 10^{-7} \cdot \frac{2\pi I}{r}$	$\left\{ \begin{array}{l} 10^{-7} \text{ N/A}^2, I \text{ σε } \text{A} \\ r \text{ σε } \text{m}, B \text{ σε } \text{T} \end{array} \right.$
Μαγνητική επαγωγή στο μέσο σωληνοειδούς	$B = 10^{-7} \cdot 4\pi \cdot n \cdot I$	$\left\{ \begin{array}{l} 10^{-7} \text{ N/A}^2, I \text{ σε } \text{A} \\ n \text{ σπειρες/m}, B \text{ σε } \text{T} \end{array} \right.$
Μαγνητική επαγωγή σωληνοειδούς με πυρήνα σιδήρου (μ)	$B = 10^{-7} \cdot 4\pi \cdot \mu \cdot n \cdot I$	$\left\{ \begin{array}{l} 10^{-7} \text{ N/A}^2, I \text{ σε } \text{A} \\ n \text{ σπειρες/m}, B \text{ σε } \text{T} \end{array} \right.$
Μαγνητική ροπή κυκλικού ρεύματος (I σπείρα)	$M^* = I \cdot S$	$\left\{ \begin{array}{l} I \text{ σε } \text{A}, S \text{ σε } \text{m}^2 \\ M^* \text{ σε } \text{A} \cdot \text{m}^2 \end{array} \right.$
Νόμος του Laplace	$F = l \cdot I \cdot B \cdot \eta \mu \varphi$	$\left\{ \begin{array}{l} l \text{ σε } \text{m}, I \text{ σε } \text{A} \\ B \text{ σε } \text{T}, F \text{ σε } \text{N} \end{array} \right.$
Ήλεκτρομαγνητική δύναμη μεταξύ δύο παράλληλων ρευμάτων	$F = 10^{-7} \cdot \frac{2l \cdot I_1 \cdot I_2}{r}$	$\left\{ \begin{array}{l} 10^{-7} \text{ N/A}^2, l, r \text{ σε } \text{m} \\ I_1, I_2 \text{ σε } \text{A}, F \text{ σε } \text{N} \end{array} \right.$

ΠΕΡΙΕΧΟΜΕΝΑ

ΜΑΓΝΗΤΙΣΜΟΣ

Ίδιότητες των μαγνητών

Σελίδες

Μαγνήτες. Μαγνητισμός. Πόλοι του μαγνήτη. Μαγνήτιση με έπαφή και με έπαγωγή. Στοιχειώδεις μαγνήτες. Συστήματα μονάδων στο Μαγνητισμό. Νόμος του Coulomb 5

Μαγνητικό πεδίο

Μαγνητικό φάσμα. Όρισμός του μαγνητικού πεδίου. Στοιχεία του μαγνητικού πεδίου. Μαγνητική ροπή μαγνήτη. Μαγνητική ροή. Μαγνητική διαπερατότητα του σιδήρου. Μαγνητική κατάταξη των υλικών. Μαγνητική διαπερατότητα του κενού. 12

Μαγνητικό πεδίο της Γης

Μαγνητική απόκλιση. Μαγνητική έγκλιση. Γήινο μαγνητικό πεδίο. Μαγνητικά στοιχεία ενός τόπου. Μαγνητική πυξίδα 22

ΗΛΕΚΤΡΙΣΜΟΣ

ΣΤΑΤΙΚΟΣ ΗΛΕΚΤΡΙΣΜΟΣ

Ήλεκτρικό φορτίο

Θεμελιώδη φαινόμενα. Μονωτές, άγωγοί, ήμιαγωγοί. Ήλεκτροσκόπιο. Κατανομή του ήλεκτρικού φορτίου. Συστήματα μονάδων στον Ήλεκτρισμό. Νόμος του Coulomb 28

Ήλεκτρικό πεδίο

Όρισμός του ήλεκτρικού πεδίου. Στοιχεία του ήλεκτρικού πεδίου. Δυναμικό άγωγού και διαφορά δυναμικού μεταξύ δύο άγωγών. Σχέση μεταξύ διαφοράς δυναμικού και έντάσεως ήλεκτρικού πεδίου. Ήλεκτρισση άγωγού με έπαγωγή 33

Φύση του ηλεκτρισμού

Στοιχειώδεις ηλεκτρικό φορτίο. Έμφάνιση ηλεκτρικών φορτίων. Τά ελεύθερα ηλεκτρόνια των μετάλλων. Εξήγηση της ηλεκτρίσεως των σωμάτων 40

Χωρητικότητα άγωγού—Πυκνωτές

Χωρητικότητα άγωγού. Ενέργεια φορτισμένου άγωγού. Πυκνωτής. Ενέργεια φορτισμένου πυκνωτή. Επίπεδος πυκνωτής. Σύνδεση πυκνωτών. Πυκνωτής με διηλεκτρικό υλικό. Μορφές πυκνωτών. Γενική παρατήρηση για τις σταθερές του συστήματος μονάδων MKSA. 44

ΣΥΝΕΧΕΣ ΗΛΕΚΤΡΙΚΟ ΡΕΥΜΑ

Νόμος του Ohm

Τό ηλεκτρικό ρεύμα ως ροή ηλεκτρονίων. Αποτελέσματα του του ηλεκτρικού ρεύματος. Ένταση του ηλεκτρικού ρεύματος. Μέτρηση της έντάσεως του ρεύματος. Κύκλωμα. Διαφορά δυναμικού μεταξύ δύο σημείων του άγωγού. Νόμος του Ohm για τμήμα άγωγού. Νόμος της αντίστασεως άγωγού. Σύνδεση αντιστάσεων. Μέτρηση αντιστάσεων..... 54

Ένέργεια του ηλεκτρικού ρεύματος

Ένέργεια του ηλεκτρικού ρεύματος. Νόμος του Joule. Εφαρμογές του φαινομένου Joule 66

Κλειστό κύκλωμα

Η γεννήτρια στο κλειστό κύκλωμα. Ηλεκτρεγερτική δύναμη γεννήτριας. Νόμος του Ohm για κλειστό κύκλωμα. Σύνδεση γεννητριών 73

Ηλεκτρομαγνητισμός

Μαγνητικό πεδίο του ρεύματος. Μαγνητικό πεδίο εθύγραμμου ρευματοφόρου άγωγού. Νόμος Biot-Savart. Μαγνητικό πεδίο κυκλικού ρευματοφόρου άγωγού. Μαγνητικό πεδίο σωληνοειδούς. Προέλευση των μαγνητικών πεδίων. Ηλεκτρομαγνήτης. Επίδραση μαγνητικού πεδίου σε ρεύμα..... 79

Ἡλεκτρόλυση

Ἡλεκτρολύτες. Ἐξήγηση τῆς ἠλεκτρολυτικῆς ἀγωγιμότητος. Παραδείγματα ἠλεκτρολύσεων. Νόμος τοῦ Faraday. Ἐφαρμογές τῆς ἠλεκτρολύσεως. Πόλωση τῶν ἠλεκτροδίων βολταμέτρου. Συσσωρευτές. Ἡλεκτρικά στοιχεῖα	93
--	----

ΟΠΤΙΚΗ**Διάδοση τοῦ φωτός**

Ὅρισμοί. Εὐθύγραμμῃ διάδοσῃ τοῦ φωτός. Γεωμετρικὴ καὶ Φυσικὴ Ὀπτικὴ. Ἀποτελέσματα τῆς εὐθύγραμμης διαδόσεως τοῦ φωτός. Ταχύτητα διαδόσεως τοῦ φωτός	107
---	-----

Ἀνάκλαση τοῦ φωτός

Διάχυση καὶ ἀνάκλαση τοῦ φωτός. Ἀνάκλαση τοῦ φωτός. Ἐπίπεδοι καθρέφτες. Ἀρχὴ τῆς ἀντίστροφης πορείας τοῦ φωτός. Σφαιρικοὶ καθρέφτες. Κοίλοι σφαιρικοὶ καθρέφτες. Κυρτοὶ σφαιρικοὶ καθρέφτες. Γενικὲς ἐξισώσεις γιὰ τοὺς σφαιρικοὺς καθρέφτες	112
--	-----

Διάθλαση τοῦ φωτός

Διάθλαση τοῦ φωτός. Ὅριακὴ γωνία. Ὀλικὴ ἀνάκλαση. Ἀποτελέσματα τῆς διαθλάσεως. Διάδοσῃ τοῦ φωτός μέσα ἀπὸ πλάκα. Διάδοσῃ τοῦ φωτός μέσα ἀπὸ πρίσμα. Πρίσματα ὀλικῆς ἀνακλάσεως	126
--	-----

Σφαιρικοὶ φακοὶ

Φακοί. Συγκεντρωτικοὶ φακοί. Ἀποκεντρωτικοὶ φακοί. Γενικὲς ἐξισώσεις τῶν φακῶν. Ἴσχυς φακοῦ. Σύστημα λεπτῶν φακῶν. Λειτουργία τοῦ ματιοῦ.	138
--	-----

Ὀπτικά ὄργανα

Ὀπτικά ὄργανα. Μεγέθυνση. Ἀπλό μικροσκόπιο. Τηλεσκόπια. Ἀστρονομικὴ διόπτρα. Ἄλλα συνηθισμένα ὀπτικά ὄργανα	154
--	-----

Ἀνάλυση τοῦ φωτός

Ἀνάλυση τοῦ λευκοῦ φωτός. Ἰδιότητες τῶν ἀκτινοβολιῶν τοῦ φάσματος. Οὐράνιο τόξο. Φασματοσκόπιο. Ἀόρατες ἀκτινοβολίες. Φωτογραφία. Τό χρῶμα τῶν σωμάτων 162

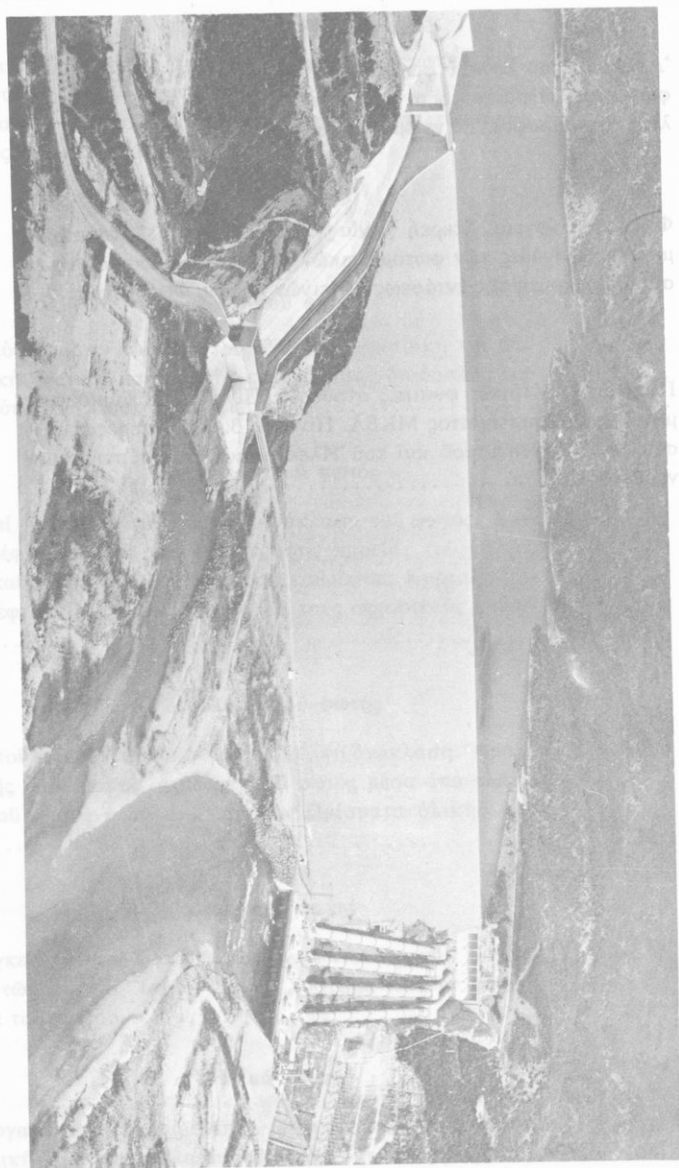
Φωτομετρία

Φωτεινὴ ἐνέργεια. Στερεὴ γωνία, καὶ μονάδα τῆς. Φωτομετρικὰ μεγέθη. Μονάδες τῶν φωτομετρικῶν μεγεθῶν. Νόμος τοῦ φωτισμοῦ. Σύγκριση τῆς ἐντάσεως φωτεινῶν πηγῶν. Φωτόμετρα 172

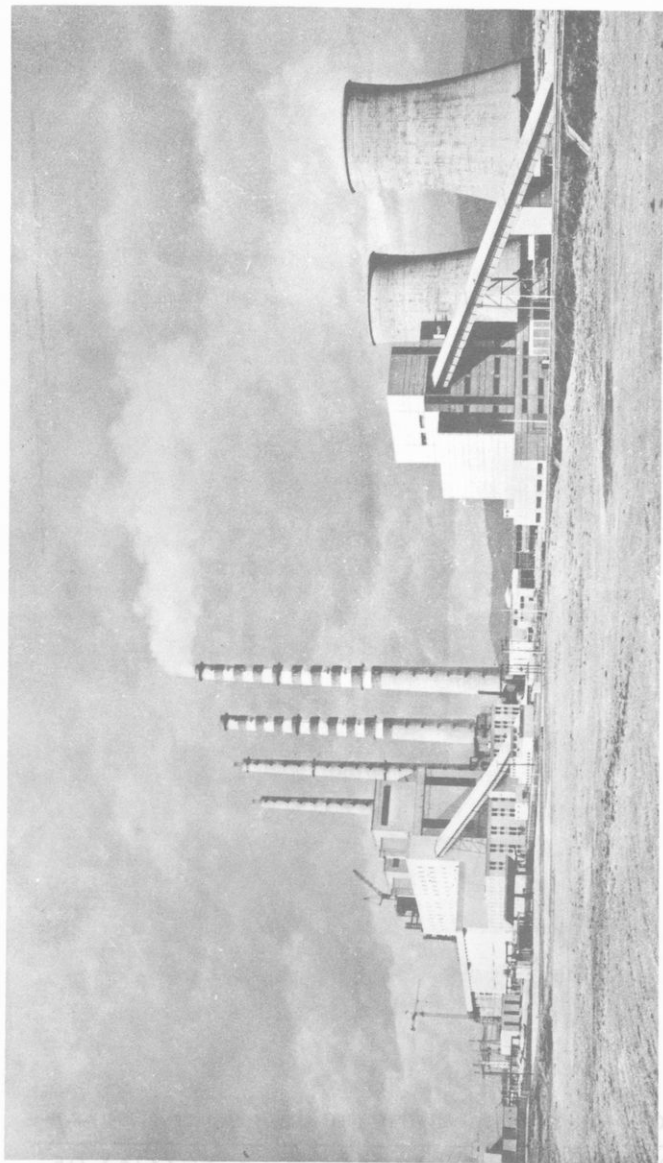
Πίνακες

Πίνακας 1. Μερικὲς φυσικὲς σταθερές. Πίνακας 2. Κυριότερες μονάδες τοῦ συστήματος MKSA. Πίνακας 3. Κυριότερες ἐξισώσεις τοῦ Μαγνητισμοῦ καὶ τοῦ Ἡλεκτρισμοῦ στό σύστημα μονάδων MKSA 181

«ΕΡΕΥΝΗΤΙΚΟ ΚΕΝΤΡΟ ΤΗΣ ΑΚΑΔΗΜΙΑΣ ΑΘΗΝΩΝ»
 ΔΙΑΔΙΚΤΥΑΚΟ ΣΥΣΤΗΜΑ ΠΛΗΡΟΦΟΡΙΑΣ

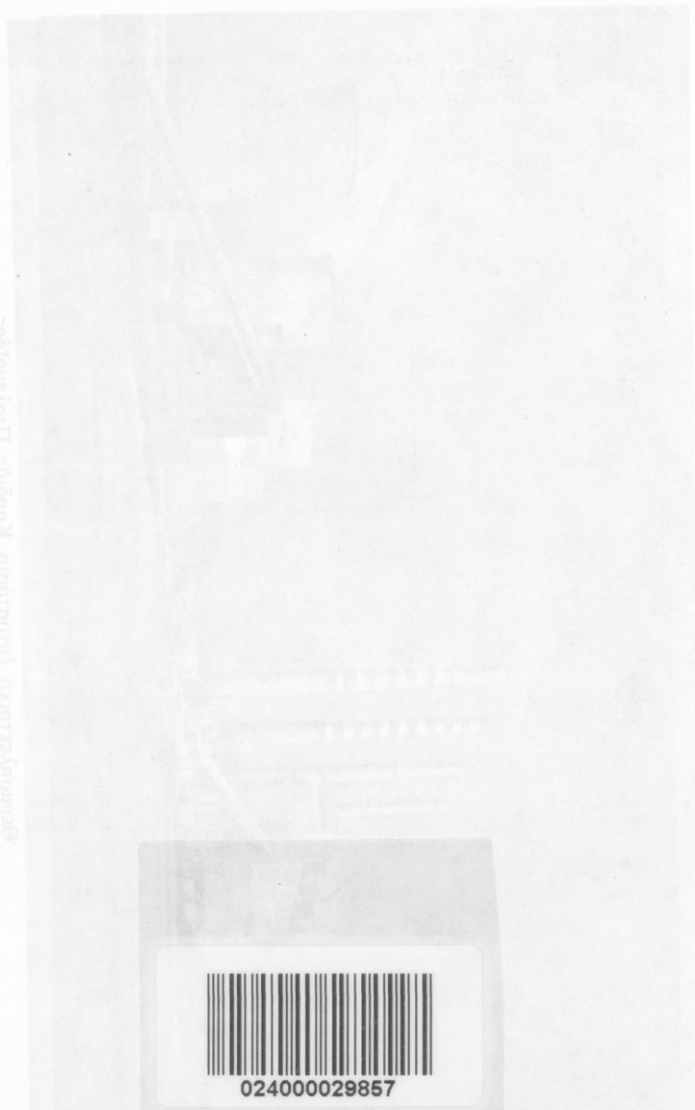


Υδροηλεκτρικό έργο στασιο Καστρακίου (Αχελώος).
Οι τέσσερις μονάδες του δίνουν συνολική ισχύ 320 μεγαβάτ.



Θερμοηλεκτρικό εργοστάσιο Καρδιάς Πτολεμαΐδας.
Οί δύο σε λειτουργία μονάδες δίνουν συνολική ισχύ 600 μεγαβάτ.

αριθμός 024 000 29857 που αφορά τον τίτλο 10
Οι προ-μεταφραστικές γραμμολογικές και ψευδολογικές
επιθυμητικές βιολογικές Κρήτες Πρωτογενείς



024000029857

ΕΚΔΟΣΗ ΙΘ,Κ 1979 (VI) - ΑΝΤΙΤΥΠΑ 115.000 - ΣΥΜΒΑΣΗ 3178/17-2-79

ΒΙΒΛΙΟΔΕΣΙΑ: Π. ΟΚΤΩΡΑΤΟΣ - Κ. ΚΟΥΚΙΑΣ Ο.Ε.

